

BEITRAEGE ZUR ENTWICKLUNG
EINES DIGITALEN
ECHTZEIT - SPEKTRALANALYSATORS
FUER DAS
ELEKTROENZEPHALOGRAMM

DIPLOMARBEIT

von

Bruno Fricker
Abt. IX B
Kehlhof 211
8572 Berg / TG

Zürich, den 1. September 1974

Vorwort

Im Frühjahr 1972 stiess das an der EEG-Abteilung des Kinderspitals von Herrn Dr. Dumermuth entwickelte Gedanken- gut eines festverdrahteten Fourierprozessors für das Elektroenzephalogramm auf die Gegenliebe unseres Institutes, an welchem sich schon seit längerer Zeit eine Gruppe mit signalanalytischen Projekten befasste. In darauffolgenden Semesterferien wurde ich beauftragt, die Vorbereitungen zur Formulierung eines detaillierten Projektes zu treffen.

Meine Diplomarbeit rundet all diese Bemühungen ab. Im ersten Kapitel enthält sie die Resultate der Simulation eines hardwareorientierten FFT-Algorithmus. Die Brauchbarkeit desselben als Kernstück des geplanten Prozessors hat sich bestätigt. Im zweiten Kapitel sind die verschiedenen Fehlerquellen, die der diskreten Fouriertransformation in Theorie und Praxis anhaften, zusammengefasst. Kapitel drei enthält meine Vorschläge zur Einbettungsfrage und Gesamtarchitektur. Und im vierten Kapitel schliesslich ist ein interessantes Verfahren zur nichtlinearen Verformung der Frequenzachse diskutiert, welches unser Projekt wesentlich bereichern wird. Im Anhang habe ich alle Arbeiten beigefügt, welche am Institut nicht in Form von Aktenvermerken greifbar sind.

Herrn PD Dr. Dumermuth möchte ich herzlich danken für die erfreuliche und stets stimulierende Zusammenarbeit. Mein Dank geht auch an meinen Betreuer, Herrn Roger Lagadec, der mir durch fruchtbare Diskussionen und Impulse aus etlichen Engpässen geholfen hat. Besonders danken möchte ich meiner lieben Frau für die sorgfältige Reinschrift des Manuskriptes. Herrn Prof. Baumann danke ich für sein immerwährendes Interesse, und auch dafür, dass die Arbeit unter seinem Dache nach und nach heranreifen durfte.

Zürich, den 1. September 1974

sig. B. Fricker

Inhaltsübersicht

1.	DIGITALE SIMULATION EINES VERDRAHTETEN FFT-PROZESSORS	2
1.1.	Der Algorithmus von Pease	2
1.2.	Die Maschine von Corinthios	4
1.3.	Die Nachbildung des Prozessors in Minicomputer-Software	12
1.4.	Einige Simulationsergebnisse	37
2.	DIE FEHLERQUELLEN DER DISKRETEN FOURIERTRANSFORMATION	81
2.1.	Beschränktes Zeitfenster	81
	a) Definitionen	81
	b) Schätzung der Autokovarianz	82
	c) Schätzung der Spektraldichte - das Periodogramm	83
	d) Konsistente Schätzung der Spektraldichte	85
	e) Folgerungen	90
2.2.	Abtastung	92
	a) Theorie	92
	b) Folgerungen	93
2.3.	Quantisierungsfehler	95
	a) Zahldarstellung	95
	b) Eingangsfehler	97
	c) Rechenfehler	99
	d) Folgerungen	105
3.	KONZEPT EINES EEG-PROZESSORS	106
3.1.	Grundgedanken	107
3.2.	Die drei Methoden des Datenaustausches	111
	a) "Programmed Data Transfer"	111
	b) "Program Interrupt Transfer"	113
	c) "Data Break Transfer"	114
3.3.	Gesamtplan	118
4.	DIGITALE FREQUENZVERFORMUNG	121
4.1.	Plan eines Hardware-Systems für digitale Frequenzverformung	132
5.	LITERATURVERZEICHNIS	134 a

ANHANG A:	EIN FFT-PROZESSOR	135
ANHANG B:	EIN DFT-PROZESSOR	164
ANHANG C:	"CARRY-SAVE" MULTIPLIZIERWERKE	174
ANHANG D:	DAS NEUE EEG-ANALYSESYSTEM DER WISSENSCHAFT- LICHEN DATENVERARBEITUNG GMBH, MUENCHEN	187

1. DIGITALE SIMULATION EINES VERDRAHTETEN FFT-PROZESSORS

Meine Diplomarbeit stützt sich auf eine kleinere Zahl vorangehender Studien (12, 13, 14, 16), die hauptsächlich dem Zweck dienen, unter den zahlreichen Publikationen über FFT-Algorithmen und -Prozessoren ein für den EEG-Spektralanalysator geeignetes Verfahren zu finden.

Meine vorletzte derartige Untersuchung (14) enthält eine Darstellung des Zeitreihen-Analysators von Corinthios, den ich als besonders günstige Realisierung des Cooley-Tuckey-Algorithmus ansehe. Diese Arbeit existiert nicht als Aktenvermerk, ist aber Voraussetzung dieses Kapitels. Das hat mich bewogen, sie in überarbeiteter Form als Anhang A in die Diplomarbeit aufzunehmen.

1.1. Der Algorithmus von Pease

Pease hat eine matrizielle Darstellung des FFT-Algorithmus publiziert, die nicht bloss durch ihre Prägnanz auffällt (21). Die Verfahrensweisen des Matrizenkalküls, besonders die Faktorisierung mit Hilfe des Kroneckerprodukts, führen nämlich auf ganz interessante Varianten des iterativen Ablaufschemas der schnellen Fouriertransformation. Pease zerlegt die lineare Vektorabbildung,

$$\vec{F} = \frac{1}{N} T_N \vec{f} \tag{1}$$

mit $\vec{f} = \text{col}(f_0, f_1, \dots, f_{N-1})$, $\vec{F} = \text{col}(F_0, F_1, \dots, F_{N-1})$

$$\text{und } (T_N)_{rs} = \exp(2\pi jrs/N)$$

als welche die diskrete Fouriertransformation auch angesehen werden kann, in eine Abfolge von Operatoren (Matrizen), die in drei Klassen zerfallen:

- der Summen/Differenz-Operator S für Wertepaare
- der diagonale Multiplikations-Operator M_i , welcher die zweite Hälfte des Vektors mit den komplexen Gewichten multipliziert
- der Permutations-Operator P_i' zur Entmischung der Vektorelemente

Die Transformationsmatrix kann, wie im Anhang gezeigt ist, folgendermassen faktorisiert werden:

$$T_N = \prod_{i=m}^1 (P_i' M_i S), \quad N=2^m \quad (2)$$

Da $P_m' = M_m = I_N$ Einheitsmatrizen sind, wird die Transformationsmatrix für das Beispiel $N = 8$

$$T_8 = SP_2' M_2 SP_1' M_1 S, \quad (3)$$

und die ganze Transformation ist ausgeschrieben

$$\vec{F} = \frac{1}{2} \begin{bmatrix} 1 & 1 & 1 & 1 \\ 1 & -1 & 1 & -1 \\ 1 & 1 & -1 & -1 \\ 1 & -1 & -1 & 1 \end{bmatrix} \begin{bmatrix} 1 & & & \\ & 1 & & \\ & & 1 & \\ & & & 1 \end{bmatrix} \begin{bmatrix} 1 & & & \\ & 1 & & \\ & & w_0 & \\ & & & w_2 \end{bmatrix} \frac{1}{2} \begin{bmatrix} 1 & 1 & 1 & 1 \\ 1 & -1 & 1 & -1 \\ 1 & 1 & -1 & -1 \\ 1 & -1 & -1 & 1 \end{bmatrix} \begin{bmatrix} 1 & & & \\ & 1 & & \\ & & 1 & \\ & & & 1 \end{bmatrix} \begin{bmatrix} 1 & & & \\ & 1 & & \\ & & w_0 & \\ & & & w_2 \end{bmatrix} \frac{1}{2} \begin{bmatrix} 1 & 1 & 1 & 1 \\ 1 & -1 & 1 & -1 \\ 1 & 1 & -1 & -1 \\ 1 & -1 & -1 & 1 \end{bmatrix} \vec{f} \quad (4)$$

Dabei ist festzuhalten, dass die Normierungskonstante $1/N$ in Faktoren $1/2$ aufgeteilt wird und dass die Multiplikations- und Permutationsmatrizen in jedem Zyklus leicht verändert auftreten.

Diese eher ungebräuchliche FFT-Notation fügt sich - und das ist bemerkenswert - in die üblichen Arten digitaler Verschaltung ausgezeichnet ein. Die Schlussformel (4) suggeriert sozusagen eine Systemarchitektur, die äusserst einfach und übersichtlich ist und mit einem Minimum an Steuerlogik auskommt. Corinthios hat aufgrund des Algorithmus von Pease eine solche Maschine entwickelt und publiziert (4).

1.2. Die Maschine von Corinthios

Michael S. Corinthios' Spezialprozessor für Zeitreihen-Analyse ist vorzüglich geeignet, die inverse und direkte Fouriertransformation mit geringem Hardwareaufwand und grosser Effizienz durchzuführen. In skelettierter Minimalkonfiguration besteht er aus je einem dynamischen Eingangs- und Ausgangsschieberegister für komplexe Datenvektoren der Länge N . Die Register sind je geteilt in zwei Hälften der Länge $N/2$. Sie gestatten so, den Datenstrang in der Mitte abzugreifen. Dies ist für den Radix-2-FFT-Algorithmus unerlässlich. Weitere Anzapfungen sind nicht vorgesehen. Auf dem Weg vom Eingangs- zum Ausgangsregister werden die Wertepaare arithmetischen Verknüpfungen unterworfen. In der Regel arbeitet der Prozessor rekursiv, d.h. die Ausgangsvektoren stellen Zwischenresultate dar, welche ins Eingangsregister zurückgeschleust werden müssen. In dieser Rückführphase kann eine Permutation vorgenommen werden. Ein weiterer Vorteil: Die Grundstruktur ist ausser für schnelle Fouriertransformation auch für andere Zeitreihen-Prozeduren geeignet, z.B. für Windowing, Glättung, Faltung, Korrelation und digitale Filtrierung. Spätere Untersuchungen werden erweisen, ob sich dieses Auftauschema auch für Rechenabläufe in Richtung Transientenanalyse eignen könnte.

Typische Merkmale sind die dynamischen Schieberegister und das komplexe Multiplizierwerk.

Dynamische Schieberegister stellen die zur Zeit preisgünstigsten Speicherelemente mit vollelektronischem Zugriff dar. Der Tandembetrieb zwischen Ein- und Ausgangsregister und die Möglichkeit einer permutierenden Feedbacks reduzieren den Nachteil des auf den Ausgang beschränkten Wertezugriffs. Im Falle der schnellen Fouriertransformation ist die iterative Entmischung in Feedbackzyklen sogar eine ganz überlegene Lösung.

Das hardwaremässig anspruchsvollste "Organ" des Prozessors ist wohl das komplexe Multiplizierwerk. Die komplexe Multiplikation besteht aus 4 reellen Multiplikationen, einer Addition und einer Subtraktion. Neben den 3 komplexen Buffern für Operanden und Resultat ist noch mindestens ein reeller Buffer für Zwischenwerte erforderlich. Da die Multiplikation eine zeitraubende aber höchst wichtige Operation ist, und zwar bei allen Zeitreihen-Prozeduren, möchte ich empfehlen, ein völlig paralleles Festkomma-Multiplizierwerk für volle Wortlänge zu bauen. Eine Uebersicht über Strukturvarianten findet sich bei A. Shah (23). Es sollte damit möglich sein, mit einer äusserst einfachen Kontrollogik eine komplexe 12-Bit-Multiplikation in ca. 1 μ sec zu bewerkstelligen. Diese Geschwindigkeit ist zwar für FFT an sich in unserem Anwendungsbereich nicht notwendig. Sie wird aber unentbehrlich, falls im Echtzeitbetrieb digitale Frequenzverformung nach Oppenheim vorgeschaltet wird (siehe Kapitel 4).

Ich bin jedoch ganz grundsätzlich der Ansicht, dass für einen aussichtsreichen Prototyp, dessen Pflichtenheft noch keineswegs geschlossen ist, ein allzu haushälterisches Vorgehen sich eines Tages als kurzsichtig erweisen könnte. Man bedenke, wie interessant, entwicklungsfähig und zukunftssträchtig unser Arbeitsgebiet ist! Und noch ein Gedanke: Wer sagt, dass unser FFT-Prozessor ausschliesslich auf niederfrequente Biosignale Anwendung finden soll? -

Ueber die Organisation seiner Maschine verrät Corinthios einiges, aber nicht ausreichend viel, um den Nachbau ohne eigene Ueberlegung zu gestatten. Die Synthese von Corinthios' Skelett mit meinen Detailentwürfen, die sich namentlich auf die Steuerlogik beziehen, findet der Leser in Fig. 1 bis 3 skizziert. Sie zeigen die Rechnerorganisation zur schnellen Fouriertransformation; andere Prozeduren erscheinen dort nicht. Die Transformation zerfällt in drei Rechenschritte, die zeitlich ge-

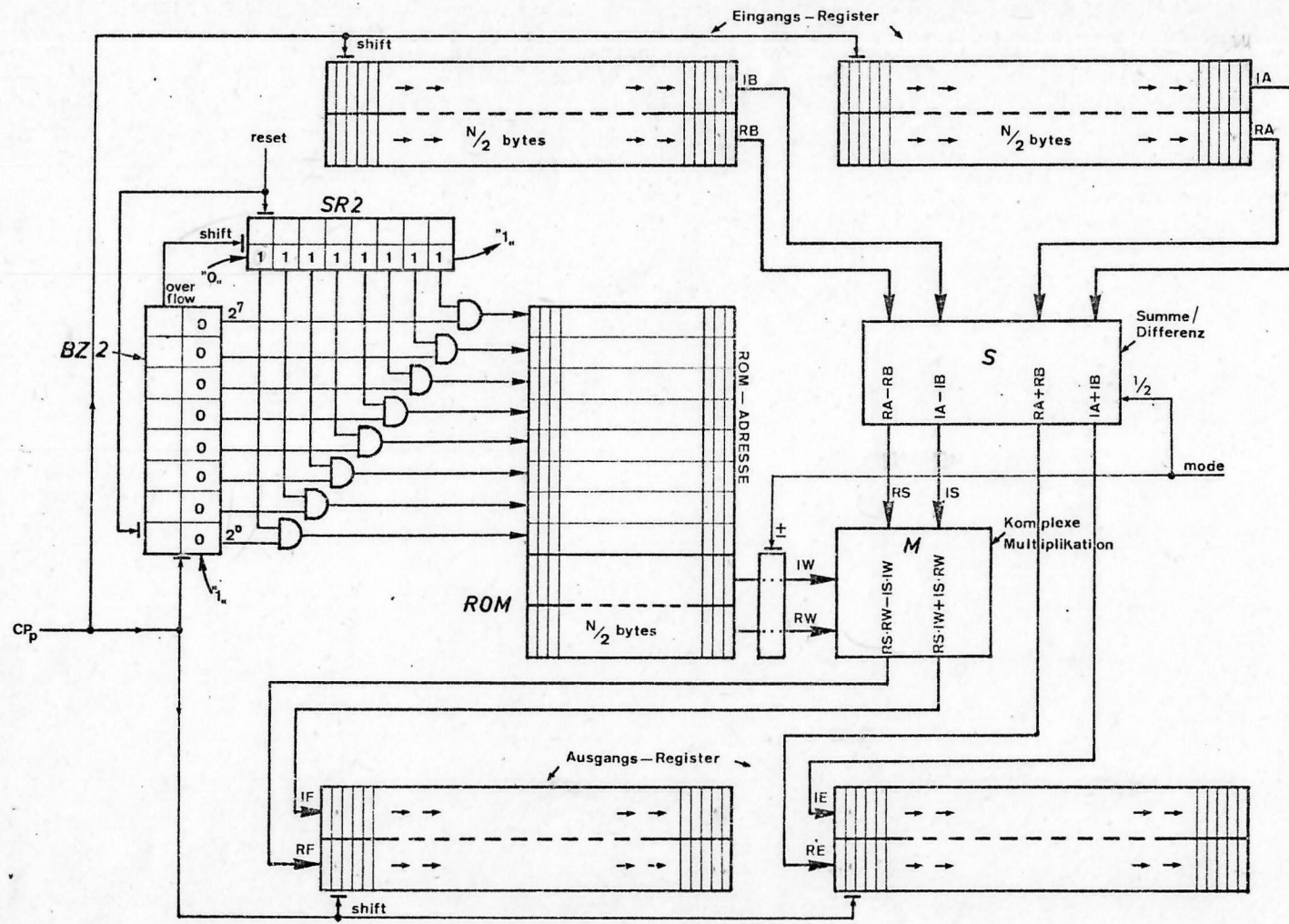


Fig. 10 "Processphase" des Fouriertransformators. Mit zwei komplexen Eingangswerten wird Summe und Differenz berechnet und bei Vorwärtstransformation durch zwei dividiert. Die Differenzen werden mit den im ROM gespeicherten komplexen Gewichtsfaktoren multipliziert. Alle vier Werte werden im Ausgangsregister abgespeichert. R bedeutet Realteil; I bedeutet Imaginärteil.

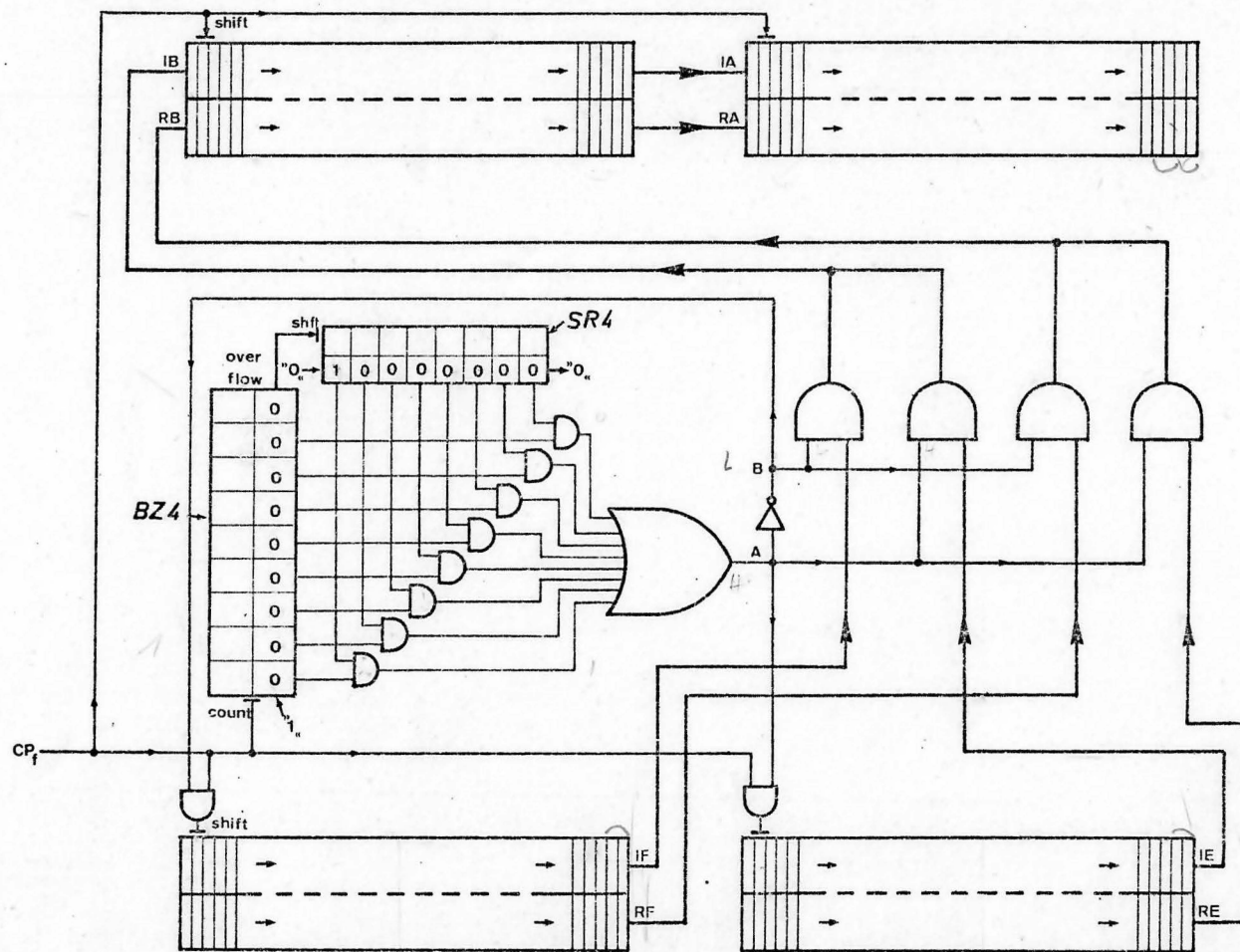


Fig. 12 "Feedbackphase" des Fouriertransformators. Die Werte im Ausgangsregister werden unter dem Einfluss der Steuerlogik BZ4 und SR4 in korrekter Reihenfolge ins Eingangsregister rückgeführt. Die beiden Hälften des Eingangsregisters sind in Serie geschaltet.

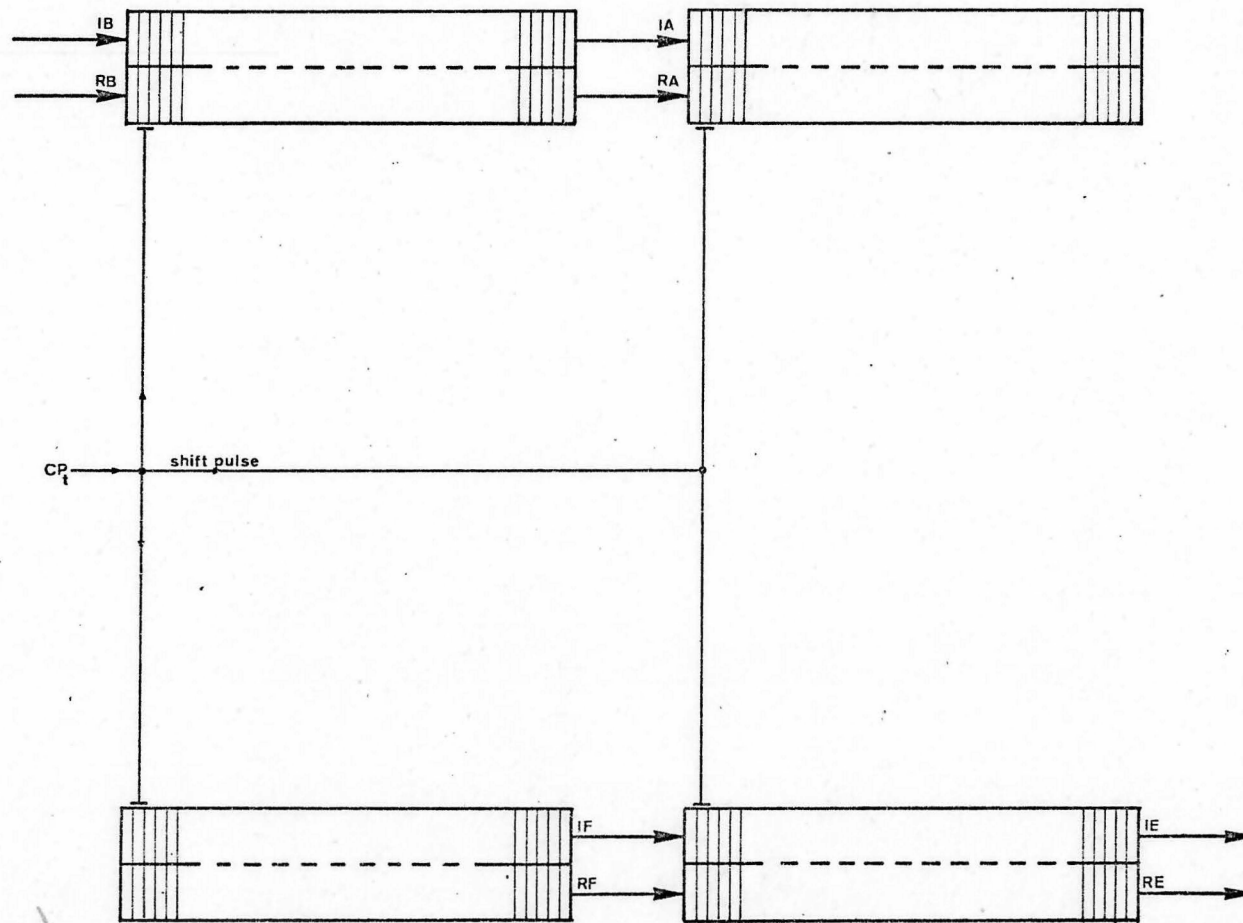


Fig. 3 "Transferphase" des Fouriertransformators. Der nächste Eingangsvektor wird vom A/D-Wandler ins Eingangsregister gelesen. Der fertige Ausgangsvektor wird zur Weiterverarbeitung in den Steuercomputer geführt.

staffelt ablaufen.

Die in Fig. 3 dargestellte "Transferphase" steht am Anfang jeder Zeitreihenkonversion. Das Ausgangsregister wird von alten Resultaten entleert, ins Eingangsregister laufen neue Sequenzen, auf welche operiert werden soll. Für die Geschwindigkeit dieses Vorgangs gibt CP_t der Transferclock, das Taktmass. Dynamische MOS-Schieberegister mit 10 MHz clock-rate sind heute ohne weiteres im Handel erhältlich.

Ausgangspunkt der "Process-" d.h. eigentlichen Rechenphase des schnellen Fouriertransformators (Fig. 1) ist die Anwesenheit einer komplexen Originalsequenz im Eingangsregister. Durch sukzessives Verschieben und paarweises Abgreifen werden zunächst die Summe/Differenz-Terme berechnet, was der Matrixoperation **S** gemäss Gleichung (3) entspricht. Das mit einem Faktor 1/2 angedeutete "scaling" wird allenfalls auch in diesem Kästchen durchgeführt. Im Falle der inversen Fouriertransformation entfällt das scaling, dafür ändert im ROM das Vorzeichen der harmonischen Gewichtsfaktoren. Diese RW und FW laufen in ein Kästchen namens **M** und bilden die eine Hälfte der Operanden, deren andere von den beiden Differenztermen RS und IS konstituiert wird. In **M** wird komplex multipliziert (siehe die entsprechenden Operatoren in (4)) und die Resultate bei RF und IF im Ausgangsregister abgespeichert. Ins rechte halbe Ausgangsregister bei RE und IE laufen direkt die Summenwerte aus **S**.

Alle Speicherelemente, Datenpfade und Operationen sind komplex aufzufassen. Die diskrete Fouriertransformation führt einen komplexen Eingangsvektor in einen komplexen Ausgangsvektor über. Reelle Eingangsvektoren sind ein Spezialfall, der sich ausgangseitig in der Symmetrie des Realteiles bzw. Antisymmetrie des Imaginärteiles widerspiegelt. Das ist gleichbedeutend mit $N/2$

überflüssigen komplexen Ausgangswerten. Zwei reelle Zeitreihen werden mit Vorteil als einen komplexen Eingangsvektor aufgefasst und transformiert. Die Maschine ist dann voll ausgenutzt und zeigt die obige Symmetrie nicht mehr. In der Folge allerdings müssen ausgangsseitig die Anteile der beiden unabhängigen Eingänge über eine Linearkombination entmischt werden, wie dies ebenfalls im Anhang A dargestellt ist.

Processphase und die in Fig. 2 aufgezeichnete "Feedbackphase" wechseln im Verlauf einer Fouriertransformation m -mal ab, wobei $2^m = N$ ist. Zur Erleichterung der Darstellung möchte ich das Paar Processphase + Feedbackphase als "Makrozyklus" bezeichnen. "Mikrozyklen" mögen die $N/2$ (bzw. N) Unterschritte heissen, aus denen die Process- bzw. Feedbackphase zusammengesetzt sind. Die Feedbackphase entspricht dem Permutationsoperator P (Gleichung (3)), der in jedem Makrozyklus eine andere Struktur hat. Die Gesamtheit aller dieser $m-1$ Rückführungen unter Permutation entspricht genau jener bei FFT altbekannten Entmischung der Resultatvektoren, mit dem Unterschied allerdings, dass der rekursive Einbau der Entmischung in die ohnehin nötigen Feedbackzyklen ohne viel zusätzlichen Zeitaufwand erfolgen kann. Aus diesem Grund habe ich auch den bei Corinthios aufgegebenen "Post-Permutation Algorithm" nicht in Erwägung gezogen. Abschliessend einiges über Mikrozyklen und Steuerlogik:

Zu Beginn der Processphase (Fig. 1) wandern die Werte A und B vom Eingangsregister durch die Kästchen S und M ins Ausgangsregister. Vom ROM her stehen auch die Gewichte W an und werden verarbeitet. Dies alles läuft bei Parallelbetrieb ohne Uhrimpuls. Der Clock-Pulse CP_p inkrementiert den Binärzähler BZ 2, durch welchen die nächste (oder selbe, falls AND-Gate zu) ROM-Position angewählt wird. CP_p schiebt aber auch die Register um eine Position weiter. In der Folge laufen durch S und M neue Bitmuster,

die nach Ablauf einer gewissen Zeit T_p zu neuen Ausgangswerten E bzw. F führen. T_p wird durch den längsten Datenpfad bestimmt und kann bei Kenntnis der Organisation und Bestückung der Kästchen ohne weiteres berechnet werden. CP_p ist demzufolge gleich $1/T_p$ plus eine gewisse Sicherheitsmarge. Nach $N/2$ Mikrozyklen ist diese Phase beendet. Während des ersten Makrozyklus ist das Schieberegister SR 2 mit lauter Einsen gefüllt. Der Binärzähler projiziert demnach vollkommen auf den Adresseingang des ROM-Speichers. Im zweiten Durchlauf ist die niedrigste Bit-Position gesperrt, da durch "overflow" der Einerblock im Schieberegister um eine Stelle nach rechts verschoben wurde. Die Adressierung erfolgt deshalb nur mit geraden Zahlen, wobei jeder Wert während zwei Mikrozyklen ansteht. Das nächste Mal sind die zwei untersten Bit-Positionen gesperrt, die Sprünge im ROM nach je vier Mikrozyklen umfassen jetzt 4 Zellen; etc. Derart werden die Gewichtssequenzen korrekt erzeugt. Erst ganz am Schluss nach m Makrozyklen wird die Logik über "reset" zurückgestellt.

Mit einer ganz ähnlichen Logik entsteht in Fig. 2 die richtige Permutation. Zu Beginn ist im Schieberegister SR 4 eine Marke 1, welche das unterste Tor öffnet. Die unterste Zelle des Zählers BZ 4 hinwiederum wechselt nach jedem Uhrimpuls CP_f ihren Inhalt, so dass die Daten-Tore von A bzw. B aus abwechselnd getastet werden. Demgemäss werden E bzw. F ins Eingangsregister B zurückgeschleust. Beim nächsten Makrozyklus steht die Marke 1 in SR 4 an der zweiten Stelle von links. Das zweitunterste UND-Gatter ist frei und nur dieses, so dass immer zwei E-Werte von zwei F-Werten abgelöst werden. Beim nächsten Durchlauf sind es 4er-Blöcke, usw. CP_f dürfte hierbei von der Logikgeschwindigkeit abhängen und ist bei bekannter Bestückung leicht zu errechnen. Die serielle Schaltung des Eingangsregisters bewirkt übrigens, dass diese Betriebsphase N und nicht bloss $N/2$ Mikrozyklen benötigt.

1.3. Die Nachbildung des Prozessors in Minicomputer-Software

Systemsimulation auf einem Allzweck-Computer ist dem Kriegsspiel verwandt, womit ohne Risiko komplizierte kausale Zusammenhänge durchgeprobt, Entscheide bedeutender Tragweite gefällt werden können. Wie im Sandkasten bildmässig jedes denkbare Manöver ablaufen kann, können im Computer im Prinzip logische Zusammenhänge beliebiger Komplexität programmiert und erprobt werden. Die Simulation ist in der Regel mit viel bescheidenerem finanziellen und zeitlichen Aufwand verbunden, als ein direkter Aufbau des fraglichen Systems es wäre.

Die Computersimulation ist in unserem Falle besonders angezeigt, da die Angaben beim Zeitreihen-Analysator von Corinthios so allgemein gehalten sind, dass man nicht geneigt ist, Tausende von Franken Hardwarekosten und viele Arbeitsstunden bloss in den Beweis zu investieren, dass Corinthios' Vorschlag tatsächlich funktioniert. Wichtige Fragen, wie die Optimierung der Wort- und Sequenzlänge, die Frage der Zahldarstellung und Organisation des Multiplizierwerks, das Problem des "windowing" und "smoothing", die Grösse der Ueberlappung im Zeitbereich können ebenfalls mit zum Teil erheblich weniger Umständlichkeit vor dem Bau im Allzweck-Computer gelöst werden.

Steht man vor der Aufgabe, ein digitales System zu simulieren, so muss man sich entscheiden, auf welcher Maschine und in welcher Programmiersprache man die Simulation bewerkstelligen will. Da es ohnehin notwendig wurde, den Computer gut kennenzulernen, mit welchem der EEG-Analysator dereinst verknüpft werden soll, entschieden wir uns für den PDP-12 Minicomputer von Herrn Dr. Dumermuth im EEG-Labor des Kinderspitals.

Der von der Firma Digital Equipment Corporation hergestellte Computer ist eine historisch gewachsene und äusserst vielseitige, ausgereifte Maschine, die sich gut für unser Problem eignet. Sie ist für den Anfänger besonders günstig, da sie über einen sehr komfortablen Editor verfügt, mit dem, in Verbindung mit einem CRT-Bildschirm und einer Tektronix-Speicherdisplay-Konsole, das Programmieren erleichtert wird. Fertige Programme können auf LINC-Tapes abgespeichert werden, die durch ihr handliches Format und ihre übersichtliche Organisation die Arbeit ebenfalls entbürden.

Im Laufe des Sommers wurden im EEG-Labor Plattenspeicher installiert, welche die Wartezeiten durch Umspulen, Ein- und Auslesen ganz wesentlich abkürzten. Die Plattenspeicher standen mir gegen Ende der Programmierarbeiten auch zur Verfügung; ausserdem kam mir die vielseitige und ausgereifte Programm-bibliothek des Labors zustatten, was allerdings einige Zeit zum Kennenlernen und Einarbeiten erforderte.

Mehr als bei Grossrechenanlagen mit ihren benutzerorientierten Befehlssprachen, ist man bei den beschränkteren Minicomputer-systemen zu haushälterischem Programmieren verpflichtet. Die Assemblersprache steht deshalb im Vordergrund, die gegenüber FORTRAN, für welches der PDP-12 auch eingerichtet ist, enorme Vorteile bietet. Der 8K FORTRAN-Compiler ist mit seiner zwei-stufigen Compilation via symbolic language zum binary code sehr umständlich und beansprucht unverhältnismässig viel Speicherplatz. Assembler bietet aber den für eine Simulation wichtigen Vorteil, dass man die genaue Lage des Programmteils und der Datenvektoren im Kernspeicher ohne weiteres selber bestimmen kann. Man muss sich auch vergegenwärtigen, dass ein

geübter Assemblerprogrammierer, der über ein Repertoire von Subroutinen verfügt, fast gleich schnell programmiert, wie in FORTRAN. Der Eingriff der Assemblebefehle in die Organisation des Computers ist ausserdem viel übersichtlicher, präziser und vielfältiger als bei FORTRAN. Kurz, man hat den Minicomputer besser im Griff und kann seine ganze enorme Potenz voll ausschöpfen.

Weil ich die PDP-12 Maschinenkonfiguration sowieso kennenlernen wollte, habe ich deshalb überwiegend in Assembler programmiert, in welcher Sprache auch die zahlreichen Bibliotheksprogramme des EEG-Labors zur Verfügung standen. Es ist zu hoffen, dass das eine oder andere, nach geeigneter Modifizierung, zum Ausbau der institutseigenen HP-Software herangezogen werden könnte.

Der umfangreiche Assembler-Befehlsschatz des PDP-12-Systems ist eine weniger systematische als vielseitige "Verheiratung" der alten LINC-Computerbefehle mit den Befehlen des PDP-8-Systems. Dementsprechend arbeitet der Computer in zwei Betriebsarten: dem L-Mode (eher für Display, Band, A/D-Konversion, sense switches) und dem P-Mode (eher für Logik und Arithmetik, inkl. EAE, Teletype und Tektronix-Console, Disk). Die Grundeinheit des Kernspeichers mit 4096 (4k) 12-bit Wörtern zerfällt im L-Mode organisatorisch in vier 1024-Wort-Segmente und im P-Mode in 32 pages von je 128 Wörter. Im Kinderspital verfügt man über 8k Speicherumfang, also über zwei Grundeinheiten.

Mein Simulationsprogramm des Hardware-FFT-Prozessors von Corinthios läuft überwiegend im P-Mode. Deshalb halte ich mich bei der folgenden Besprechung an die Speicherordnung in pages. In Fig. 4a)+b) ist die Speicherzuordnung des FFT-Simulationsprogramms abgebildet.

page 0	Konstanten	
1	*200: Main Program *300: SMTRX1	
2	*400: ROMPO2, MMTRX3, SETPO5	
3	*600: FEEDB4, SETLO6	
.	*1000: ROM, real	
.	////////////////////////////////////	
.	*1400: ROM, imag	Pointer-Start-
.	////////////////////////////////////	adressen
.	*2000: Inbatch, real, 1. Hälfte	RA: 1777
.	////////////////////////////////////	
.	*2400: Inbatch, real, 2. Hälfte	RB: 2377
.	////////////////////////////////////	
.	*3000: Inbatch, imag, 1. Hälfte	IA: 2777
.	////////////////////////////////////	
.	*3400: Inbatch, imag, 2. Hälfte	IB: 3377
.	////////////////////////////////////	
.	*4000: Outbatch, real, 1. Hälfte	RE: 3777
.	////////////////////////////////////	
.	*4400: Outbatch, real, 2. Hälfte	RF: 4377
.	////////////////////////////////////	
.	*5000: Outbatch, imag, 1. Hälfte	IE: 4777
.	////////////////////////////////////	
.	*5400: Outbatch, imag, 2. Hälfte	IF: 5377
.	////////////////////////////////////	
.	*6000: Print-Program	
.	*6200:	
.		
.		
.	*7000: INBATCHF, INROM, OUTAPE	
35		
36		
37		

Fig.4a) Definitive Speicherordnung des Simulationsprogramms. Die schräggestrichenen Blöcke bleiben für N=256 frei. Für N=512 ist der Speicher bis *6200 völlig ausgenützt.

	0	1	2	3	4	5	6	7
0	/////	/////					RRPTR	IRPTR
1	RA0	IA0	RB0	IB0	RE0	IE0	RF0	IF0
2	SR20	BZ20					RS	IS
3	SR40	BZ40						
4	/////	/////						
5								
6								
7								
10	N0	HN0	M0	MSC				
11								
12								
13								
14	/////	/////						
15								
16								
17								

Fig.4b) Aufteilung der Konstanten und Adressregister auf page 0. Die Zellen 0, 1, 40, 41, 140, 141 werden vom System beansprucht. 10 - 17 sind automatisch inkrementierende Pointer-Register. RRPTR=Realteil ROM-Pointer, IRPTR=Imaginärteil ROM-Pointer. Zu SR 2/4, BZ 2/4, RS, IS, vergleiche man Fig. 1 und 2.

Die Beschränkung auf die erste Grundeinheit gestattet Programme bis zu $N=512$ Punkte Segmentlänge. Neben den Sternen erscheinen die Speicheradressen als Oktalzahlen. Eine Seite umfasst $128_{10} = 200_8$ Zellen. Page 0 ist für Konstanten und "pointers" reserviert, die aus der ganzen Einheit direkt angewählt werden können. Page 1 (*200 - *377) enthält das Hauptprogramm, für welches das Flussdiagramm Fig. 6 aufgestellt werden kann. Anschliessend folgen die verschiedenen Subroutinen. Pages 4 - 7 enthalten den Inhalt des ROM-Speichers, ab Adresse *1000 den Realteil, eine halbe Cosinusperiode, ab *1400 den Imaginärteil, eine halbe Sinusperiode. Durch Herauslesen des Kernspeichers auf Band und graphische Darstellung auf dem Tektronix-Speicherdisplay mit Hilfe eines Programmes LOOKPLOT¹ kann der ROM-Inhalt anschaulich gemacht werden (Fig. 5).

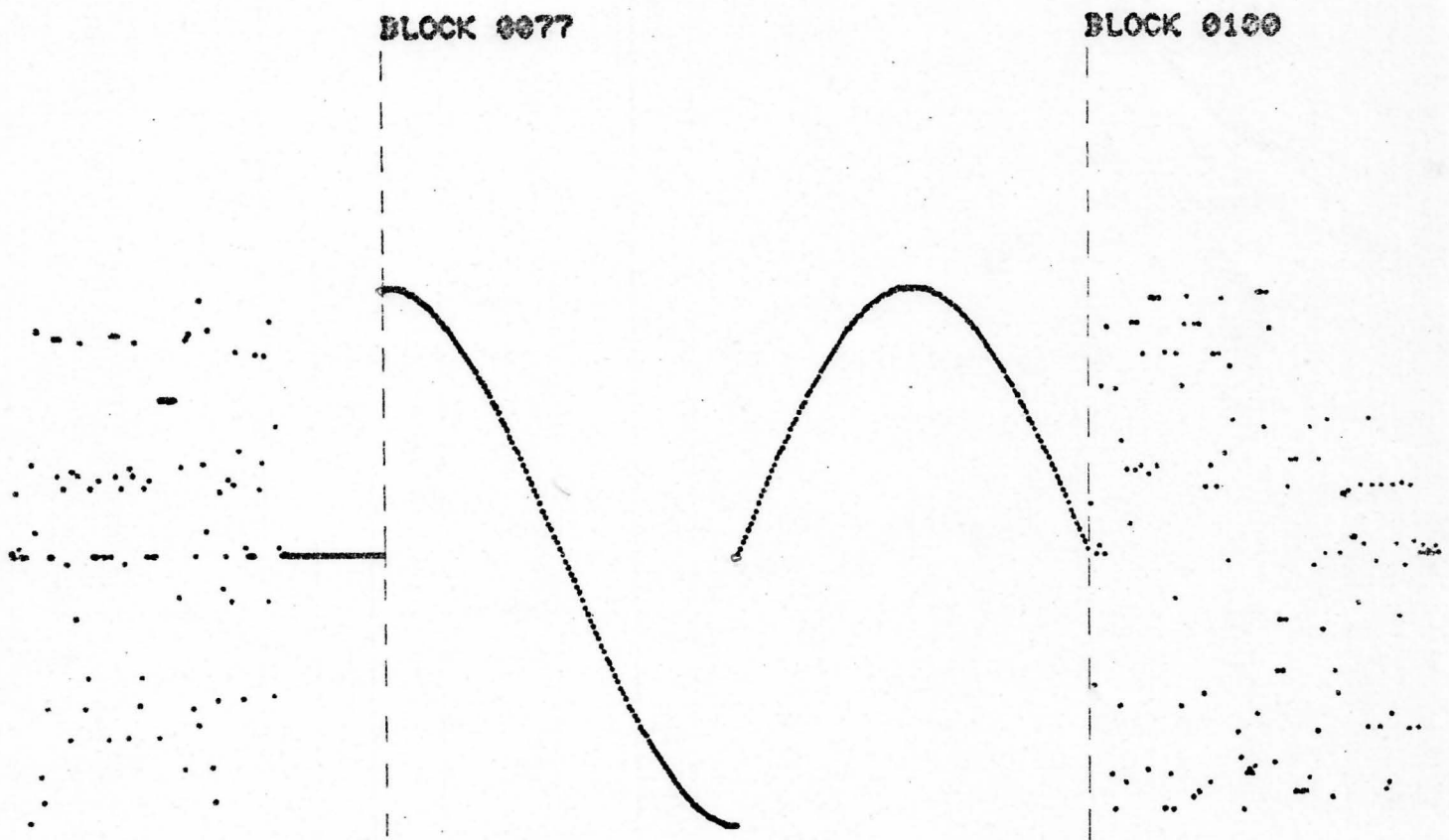


Fig. 5 Graphische Darstellung des auf LINC-Tape gespeicherten ROM-Inhaltes für $N=256$. Der Realteil befindet sich in der ersten, der Imaginärteil in der zweiten Hälfte von Block 0077. Ein LINCblock umfasst 256 12-bit Wörter.

Den Eingangsvektoren wurden die Plätze *2000 bis *3777 zugewiesen, den Ausgangsvektoren die Plätze *4000 bis *5777. Man kann leicht nachrechnen, dass alle Plätze nur für $N=512$ beansprucht werden. Für kleinere N bleibt unbenützter Zwischenraum. Die in der Fig. 4 a) rechts angegebenen Zahlen sind Startadressen für zusammenhängende Vektorstücke, die je von einem automatisch inkrementierenden Indexregister (pointer) aufgerufen werden. Die pointers tragen die Namen RA, RB, IA, IB, etc., wie sie auch im Schema Fig. 1 erscheinen. Sie übernehmen im Programm die Simulation der Registerverschiebung und sind, wie aus Fig. 4 b) ersichtlich ist, in page 0 unter den Konstanten zu finden. Im P-Mode sind die Zellen *14 - *17 automatische Indexregister, deren Inhalt als Träger der Zieladresse bei jeder indirekten Adressierung um Eins erhöht wird. So können die Vektorelemente reihenweise abgerufen werden. Schraffierte Zellen in Fig. 4 b) sind dem System vorbehaltene Plätze.

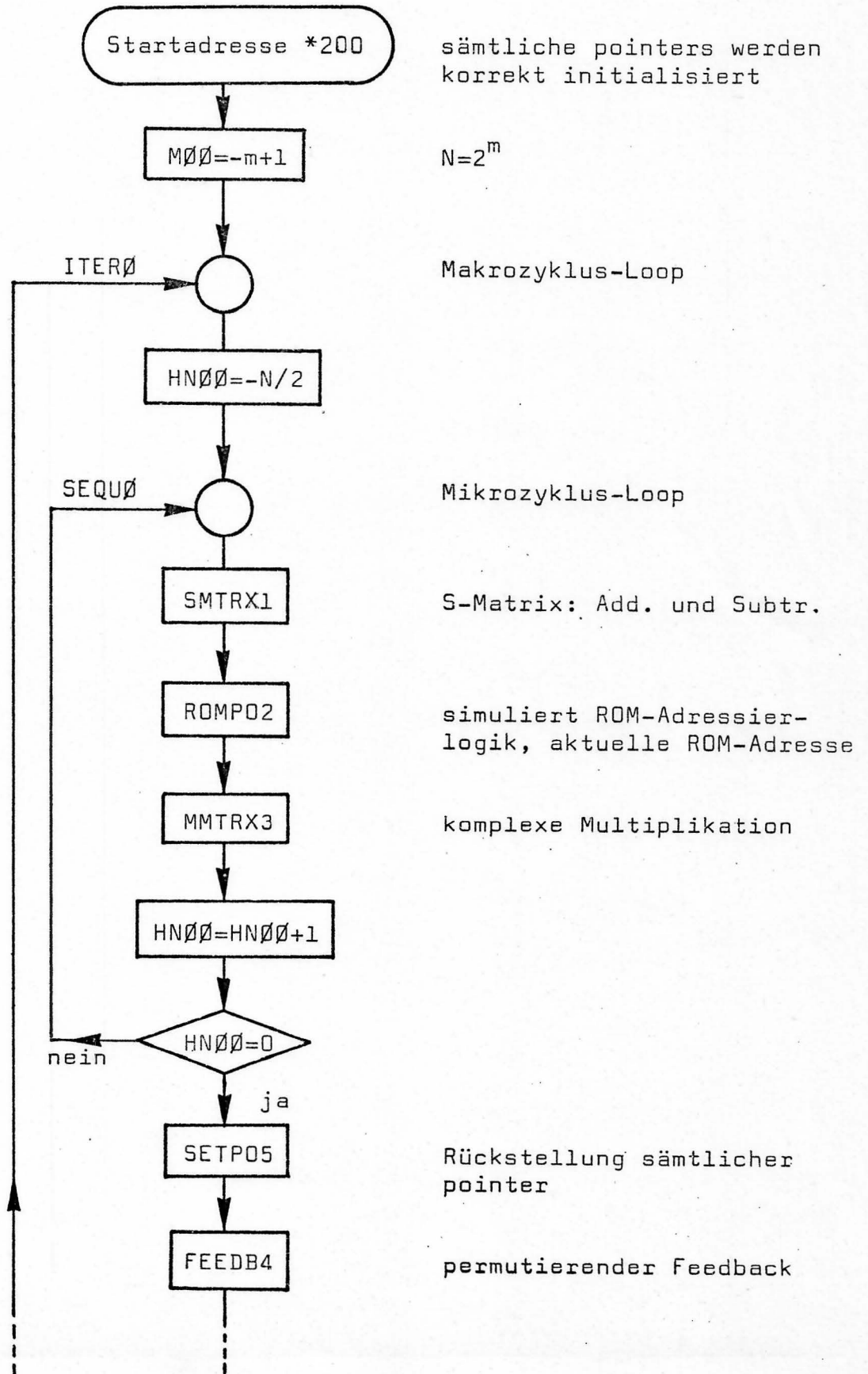
Das Flussdiagramm Fig. 6 zeigt den Ablauf der schnellen Fouriertransformation, wie er zur Simulation des verdrahteten Prozessors von Corinthios dienen kann. In den Kästchen stehen die Namen, unter welchen die Subroutinen aufgerufen werden. Am Schluss wird noch die Subroutine PROCT7 aufgerufen, welche auf den Teletype bzw. auf die Tektronix-Console eine Oktaltabelle mit dem Inhalt des Ausgangsregisters ausdrückt. Dieser Subroutine habe ich die Speicherplätze *6000 und folgende zugewiesen.

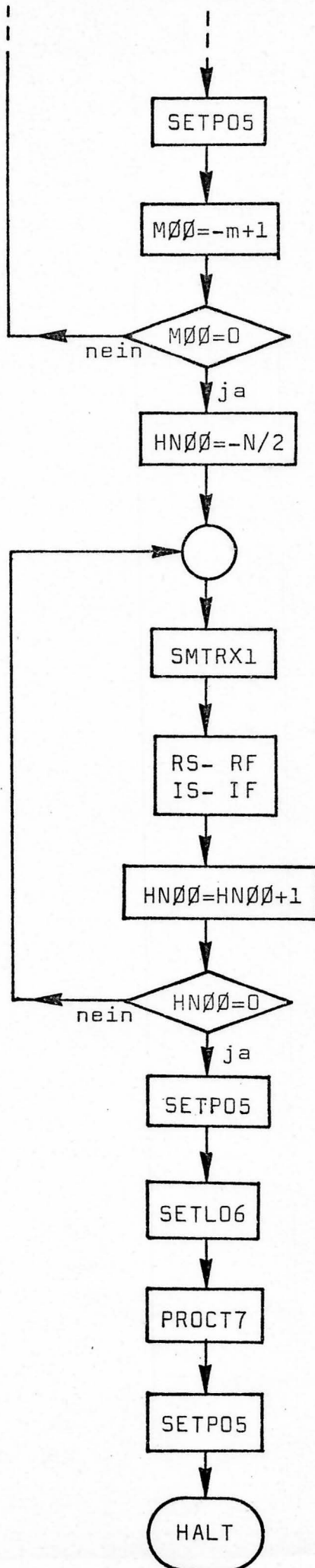
Auf den Seiten 20 bis 34 findet der Leser das vollständig gelistete Programm HARDWARE-FFT-SIMULATION. Am Programmkopf stehen unter der Startadresse *100 die grundsätzlichen Konstanten $N\emptyset$ (negative Segmentlänge N), $HN\emptyset$ (halbe negative Segmentlänge N), $M\emptyset$ (negativer Exponent m , wo $N=2^m$) und MSC (Maske zur Beschneidung der Wortlänge). Diese Konstanten können

¹ Dieses Programm wurde mir freundlicherweise von Herrn Germann zur Verfügung gestellt. Herr Germann macht als Arzt bei Dr. Dumermuth eine Dissertation über spektrale Peak-Statistik.

im Rahmen ihres innern Zusammenhangs frei gewählt werden und dirigieren alsdann den Ablauf des ganzen Programms.

Fig. 6:





Rückstellung sämtlicher pointer

letzter modifizierter Makrozyklus

S-Matrix: Add. + Subtr.

fülle linke Hälfte des Ausgangs unter Umgehung der Multiplikation

Rückstellung sämtlicher pointer

Rückstellung der Logik (Schieberegister und Binärzähler)

Oktaltabelle des Ausgangsregisters auf Tektronix-Display

Rückstellung sämtlicher pointer


```

0076      0235  3417      DCA I IF0
0077      0236  2247      ISZ HN00
0100      0237  5231      JMP SEQU00
0101
0102      0240  4653      JMS I SR5      /POINTERS RESET
0103      0241  4654      JMS I SR6      /RESET LOGIC
0104      0242  7402      HLT            /END FFT=====
0105
0106                                /PRINT OUTBATCH
0107      0243  4655      JMS I SR7      /BINARY OR OCTAL????
0110      0244  4653      JMS I SR5      /RESET LOGIC
0111
0112      0245  7402      HLT            /END MAIN PROGRAM///
0113                                ///////////////////////////////////////////////////
0114                                ///////////////////////////////////////////////////
0115      0246  0000  M00,   0
0116      0247  0000  HN00,  0
0117      0250  0400  SR2,   ROMPO2
0120      0251  0427  SR3,   MMTRX3
0121      0252  0600  SR4,   FEEDB4
0122      0253  0466  SR5,   SETPO5
0123      0254  0655  SR6,   SETLO6
0124      0255  6000  SR7,   PROCT7
0125
0126                                *20
0127      0020  7777  SR20,  7777      /INITIAL VALUES OF SR
0130      0021  0000  BZ20,  0000      /AND BZ FOR SUBR. 2
0131
0132                                /AUTOINDEX REGISTERS FOR BATCH POINTER
0133                                *10
0134      0010  0000  RA0,   0
0135      0011  0000  IA0,   0
0136      0012  0000  RB0,   0
0137      0013  0000  IB0,   0
0140      0014  0000  RE0,   0
0141      0015  0000  IE0,   0
0142      0016  0000  RF0,   0
0143      0017  0000  IF0,   0
0144
0145                                *6
0146      0006  0000  RRPTR,  0      /REAL ROM POINTER
0147      0007  0000  IRPTR,  0      /IMAG.ROM POINTER
0150
0151                                *30
0152      0030  0001  SR40,  0001      /INITIAL VALUES OF SR
0153      0031  0000  BZ40,  0000      /AND BZ FOR SUBR. 4
0154                                /=====
0155
0156                                *300
0157      0300  0000  SMTRX1, 0      //SUBROUTINE 1
0160      0301  7300  CLA CLL
0161      0302  1410  IAD I RA0
0162      0303  7415  ASR
0163      0304  0000  0
0164      0305  3342  DCA RA1
0165      0306  1411  IAD I IA0
0166      0307  7415  ASR
0167      0310  0000  0
0170      0311  3343  DCA IA1
0171      0312  1412  IAD I RB0
0172      0313  7415  ASR
0173      0314  0000  0
0174      0315  3344  DCA RB1

```

```

2175
0176 0316 1413 TAD I IB0
0177 0317 7415 ASR
0200 0320 0000 0
0201 0321 3345 DCA IB1
0202 0322 7100 CLL
0203 0323 1342 TAD RA1 //COMPLEX ADDITION
0204 0324 1344 TAD RB1 / A + B
0205 0325 3414 DCA I RE0
0206 0326 1343 TAD IA1
0207 0327 1345 TAD IB1
0210 0330 3415 DCA I IE0
0211
0212 0331 1344 TAD RB1 //COMPL. SUBTRACTION
0213 0331 1344 TAD RB1 / A - B
0214 0332 7040 CMA /1COMPL. AC
0215 0333 1342 TAD RA1
0216 0334 3026 DCA 26 /C(26) = RE[A-B]
0217 0335 1345 TAD IB1
0220 0336 7040 CMA
0221 0337 1343 TAD IA1
0222 0340 3027 DCA 27 /C(27) = IM[A-B]
0223
0224 0341 5700 END1, JMP I SMIRX1 //END SUBR. 1
0225 ///////////////////////////////////////////////////
0226 0342 0000 RA1, 0
0227 0343 0000 IA1, 0
0230 0344 0000 RB1, 0
0231 0345 0000 IB1, 0
0232 ASR=7415
0233
0234 *400
0235 0400 0000 ROMP02, 0 //SUBROUTINE 2
0236 0401 1021 TAD BZ20
0237 0402 0020 AND SR20 /AND-GATES, ROM-ADDRESS
0240 /Y IN AC
0241 0403 7421 MQL /0->MQ, AC->MQ, 0->AC
0242
0243 0404 1224 TAD RSTRT2 //ROM-POINTER RE IN 22
0244 0405 7501 MQA /AC=1200!Y
0245 0406 3006 DCA RRPTR /AC->REAL ROM POINTER
0246
0247 0407 1225 TAD ISIRI2 //ROM-POINTER IM IN 23
0250 0410 7501 MQA /AC=1200!Y
0251 0411 3007 DCA IRPTR /AC->IMAG.ROM POINTER
0252
0253 0412 2021 ISZ BZ20 //INCR. BZ
0254 0413 1021 TAD BZ20
0255 0414 0026 AND MASC2 /C(MASC2)=0004
0256 0415 7650 SNA CLA /SKIP IF AC=/=0
0257 0416 5223 JMP CNT1 /I.E. IF BZ=4
0260
0261 0417 1020 TAD SR20 //SHIFT SR 1 STEP
0262 0420 7104 CLL RAL /IF BZ=4
0263 0421 3020 DCA SR20
0264 0422 3021 DCA BZ20 /CLEAR BZ
0265
0266 0423 5600 CNT1, JMP I ROMP02 //END SUBR. 2 ///
0267
0270 0424 1000 RSTRT2, 1000 /REAL ROM START ADR.
0271 0425 1400 ISIRI2, 1400 /IMAG.ROM START ADR.
0272 0426 0000 MASC2, 0
0273 MQL=7421

```

```

0274
0275
0276      0427  0000  MMTRX3, 0
0277      0430  7302          CLA CLL
0300      0481  6141          LINC
0301
0302          LMODE
0303      0432  1006  RPROD,  LDA RRPTR      /LOAD REAL-ROM-PTR
0304      0433  1240          MUL          /MULTIPLY FRACTIONAL
0305      0434  4026          4000+26      /WITH C(26) -> AC
0306      0435  4465          STC P3      /STORE RESULT IN P3, CLA
0307
0310      0436  1207          LDA IRPTR
0311      0437  1240          MUL
0312      0440  4027          4000+27
0313      0441  0017          COX          /NEGATE RESULT
0314      0442  2465          ADD P3      /ADD PREVIOUS RESULT
0315      0443  4463          STC ZWSPRF  /INTERSTORE RF
0316
0317      0444  1006  IPROD,  LDA RRPTR
0320      0445  1240          MUL
0321      0446  4027          4000+27
0322      0447  4465          STC P3
0323
0324      0450  1007          LDA IRPTR
0325      0451  1240          MUL
0326      0452  4026          4000+26
0327      0453  2465          ADD P3
0330
0331      0454  4464          STC ZWSPIF  /INTERSTORE IF
0332      0455  0002          PDP
0333          PMODE
0334
0335      0456  1263          TAD ZWSPRF  //LOAD IND.IN OUTBATCH
0336      0457  3416          DCA I RF0
0337      0460  1264          TAD ZWSPIF
0340      0461  3417          DCA I IF0
0341      0462  5627          JMP I MMTRX3
0342
0343      0463  0000  ZWSPRF, 0
0344      0464  0000  ZWSPIF, 0
0345      0465  0000  P3,      0
0346
0347
0350      0466  0000  SETP05, 0
0351      0467  7302          CLA CLL      //SUBROUTINE 5
0352      0470  1311          TAD RA5    //RESETS AUTOINDEX REG.
0353      0471  3010          DCA RA0
0354      0472  1313          TAD IA5
0355      0473  3011          DCA IA0
0356      0474  1312          TAD RB5
0357      0475  3012          DCA RB0
0360      0476  1314          TAD IB5
0361      0477  3013          DCA IB0
0362      0500  1315          TAD RE5
0363      0501  3014          DCA RE0
0364      0502  1317          TAD IE5
0365      0503  3015          DCA IE0
0366      0504  1316          TAD RF5
0367      0505  3016          DCA RF0
0370      0506  1320          TAD IF5
0371      0507  3017          DCA IF0
0372

```

```
0373      0510  5666      JMP I SETPOS
0374
0375      0511  1777  RA5,    1777
0376      0512  2377  RB5,    2377
0377      0513  2777  IA5,    2777
0400      0514  3377  IB5,    3377
0401      0515  3777  RE5,    3777
0402      0516  4377  RF5,    4377
0403      0517  4777  IE5,    4777
0404      0520  5377  IF5,    5377
0405
0406
0407      0600  0000  FEEDB4, 0          *600          //SUBROUTINE 4
0410      0601  7300          CLA CLL
0411      0602  1101          TAD HN0
0412      0603  3254          DCA INCR34
0413
0414      0604  7650  LOOP34, SNA CLA      //IF GATEA=0 -> CNT24
0415      0605  5213          JMP CNT24
0416
0417      0606  1416          TAD I RF0          //F -> A
0420      0607  3410          DCA I RA0
0421      0610  1417          TAD I IF0
0422      0611  3411          DCA I IA0
0423      0612  5217          JMP CNT34
0424
0425      0613  1414  CNT24,  TAD I RE0      //E -> A
0426      0614  3410          DCA I RA0
0427      0615  1415          TAD I IE0
0430      0616  3411          DCA I IA0
0431
0432      0617  2031  CNT34,  ISZ BZ40
0433      0620  1031          TAD BZ40
0434      0621  0030          AND SR40
0435      0622  2254          ISZ INCR34      //SKIP IF INCR34=0
0436      0623  5204          JMP LOOP34
0437
0440      0624  1101          TAD HN0
0441      0625  3254          DCA INCR34
0442
0443      0626  7650  LOOP44, SNA CLA      //IF GATEA=0 -> CNT224
0444      0627  5235          JMP CNT224
0445
0446      0630  1416          TAD I RF0
0447      0631  3412          DCA I RB0
0450      0632  1417          TAD I IF0
0451      0633  3413          DCA I IB0
0452      0634  5241          JMP CNT334
0453
0454      0635  1414  CNT224, TAD I RE0
0455      0636  3412          DCA I RB0
0456      0637  1415          TAD I IE0
0457      0640  3413          DCA I IB0
0460
0461      0641  2031  CNT334, ISZ BZ40
0462      0642  1031          TAD BZ40
0463      0643  0030          AND SR40
0464      0644  2254          ISZ INCR34
0465      0645  5226          JMP LOOP44
0466
0467      0646  7200  END,    CLA
0470      0647  1030          TAD SR40
0471      0650  7104          CLL RAL
```

```

0472      0651  3030      DCA SR40
0473      0652  3031      DCA BZ40
0474
0475      0653  5600      JMP I FEEDB4      /END SUBR. 4
0476
0477      0654  0200  INCR34, 0
0500
0501      0655  0000  SETL06, 0      ////////////////
0502      0656  1261      TAD SR26      //SUBROUTINE 6
0503      0657  3020      DCA SR20      //RESETS SR AND BZ
0504      0660  7410      SKP
0505      0661  7777  SR26, 7777
0506      0662  1265      TAD SR46
0507      0663  3030      DCA SR40
0510      0664  7410      SKP
0511      0665  0001  SR46, 0001
0512      0666  3021      DCA BZ20
0513      0667  3031      DCA BZ40
0514
0515      0670  5655      JMP I SETL06      /END SUBR. 6
0516      ////////////////
0517

```

/ROM TABLE FOR N=256

```

0521      /-----
0522      *1000      /REAL PART
0523      1000  3777      3777      /0
0524      1001  3777      3777
0525      1002  3776      3776
0526      1003  3772      3772
0527      1004  3766      3766
0530      1005  3761      3761
0531      1006  3752      3752
0532      1007  3742      3742
0533
0534      1010  3731      3731      /10
0535      1011  3716      3716
0536      1012  3703      3703
0537      1013  3666      3666
0540      1014  3650      3650
0541      1015  3631      3631
0542      1016  3610      3610
0543      1017  3567      3567
0544
0545      1020  3544      3544      /20
0546      1021  3520      3520
0547      1022  3473      3473
0550      1023  3445      3445
0551      1024  3416      3416
0552      1025  3366      3366
0553      1026  3335      3335
0554      1027  3302      3302
0555
0556      1030  3247      3247      /30
0557      1031  3212      3212
0560      1032  3155      3155
0561      1033  3117      3117
0562      1034  3057      3057
0563      1035  3017      3017
0564      1036  2755      2755
0565      1037  2713      2713
0566
0567      1040  2650      2650      /40
0570      1041  2604      2604

```

0571	1042	2537	2537	
0572	1043	2472	2472	
0573	1044	2423	2423	
0574	1045	2354	2354	
0575	1046	2304	2304	
0576	1047	2233	2233	
0577				
0600	1050	2162	2162	/50
0601	1051	2110	2110	
0602	1052	2035	2035	
0603	1053	1761	1761	
0604	1054	1705	1705	
0605	1055	1631	1631	
0606	1056	1554	1554	
0607	1057	1476	1476	
0610				
0611	1060	1420	1420	/60
0612	1061	1341	1341	
0613	1062	1262	1262	
0614	1063	1202	1202	
0615	1064	1123	1123	
0616	1065	1042	1042	
0617	1066	0762	0762	
0620	1067	0701	0701	
0621				
0622	1070	0620	0620	/70
0623	1071	0536	0536	
0624	1072	0455	0455	
0625	1073	0373	0373	
0626	1074	0311	0311	
0627	1075	0227	0227	
0630	1076	0144	0144	
0631	1077	0062	0062	
0632				
0633	1100	0000	0000	/100
0634	1101	7715	7715	
0635	1102	7633	7633	
0636	1103	7550	7550	
0637	1104	7466	7466	
0640	1105	7404	7404	
0641	1106	7322	7322	
0642	1107	7241	7241	
0643	1110	7157	7157	
0644				
0645	1111	7076	7076	/110
0646	1112	7015	7015	
0647	1113	6735	6735	
0650	1114	6654	6654	
0651	1115	6575	6575	
0652	1116	6515	6515	
0653	1117	6436	6436	
0654	1120	6357	6357	
0655				
0656	1121	6301	6301	/120
0657	1122	6223	6223	
0660	1123	6146	6146	
0661	1124	6072	6072	
0662	1125	6016	6016	
0663	1126	5742	5742	
0664	1127	5667	5667	
0665	1130	5615	5615	
0666				
0667	1131	5544	5544	/130

0670	1132	5473	5473	
0671	1133	5423	5423	
0672	1134	5354	5354	
0673	1135	5305	5305	
0674	1136	5240	5240	
0675	1137	5173	5173	
0676	1140	5127	5127	
0677				
0700	1141	5064	5064	/140
0701	1142	5022	5022	
0702	1143	4760	4760	
0703	1144	4720	4720	
0704	1145	4660	4660	
0705	1146	4622	4622	
0706	1147	4565	4565	
0707	1150	4530	4530	
0710				
0711	1151	4475	4475	/150
0712	1152	4442	4442	
0713	1153	4411	4411	
0714	1154	4361	4361	
0715	1155	4332	4332	
0716	1156	4304	4304	
0717	1157	4257	4257	
0720	1160	4233	4233	
0721				
0722	1161	4210	4210	/160
0723	1162	4167	4167	
0724	1163	4146	4146	
0725	1164	4127	4127	
0726	1165	4111	4111	
0727	1166	4074	4074	
0730	1167	4061	4061	
0731	1170	4046	4046	
0732				
0733	1171	4035	4035	/170
0734	1172	4025	4025	
0735	1173	4016	4016	
0736	1174	4011	4011	
0737	1175	4005	4005	
0740	1176	4001	4001	
0741	1177	4000	4000	
0742	1200	4000	4000	
0743				
0744				
0745			*1400	//IMAG PART
0746	1400	0000	0000	/0
0747	1401	0062	0062	
0750	1402	0144	0144	
0751	1403	0227	0227	
0752	1404	0311	0311	
0753	1405	0373	0373	
0754	1406	0455	0455	
0755	1407	0536	0536	
0756				
0757	1410	0602	0602	/10
0760	1411	0701	0701	
0761	1412	0762	0762	
0762	1413	1042	1042	
0763	1414	1123	1123	
0764	1415	1202	1202	
0765	1416	1262	1262	
0766	1417	1341	1341	

0767				
0770	1420	1420	1420	/20
0771	1421	1476	1476	
0772	1422	1554	1554	
0773	1423	1631	1631	
0774	1424	1705	1705	
0775	1425	1761	1761	
0776	1426	2035	2035	
0777	1427	2110	2110	
1000				
1001	1430	2162	2162	/30
1002	1431	2233	2233	
1003	1432	2304	2304	
1004	1433	2354	2354	
1005	1434	2423	2423	
1006	1435	2472	2472	
1007	1436	2537	2537	
1010	1437	2604	2604	
1011				
1012	1440	2650	2650	/40
1013	1441	2713	2713	
1014	1442	2755	2755	
1015	1443	3017	3017	
1016	1444	3057	3057	
1017	1445	3117	3117	
1020	1446	3155	3155	
1021	1447	3212	3212	
1022				
1023	1450	3247	3247	/50
1024	1451	3302	3302	
1025	1452	3335	3335	
1026	1453	3366	3366	
1027	1454	3416	3416	
1030	1455	3445	3445	
1031	1456	3473	3473	
1032	1457	3520	3520	
1033				
1034	1460	3544	3544	/60
1035	1461	3567	3567	
1036	1462	3610	3610	
1037	1463	3631	3631	
1040	1464	3650	3650	
1041	1465	3666	3666	
1042	1466	3703	3703	
1043	1467	3716	3716	
1044				
1045	1470	3731	3731	/70
1046	1471	3742	3742	
1047	1472	3752	3752	
1050	1473	3761	3761	
1051	1474	3766	3766	
1052	1475	3772	3772	
1053	1476	3776	3776	
1054	1477	3777	3777	
1055				
1056	1500	3777	3777	/100
1057	1501	3777	3777	
1060	1502	3776	3776	
1061	1503	3772	3772	
1062	1504	3766	3766	
1063	1505	3761	3761	
1064	1506	3752	3752	
1065	1507	3742	3742	

1066				
1067	1510	3731	3731	/110
1070	1511	3716	3716	
1071	1512	3703	3703	
1072	1513	3666	3666	
1073	1514	3650	3650	
1074	1515	3631	3631	
1075	1516	3610	3610	
1076	1517	3567	3567	
1077				
1100	1520	3544	3544	/120
1101	1521	3520	3520	
1102	1522	3473	3473	
1103	1523	3445	3445	
1104	1524	3416	3416	
1105	1525	3366	3366	
1106	1526	3335	3335	
1107	1527	3302	3302	
1110				
1111	1530	3247	3247	/130
1112	1531	3212	3212	
1113	1532	3155	3155	
1114	1533	3117	3117	
1115	1534	3057	3057	
1116	1535	3017	3017	
1117	1536	2755	2755	
1120	1537	2713	2713	
1121				
1122	1540	2650	2650	/140
1123	1541	2604	2604	
1124	1542	2537	2537	
1125	1543	2472	2472	
1126	1544	2423	2423	
1127	1545	2354	2354	
1130	1546	2304	2304	
1131	1547	2233	2233	
1132				
1133	1550	2162	2162	/150
1134	1551	2110	2110	
1135	1552	2035	2035	
1136	1553	1761	1761	
1137	1554	1705	1705	
1140	1555	1631	1631	
1141	1556	1554	1554	
1142	1557	1476	1476	
1143				
1144	1560	1420	1420	/160
1145	1561	1341	1341	
1146	1562	1262	1262	
1147	1563	1202	1202	
1150	1564	1123	1123	
1151	1565	1042	1042	
1152	1566	0762	0762	
1153	1567	0701	0701	
1154				
1155	1570	0620	0620	/170
1156	1571	0536	0536	
1157	1572	0455	0455	
1160	1573	0373	0373	
1161	1574	0311	0311	
1162	1575	0227	0227	
1163	1576	0144	0144	
1164	1577	0062	0062	//END ROM256

1165					
1166					
1167				*6000	
1170	6000	0000	PROCT7,	0	///PROCT7///
1171	6001	7344		CLA CLL CMA RAL	
1172	6002	3333		DCA COUN12	/COUN12=-2
1173	6003	3331		DCA R011	/CLEAR R011
1174	6004	6046		TLS	/CLEAR PRINT FLAG
1175					
1176	6005	7000	SKPLP,	NOP	//SKIPLOOP,TWO RUNS
1177	6006	3332		DCA E0F1	/CLEAR E0F1
1200	6007	1331		TAD R011	/1.RUN=0, 2.RUN=1
1201	6010	7450		SNA	
1202	6011	4615		JMS I SRE	/FIRST RUN
1203	6012	7440		SZA	
1204	6013	4617		JMS I SRI	/SECND.RUN
1205	6014	7410		SKP	
1206	6015	6244	SRE,	REAL	
1207	6016	7410		SKP	
1210	6017	6272	SRI,	IMAG	
1211	6020	7200		CLA	/STORE R-I-INDEX
1212	6021	4734		JMS I SRCRLF	
1213	6022	4771		JMS I SP4	
1214					
1215	6023	1327		TAD HEADX	
1216	6024	3332		DCA HEADIN	/SET HEADINDEX =COL-NR.
1217	6025	3231		DCA COLIN	/CLEAR COLINDEX
1220					
1221	6026	4771	HEADLP,	JMS I SP4	//LOOP PRINTS COL.HEAD
1222	6027	4770		JMS I SP3	
1223	6030	4335		JMS COLNR	
1224	6031	0000	COLIN,	0	
1225	6032	2231		ISZ COLIN	/COLINDEX 2...7
1226	6033	2330		ISZ HEADIN	/COUNTINDEX -7...0
1227	6034	5226		JMP HEADLP	
1230					
1231	6035	4734		JMS I SRCRLF	
1232	6036	4734		JMS I SRCRLF	
1233					
1234	6037	3251		DCA LNR	/CLEARS LINE NR.
1235					
1236	6040	1100		TAD N0	//RESET N0D3
1237	6041	7415		ASR	
1240	6042	0002		2	
1241	6043	3325		DCA N0D3	
1242					
1243	6044	1100	ADRGAP,	TAD N0	
1244	6045	7415		ASR	
1245	6046	0003		3	
1246	6047	3326		DCA N0D16	
1247					
1250	6050	4343	LNRLP,	JMS LINENR	//LP FOR LINE NR.
1251	6051	0000	LNR,	0	/LINE NR.[TO SR]
1252	6052	2251		ISZ LNR	
1253	6053	1327		TAD HEADX	
1254	6054	3330		DCA HEADIN	/COUNTINDEX -7...0
1255					
1256	6055	4771	LPRLP,	JMS I SP4	//LINEPRINT-LOOP
1257	6056	1332		TAD E0F1	
1260	6057	7650		SNA CLA	
1261	6060	5262		JMP E	
1262	6061	5266		JMP F	
1263	6062	1331	E,	TAD R011	/IF E0F1=0

1264	6063	7650		SNA CLA	
1265	6064	5272		JMP RE	
1266	6065	5300		JMP IE	
1267	6066	1331	F,	TAD R0I1	/IF EOF1=1
1270	6067	7650		SNA CLA	
1271	6070	5275		JMP RF	
1272	6071	5303		JMP IF	
1273	6072	7000	RE,	NOP	/IF R0I1=0
1274	6073	1414		TAD I RE0	
1275	6074	5305		JMP PR	
1276	6075	7000	RF,	NOP	/IF R0I1=0
1277	6076	1416		TAD I RF0	
1300	6077	5305		JMP PR	
1301	6100	7000	IE,	NOP	/IF R0I1=1
1302	6101	1415		TAD I IE0	
1303	6102	5305		JMP PR	
1304	6103	7000	IF,	NOP	/IF R0I1=1
1305	6104	1417		TAD I IF0	
1306	6105	4352	PR,	JMS PRAC	
1307	6106	2330		ISZ HEADIN	
1310	6107	5255		JMP LPRLP	
1311	6110	4773		JMS I CRL	
1312	6111	2325		ISZ N0D8	
1313	6112	7410		SKP	
1314	6113	5320		JMP ENDBA	
1315	6114	2326		ISZ N0D16	
1316	6115	5250		JMP LNRLP	
1317	6116	2332		ISZ EOF1	
1320	6117	5244		JMP ADRGAP	
1321	6120	7402	ENDBA,	HLT	/PAGE HALT
1322	6121	2331		ISZ R0I1	
1323	6122	2333		ISZ COUNT2	
1324	6123	5205		JMP SKPLP	
1325					
1326	6124	7402		HLT	/END SR PROCT7
1327					////////////////
1330					
1331	6125	0000	N0D8,	0	
1332	6126	0000	N0D16,	0	
1333	6127	7770	HEADX,	-10	
1334	6130	0000	HEADIN,	0	
1335	6131	0000	R0I1,	0	
1336	6132	0000	EOF1,	0	
1337	6133	0000	COUNT2,	0	
1340	6134	6234	SRCRLF,	CRLF	
1341				ASR=7415	
1342					
1343	6135	0000	COLNR,	0	//SR TYPES COL.NUMBER
1344	6136	1735		TAD I COLNR	/HEADIN->AC
1345	6137	1367		TAD K260	/ADD ASCII-MASC
1346	6140	4772		JMS I TYP	
1347	6141	2335		ISZ COLNR	
1350	6142	5735		JMP I COLNR	
1351					
1352	6143	0000	LINENR,	0	//SR LINE NR.
1353	6144	1743		TAD I LINENR	
1354	6145	7104		CLL RAL	
1355	6146	7006		RTL	
1356	6147	4352		JMS PRAC	
1357	6150	2343		ISZ LINENR	
1360	6151	5743		JMP I LINENR	
1361					
1362					

1363	6152	0000	PRAC,	0	//SUBR. PRINT AC
1364	6153	7421		MQL	/AC->MQ,0->AC
1365	6154	1365		TAD X	/LOAD LOOP INDEX
1366	6155	3366		DCA SHFTIN	
1367					
1370	6156	7413	SHFTLP,	SHL	/MQ0...MQ2-BIT -->AC
1371	6157	0002		2	
1372	6160	1367		TAD K260	
1373	6161	4772		JMS I TYP	
1374	6162	2366		ISZ SHFTIN	
1375	6163	5356		JMP SHFTLP	
1376					
1377	6164	5752		JMP I PRAC	
1400	6165	7774	X,	-4	
1401	6166	0000	SHFTIN,	0	
1402				SHL=7413	
1403				MQL=7421	
1404	6167	0260	K260,	0260	
1405	6170	6200	SP3,	SPACE3	
1406	6171	6213	SP4,	SPACE4	
1407	6172	6224	TYP,	TYPE	
1410	6173	6234	CRL,	CRLF	
1411	6174	6244	REA,	REAL	
1412					
1413					
1414				*6200	
1415	6200	0000	SPACE3,	0	//SEPARATES COLUMNS
1416	6201	1210		TAD X3	
1417	6202	3212		DCA I4	
1420					
1421	6203	1211	LOOP4,	TAD K240	
1422	6204	4224		JMS TYPE	
1423	6205	2212		ISZ I4	
1424	6206	5203		JMP LOOP4	
1425					
1426	6207	5600		JMP I SPACE3	
1427	6210	7775	X3,	-3	/LENGTH OF SPACE
1430	6211	0240	K240,	240	/ASCII FOR 1 SPACE
1431	6212	0000	I4,	0	
1432					
1433	6213	0000	SPACE4,	0	
1434	6214	1223		TAD X4	
1435	6215	3212		DCA I4	
1436	6216	1211	LOOP40,	TAD K240	
1437	6217	4224		JMS TYPE	
1440	6220	2212		ISZ I4	
1441	6221	5216		JMP LOOP40	
1442					
1443	6222	5613		JMP I SPACE4	
1444	6223	7774	X4,	-4	
1445					
1446					
1447	6224	0000	TYPE,	0	//TYPE SUBROUTINE
1450	6225	6041		TSF	/SKIP ON TTY FLAG = 1
1451	6226	5225		JMP --1	
1452	6227	6046		TLS	/PRINT THE CHARACTER
1453	6230	6041		TSF	
1454	6231	5230		JMP --1	
1455	6232	7300		CLA CLL	
1456	6233	5624		JMP I TYPE	
1457					
1460	6234	0000	CRLF,	0	//CARR.RET./LINE FEED
1461	6235	1242		TAD K215	

1462	6236	4224		JMS TYPE	
1463	6237	1243		TAD K212	
1464	6240	4224		JMS TYPE	
1465	6241	5634		JMP I CRLF	
1466	6242	0215	K215,	215	/ASCII FOR CARR.RET.
1467	6243	0212	K212,	212	/ASCII FOR LINE FEED
1470					
1471					
1472	6244	0000	REAL,	0	
1473	6245	4647		JMS I SSP	
1474	6246	7410		SKP	
1475	6247	6200	SSP,	SPACE3	
1476	6250	1263		TAD CHREAL	
1477	6251	3010		DCA 10	
1500	6252	1270		TAD M4	
1501	6253	3271		DCA MM4	
1502	6254	1410	LOOP3,	TAD I 10	
1503	6255	4657		JMS I STY	
1504	6256	7410		SKP	
1505	6257	6224	SIY,	TYPE	
1506	6260	2271		ISZ MM4	
1507	6261	5254		JMP LOOP3	
1510	6262	5644		JMP I REAL	
1511	6263	6263	CHREAL,	.	
1512	6264	0322		322	
1513	6265	0305		305	
1514	6266	0301		301	
1515	6267	0314		314	
1516	6270	7774	M4,	-4	
1517	6271	0000	MM4,	0	
1520					
1521	6272	0000	IMAG,	0	
1522	6273	4647		JMS I SSP	
1523	6274	1305		TAD CHIMAG	
1524	6275	3010		DCA 10	
1525	6276	1270		TAD M4	
1526	6277	3271		DCA MM4	
1527	6300	1410	LOOP33,	TAD I 10	
1530	6301	4657		JMS I STY	
1531	6302	2271		ISZ MM4	
1532	6303	5300		JMP LOOP33	
1533	6304	5672		JMP I IMAG	
1534	6305	6305	CHIMAG,	.	
1535	6306	0311		311	
1536	6307	0315		315	
1537	6310	0301		301	
1540	6311	0307		307	

NO ERRORS

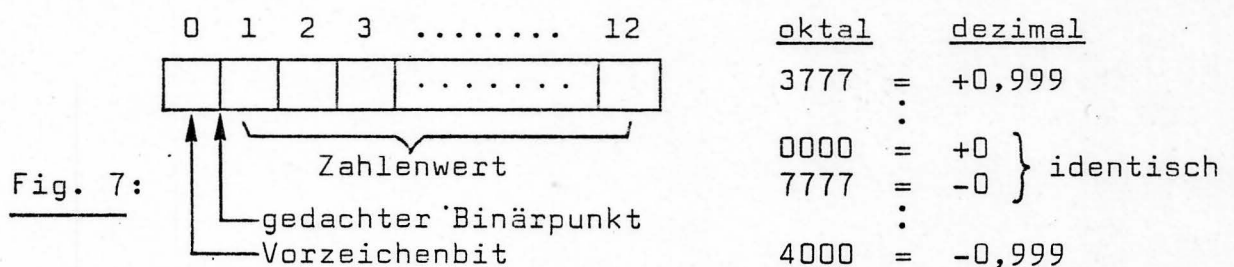
ADRGAP 6044
 ASR 7415
 BZ20 0021
 BZ40 0031
 CHIMAG 6305
 CHREAL 6263
 CNT1 0423
 CNT224 0635
 CNT24 0613
 CNT334 0641
 CNT34 0617
 COLIN 6031
 COLNR 6135

COUNT2	6133	PROCT7	6000
CRL	6173	P3	0465
CRLF	6234	RA0	0010
E	6062	RA1	0342
END	0646	RA5	0511
ENDBA	6120	RB0	0012
END1	0341	RB1	0344
EOF1	6132	RB5	0512
F	6066	RE	6072
FEEDB4	0600	REA	6174
HEADIN	6130	REAL	6244
HEADLP	6026	RE0	0014
HEADX	6127	RE5	0515
HN0	0121	RF	6075
HN00	0247	RF0	0016
IA0	0011	RF5	0516
IA1	0343	ROMP02	3400
IA5	0513	RPROD	0432
IB0	0013	RRPTR	0006
IB1	0345	RSTR12	0424
IB5	0514	ROI1	6131
IE	6100	SEQU0	0215
IE0	0015	SEQU00	0231
IE5	0517	SETLO6	0655
IF	6103	SETPO5	2466
IF0	0017	SHFTIN	6166
IF5	0520	SHFTLP	6156
IMAG	6272	SHL	7413
INCR34	0654	SKPLP	6005
IPROD	0444	SM1RX1	0300
IRPTR	0007	SPACE3	6200
ISTR12	0425	SPACE4	6213
ITER0	0213	SP3	6170
I4	6212	SP4	6171
K212	6243	SRCRLF	6134
K215	6242	SRE	6015
K240	6211	SRI	6017
K260	6167	SR2	0250
LINENR	6143	SR20	0020
LNR	6051	SR26	0661
LNRLP	6050	SR3	0251
LOOP3	6254	SR4	0252
LOOP33	6300	SR40	0030
LOOP34	0604	SR46	0665
LOOP4	6203	SR5	0253
LOOP40	6216	SR6	0254
LOOP44	0626	SR7	0255
LPRLP	6055	SSP	6247
MASC0	0211	STY	6257
MASC2	0426	TYP	6172
MMTRX3	0427	TYPE	6224
MM4	6271	X	6165
MQA	7501	X3	6210
SQL	7421	X4	6223
MSC	0103	ZWSPIF	0464
M0	0102	ZWSPRF	0463
M00	0246		
M4	6270		
N0	0100		
N0D16	6126		
N0D8	6125		
PR	6105		
PRAC	6152		

Die Kolonne ganz links besteht aus der fortlaufenden Zeilennummer der Liste. Die nächste Kolonne gibt die jeweilige Adresse an. Die dritte Zahlenkolonne enthält den Binärcode der einzelnen Befehle. Die bis 6-teiligen Namen werden von Kommata abgeschlossen und die Assembler-Mnemonics bestehen wie üblich aus drei Buchstaben. Nach Schrägstrichen / folgen Kommentare. Wo nötig, ist der Befehlsablauf kommentiert, was die Uebersicht auch für den Programmierenden wesentlich erhöht.

Einige Bemerkungen zur Zahldarstellung:

Im LINC-Mode existiert ein Befehl MUL, der 9,6 μ sec braucht für eine vollständige Einerkomplement-Multiplikation von Bruchzahlen. Die vergleichbare EAE²-Multiplikation MUY im P-Mode verarbeitet nur Integerzahlen ohne Vorzeichen, dies in 9 μ sec. Mit Hilfe des EAE-Befehlsschatzes würde man mehrere Befehle brauchen, um MUL nachzuvollziehen. Um ein schnelles Programm zu haben (für Simulation kein wichtiges Argument) und - vor allem - ein möglichst einfaches, entschied ich mich nach einigen Versuchen, MUL zu verwenden. Die hierfür notwendige Bruch-(engl. fractional-) Darstellung im Einerkomplement ist in Fig. 7 erklärt. Zur Zahldarstellung durch Komplemente vergleiche man (24).



In einer rekursiven Festkomma-Maschine ist Bruchdarstellung angezeigt, weil nur damit mühelos eine feste Wortlänge im ganzen Rechenablauf eingehalten werden kann. Die Multiplikation zweier b-bit Zahlen ergibt ein 2b-bit Produkt. Zur Einschränkung auf die Wortlänge b lässt man die letzten b Ziffern einfach fallen.

² EAE= extended arithmetic element, Befehlsrepertoire für umfassende Multiplikations-/Divisions-Subroutinen

Eine solche Approximation lässt sich mit Integer-Zahlen nicht durchführen. Die Entscheidung zugunsten der Bruchdarstellung ist deshalb auch für den Hardware-Prozessor verbindlich. Die Wahl des Einerkomplements ist ^{hier} allerdings nur eine Programmierfrage; bei der verdrahteten Maschine sind ausschliesslich Hardware-Rücksichten für die Entscheidung massgebend. In den Kapiteln 2 und 3 gehe ich auf diese Fragen genauer ein. -

Weitere Einzelheiten sind aus dem Programm selber und aus dortigen Kommentaren ersichtlich. Die Bedeutung der Befehle lassen sich in den PDP-12 Handbüchern nachschlagen, insbesondere gibt das Werklein (6) einen kurzen Ein- und Ueberblick. Auf den Seiten 25bis 29 ist die ROM-Tabelle der harmonischen Gewichtsfaktoren ausgedruckt, zu welcher der Graph in Fig. 5 gehört. Diese ROM-Tabelle wurde von Hand als Quellenprogramm eingetippt. Anschliessend folgt ab Seite 30 die überraschend umfangreiche output-Routine PROCT7 für Tabellendarstellung. Der Schluss wird gebildet von einem alphabethischen listing der Namen und EAE-Befehle mit ihren zugehörigen Adressen bzw. Code-Nummern.

Zur Optimierung des Programms habe ich, vor allem aus ästhetischen Gründen, einige Zeit investiert. Die abgebildete beste Version braucht für $N=256$ 0,36 sec., für $N=512$ 0,81 sec Rechenzeit. Der Vergleich zum festverdrahteten FFT-Prozessor ist interessant: 0,0015 sec für $N=256$, wie ich in (14) abgeschätzt habe, also gut 200-mal schneller als sein Simulationsprogramm. Punkto Rechenzeit kann dieses aber trotzdem als sehr gutes FFT-Programm angesehen werden. Denn die allgemein anerkannte PDP-12 Fast-Fourier-Routine braucht umgerechnet für 256 komplexe Punkte ($\hat{=}$ 512 reelle Pkte) 1,33 sec. Selbst wenn darin mehr als eine rohe FFT-Prozedur enthalten ist, ist mein Simulationsprogramm wesentlich schneller. Der Matrix-Algorithmus von Pease ist mit hin auch softwaremässig beachtenswert, ein Resultat, das vielleicht Gegenstand einer kleineren Publikation sein könnte.

1.4. Einige Simulationsergebnisse

Zur praktischen Erprobung des Simulationsprogrammes stellte sich zunächst das Problem, den ROM-Inhalt und den Eingangsvektor, beides auf LINC-Tape gespeichert, an den vorgesehenen Plätzen (s. Fig. 4) in den Kernspeicher zu lesen. Ausserdem war der Resultatvektor zurück auf's Band zu befördern, wo er mit LOOKPLOT inspiziert werden konnte. Drei kleine Assembler-Routinen im L-Mode mussten hierfür entwickelt werden und sind unter den Namen INROM, INBATCHF und OUTAPE anschliessend dargestellt:

```
0000          *20
0001          /..... INROM .....
0002
0003          /PROGRAM TRANSFERS BLOCKS NR 110 AND
0004          /111 FROM LINC-TAPE UNIT 1
0005          /TO INBATCH REGISTERS 1000-1777
0006
0007          PMODE
0010          *7030
0011          7030  6141  LINC
0012          LMODE
0013          1031  0640  LDF 0          /SET DATA FIELD 0
0014          1032  0710  RDC U          /READ AND CHECK 1 TBLK
0015          1033  6110  6110          /MBLK 6 AND TBLK 110
0016          1034  0710  RDC U
0017          1035  7111  7111          /MBLK 7 AND TBLK 111
0020          /MBLK 6 = 1000-1377 IF DF=0
0021          /MBLK 7 = 1400-1777 IF DF=0
0022          1036  0002  PDP
0023          PMODE
0024          7037  7402  HLT
```

```

0000      *20
0001      /..... INBATCHF .....
0002
0003      /PROGRAM TRANSFERS BLOCKS NR 100 - 103
0004      /FROM LINC-TAPE UNIT 1
0005      /TO ALL INBATCH REGISTERS 2000 - 3777
0006
0007      /PROGRAM F CONTAINS PROGRAMS 1 AND 2 ... !
0010
0011      PMODE
0012      *7000
0013      7000  6141  LINC
0014      LMODE
0015      1001  0641  LDF 1      /SET DATA FIELD 1
0016      1002  0710  RDC U      /READ AND CHECK 1 TBLK
0017      1003  4100  4100      /MBLK 4 AND TBLK 100
0020      1004  0710  RDC U
0021      1005  5101  5101
0022      1006  0710  RDC U
0023      1007  6102  6102
0024      1010  0710  RDC U
0025      1011  7103  7103
0026      /MBLK 4 = 2000-2377
0027      /MBLK 5 = 2400-2777
0030      /MBLK 6 = 3000-3377
0031      /MBLK 7 = 3400-3777
0032      1012  0002  PDP
0033      PMODE -
0034      7013  7402  HLT

```

```

0000      *20
0001      /..... OUTAPE .....
0002
0003      /PROGRAM TRANSFERS FULL OUTBATCH
0004      /TO LINC-TAPE UNIT 1
0005      /RE -> TBLK 120, RF -> TBLK 121
0006      /IE -> TBLK 122, IF -> TBLK 123
0007
0010      PMODE
0011      *7100
0012      7100  6141  LINC
0013      LMODE
0014      1101  0642  LDF 2      /SET DATA FIELD 2
0015      /MBLK 4 = 4000-4377
0016      /MBLK 5 = 4400-4777
0017      /MBLK 6 = 5000-5377
0020      /MBLK 7 = 5400-5777
0021      1102  0714  WRC U      /WRITE AND CHECK 1 TBLK
0022      1103  4120  4120      /MBLK 4 AND TBLK 120
0023      1104  0714  WRC U
0024      1105  5121  5121
0025      1106  0714  WRC U
0026      1107  6122  6122
0027      1110  0714  WRC U
0030      1111  7123  7123
0031      1112  0002  PDP
0032      PMODE
0033      7113  7402  HLT -

```

Die Programme zur Erzeugung des ROM-Inhalts für 256 bzw. 512 Punkte und zur Synthese der Testvektoren habe ich in FOCAL-12 abgefasst (6). FOCAL-12 ist eine hochinteraktive, benutzerorientierte Befehlssprache, die, speziell für den PDP-12 entwickelt, ~~eine~~ eine erstaunliche Leistungsfähigkeit besitzt. Sie kann mit Assemblerrouinen verknüpft werden und beeinflusst deshalb auch periphere Einheiten (LINC-tape, scope, relay registers, A/D-channels). Sie verfügt über einen Satz wichtiger Funktionsprozeduren, was sie zur Erzeugung künstlicher Datensegmente und -fenster hervorragend geeignet macht.

Für N=512 erzeugt das Programm ROMF0512 den ROM-Inhalt (Fig. 8) und speichert ihn in den beiden Bandblöcken 110 und 111, die je 256 Punkte umfassen. Im Gegensatz zur Fig. 5, die ein im Quellenprogramm von Hand eingetipptes ROM für N=256 darstellt, ist dieses ROM im Quellenprogramm nicht sichtbar. 512 Punkte von Hand zu programmieren ist mühsamer, als die Alternative über FOCAL und Band.

Ab Seite 41 ff folgen für N=512 einige Simulationsbeispiele, und zwar in der Anordnung:

1. Seite: FOCAL-12-Programm und Kommentar
2. Seite: Eingangsvektor Realteil (Block 100 + 101)
" Imaginärteil (Block 102 + 103)
Ausgangsvektor Realteil (Block 120 + 121)
" Imaginärteil (Block 122 + 123)

Gegebenenfalls sind die Graphen mit Zahlenblöcken versehen, welche die Folge der Extremwerte (Spektrallinien) enthält; oder es schliesst eine vollständige alle Punkte enthaltende Tabelle an, die mit der Subroutine PROCT7 erzeugt wurde. Sterne * in den Graphen bezeichnen einzelne Punkte, deren Koordinaten (Anzahl Punkte von links / Ordinate in Fractional-Darstellung) dabeistehen. Alle Zahlen sind oktal.

*L L.ROMF0512.10
*U
C FOCAL-12

01.10 C ----- ROMF0512 -----
01.11 C
01.12 C DIESES PROGRAMM ERZEUGT DEN ROM INHALT FUER N=512
01.13 C UND SCHREIBT IHN IN BLOCK NR 110 UND 111 UOM UNIT 1
01.20 L O.F0,I,0110,1
01.30 S PI=3.1415926
01.40 F I=0.255,S F0(I)=2047*FCOS(2*PI*I/512)
01.50 L O.F1,I,0111,1
01.60 F I=0.255,S F1(I)=2047*FSIN(2*PI*I/512)
01.70 L C.F0
01.80 L C.F1
*

BLOCK 0110

BLOCK 0111

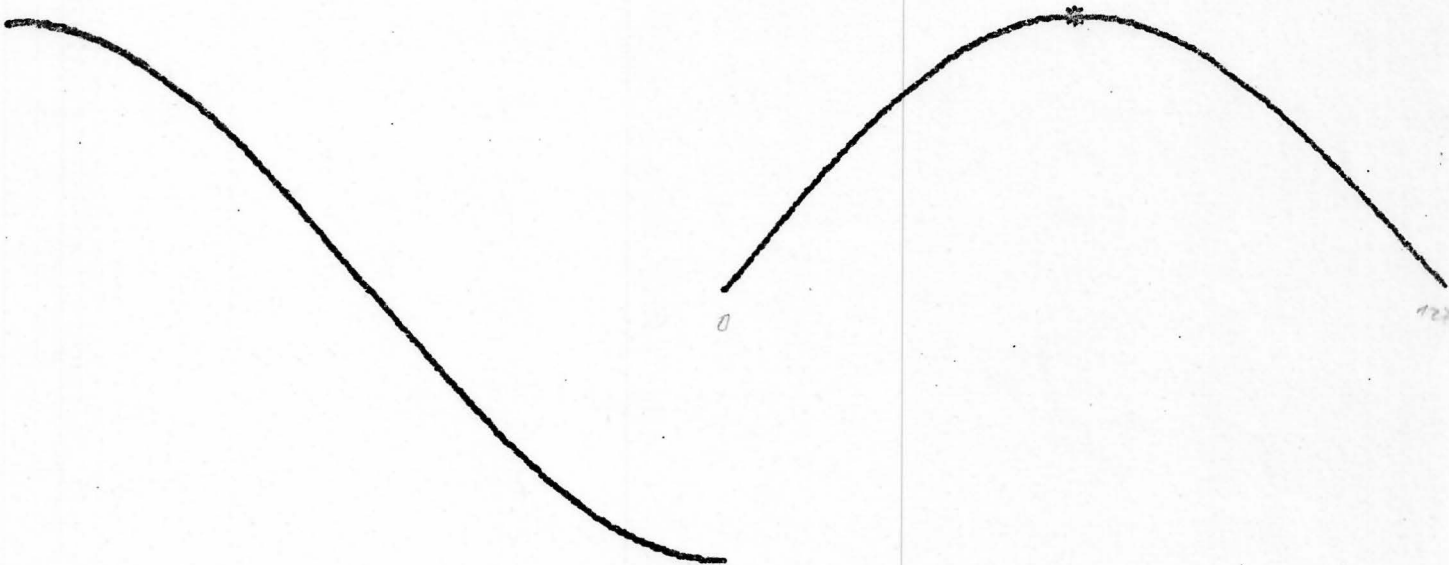


Fig. 8 ROM-Inhalt für N=512. Die beiden Band-Blöcke wurden mit Hilfe von LOOKPLOT auf den Tektronix-Bildschirm gezeichnet und mittels einer hard-copy unit auf Thermopapier gebannt. Die Strichschärfe ist leider nicht zu verbessern. Von den nebenstehenden Oktalzahlen bedeutet die obere die x-Position des Sterns * in Anzahl Punkten vom linken Blockrand (Beginn Sinusbogen), die untere die y-Position in Fractional-Darstellung ($3777 \approx +0,999\dots$).

200

3777

Das Beispiel Fig. 9 ist ein EEG-Stück mit geringer Aussteuerung (Amplitudenmaximum * = 0540 = 17 % des vollen Dynamikbereichs 0 - 3777). Der EEG-Vektor sitzt im Realteil des Eingangs, währenddem der imaginäre Eingang mit Nullen gefüllt ist (obere Zeile). Ausgangsseitig sieht man schön die in diesem Fall zu erwartenden Symmetrien:

- Der Realteil ist eine symmetrische Funktion (wegen der im Falle von DFT zulässigen periodischen Fortsetzung denke man sich Block 121 vor Block 120). Der erste Punkt von Block 120 ist dann die Spektrallinie mit Index 0 = DC-Pegel. Der DC-Pegel ist ungleich Null und positiv. Die Amplitude der Spektrallinien sind der geringen Aussteuerung wegen klein.
- Der Imaginärteil ist (bei derselben gedachten periodischen Fortsetzung mit Index Null zu Beginn von Block 122) eine antisymmetrische Funktion. Der Partner des unter dem Stern \ verborgenen Punkts zeigt deutlich nach unten (ganz rechts). Die Spektrallinie mit Index Null ist gleich Null.

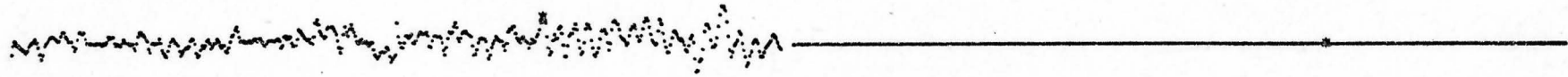
Auf den an Fig. 9 anschliessenden beiden Seiten steht der zu Fig. 9 gehörige Teletype-Output, der mit der Subroutine PROCT7 erzeugt wurde. Alle Symmetrien werden - bis auf Rundungs- bzw. Quantisierungsfehler - bestätigt. Insbesondere ist der DC-Pegel RE (A(0)) = 0027 und der korrespondierende Wert IM (A(0)) = 0000. Die Sterne RE (A(65)) = 0011 und IM (A(63)) = 0030 haben in der Tabelle dieselben Werte. Die Quantisierungsfehler, die durch die iterative Festkomma-Multiplikation mit 12 bit-Operanden entstehen, haben einen Maximalbetrag von 0006. So hoch ist der Fehler allerdings nur bei einzelnen wenigen Punkten. Im Übrigen werden höchstens die beiden letzten Stellen affiziert. Die Spektralampplituden sind relativ klein, entsprechend der geringen Aussteuerung im Eingang. Im Interesse eines grossen Geräuschabstandes sollten eingangsseitig höhere Amplituden verwendet werden.

BLOCK 0100

BLOCK 0101

BLOCK 0102

BLOCK 0103



144

0540

BLOCK 0120

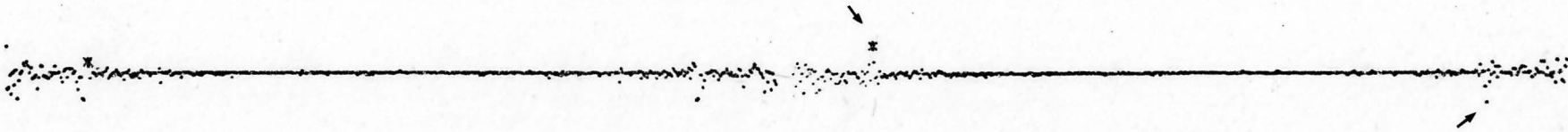
BLOCK 0121

144

0000

BLOCK 0122

BLOCK 0123



065

0011

003

0000

REAL

	0	1	2	3	4	5	6	7
0000	0027	7761	7762	7775	7754	0000	7764	0002
0010	7750	7770	7776	0001	0010	0006	0011	0006
0020	7777	0004	7772	7773	7775	7761	7773	0006
0030	0005	7774	7774	7773	7772	0000	7774	7777
0040	0005	7776	0000	0000	7773	7767	0001	0003
0050	7773	0003	0003	0003	7776	0001	7767	7760
0060	7773	7773	7750	7747	0007	0011	0005	7772
0070	0005	7777	7776	7774	0003	7776	7776	7774
0100	0000	0001	0004	7772	7775	7774	7777	7774
0110	0002	7777	7775	7774	7776	7771	7777	7777
0120	7777	0002	7775	7773	7776	7774	0000	7772
0130	0002	7777	7777	7777	0000	7777	7774	7777
0140	7777	7776	7776	7777	0003	7766	0000	7777
0150	7777	7776	7777	0001	7775	7775	7776	0000
0160	7776	7776	7777	7773	0000	0000	0000	7777
0170	7777	7776	7776	7775	7775	7777	7776	7775
0200	0000	7775	7777	0000	7777	7777	7777	7777
0210	7776	0000	7775	7777	7777	7775	7777	7775
2220	7777	7776	7777	7776	0000	7773	7777	7777
2230	7776	7776	7777	7776	0000	7777	7776	7777
0240	7776	7776	0000	7776	7777	7776	7776	7776
0250	0000	7777	7776	7777	7777	7776	7777	7776
0260	0000	7777	7776	7777	7776	7776	7777	7776
0270	0000	0000	0000	0000	7777	7777	7776	7776
0300	7777	7777	7776	7775	0001	7777	7776	7776
0310	7777	7777	7777	7777	7776	7776	7777	7776
0320	0000	7777	7777	7776	7777	7775	7777	7777
0330	7777	7776	7777	7776	7777	7777	7776	7776
0340	0000	7776	0000	7776	7777	7776	0000	7777
0350	0000	7775	7777	7776	0000	7777	7777	7775
0360	7776	7775	0000	7775	0000	7777	7777	7776
0370	7777	7776	0000	7776	7777	7777	7777	7776
0400	0000	7776	7777	7776	7777	7777	0001	7777
0410	7777	7777	7777	7776	7777	7777	0000	7777
0420	0000	7777	7777	7776	0000	7776	0000	7777
0430	0000	7777	7777	7776	7777	7777	7777	7776
0440	0000	7777	7777	7777	0000	7776	0000	7776
0450	7776	7776	0000	7776	7777	7776	0000	7777
0460	0000	7776	7777	7776	0000	7776	0000	7777
0470	0000	7776	7777	7777	0000	7775	7777	7775
0500	7777	7776	7777	7777	0000	7777	7776	7777
2510	7777	7776	7776	7777	7777	7776	0000	7776
0520	0000	7777	0000	7776	7777	7777	7777	7777
0530	7777	7776	7776	7776	7777	7776	0001	7776
0540	7776	7777	7777	7776	0000	7777	7777	7776
0550	7776	7775	0000	7772	0000	7776	7777	7775
0560	7777	7775	7776	7774	0001	7777	7775	0000
0570	7776	7777	7777	7776	0000	0000	7777	7774
2600	7777	7776	7776	7777	7776	7776	7776	7776
0610	7777	7777	0000	0000	0000	7774	7776	7776
0620	7776	7777	7776	7777	7775	0000	0000	7776
0630	7777	7777	0000	7767	0003	0000	7777	7776
0640	7777	7777	7775	7777	0000	7777	7777	7777
0650	0001	7772	7777	7774	0000	7773	7776	0001
0660	7777	7776	7777	7772	7777	7775	7776	7777
0670	0001	7773	7777	7775	7776	7774	0003	0001
0700	0000	7774	7777	7776	0002	7774	7777	7777
0710	0004	7772	0002	0010	0005	7747	7750	7775
0720	7775	7762	7770	7777	7776	0000	0000	0002
0730	7774	0001	0000	7771	7774	7776	7777	7777
0740	0003	7777	7775	7777	7774	7775	7775	7774
0750	0003	0002	7774	7763	7775	7774	7774	0002
0760	7777	0004	0007	0004	0003	0000	7776	7773

LAG

	0	1	2	3	4	5	6	7
0000	0000	7754	7764	0011	0005	7770	7777	7756
0010	0010	7774	0024	0000	0004	7766	0002	7756
0020	7772	7761	7774	7774	7770	0002	0004	0002
0030	7772	0000	7776	7766	0000	7766	7770	7774
0040	0000	7771	7767	0002	7777	7777	0000	0001
0050	0002	7774	7773	7766	0002	7770	7776	7764
0060	0001	0010	7771	0030	0012	7773	7774	7766
0070	0002	7774	7773	7776	7775	7773	7775	7775
0100	0000	7777	7774	7772	7776	7777	0001	0000
0110	7777	7775	0001	7775	7773	7774	7777	0000
0120	0002	7777	7777	7772	0003	7776	7776	7777
0130	0000	7775	7773	7777	7777	7774	7777	0002
0140	7777	0001	7776	0000	7775	7775	7776	7773
0150	7775	7777	7776	7774	7777	7775	7776	7774
0160	7777	7774	7777	7776	7776	7776	7777	7775
0170	7776	7774	7776	7775	7777	0000	7775	7773
0200	7777	7776	7777	7775	7776	7776	7776	7776
0210	7777	7776	7776	7776	7776	7776	7776	7777
0220	0000	7776	7776	7776	7776	7776	7776	7776
0230	7776	7775	7776	7776	7777	7777	7776	7774
0240	7776	7775	7776	7775	7777	7777	7776	7776
0250	7777	7775	7777	7776	7776	7777	7776	7776
0260	7776	7776	7776	7776	7776	7776	7777	7776
0270	7776	7776	7777	7777	7776	7777	7776	7777
0300	7777	7776	7776	7777	7776	7776	7777	7776
0310	7777	7776	7777	7776	7776	7776	7775	7776
0320	7776	7776	7776	7776	7776	7776	7777	7777
0330	7776	7777	7777	7776	7776	7777	7776	7776
0340	7776	7776	7776	7776	7776	7776	7776	7776
0350	7776	0000	7776	0000	7776	7776	7775	7777
0360	7776	7777	7777	7775	7777	7777	7776	7776
0370	7777	7776	7776	7776	7777	7776	7776	7776
0400	7777	7777	7777	7776	0000	7777	7776	7777
0410	7777	7777	7777	7777	7777	7777	7777	7777
0420	7777	0000	7777	7777	7777	7777	7777	7777
0430	7777	7777	7777	7777	7777	7777	7777	7777
0440	7777	7776	7776	7777	7776	0000	7777	7776
0450	7777	7777	0000	0001	7777	7777	7777	7777
0460	7776	7777	0000	7777	7777	0000	7777	7777
0470	7777	7777	7776	7777	7776	7776	7776	7776
0500	7777	7776	0001	7777	7777	7776	7776	7777
0510	7776	0000	7776	0000	0000	7777	0000	7777
0520	7777	7776	7776	7777	0000	7777	7777	0000
0530	7777	7776	0000	7776	7776	7777	7776	7777
0540	0000	0000	7777	7777	7776	7776	7777	0000
0550	0000	7776	7777	7777	0000	0000	7777	7777
0560	7776	7775	7776	7777	7777	0001	0000	0000
0570	7775	7775	7777	7776	0000	7777	7776	7776
0600	7776	0001	0000	7776	7777	7777	7777	7777
0610	7776	7777	7777	7777	7777	7777	7777	0000
0620	7775	7777	7777	7777	7777	7777	7777	7777
0630	7777	0000	7777	7777	0000	7776	7777	7775
0640	7775	7774	7777	0000	7776	7776	0001	7777
0650	7776	7776	0000	7777	7773	0002	7777	7777
0660	7775	7775	7777	7777	0001	7777	7774	7777
0670	7777	7775	7776	7776	7777	0002	0001	7776
0700	7776	7777	7777	0000	7777	7777	0002	7777
0710	7774	0007	0000	0001	7763	7745	0002	7767
0720	7775	0011	7777	0005	7773	0005	0000	0000
0730	7777	7776	7776	7777	7777	7774	0003	0003
0740	7775	7777	0003	0005	7777	0005	7777	7777
0750	0001	7773	7773	7775	0003	7777	0000	0012
0760	7777	0012	7774	0004	7774	7776	7773	7777
0770	7766	0012	7777	0001	7770	0000	0000	0010

*U

C FOCAL-12

```
01.10 C ***** DREIECK *****
01.11 C
01.12 C DIESE PROGRAMM ERZEUGT EINEN KOHAERENTEN
01.13 C DREIECK IN UNIT 1 NR 102-103 [IMAGINAER!]
01.14 C REAL INBATCH NR 100-101 SIND GLEICH NULL
01.20 L O.F0,I, $100,1
01.30 F I=0,15,S A(I)=I-8
01.31 F I=16,31,S A(I)=24-I
01.40 F I=0,15,F K=0,31,S F0(32*I+K+512)=A(K)*200
01.50 F I=0,511,S F0(I)=0

02.10 L C.F0
*
```

Obiges FOCAL-Programm generiert im Imaginärteil des Eingangs eine sog. "kohärente" oder besser harmonische Dreieckschwingung, deren Grundfrequenz ein ganzzahliges Vielfaches n_0 der reziproken Fensterläufe $1/T$ ist. In diesem Fall ist $n_0=16$ (= 20 oktal). Tatsächlich erscheint beim Punkt $\text{Im}(A(20))$ die Grundwelle 6564, was dem Amplitudenbetrag 1213 entspricht. Wie es beim Dreieck sein muss, erscheinen nur die ungeradzahligen Harmonischen, nämlich $A(60)$, $A(120)$, $A(160)$,... (immer oktale Indices!) Die Summe des Amplitudenbetrags ist

$$\begin{aligned} &1213 + 114 + 35 + 21 + 13 + 10 + 7 + 10 \\ &+ 1205 + 110 + 33 + 16 + 12 + 10 + 7 + 6 = 3074 \end{aligned}$$

das bis auf den Quantisierungsfehler der Maximalamplitude 3100 im Zeitbereich entspricht. Die Spektrallinien sind korrekterweise negativ; die beiden ersten stehen im Verhältnis 8,56 : 1 bzw. 8,95 : 1, theoretisch ist es 9 : 1. Der Fehler ist also 4,8 % bzw. 0,6 %.

Man beachte das Faktum, dass das Dreieck in die imaginäre Hälfte geschoben wurde. Hiefür gilt im Frequenzbereich: Realteil ungerade, Imaginärteil gerade. Bei allen Beispielen ausser Dreieck ist das umgekehrt.

BLOCK 0100

BLOCK 0101

BLOCK 0102

BLOCK 0103

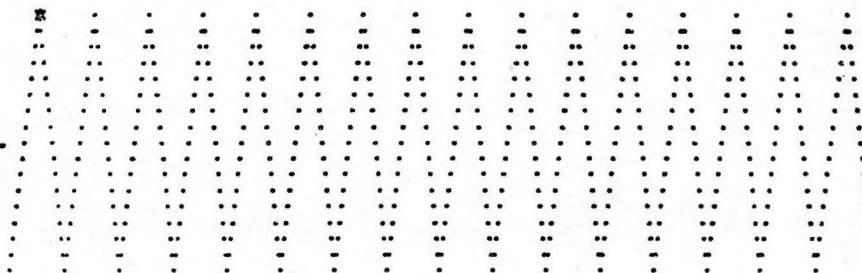


Fig. 10

020
 0000
 BLOCK 0120

BLOCK 0121

020
 3100
 BLOCK 0122

BLOCK 0123



020
 7776

020
 6564

000 0000
 017 7776
 060 7663
 120 7742
 160 7755
 220 7764
 260 7767
 320 7770
 360 7767
 000 7777
 020 7771
 060 7770
 120 7767
 160 7765
 220 7761
 260 7744
 320 7657
 360 6572

*L L. INKODREI.10

*U

C FOCAL-12

```
01.10 C ***** INKODREI *****
01.11 C
01.12 C DIESE PROGRAMM ERZEUGT EINEN INKOHÄERENTEN
01.13 C DREIECK IN UNIT 1 NR 102-103 [IMAGINÄER!]
01.14 C REAL INBATCH NR 100-101 SIND GLEICH NULL
01.20 L O.F0,I.*100.1
01.30 F I=0.17,S A(I)=I-9
01.31 F I=18.35,S A(I)=27-I
01.40 F I=0.15,F K=0.35,S F0(36*I+K+512)=A(K)*200
01.50 F I=0.511,S F0(I)=0

02.10 L C.F0
*
```

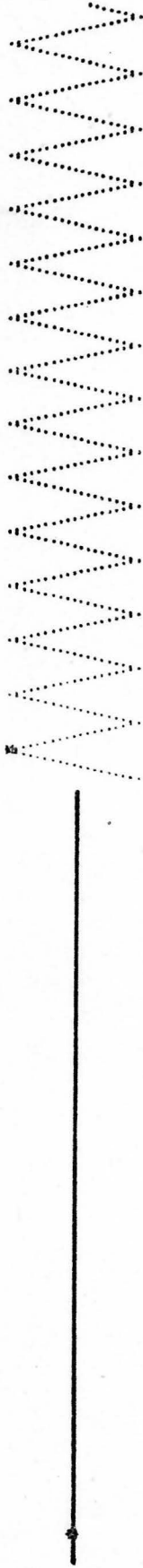
Hier (Fig. 11) ist der Dreieck "inkohärent" bzw. anharmonisch, es steht keine ganze Periodenzahl im Zeitfenster: $n_0 = 14,22$. Es ist also zu erwarten, dass die Spektrallinien $A(16)$ und $A(17)$ bzw. ihre Spiegelbilder betragsmäßig besonders hervorstechen. Dies wird bestätigt! Obwohl der Dreieck noch höhere Amplitude hat als in Fig. 10, ist der Betrag von $\text{Im}(A(16)) = 1010$, also eindeutig kleiner als im obigen harmonischen Fall (1213). Dies entsteht durch die Verteilung der Signalleistung auf die Seitenlinien und ist, wie im nächsten Kapitel gezeigt ist, letztlich eine Folge des endlichen Datenfensters (leakage, picked-fence effect). Die Seitenlinien fallen schneller ab, wenn entweder im Zeitbereich mit einer geeigneten Fensterfunktion multipliziert wird, oder aber im Frequenzbereich geglättet wird (z.B. Hanning). Auch eine spektrale Mittelung sukzessiver Zeitepochen kommt in Betracht.

BLOCK 0100

BLOCK 0101

BLOCK 0102

BLOCK 0103



022

0000

BLOCK 0120

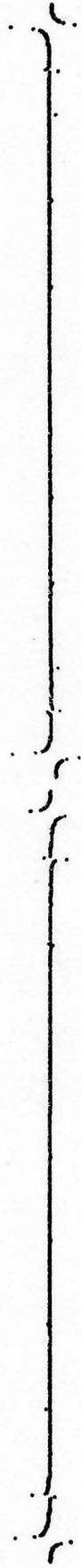
BLOCK 0121

BLOCK 0122

BLOCK 0123

022

3410



*

*

015

7122

016

6757

Fig. 11

U

C FOCAL-12

```
01.10 C ***** INCOSIN *****
01.20 C
01.30 C DIESES PROGRAMM ERZEUGT EINEN INKOHÄERENTEN
01.31 C SINUS UND SCHREIBT IHN IN BLOCK NR 100 UND
01.32 C 101 VON UNIT 1. NR 102 UND 103 SIND GLEICH NULL
01.40 L O.F0,I,$100,1
01.50 S PI=3.1415926
01.60 F I=0.511,S F0(I)=2047*FSIN(PI*I/9)
01.70 F I=512,1023,S F0(I)=0
01.80 L C.F0
*
```

Ein anharmonischer Sinus wird untersucht. $n_0 = 28,4$, also ist die 28. (dezimal) bzw. 34. (oktal) Spektrallinie besonders angeregt. Das Signal erzeugt erwartungsgemäss Reaktionen im Real- und Imaginärteil. Die Energie ist infolge "truncation" verschmiert.

BLOCK 0100

BLOCK 0101

BLOCK 0102

BLOCK 0103

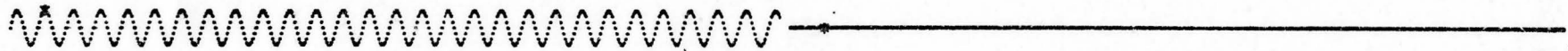


Fig. 12

026
 7737
 BLOCK 0120

BLOCK 0121

026
 0000
 BLOCK 0122

BLOCK 0123



034
 1306

012 0026
 016 0032
 022 0041
 024 0050
 027 0074
 031 0134
 032 0202
 033 0333
 034 1306
 035 6717
 036 7473
 037 7611
 040 7652
 041 7676
 043 7723
 046 7741
 052 7752

034
 0171

000 0000
 020 0000
 025 0004
 030 0011
 032 0022
 033 0042
 034 0171
 035 7630
 036 7730
 037 7747
 040 7754
 042 7763
 044 7765
 052 7772
 066 7773
 116 7774
 211 7776

ZL L.KOSAEGE.10
ZU
C FOCAL-12

01.10 C KOSAEGE
01.11 C
01.12 C PROGRAMM ERZEUGT EINEN KOHAERENTEN SAEGE-
01.13 C ZAHN AUF UNIT 1 NR 100-101
01.14 C NR 102-103 SIND GLEICH NULL
01.20 L O.F0.I.8100.1
01.30 F I=0.15,F K=0.31,S F0(32*I+K)=(K-15)*100
01.32 F I=512.1023,S F0(I)=0
01.40 L C.F0
*

Der harmonische Sägezahn (Fig. 13) unterscheidet sich grund-
sätzlich vom Dreieck durch seine Sprungstellen. Mit $n_0=16_{10}$
wird IM (A(20)) zur Grundlinie. Alle harmonischen "Obertöne"
sind vorhanden mit absteigender Amplitude gemäss der Folge
1, 1/2, 1/3, 1/4, ... Es sind Sinusschwingungen, was stimmt.
Im Realteil ist ein kleiner DC-Pegel zu bemerken: $RE(A(0)) =$
0062. Diese Unsymmetrie wird durch Auszählen verifiziert. Ferner
gibt es im Realteil eine auffällige, nicht abklingende Impuls-
folge, eine Art Delta-Kamm. Dessen Urbild im Zeitbereich ist eben-
falls ein Delta-Kamm und zwar mit derselben Periode wie der Sä-
gezahn. Es ist offenbar für DFT charakteristisch, Sprungstellen
in dieser Weise zu transformieren. Es sieht aus wie eine Kompen-
sation für ein Ueberschwingen in der Art des Gibbs-Phänomens!

BLOCK 0100

BLOCK 0101

BLOCK 0102

BLOCK 0103



Fig. 13

057
0000
BLOCK 0120

BLOCK 0121

057
0000
BLOCK 0122

BLOCK 0123

*
000 0062 000 7715
020 7714 020 7715
040 7714 040 7715
060 7714 060 7715
100 7714 100 7715
120 7714 120 7715
140 7715 140 7714
160 7715 160 7714
200 7715 200 7716
220 7715 220 7716
240 7715 240 7716
260 7715 250 7716
300 7715 300 7716
320 7715 320 7716
340 7715 340 7716
357 7776 350 7716

020

*
020
7007

000 0000 000 7777
020 0000 020 0004
020 7003 040 0010
040 7403 060 0016
060 7531 100 0023
100 7606 120 0031
120 7640 140 0040
140 7663 160 0047
160 7702 200 0060
200 7715 220 0073
220 7726 240 0110
240 7735 260 0134
260 7743 300 0166
300 7751 320 0242
320 7757 340 0370
340 7765 360 0767
360 7772

ZU

C FOCAL-12

```
01.10 C ***** KORECHT *****
01.11 C
01.12 C DIESES PROGRAMM ERZEUGT EINEN KOHAERENTEN
01.13 C RECHTECK AUF UNIT 1 NR 100-101
01.14 C NR 102-103 SIND GLEICH NULL
01.20 L O.F0,I,$100,1
01.30 F I=0.15,S A(I)=1000
01.31 F I=16.31,S A(I)=-1000
01.40 F I=0.15,F K=0.31,S F0(32*I+K)=A(K)
01.41 F I=512.1023,S F0(I)=0
01.50 L C,F0
*
```

Ganz ähnlich präsentiert sich die Zerlegung des harmonischen Rechtecks, mit dem Unterschied allerdings, dass nur ungeradzah-
lige Harmonische auftreten mit Amplituden proportional zu
1, 1/3, 1/5, 1/7, ... Die Vorzeichen der Sprünge nach vollen
Perioden sind nun positiv, dementsprechend ist das Vorzeichen
des Delta-Kamms positiv.

Fig. 14

040
1750
BLOCK 0120

BLOCK 0121

040
0000
BLOCK 0122

BLOCK 0123

020
0074

000	0000
020	0074
060	0076
120	0075
160	0074
220	0075
260	0075
320	0075
360	0074
020	0075
060	0075
120	0076
160	0075
220	0074
260	0074
320	0074
360	0073

020
1167

000	0000
020	1167
060	0314
120	0163
160	0111
220	0062
260	0040
320	0021
360	0003
020	7770
060	7753
120	7736
160	7714
220	7663
260	7613
320	7464
360	6612

XU

C FOCAL-12

```
01.10 C ***** INKORE *****
01.11 C
01.12 C DIESES PROGRAMM ERZEUGT EINEN INKOHARENTEN
01.13 C RECHTECK AUF UNIT 1 NR 100-101
01.14 C NR 102-103 SIND GLEICH NULL
01.20 L O.F0,I,$100.1
01.30 F I=0,14,S A(I)=1000
01.31 F I=15,29,S A(I)=-1000
01.40 F I=0,17,F K=0,29,S F0(30*I+K)=A(K)
01.41 F I=512,1023,S F0(I)=0
01.50 L C.F0
X
```

Die beiden Punkte, die in Block 101 der Fig. 15 ganz rechts noch zusätzlich eingeschoben wurden, machen den Rechteck anharmonisch und sind allein Ursache für die enorme Veränderung gegenüber Fig. 14. Abermals sind die Linien "verschmiert" infolge des 512 Punkte umfassenden Rechteckfensters T. In den anschliessenden Seiten folgt die Tabelle der Punkte in Block 120 - 123. Wie zu erwarten ist, treten Sinus- und Cosinusglieder auf.

BLOCK 0100

BLOCK 0101

BLOCK 0102

BLOCK 0103



036
1750

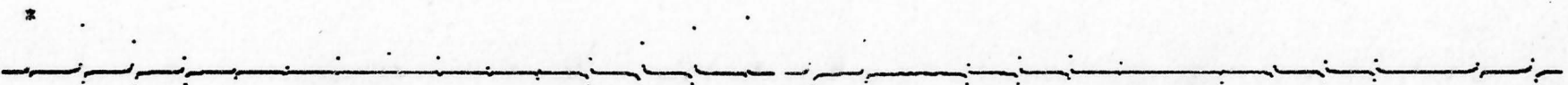
BLOCK 0120

BLOCK 0121

036
0000

BLOCK 0122

BLOCK 0123



000 0002
 021 0305
 053 0242
 125 0153
 167 0061
 231 0011
 274 0020
 336 0060
 000 0101
 042 0064
 104 0022
 147 0011
 211 0062
 253 0151
 315 0237
 357 0301

021

0705

021

1123

000 0000
 021 1123
 063 0161
 125 7773
 170 0036
 232 0067
 274 0071
 340 0000
 336 0043
 000 7777
 042 7730
 104 7702
 146 7707
 210 7740
 253 0001
 315 7616
 357 6657

Fig. 15

REAL

	0	1	2	3	4	5	6	7
0000	0002	0000	0000	0000	0000	0001	0001	0002
0010	0001	0002	0002	0002	0003	0003	0004	0007
0020	0014	0305	7763	7772	7774	7775	7777	7777
0030	0000	7777	0000	0000	0000	0001	0000	0000
0040	0000	0001	0001	0000	0002	0002	0002	0002
0050	0002	0002	0003	0003	0005	0006	0005	0010
0060	0011	0015	0032	0242	7731	7756	7765	7767
0070	7773	7773	7775	7775	7775	7775	7775	7776
0100	7776	7776	7777	7777	7777	0001	0000	0000
0110	7777	0001	0001	0001	0002	0002	0003	0004
0120	0006	0006	0010	0016	0031	0153	7712	7752
0130	7764	7766	7770	7772	7773	7773	7773	7773
0140	7774	7774	7775	7775	7775	7777	7776	7776
0150	7776	7776	7776	7776	7777	7777	0000	0000
0160	0000	0000	0003	0002	0004	0007	0015	0061
0170	7720	7760	7766	7770	7771	7772	7772	7773
0200	7773	7773	7773	7775	7774	7774	7775	7775
0210	7775	7775	7775	7775	7775	7775	7775	7776
0220	7776	7776	7777	7776	7776	7776	7776	7777
0230	0001	0011	7753	7772	7773	7774	7774	7775
0240	7774	7775	7774	7775	7776	7775	7775	7775
0250	7775	7775	7775	7776	7775	7775	7774	7776
0260	7775	7775	7775	7774	7775	7775	7775	7775
0270	7775	7774	7773	7770	0020	0001	7777	7777
0300	7776	7776	7776	7776	7777	7775	0000	7777
0310	7776	7776	7776	7777	7776	7776	7775	7776
0320	7776	7776	7776	7775	7776	7775	7775	7775
0330	7776	7775	7775	7775	7774	7770	0060	0001
0340	0000	0000	7777	7776	7776	7776	7776	7776
0350	7776	7776	7776	7776	0000	7777	7777	7776
0360	7776	7777	7776	7776	7777	0000	7777	7776
0370	7776	7777	7777	7776	7777	7777	7777	7777
0400	0101	7777	7777	7777	7777	7776	7776	7777
0410	7776	7777	7777	7777	7776	7776	7777	7776
0420	7777	0000	7776	7777	7777	0000	0000	0000
0430	7777	0000	7777	7777	7777	0000	0001	0001
0440	0001	0004	0064	7767	7773	7775	7775	7775
0450	7775	7775	7776	7776	7776	7775	7776	7775
0460	7776	7776	7775	7775	7776	7777	7776	7776
0470	7776	7776	7776	7776	7776	7776	7776	7777
0500	7777	7777	0000	0002	0022	7766	7773	7775
0510	7774	7774	7774	7776	7775	7775	7774	7775
0520	7775	7775	7775	7775	7776	7774	7775	7775
0530	7775	7775	7775	7775	7774	7774	7774	7774
0540	7775	7775	7774	7774	7774	7770	7753	0011
0550	0001	7777	7777	7777	7776	7776	7775	7775
0560	7775	7775	7776	7775	7775	7776	7774	7774
0570	7775	7775	7775	7775	7774	7775	7775	7774
0600	7774	7774	7774	7772	7771	7767	7764	7756
0610	7716	0062	0016	0006	0004	0002	0000	7777
0620	7777	7777	0000	7777	7777	7777	7777	7776
0630	7776	7776	7776	7775	7776	7775	7775	7774
0640	7775	7774	7775	7772	7773	7772	7770	7766
0650	7762	7752	7712	0151	0030	0014	0007	0005
0660	0004	0002	0002	0001	0000	0020	0000	0000
0670	0000	0001	0000	7777	7777	7776	7776	7776
0700	7777	7777	7777	7777	7776	7776	7775	7774
0710	7773	7771	7765	7760	7731	0037	0030	0015
0720	0011	0005	0005	0004	0003	0002	0002	0002
0730	0001	0002	0000	0000	0001	0001	0001	0000
0740	0001	0001	0000	7777	7777	7777	7777	7777
0750	7777	7777	7777	7777	7775	7774	7764	0301
0760	0013	0004	0003	0001	0002	0001	0000	0001
0770	0001	0000	0000	0001	0000	0000	0000	0000

IXAG

	2	1	2	3	4	5	6	7
0000	0200	7774	7774	7774	7776	7776	7776	7776
0010	7777	0000	0000	0002	0003	0206	0010	0016
0020	0041	1123	7722	7750	7757	7763	7764	7765
0030	7767	7770	7770	7771	7771	7772	7771	7772
0040	7773	7773	7773	7773	7774	7774	7775	7775
0050	7774	7774	7776	7775	7776	7776	0000	0000
0060	0002	0206	0016	0161	7736	7757	7764	7765
0070	7766	7767	7770	7771	7771	7773	7771	7771
0100	7772	7772	7773	7773	7773	7773	7773	7773
0110	7773	7773	7774	7774	7773	7773	7773	7773
0120	7773	7774	7774	7773	7773	7773	7774	7774
0130	7774	7774	7774	7773	7774	7774	7773	7773
0140	7773	7773	7773	7774	7774	7774	7774	7772
0150	7773	7774	7773	7772	7771	7773	7773	7771
0160	7771	7771	7772	7770	7766	7766	7761	7726
0170	0036	0007	0003	0000	7776	7777	7777	7776
0200	7776	7776	7776	7776	7776	7775	7776	7775
0210	7775	7775	7774	7775	7774	7774	7773	7774
0220	7774	7773	7773	7772	7772	7772	7770	7765
0230	7761	7727	0067	0015	0006	0004	0002	0001
0240	0000	0000	0000	0000	0000	7777	7777	7776
0250	7776	7777	7777	7776	7776	7777	7776	7776
0260	7776	7775	7776	7776	7774	7775	7774	7773
0270	7773	7773	7767	7753	0071	0011	0003	0002
0300	0001	0001	0001	0001	0000	0000	0000	7777
0310	7777	7777	7777	7777	0000	7777	0000	0000
0320	7777	7777	7777	7777	7776	7776	7776	7775
0330	7776	7776	7777	7775	7775	7772	0043	0001
0340	0000	0000	0000	0000	7777	0000	7777	7777
0350	7776	7776	7776	7776	7776	7776	7777	7776
0360	7777	7777	7777	0000	7776	7776	7776	0000
0370	7777	7777	7776	7776	7776	7776	7776	7776
0400	7777	7777	7777	7777	7777	7777	7777	7777
0410	0000	7777	7777	7777	7776	7777	7777	7777
0420	7776	7776	7777	7777	7776	7776	7777	7776
0430	7776	7775	7777	7776	7776	7775	7776	7775
0440	7774	7772	7730	0004	0001	0001	0000	7776
0450	7777	7777	7777	7776	7777	7777	7777	7777
0460	7777	7777	7777	7776	7777	7776	7777	7776
0470	7775	7776	7775	7776	7774	7775	7774	7774
0500	7773	7773	7770	7762	7702	0024	0010	0004
0510	0004	0002	0001	0001	0000	0000	0000	0000
0520	0000	7777	7777	0000	0000	0000	7777	7777
0530	7777	7777	7777	7776	7775	7775	7776	7774
0540	7774	7774	7774	7771	7767	7761	7707	0045
0550	0016	0007	0006	0005	0004	0004	0002	0002
0560	0002	0002	0001	0001	0001	0001	0000	0001
0570	7777	0000	0000	7777	7777	7776	7776	7777
0600	7777	7777	7777	7777	7777	7776	7773	7766
0610	7740	0050	0015	0010	0005	0005	0004	0003
0620	0003	0002	0002	0003	0003	0003	0003	0002
0630	0002	0002	0002	0002	0001	0001	0001	0002
0640	0001	0001	0001	0001	0001	0002	0002	0001
0650	0001	0000	0002	0001	0001	0000	0001	0001
0660	0001	0002	0001	0001	0001	0002	0001	0002
0670	0002	0002	0002	0002	0002	0002	0002	0003
0700	0002	0002	0002	0002	0003	0003	0003	0004
0710	0006	0006	0010	0016	0035	7616	7757	7771
0720	7774	7776	7776	7776	7777	7777	7777	0000
0730	7777	7777	0000	0000	0000	0001	0002	0002
0740	0001	0001	0001	0001	0002	0003	0004	0004
0750	0005	0005	0007	0011	0013	0023	0050	6657
0760	7736	7760	7766	7771	7773	7775	7775	7775
0770	7776	7776	7777	7777	7777	7777	7777	7777

U
C FOCAL-12

01.10 C IN3777
01.11 C
01.12 C DIESES PROGRAMM ERZEUGT IN NR.100-101
01.13 C DIE KONSTANTE EINS E=3777 OKTAL FRACTION]]
01.14 C NR.102-103 FUELLT ES MIT NULLEN
01.20 L O.F0.I.*100.1
01.21 F I=0.511,S F0(I)=2047
01.22 F I=512.1023,S F0(I)=0
01.23 L C.F0
*
*

Die Auswirkung des Zeitfensters allein:

$RE(A(o))=3776$ als einzelne Linie. Sie entspricht genau dem DC-Wert der verschobenen Linie im Eingang. Man kann das eingangsseitige Signal als Fensterfunktion auffassen, die mit dem zu transformierenden Signal multipliziert wird.

BLOCK 0100

BLOCK 0101

BLOCK 0102

BLOCK 0103



033

3777

BLOCK 0120

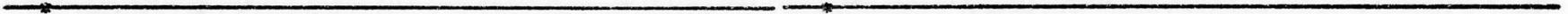
BLOCK 0121

033

0000

BLOCK 0122

BLOCK 0123



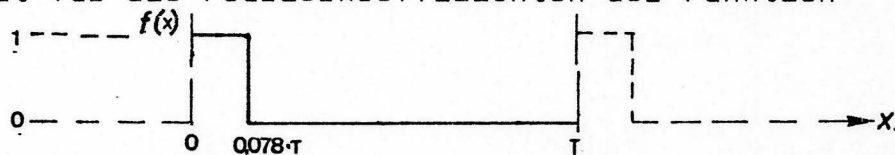
REAL

	0	1	2	3	4	5	6	7	
0000	3776	7776	7776	7776	7776	7776	7776	7776	
0010	7776	7776	7776	7776	7776	7776	7776	7776	
0020	7776	7776	7776	7776	7776	7776	7776	7776	
0030	7776	7776	7776	7776	7776	7776	7776	7776	
0040	7776	7776	7776	7776	7776	7776	7776	7776	
0050	7776	7776	7776	7776	7776	7776	7776	7776	
0060	7776	7776	7776	7776	7776	7776	7776	7776	
0070	7776	7776	7776	7776	7776	7776	7776	7776	
033 0100	7776	7776	7776	7776	7776	7776	7776	7776	033
0110	7776	7776	7776	7776	7776	7776	7776	7776	
7776 0120	7776	7776	7776	7776	7776	7776	7776	7776	7776

U
C FOCAL-12

```
01.10 C ..... IN3777 .....
01.11 C
01.12 C DIESES PROGRAMM ERZEUGT IN NR.100-101
01.13 C EIN KURZES RECHTECKFENSTER DER LAENGE 40
01.14 C NR.102-103 FUELLT ES MIT NULLEN
01.20 L O.F0,I,8100,1
01.21 F I=0,39,S F0(I)=2047
01.22 F I=40,1023,S F0(I)=0
01.23 L C.F0
*
XGO
```

Sobald das Fenster schmäler gemacht wird, wie in Fig. 17, ändert sich das Bild. Die Fourier-Transformierte eines Rechteckstosses ist eine - grob gesagt - $\sin x/x$ -Funktion. Genauer gilt für die Fourierkoeffizienten der Funktion



$$a_k = \frac{2}{T} \int_0^{0,0785} 1 \cdot \cos k \frac{2\pi}{T} x \, dx = \frac{1}{\pi k} \sin (0,156 \cdot \pi \cdot k) \quad k = 0,1,2,3,\dots$$

$$b_k = \frac{2}{T} \int_0^{0,0785} 1 \cdot \sin k \frac{2\pi}{T} x \, dx = \frac{1}{\pi k} (1 - \cos 0,156 \pi k)$$

a_k wird erstmals Null zwischen $k = 6$ und $k = 7$

b_k wird erstmals Null für das Doppelte, ca. $k = 13$,

wo $\cos(0,156 k \pi) \approx +1$ ist. b_0 ist Null; $a_0 = 0,156 \Rightarrow \text{RE}(A(0)) =$

$$= \frac{a_0}{2} = 0,078 \hat{=} 0237_8$$

All dies wird vom Graph in Fig. 17 und der anschliessenden Tabelle schön bestätigt.

BLOCK 0100

BLOCK 0101

BLOCK 0102

BLOCK 0103

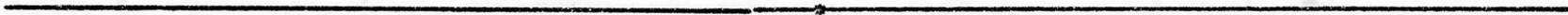


Fig. 17

047

3777

BLOCK 0120

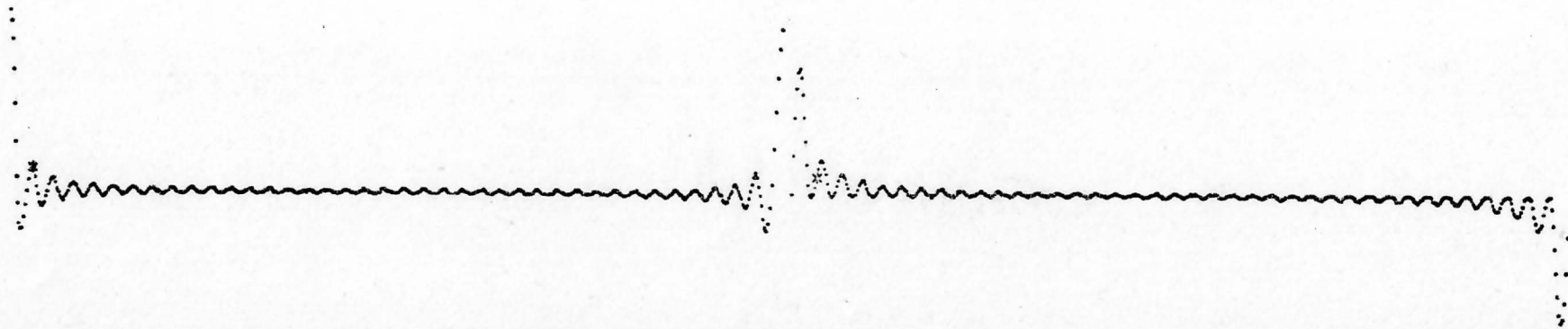
BLOCK 0121

047

0000

BLOCK 0122

BLOCK 0123



020

0074

020

0017

REAL

	0	1	2	3	4	5	6	7
0000	0236	0224	0204	0152	0113	0052	0014	7764
0010	7743	7736	7737	7750	7763	0000	0012	0022
0020	0024	0022	0014	0004	7774	7765	7762	7762
0030	7765	7772	0000	0006	0011	0013	0013	0007
0040	0002	7776	7772	7770	7767	7772	7774	0000
0050	0004	0006	0007	0006	0005	0002	7777	7774
0060	7772	7772	7773	7776	0001	0004	0005	0006
0070	0006	0003	0001	7777	7774	7773	7773	7775
0100	7776	0002	0003	0004	0004	0004	0003	0002
0110	7777	7776	7774	7775	7776	7776	0001	0002
0120	0003	0004	0003	0003	0002	0000	7777	7775
0130	7775	7775	7776	0001	0002	0003	0003	0003
0140	0002	0000	0001	7776	7775	7775	7776	7777
0150	0001	0002	0003	0003	0003	0002	0000	7777
0160	7777	7776	7776	7776	7777	0001	0002	0003
0170	0004	0003	0002	0001	0000	7777	7776	7776
0200	7776	0000	0001	0002	0003	0003	0003	0003
0210	0001	7777	7776	7777	7776	7776	0000	0001
0220	0001	0002	0002	0003	0002	0001	0000	7777
0230	7776	7776	7777	0000	0001	0001	0002	0002
0240	0003	0001	0000	0000	7776	7776	7777	7777
0250	0000	0001	0002	0002	0003	0003	0002	0000
0260	0000	0000	7776	7776	7777	0000	0001	0002
0270	0002	0001	0002	0002	0001	0000	7777	7776
0300	7776	0000	0000	0001	0001	0000	0002	0002
0310	0002	0001	7777	7777	7776	7776	7777	0001
0320	0001	0002	0001	0002	0002	0001	0001	0000
0330	7777	7777	7776	7777	0000	0001	0002	0002
0340	0002	0002	0001	0000	0000	0000	7776	7777
0350	0000	0001	0001	0003	0001	0002	0002	0000
0450	7777	7777	0000	0001	0002	0003	0002	0001
0460	0001	0001	0000	7777	7776	7777	0000	0001
0470	0001	0002	0002	0002	0003	0002	0000	0000
0500	7777	7777	7776	7777	0001	0001	0002	0003
0510	0002	0001	0001	0000	7777	7777	7776	7777
0520	0000	0001	0002	0002	0003	0003	0002	0002
0530	0000	7776	7777	7776	7777	0000	0000	0002
0540	0003	0003	0002	0001	0000	0000	7777	7776
0550	7776	7777	0000	0000	0002	0003	0003	0002
0560	0002	0001	7777	7777	7776	7776	7777	0000
0570	0001	0002	0003	0002	0003	0002	0001	7777
0600	7777	7777	7776	7777	0000	0000	0002	0002
0610	0002	0002	0001	0000	7777	7777	7777	7776
0620	7776	7777	0001	0002	0003	0002	0003	0002
0630	7777	7777	7776	7775	7776	7776	7777	0001
0640	0002	0002	0003	0003	0001	7777	0000	7776
0650	7775	7774	7775	7777	0000	0002	0003	0003
0660	0003	0001	7777	7777	7776	7775	7774	7775
0670	7777	0000	0001	0003	0004	0003	0002	7777
0700	7777	7775	7773	7774	7776	7777	0001	0003
0710	0003	0004	0004	0002	7777	7777	7774	7772
0720	7772	7773	7776	0001	0003	0006	0006	0005
0730	0002	0000	7777	7772	7771	7770	7771	7775
0740	0001	0003	0010	0011	0007	0003	7777	7774
0750	7767	7764	7764	7766	7774	0003	0011	0017
0760	0023	0017	0007	7777	7766	7752	7743	7740
0770	7746	7764	0011	0050	0110	0146	0177	0220

IMAG

	0	1	2	3	4	5	6	7
0000	0000	0041	0102	0133	0152	0155	0145	0126
0010	0102	0055	0031	0010	7776	7774	7777	0005
0020	0017	0026	0034	0035	0034	0026	0021	0011
0030	0002	7776	7774	7776	0002	0007	0014	0020
0040	0021	0020	0016	0011	0005	0000	7777	7775
0050	7776	0000	0004	0010	0012	0014	0014	0011
0060	0005	0002	7777	7776	7775	7775	0000	0002
0070	0035	0006	0007	0007	0005	0003	0002	0000
0100	7776	7775	7776	7777	0002	0005	0006	0007
0110	0005	0004	0003	7777	7777	7776	7775	7775
0120	7777	0001	0003	0005	0006	0004	0003	0001
0130	7777	7777	7776	7774	7776	7777	0001	0004
0140	0003	0004	0005	0002	0001	7777	7776	7776
0150	7775	7774	7777	0000	0003	0002	0003	0003
0160	0002	0001	7777	7776	7775	7776	7776	7776
0170	7777	0001	0002	0002	0003	0001	0001	7777
0200	7776	7776	7775	7775	0000	0001	0002	0003
0210	0002	0001	0000	0000	7777	7776	7776	7775
0220	7775	7777	0000	0001	0002	0002	0001	0000
0230	0000	7776	7776	7775	7776	7776	7777	0000
0240	0001	0001	0001	0001	0000	7777	7776	7776
0250	7775	7776	7777	7777	7777	0000	0001	0001
0260	0001	0000	0000	7776	7775	7775	7776	7775
0270	7777	7777	0001	0001	0001	0001	0000	7777
0300	7776	7776	7774	7775	7775	7777	7777	0001
0310	0001	0001	0000	0000	7776	7776	7776	7775
0320	7775	7776	7776	7777	0000	0001	0001	0000
0330	7777	7776	7776	7775	7775	7776	7776	7776
0460	0000	0001	0000	7777	7776	7776	7775	7775
0470	7774	7775	7775	0000	0000	0000	0001	7777
0500	7777	7776	7775	7774	7773	7774	7775	7776
0510	7776	7777	0000	0000	0000	7777	7776	7776
0520	7774	7774	7774	7774	7775	7777	0000	0000
0530	0000	0000	7777	7775	7775	7774	7774	7773
0540	7774	7775	7776	7777	0000	0000	7777	7777
0550	7776	7775	7774	7773	7772	7775	7776	7776
0560	7777	0000	0000	7777	7776	7775	7773	7773
0570	7772	7774	7775	7775	7776	0000	0000	0000
0600	7777	7777	7776	7774	7773	7774	7773	7774
0610	7775	7776	7777	7777	0000	7777	7777	7776
0620	7774	7772	7773	7772	7773	7775	7776	7777
0630	7777	7777	7777	7776	7775	7773	7772	7771
0640	7772	7774	7774	7776	7777	0000	7777	7777
0650	7776	7773	7772	7772	7770	7771	7772	7774
0660	7776	7777	7777	7777	7776	7776	7773	7772
0670	7770	7770	7770	7772	7774	7776	7777	0000
0700	7777	7777	7775	7772	7770	7766	7766	7766
0710	7770	7772	7775	7777	7777	7777	7777	7774
0720	7770	7765	7763	7762	7763	7766	7772	7775
0730	7776	7777	7777	7776	7772	7765	7761	7757
0740	7756	7757	7762	7767	7775	7776	7777	7777
0750	7775	7766	7756	7750	7743	7742	7744	7747
0760	7760	7767	7775	7777	7777	7765	7746	7723
0770	7676	7652	7632	7623	7626	7644	7676	7735

W
C FOCAL-12

```
01.10 C ***** COSWIND *****
01.11 C
01.12 C DIESES PROGRAMM MULTIPLIZIERT DIE EINGANGS-
01.13 C VEKTOREN IN NR 100-101 BZW. 102-103
01.14 C MIT EINEM COSINE-SQUARED WINDOW
01.15 C DAS WINDOW BEFINDET SICH IN NR 120-127
01.16 C DIE ABSCHWAECHUNG WIRKT AUF JE N RANDPUNKTE
01.17 S N=200

02.10 L O,F0,S,#120,1
02.11 L O,F1,S,#130,1
02.12 S PI=3.1415926535
02.20 F I=0,N-1,S F1(I)=FSIN(PI*I/(2*N))*FSIN(PI*I/(2*N))
02.30 F I=0,1023,S F0(I)=1
02.40 F I=0,N-1,S F0(I)=F1(I)
02.41 F I=0,N-1,S F0(511-I)=F1(I)
02.42 F I=0,N-1,S F0(512+I)=F1(I)
02.43 F I=0,N-1,S F0(1023-I)=F1(I)
02.50 L O,F2,I,#100,1
02.60 F I=0,1023,S F2(I)=F2(I)*F0(I)

03.10 L C,F0;L C,F1;L C,F2
XGO
```

Die Randabschwächung (tapering) des Rechteckfensters T wird hier mit einer halben Periode eines quadrierten Cosinus vorgenommen, wobei ein grosser Teil des Fensters miteinbezogen ist. Das Spektrum enthält eine grosse DC-Linie und nur etwa 3 Cosinus-Linien, wovon zwei mit negativem Vorzeichen.



310
 3777
 BLOCK 0120

BLOCK 0121

310
 0000
 BLOCK 0122

BLOCK 0123

Fig. 18



REAL		0	1	2	3	4	5	6	7	
0000	2330	6752	7620	0024	7772	7774	0000	7774	7774	
0010	7776	7776	7776	7776	7776	7776	7776	7776	7775	
0020	7776	7776	7776	7776	7776	7776	7776	7776	7776	
065	0750	7777	0000	7777	7777	7777	7777	7777	0000	065
	0760	7777	7777	7777	7777	7777	0000	7777	7777	
7776	0770	0000	7777	0000	7777	7777	0015	7626	6762	7776

J
C FOCAL-12

```
01.10 C ***** KORECHT *****  
01.11 C  
01.12 C DIESES PROGRAMM ERZEUGT EINEN KOHAERENTEN  
01.13 C RECHTECK AUF UNIT 1 NR 100-101  
01.14 C NR 102-103 SIND GLEICH NULL  
01.20 L O,F0,I,#100,1  
01.30 F I=0,15,S A(I)=1000  
01.31 F I=16,31,S A(I)=-1000  
01.40 F I=0,15,F K=0,31,S F0(32*I+K)=A(K)  
01.41 F I=512,1023,S F0(I)=0  
01.50 L C,F0  
*GO  
*
```

KU
C FOCAL-12

```
01.10 C ***** COSWIND *****  
01.11 C  
01.12 C DIESES PROGRAMM MULTIPLIZIERT DIE EINGANGS-  
01.13 C VEKTOREN IN NR 100-101 BZW. 102-103  
01.14 C MIT EINEM COSINE-SQUARED WINDOW  
01.15 C DAS WINDOW BEFINDET SICH IN NR 120-127  
01.16 C DIE ABSCHWAECHUNG WIRKT AUF JE N RANDPUNKTE  
01.17 S N=200  
  
02.10 L O,F0,S,#120,1  
02.11 L O,F1,S,#130,1  
02.12 S PI=3.1415926535  
02.20 F I=0,N-1,S F1(I)=FSIN(PI*I/(2*N))*FSIN(PI*I/(2*N))  
02.30 F I=0,1023,S F0(I)=1  
02.40 F I=0,N-1,S F0(I)=F1(I)  
02.41 F I=0,N-1,S F0(511-I)=F1(I)  
02.42 F I=0,N-1,S F0(512+I)=F1(I)  
02.43 F I=0,N-1,S F0(1023-I)=F1(I)  
02.50 L O,F2,I,#100,1  
02.60 F I=0,1023,S F2(I)=F2(I)*F0(I)  
  
03.10 L C,F0,L C,F1,L C,F2  
*GO
```

Ein harmonischer Rechteck $X(j)$ wird mit dem in Fig. 18 vorge-
stellten Cosinus-Window $C(j)$ multipliziert. Frequenzseitig ent-
spricht das gemäss dem Faltungstheorem einer Faltung der entspre-
chenden Fouriertransformierten $\tilde{X}(n)$ und $\tilde{C}(n)$

$$X(j).C(j) \xleftrightarrow{\text{FT}} A(n) = \tilde{X}(n) * \tilde{C}(n) = \sum_{k=0}^{N-1} \tilde{C}(k) \cdot \tilde{X}(n-k)$$

Ist $\tilde{X}(n)$ eine scharfe Linie (festes n), wie sie in Fig. 14 aus-
schliesslich auftreten, so ist in diesem Fall $A(n)$ durch das $\tilde{C}(0) < 1$
wesentlich kleiner. Insgesamt bildet sich die transformierte Fen-
sterfunktion $\tilde{C}(n)$ über jeder scharfen Linie ab, was den typischen
Verlauf von Fig. 19 erklärt.

BLOCK 0100

BLOCK 0101

BLOCK 0102

BLOCK 0103



Fig. 19

310 COSINE-SQUARED FENSTER WIRKT LINKS VOM STERN
 1750
 BLOCK 0120

BLOCK 0121

310
 0000
 BLOCK 0122

BLOCK 0123

<p>017 7756</p>	<p>020 0044 060 0044 120 0045 160 0044 220 0045 260 0045 320 0044 360 0044 020 0045 060 0045 120 0044 160 0045 220 0044 260 0044 320 0043 360 0043</p>	<p>*</p> <p>017 7532</p>	<p>020 0576 060 0172 120 0105 157 7752 160 0053 220 0035 260 0022 320 0011 360 0002 020 7773 060 7763 120 7752 160 7740 220 7722 260 7671 320 7604 360 7203</p>
---------------------	---	------------------------------	---

U

C FOCAL-12

```
01.10 C ..... COSWIND .....
01.11 C
01.12 C DIESES PROGRAMM MULTIPLIZIERT DIE EINGANGS-
01.13 C VEKTOREN IN NR 100-101 BZW. 102-103
01.14 C MIT EINEM COSINE-SQUARED WINDOW
01.15 C DAS WINDOW BEFINDET SICH IN NR 120-127
01.16 C DIE ABSCHWAECHUNG WIRKT AUF JE N RANDPUNKTE
01.17 S N=50

02.10 L O.F0,S.#120.1
02.11 L O.F1,S.#130.1
02.12 S PI=3.1415926535
02.20 F I=0,N-1,S F1(I)=FSIN(PI*I/(2*N))*FSIN(PI*I/(2*N))
02.30 F I=0,1023,S F0(I)=1
02.40 F I=0,N-1,S F0(I)=F1(I)
02.41 F I=0,N-1,S F0(511-I)=F1(I)
02.42 F I=0,N-1,S F0(512+I)=F1(I)
02.43 F I=0,N-1,S F0(1023-I)=F1(I)
02.50 L O.F2,I,#100.1
02.60 F I=0,1023,S F2(I)=F2(I)*F0(I)

03.10 L C,F0,L C,F1,L C,F2
*GO
```

In Fig. 20 wurde der Wirkungsbereich des tapering verkleinert. Demgemäss ändert sich der Verlauf der Fenstertransformierten. Qualitativ ist aber dieselbe Charakteristik wie in Fig. 19 zu erkennen. Der Rechteck ist nach wie vor harmonisch in T.

BLOCK 0100

BLOCK 0101

BLOCK 0102

BLOCK 0103

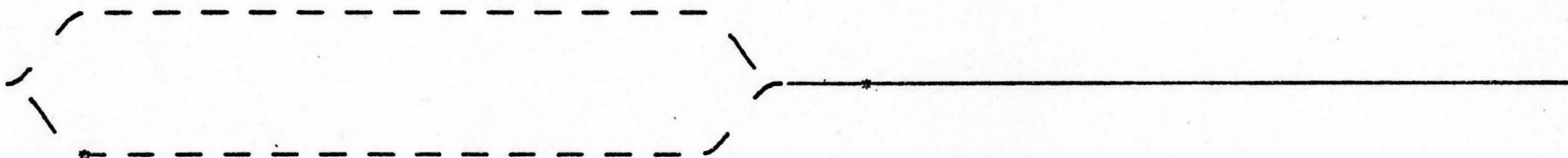


Fig. 20

062 COSINE-SQUARED FENSTER WIRKT LINKS UOM STERN

062

6230

0000

BLOCK 0120

BLOCK 0121

BLOCK 0122

BLOCK 0123



021

7770

000 7774
 020 0066
 060 0066
 120 0066
 160 0067
 220 0067
 260 0066
 320 0067
 360 0066
 020 0067
 060 0067
 120 0067
 160 0066
 220 0066
 260 0065
 320 0066
 360 0065

021

7700

000 0000
 020 1070
 060 0256
 120 0147
 160 0102
 220 0055
 260 0034
 320 0017
 360 0004
 020 7771
 060 7755
 120 7740
 160 7721
 220 7674
 260 7527
 320 7510
 360 6711

*L L.KORECHT.10

*W

C FOCAL-12

```
01 10 C ----- KORECHT -----
01 11 C
01 12 C DIESES PROGRAMM ERZEUGT EINEN KOHAERENTEN
01 13 C RECHTECK AUF UNIT 1 NR 100-101
01 14 C NR 102-103 SIND GLEICH NULL
01 20 L O.F0,I.#100,1
01 30 F I=0,15,S A(I)=1000
01 31 F I=16,31,S A(I)=-1000
01 40 F I=0,15,F K=0,31,S F0(32*I+K)=A(K)
01 41 F I=512,1023,S F0(I)=0
01 50 L C.F0
*GO
```

Der FFT-Algorithmus wurde in diesem Beispiel insofern verändert, als nun nicht mehr die volle Wortlänge von 12 bit wirksam ist. Mit einer Maske MSC, die auf Zeile 20 unter den initial constants zu finden ist (vgl. Seite 20), wurden an den Register- und ROM-Ausgängen Engpässe eingeführt. In diesem Beispiel habe ich so eine 8 bit Maschine simuliert. Gegenüber der 12-bit-Version Fig. 14 ist ein verstärktes Quantisierungsgeräusch zu erkennen. Die 8 bit-Simulation ist nicht ganz korrekt, denn die Arithmetik wurde intern nicht maskiert. Eine konsequente Maskierung wäre ziemlich aufwendig.

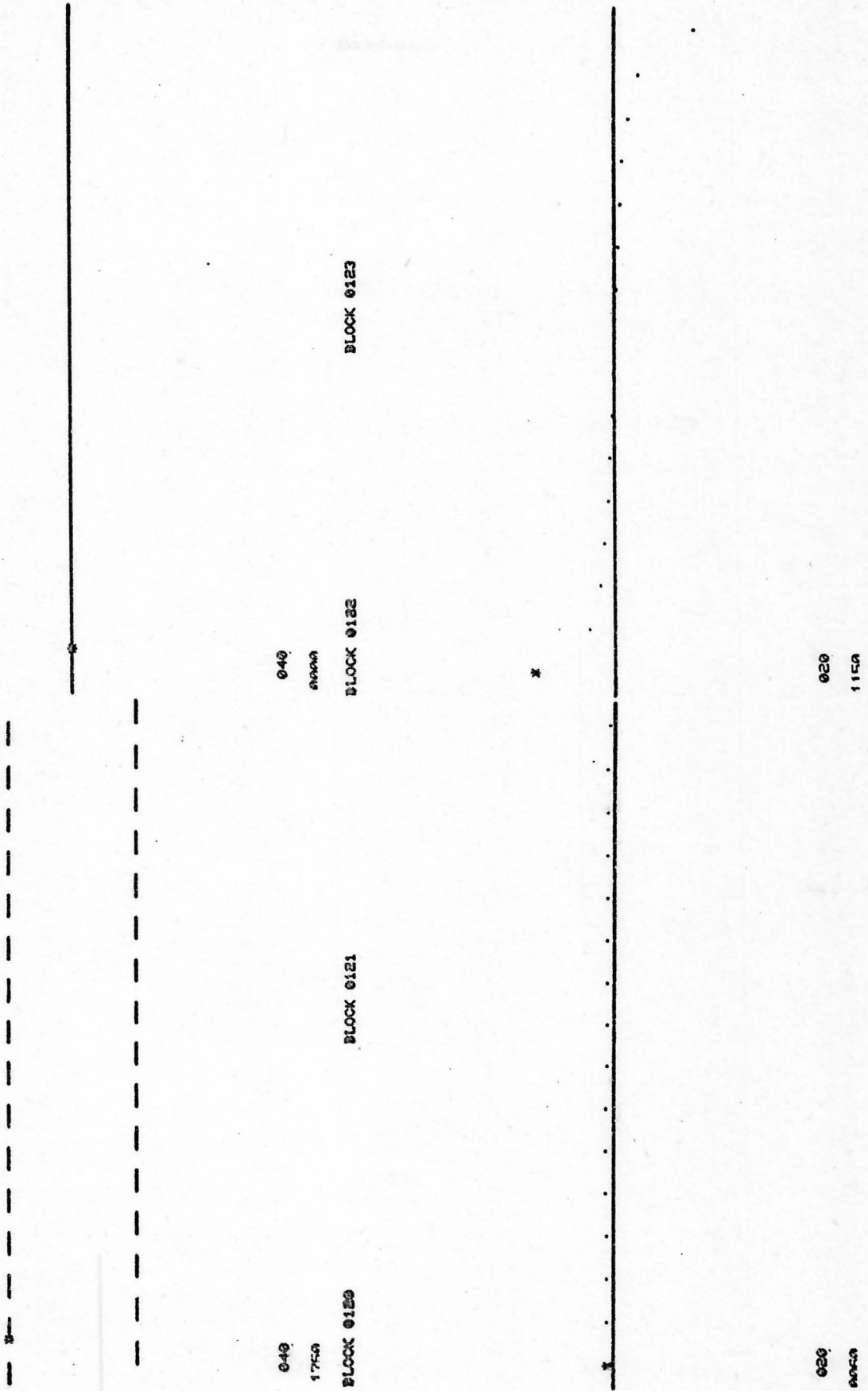


Fig. 21

ZU

C FOCAL-12

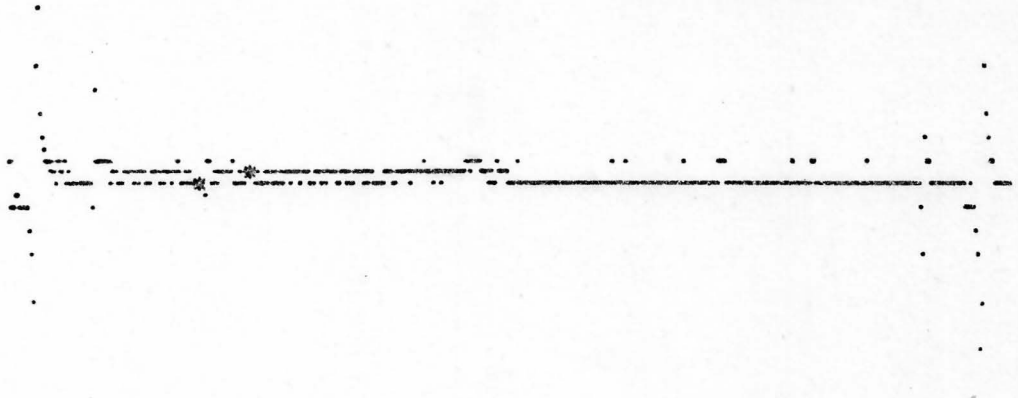
```
01.10 C ----- INKODRE -----  
01.11 C  
01.12 C DIESE PROGRAMM ERZEUGT EINEN INKOHARENTEN  
01.13 C DREIECK IN UNIT 1 NR 102-103 [IMAGINAER!]  
01.14 C REAL INBATCH NR 100-101 SIND GLEICH NULL  
01.20 L O.F0.I.$100.1  
01.30 F I=0.17,S A(I)=I-9  
01.31 F I=18.35,S A(I)=27-I  
01.40 F I=0.15,F K=0.35,S F0(36*I+K+512)=A(K)*200  
01.50 F I=0.511,S F0(I)=0  
  
02.10 L C.F0  
XGO
```

Ebenfalls eine 8 bit-Simulation mit einem anharmonischen Dreieck. Die Quantisierungsstufen von 0020 werden hier schon sehr auffällig, da das Spektrum verschmiert ist. Die verstärkte Fig. 22 zeigt das noch deutlicher. Der Quantisierungsschritt (Differenz zwischen beiden Sternen) ist de facto bloss 0010, wenigstens in der linken Hälfte, was eben damit zusammenhängt, dass ich in der Arithmetik keine Zwischenmasken eingesetzt habe. Die Einschränkung auf 8 bit führt in der anschliessenden Tabelle zu einer Null in der letzten Stelle jeder Oktalzahl.

BLOCK 0120

BLOCK 0121

QUANTISIERUNGSSTUFEN
BEI MAX. VERSTAERKUNG



032

0010

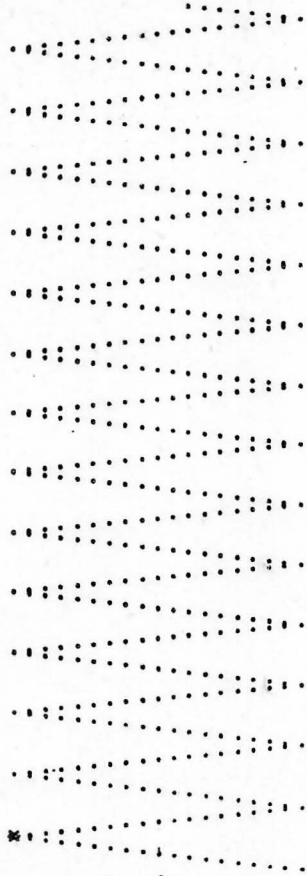
Fig. 22

BLOCK 0100

BLOCK 0101

BLOCK 0102

BLOCK 0103



022

0000

BLOCK 0120

BLOCK 0121

BLOCK 0122

BLOCK 0123

*

352

0040

362

0040

*

Fig. 23

Den Umgang mit dem Simulationsprogramm zusammenfassend und aufgrund allgemeiner Ueberlegungen möchte ich die nachstehenden Schlussfolgerungen ziehen:

1. Die Maschine von Corinthios funktioniert. Schon ihre Software-Simulation ist ein guter und rascher Algorithmus, wobei allerdings der Speicherbedarf gegenüber konventionellen Prozeduren etwa doppelt so gross ist. Von der Hardware-Ausführung darf eine für unsere Ansprüche bestens geeignete Maschine erwartet werden.
2. Bei einer 8 bit-Version wird die Quantisierung störend. Es ist für einen Prototyp eines ausbaufähigen Systems nicht sinnvoll, das Herzstück des Prozessors minimal auszulegen. Ich schlage deshalb vor, in Registern, ROM und Festkommaarithmetik 12 bit-Wörter zu verwenden. Damit ist auch ein stetiger Uebergang zum Steuercomputer PDP-8/A (siehe Kapitel 3) sowie zu einem PDP-12 Laborcomputer gewährleistet. Man vergleiche hierzu die genaueren Untersuchungen in Abschnitt 2.3.
3. Die Festkomma-Arithmetik - wobei ich aus Gründen der Schnelligkeit und Einfachheit nichts Abweichendes empfehle - erzeugt bei $N=512$ im Extremfall in den beiden (oder maximal drei) letzten bits Rechen- bzw. Quantisierungsfehler. Das iterative Rechenschema bzw. zyklische Durchschleusen ist für die Fehlergrösse der zureichende Grund. Damit stehen inklusive Vorzeichen 10 korrekte bits pro Wort im Frequenzbereich zur Verfügung. Der Quantisierungsfehler ist so unbedeutend. Die fehlerbehafteten Stellen können beim Ausgang in den Steuercomputer mit Hilfe einer Maske abgedeckt werden.
4. Die Ein- und Ausgangsregister sollten 512 komplexe Doppelwörter umfassen. Dabei sollten Zapfstellen nach je 64 bytes vorliegen. Bedenkt man, dass, wie Cooley zeigt (3), in einem komplexen Eingang der Länge N ein reeller Vektor der Län-

ge $2N$ eingelesen und korrekt transformiert werden kann, dann ist einzusehen, dass wir mit einem achtgeteilten 512er-Register Vektorlängen von 128 bis zu 1024 Punkten verarbeiten können. Diese Auswahl ist völlig ausreichend, da wir mit überlappenden Zeitfenstern mitteln wollen. Längere Vektoren verändern die Arithmetik nicht. Sie wirken sich nur in der Registerlänge und der Steuerlogik aus. Zusätzliche Register können nachträglich ohne weiteres angehängt werden. Die Steuerlogik kann schon im vornherein im Blick auf längere Register gebaut werden. Ich glaube aber nicht, dass dies eines Tages erwünscht sein wird.

5. Abschliessend sei noch einmal darauf hingewiesen, dass ein reines Parallelmultiplizierwerk angezeigt wäre. (Vgl. meine Gegenüberstellung im Anhang C). Die Multiplikation ist die wichtigste und aufwendigste Operation. Sie bestimmt den Zeitbedarf der Grundoperation und damit die Schnelligkeit des ganzen FFT-Prozessors. Im Falle eines andern Entscheides kompliziert sich die Steuerlogik ausserdem beträchtlich.

2. DIE FEHLERQUELLEN DER DISKRETEN FOURIERTRANSFORMATION

Dieses Kapitel gibt einen knappen Einblick in die wichtigsten Fehlerquellen der diskreten Fouriertransformation. Allgemeinen Ueberlegungen wird nur insoweit nachgegangen, als sie unsere angestrebte Realisierung beeinflussen. Besonderer Nachdruck liegt auf den Konsequenzen für unser Projekt, die am Ende der einzelnen Abschnitte zusammengefasst sind. Voraussetzungen, Definitionen, Zwischenschritte und Folgerungen sind im Bestreben nach übersichtlicher Darstellung und nicht nach lückenloser Verifikation zusammengestellt. Zur Verifikation benütze man die im Text angegebenen Quellen.

2.1. Beschränktes Zeitfenster (vgl. (3) und (10))

a) Definitionen:

Das Fundament zur Spektralanalyse des Elektroenzephalogramms ist die Definition eines Zufallsprozesses $\{X(t)\}$ als Quelle von Zufallsfunktionen mit statistischen Eigenschaften, die denjenigen des EEGs sehr nahe kommen. Die Gesamtheit dieser Zufallsfunktionen nennt man ein statistisches Ensemble.

Anstelle eines kontinuierlichen Zufallsprozesses betrachten wir sogleich die Sequenz $\{X(j)\}$, $j=0, \pm 1, \pm 2, \dots$, welche ein Modell des (ideal) abgetasteten EEGs darstellen soll. Von dieser diskreten Zufallsvariable wird verlangt, dass sie stationär sei, d.h. ihre Erwartungswerte seien unabhängig vom Index j ,

$$E\{X(j)\} = E(X), \quad (1)$$

und es existiert eine Art innerer Zusammenhang des Signals, was sich im Moment zweiter Ordnung

$$\begin{aligned} \gamma(k) &= E\{(X(j)-E(X)) \cdot (X(j+k)-E(X))\} \\ &= E\{X(j)X(j+k)\} - E^2(X) \\ j &= 0, \pm 1, \pm 2, \dots \quad k = 0, \pm 1, \pm 2, \dots \end{aligned} \quad (2)$$

darin zeigt, dass $\gamma(k) \neq 0$ ist für $k \neq 0$. k ist der Abstand des Wertepaares. $\gamma(0)$ ist die Varianz. $\gamma(k)$ heisst auch Autokovarianz. Stationarität heisst also, dass die Autokovarianz nur von k , nicht von j abhängt.

Man bezeichnet als Spektraldichte die Funktion

$$\begin{aligned} p(\omega) &= \frac{1}{2\pi} \sum_{k=-\infty}^{+\infty} \gamma(k) e^{-ik\omega}, \quad (-\pi = \omega = \pi) \\ &= \frac{1}{2\pi} \left(\gamma(0) + 2 \sum_{k=1}^{\infty} \gamma(k) \cos(k\omega) \right), \end{aligned} \quad (3)$$

letzteres weil $\gamma(k) = \gamma(-k)$. $p(\omega)$ oder besser $\hat{p}(e^{i\omega})$ ist die z-Transformierte der Sequenz $\gamma(k)$ auf dem Einheitskreis. In unserem Fall, wo $X(j)$ die diskrete Darstellung einer kontinuierlichen Zeitfunktion ist, dürfen wir $p(\omega)$ auch als Fouriertransformierte von $\gamma(k)$ auffassen.

Uns interessiert der Fall, wo aus einer endlichen Sequenz $X(0), X(1), \dots, X(m-1)$ sowohl Autokovarianz als auch Spektraldichte näherungsweise berechnet (geschätzt) werden können. Wir sprechen von einem Zeitfenster der Länge m . Es gelte ausserdem $m = 2^\mu$, μ ganz.

b) Schätzung der Autokovarianz

Der Schätzwert des wahren Mittelwertes $E(X)$ ist

$$\bar{X} = \frac{1}{m} \sum_{j=0}^{m-1} X(j). \quad (4)$$

Dies ist ein guter Schätzwert, denn er ist, gegenüber $E(X)$, nicht

mit einem systematischen Fehler behaftet, er ist "unbiased"¹:

$$E(\bar{X}) = \frac{1}{m} \sum_{j=0}^{m-1} E(X(j)) = E(X) .$$

Als Schätzfolge für $\gamma(k)$ nimmt man

$$\begin{aligned} \bar{Y}(k) &= \frac{1}{m-k} \sum_{j=0}^{m-k} X(j)X(j+k) - (\bar{X})^2 \\ &= \bar{Y}^0(k) - (\bar{X})^2 . \end{aligned} \tag{5}$$

Man vergleiche das mit (2)! Im Fall eines Null-Mittelwertes $E(X)=0$ ist die Schätzfolge sogar $\bar{Y}^0(k)$. Man spricht von einer Unbiased-Schätzung von $\gamma(k)$:

$$E(\bar{Y}(k)) = E(\bar{Y}^0(k)) = \frac{1}{m-k} ((m-k)\gamma(k)) = \gamma(k) . \tag{6}$$

c) Schätzung der Spektraldichte - das Periodogramm

Definition der endlichen diskreten Fouriertransformation.

$$A(n) = \frac{1}{m} \sum_{j=0}^{m-1} X(j) e^{-i \frac{2\pi j n}{m}} , n=0,1,\dots,m-1 . \tag{7}$$

Definition des Periodogramms:

$$I(n) = \frac{m}{2\pi} |A(n)|^2 = \frac{m}{2\pi} A(n) \tilde{A}(n) \tag{8}$$

wobei $\tilde{A}(n)$ das Konjugiert-Komplexe von $A(n)$ ist.

¹ biased (engl.) = mit einer systematischen Abweichung behaftet. Ich benütze, mangels eines deutschen, im folgenden den englischen Ausdruck.

$I(n)$ ist gerade, d.h. $I(n) = I(m-n)$, falls $X(j)$ Observablen (reell) sind. Dann ist auch $I(m/2) = 0$.

Man kann deshalb definieren

$$I_+(n) = 2I(n) \quad , \quad n=0,1,\dots, m/2-1 \quad , \quad (9)$$

womit gezeigt werden kann, dass unter der Voraussetzung $E(X)=0$ gilt

$$I_+(n) = \frac{1}{\pi} \left(\bar{\gamma}^0(0) + 2 \sum_{k=1}^{m-1} \bar{\gamma}^0(k) \cos\left(\frac{2\pi nk}{m}\right) \right) . \quad (10)$$

Da $p(\omega)$ gemäss (3) in ω symmetrisch ist, kann man die einseitige Spektraldichte $p_+(\omega)$ definieren:

$$p_+(\omega) = \frac{1}{\pi} \left(\gamma(0) + 2 \sum_{k=1}^{\infty} \gamma(k) \cos(k\omega) \right) , \quad 0 \leq \omega \leq \pi \quad (11)$$

Nun weiss man, dass $\bar{\gamma}^0(k)$ gegen $\gamma(k)$ konvergiert für $m \rightarrow \infty$. Die Vermutung liegt nahe, dass $I_+(n)$ gegen $p_+(\omega)$ konvergiert an den Stellen $\omega = \omega_n = \frac{2\pi n}{m}$ für $m \rightarrow \infty$. Dies trifft aber nicht zu! $I_+(n)$ ist zwar eine asymptotische Unbiased-Schätzfolge von $p_+(\omega)$, aber keine konsistente, d.h. die Varianz $E\{(I_+(n) - p_+(\omega_n))^2\}$ geht nicht gegen Null für grosse m , ja sie hängt gar nicht von m ab.

Das ist nachstehend erläutert für den Fall von weissem Gauss-Rauschen. Für dieses sind die $X(j)$ normal verteilt und wechselseitig unkorreliert. Die Autokovarianz verschwindet also, $\gamma(k)=0$ für $k \neq 0$, und mit (3) wird die Spektraldichte $p_+(\omega) = \frac{\gamma(0)}{\pi} = \text{const.}$, $0 \leq \omega \leq \pi$, eine Konstante.

Einige Ueberlegungen zeigen aber, dass das Periodogramm in diesem Fall für $n \neq 0$ eine Chi-Quadrat-Verteilung mit zwei Freiheitsgraden (Real- und Imaginärteil sind unabhängig normal verteilt!) ist:

$$\text{Prob} (I_+(n) > y) = \exp(-y\pi/\gamma(0)) . \quad (12)$$

Mithin sind Erwartungswert und Varianz die Konstanten,

$$E(I_+(n)) = \frac{Y(0)}{\pi}, \quad \text{var}(I_+(n)) = \frac{Y^2(0)}{\pi^2} \hat{=} p^2(\omega_n) \quad (13)$$

und die Punkte sind wechselseitig unkorreliert

$$\text{corr}(I_+(n_1)I_+(n_2)) = 0. \quad (14)$$

$I_+(0)$, der einer Chi-Quadrat-Verteilung mit einem Freiheitsgrad folgt, ist der einzige Punkt, der durch einen endlichen Mittelwert $E(X(j)) \neq 0$ beeinflusst wird. In diesem Fall ist

$$E(I_+(0)) = \frac{Y(0)}{\pi} + \frac{mE^2(X(j))}{\pi} \quad (15)$$

Das Periodogramm $I_+(n)$ ist im Fall des weissen Rauschens demnach keine gute Schätzung der Spektraldichte $p(\omega)$.

d) Konsistente Schätzung der Spektraldichte

Zur Verbesserung der Stabilität des Periodogramms gibt es drei verschiedene Verfahrensweisen:

- I) Der traditionelle Umweg über die verkürzte und abgedämpfte Autokovarianz mit anschließender diskreter Fouriertransformation.
- II) Glättung des Periodogramms, welches aus der zusammenhängenden Abtastfolge $X(j)$ hervorgeht.
- III) Sektionierung der Abtastfolge $X(j)$, Berechnung des Periodogramms für jeden Abschnitt, Mittelung dieser Kurz-Periodogramme.

Alle drei Methoden führen zum Varianz- oder Leistungsspektrum als konsistente Schätzfunktion der Spektraldichte. Währenddem I) und II) auf dieselbe Schätzfunktion führen, erzielt man mit III) ein leicht abweichendes Resultat.

Die Methode I) stammt aus der Zeit, wo die Fouriertransformation mit einem bedeutenden Aufwand verbunden war, denn es werden bloss soviele Punkte transformiert, wie im Leistungsspektrum tatsächlich auftreten. Seit der Einführung des FFT-Algorithmus wird sie kaum mehr verwendet, da sie nur ganz spezielle Fensterfunktionen zulässt (Bartlett- und Hanning-window).

Die Methode II) ist die seit der FFT-Revolution meistgebrauchte und sei hier ganz knapp skizziert. Man glättet das Periodogramm durch gewichtete Mittelung über benachbarte Werte $I(n)$,

$$\bar{I}_r(n) = \sum_{p=-k}^k H_r(p) I(n-p) . \quad (16)$$

$H_r(p)$ ist die zu bestimmende Gewichtssequenz. Im Fall von weissem Gauss-Rauschen gilt mit (16)

$$E(\bar{I}_r(n)) = \frac{Y(0)}{\pi} \sum_{p=-k}^k H_r(p) \quad (17)$$

und

$$\text{var}(\bar{I}_r(n)) = \frac{Y^2(0)}{\pi^2} \sum_{p=-k}^k H_r^2(p) \quad (18)$$

(vgl. mit (13)!))

Damit die Schätzung unbiased wird, muss die Summe in (17) Eins werden. Unter dieser Bedingung kann man (18) für gegebene "Bandbreite" $2k$ minimalisieren und erhält so

$$H_0(p) = \begin{cases} \frac{1}{2k+1} & (-k \leq p \leq k) \\ 0 & \text{sonst} \end{cases} \quad (19)$$

Das führt auf die Varianz

$$\text{var}(\bar{I}_0(n)) = \frac{Y^2(0)}{\pi^2(2k+1)} \quad (20)$$

die gegenüber (13) reduziert ist. Es gibt aber so nur noch

$\frac{m}{2(2k+1)}$ unabhängige Schätzwerte von $p(\omega_n)$, und benachbarte Spektrallinien sind korreliert.

Die Methode III) schliesslich ist die für unser Vorhaben weitaus interessanteste. Die Transformation kurzer Sequenzen kann auf einer Maschine mit kleinem Speicherumfang durchgeführt werden. Deshalb ist die Methode wie geschaffen für Hardware-Prozessoren. Noch wichtiger aber ist, dass III) auf Instationarität sensibel ist, sodass eine spektrale Erfassung transienter Vorgänge ins Auge gefasst werden kann. Diese Möglichkeit ist noch nicht völlig erforscht.

Die Zeitreihe $X(j)$, $j=0,1,\dots, m-1$, mit $E(X) = 0$ wird folgendermassen in K überlappende Segmente zerlegt:

$$\begin{aligned} X_1(j) &= X(j), \quad j=0,\dots,L-1 \\ X_2(j) &= X(j+D), \quad j=0,\dots,L-1 \\ &\vdots \\ X_K(j) &= X(j+(k-1)D), \quad j=0,\dots,L-1 \end{aligned} \quad (21)$$

Diese Segmente sollen die ganze Zeitreihe überdecken, d.h. $(K-1)D+L=m$ (vgl. Fig. 24).

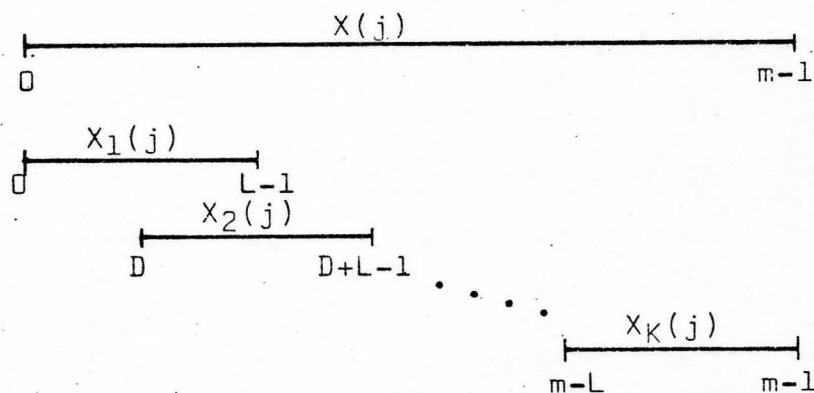


Fig. 24 Darstellung der Sektionierung der Zeitreihe $X(j)$ in K überlappende Segmente.

Wir nehmen an, L sei eine Potenz von 2, z.B. 256 oder 512, was einem Zeitfenster von 2 bzw. 4 sec entsprechen wird.

Ein solcher "Ausschnitt" aus der Zeitreihe $X(j)$ kann auch als Produkt der Zeitreihe mit einer Fensterfunktion $W(j)$ aufgefasst werden,

$$X(j)W(j) \xleftrightarrow{\text{DFT}} A(n) * \hat{W}(n) = A^*(n) \quad (22)$$

Frequenzseitig entspricht dem Produkt die Faltung der fouriertransformierten Faktoren. Für ein Rechteckfenster ist \hat{W} eine $\sin x/x$ -Funktion, deren Seitenbuckel nicht besonders rasch konvergieren, was eine starke Korrelation benachbarter Spektrallinien bewirkt (= "leakage"). Die Randabdämpfung der Eingangssequenz mit einer modifizierten Fensterfunktion (z.B. Dreieckfenster) verbessert die Konvergenz des "Spektralfensters" und verringert entsprechend die Korrelation. Allerdings leidet darunter die Stabilität der Schätzung. Durch Ueberlappung der Zeitepochen und Mittelung über sukzessive Spektren kann dem entgegengewirkt werden. Die Kunst besteht in der Optimierung dieses Kompromisses, wozu neben theoretischen Erwägungen eine gehörige Portion praktische Erfahrung gehört.

Wir wählen also ein Datenfenster $W(j)$, $j=0, \dots, L-1$ und bilden die Sequenzen $X_1(j) \cdot W(j), \dots, X_K(j) \cdot W(j)$. Daraus entstehen via FFT die modifizierten rohen Spektren $A_1^*(n), \dots, A_K^*(n)$ und die modifizierten Periodogramme

$$I_k^*(\omega_n) = \frac{L}{2\pi U} |A_k^*(n)|^2, \quad k = 1, 2, \dots, K \quad (23)$$

mit $\omega_n = \frac{2\pi n}{L}$, $n = 0, \dots, L/2$

$$\text{und } U = \frac{1}{L} \sum_{j=0}^{L-1} W^2(j). \quad (24)$$

Für ein modifiziertes Periodogramm ist der Erwartungswert

$$E(I_k^*(\omega_n)) = \int_{-\pi}^{\pi} h^*(\omega) p(\omega - \omega_n) d\omega, \quad (25)$$

wobei
$$h^*(\omega) = \frac{1}{2\pi LU} \left| \sum_{j=0}^{L-1} W(j) e^{i\omega j} \right|^2 \quad (26)$$

mit
$$\int_{-\pi}^{\pi} h^*(\omega) d\omega = 1 \quad (27)$$

die zu $W(j)$ gehörige, englisch "basic spectral window" genannte Funktion ist. Man sieht in (26), dass $h^*(\omega)$ die erste Nullstelle für $\omega = \frac{2\pi}{L}$ annimmt.

Die spektrale Schätzfunktion erhält man durch Mittelung über die K Periodogramme

$$\hat{p}(\omega_n) = \frac{1}{K} \sum_{k=1}^K I_k^*(\omega_n). \quad (28)$$

mit Schätzwerten im Abstand $\frac{2\pi}{L}$. Unter der Voraussetzung, dass $X(j)$ ein Gauss-Prozess ist und die Spektraldichte $p(\omega)$ flach ist innerhalb des Schätzwertes, erhält man gemäss (3) folgende Variabilität:

i) $D=L$ (keine Ueberlappung) und Rechteckfenster:

$$\text{var}(\hat{p}(\omega_n)) = \frac{p^2(\omega_n)}{K} = \frac{p^2(\omega_n) \cdot L}{m} \quad (29)$$

ii) $D=L/2$ (halbe Ueberlappung) und Parzenfenster:

$$\text{var}(\hat{p}_1(\omega_n)) = \frac{p^2(\omega_n)}{K} \left(1 + \frac{2}{9} - \frac{2}{9K}\right) \approx \frac{11p^2(\omega_n)}{9K} \quad (30)$$

Da K aber doppelt so gross ist, wie in (29), hat man in ii) eine um den Faktor 11/18 verbesserte Varianz gegenüber i). Diese Werte gelten für $\omega_n \neq 0$ und π , für welche Randpunkte die Varianz doppelt so gross ist. Der Vergleich mit (17)-(20) zeigt, dass II) und III) punkto Varianz etwa gleichwertig sind.

Das Parzenfenster hat die analytische Form

$$W_1(j) = 1 - \left| \frac{j - \frac{L-1}{2}}{\frac{L+1}{2}} \right|^2, \quad j=0,1,\dots,L-1, \quad (31)$$

ist also eine Dreieck-Funktion. Dazu gehört der Spektralpartner

$$h_1^*(\omega) \approx \frac{2\pi}{LU} \left\{ \frac{L+1}{\pi} \frac{\sin^2((L+1)\omega/4)}{((L+1)\omega/4)^2} \right\}^2 \quad (32)$$

eine besonders rasch konvergierende Glocke mit verschwindenden Seitenbuckeln.

Falls die Daten einen endlichen Mittelwert $\bar{X} \neq 0$ besitzen, muss dieser vor der Verarbeitung subtrahiert werden. Die Spektren nach Methode II) erscheinen selbst nach rigoroser Glättung ziemlich lebhaft, da nach (16) die Linienanzahl $m/2$ des Periodogramms nicht reduziert wird. Bei III) hingegen arbeitet man mit der beschränkten Linienzahl $L/2$, so dass eine glatte Kurve entsteht, die dem Informationsgehalt besser entspricht.

e) Folgerungen

Für einen festverdrahteten EEG-Prozessor mit beschränktem Speichervolumen ist die Methode der Sektionierung und Ueberlappung einer längeren Zeitreihe die günstigste. Sie ist als einzige auf Instationarität sensibel und gibt ebenso gute Schätzwerte wie die anderen

beiden Verfahrensweisen. Die halbe Ueberlappung unter Verwendung eines Parzen-Fensters ist zumindest ein guter Ausgangspunkt. Bezüglich Instationarität und Transientenanalyse kann nur praktische Erfahrung den Weg zur besten Strategie weisen. Es wäre deshalb günstig, von Vektorlängen von 512 Punkten ausgehend, auch möglichst kurze Sektionen transformieren zu können. Die Schieberegister sollten mithin möglichst viele (z.B. 8) Anzapfungen aufweisen.

2.2. Abtastung (vgl. (17))

a) Theorie:

Ideales Abtasten heisst anschaulich, ein kontinuierliches Signal $x(t)$ nur zu bestimmten Zeitpunkten zu beobachten. Wir nehmen hier an, dies könne mit beliebiger Genauigkeit geschehen. Abtasten heisst mathematisch, das kontinuierliche Signal mit einem "Delta-Kamm" $g(t) = \sum_{k=-\infty}^{\infty} \delta(t-k\Delta t)$ zu multiplizieren, wobei $\delta(x)=1$ ist falls $x=0$, sonst ist $\delta(x)=0$. So entsteht eine abgetastete Funktion

$$x^*(t) = x(t)g(t) = \sum_{k=-\infty}^{\infty} x(k\Delta t) \delta(t-k\Delta t) . \quad (33)$$

Wir haben drei Zeitfunktionen $x^*(t)$, $x(t)$, $g(t)$, für welche die Fouriertransformierten existieren und $X^*(f)$, $X(f)$, $G(f)$ genannt werden. Das Produkt (33) geht über in eine Faltung

$$\begin{aligned} X^*(f) &= X(f) \cdot G(f) \\ &= \int_{-\infty}^{\infty} X(\phi) G(f-\phi) d\phi . \end{aligned} \quad (34)$$

Die Fouriertransformierte $G(f)$ ist wiederum ein "Delta-Kamm" mit Impulsen der Höhe Δt Abstand $1/\Delta t$. Die Faltung bewirkt eine "Ausblendung" der Spektren $X(f)$ an den Stellen $n/\Delta t$, $n = 0, \pm 1, \pm 2, \dots$ (vgl. Fig. 25).

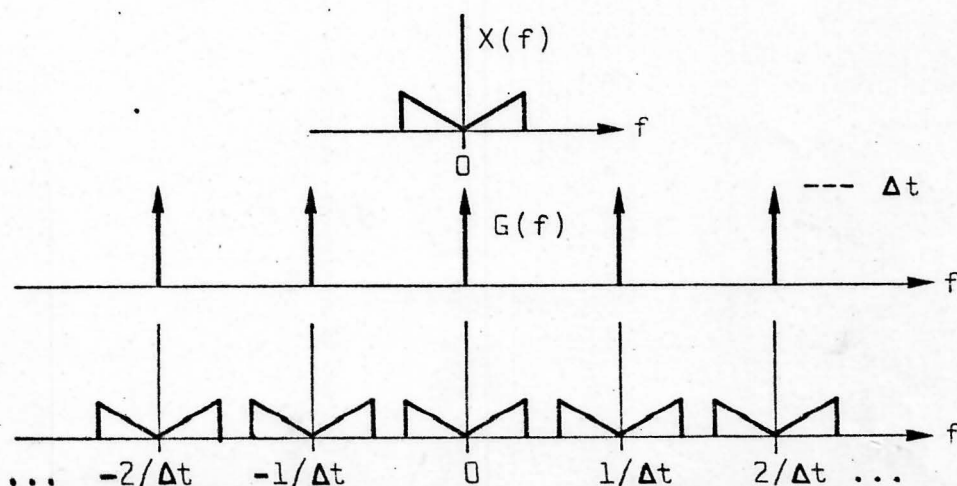


Fig. 25 Illustration der Abtastung im Frequenzbereich

$x(t)$ kann aus der diskreten Repräsentation $x^*(t)$ wiedergewonnen werden, wenn man letztere durch einen Tiefpass $H_0(f)$ laufen lässt, für welchen gilt

$$H_0(f) = \begin{cases} 1/\Delta t & |f| \leq W/2 \\ 0 & \text{sonst} \end{cases} \quad (35)$$

mit $W < 1/\Delta t$. Mit andern Worten, falls für das Abtastintervall gilt

$$\Delta t < \frac{1}{W} \quad (36)$$

und das Signal $X(f)$ bandbegrenzt ist,

$$X(f) = 0 \text{ für } |f| > W/2, \quad (37)$$

ist die Abtastung fehlerfrei. Im andern Fall entstehen durch Ueberlagerung der Spektren in Fig. 25 Spiegelfrequenzen ("aliasing"), welche von den richtigen Frequenzkomponenten nicht unterschieden werden können. Man nennt

$$f_N = 1/2\Delta t \quad (38)$$

die Nyquistfrequenz, welche die Grenzfrequenz des Spektrums $X(f)$ bezeichnet. Da es keine ideale Filter $H_0(f)$ gibt, muss der Filter-Cutoff wesentlich unterhalb der Nyquistfrequenz liegen, damit bei f_N ausreichend gedämpft wird.

b) Folgerungen:

Für EEGs erscheint die Wahl einer Abtastfrequenz $f_t = 128$ Hz vernünftig. Die Nyquistfrequenz liegt dann bei 64 Hz, so dass der Cutoff-Punkt des Tiefpasses bei etwa 50 Hz gewählt werden kann. EEG-Spektren werden höchstens bis 50 Hz aufgezeichnet. Ein Eingangsvektor aus 512 Punkten entspricht einem 4 Sekunden-Stück. Das

bringt eine sehr feine Frequenzauflösung von 0,25 Hz. Die Frage der Anti-Aliasing-Filtrierung und der A/D-Konversion braucht uns vorläufig nicht zu kümmern, da die Datensammlung vom EEG-Labor mit Hilfe des PDP-12-Computers durchgeführt wird.

2.3. Quantisierungsfehler

a) Zahldarstellung

"For fixed-point arithmetic, it is natural in a signal processing context to consider a register as representing a fixed point fraction."

Alan V. Oppenheim in (20)

Das Produkt zweier b-stelliger Zahlen hat 2b Stellen. Da die Multiplikation bei FFT iteriert wird, kann aber nur mit b Stellen weitergerechnet werden. Daher ist es nötig, b Stellen abzuwerfen.

Dieser Prozess lässt sich am leichtesten durchführen, wenn alle verwendeten Zahlen kleiner als Eins sind, das heisst, wenn der Binärpunkt vor der höchsten Stelle steht. Das Produkt ist dann immer kleiner als die Faktoren und überschreitet somit die Kapazität der Maschine nicht.

Damit ist die Zahldarstellung festgelegt. Sowohl bei der Simulation als auch in der verdrahteten Maschine verwendet man mit Vorteil Bruchzahlen. Die Vorzeichenstelle steht links vom Binärpunkt. Die Darstellung der negativen Zahlen ist aber damit noch nicht entschieden; man hat die Wahl zwischen Absolutwert mit Vorzeichen, Einerkomplement und Zweierkomplement. Dazu möge wiederum Oppenheim zu Worte kommen:

"The choice of representation for negative numbers in a particular system is usually based almost entirely on hardware considerations."

Damit stehen wir vor einer Entscheidung, die nicht durch Simulation unterstützt wird. Wir stehen vor der Frage der Detailstruktur der Arithmetik und der Einbettung des Prozessors in den übergeordneten Computer. Zahldarstellung und Hardwarestruktur beeinflussen sich

wechselseitig, so dass nicht das eine ohne das andere diskutiert werden kann. Der Leser, welcher im folgenden die logische Rechtfertigung einzelner Schlüsse vermissen könnte, möge nicht übersehen, dass die Intuition bei der Entwicklung komplexer Systeme eine ausschlaggebende Rolle spielt. Es gibt dann aber nur eine Rechtfertigung a posteriori (d.h. durch die Maschine selber), die nicht in dieser Arbeit erbracht werden kann.

Folgende Umstände sind bei der Entscheidung zur Darstellung negativer Zahlen zu berücksichtigen (vgl. auch (23) und (24)):

- Das System PDP-8/A, das, wie im nächsten Kapitel gezeigt ist, mit Vorteil als übergeordneter Steuercomputer verwendet werden kann, arbeitet im Zweierkomplement. Die Wortlänge ist 12 Bit.
- Im Einerkomplement gewinnt man die konegative Zahl dadurch, dass man alle 1 in 0 vertauscht und umgekehrt, also durch einfache Negation.
- Addition und Subtraktion sind im Zweierkomplement am einfachsten, da der Uebertrag aus Bit 0 fallengelassen wird. Da diese Operationen bei FFT vergleichsweise wenig Zeit beanspruchen, ist auch das Einerkomplement vorteilhaft. Ein algebraisches Addierwerk für Zahlen mit Vorzeichen und Absolutwert ist hingegen sehr kompliziert, da vor und nach der Operation eine Komplementwandlung nötig wäre, was den Aufwand verdreifacht.
- Wichtiger für den Entscheid ist die Ausgestaltung des Multiplizierwerks. Multiplikation mit Absolutwerten ist am einfachsten. Bei rein parallelen Werken entfällt dann jede Ablaufsteuerung. Für konegative Darstellung ist die Operation wesentlich komplizierter.

Unter Berücksichtigung aller Interdependenzen gelange ich zu folgenden Schlüssen:

- Für den Prozessor gilt - mit Ausnahme des Multiplizierwerks - die Darstellung im Zweierkomplement. Der Verkehr mit dem PDP-8/A-Computer wird so möglichst vereinfacht. Die Additions-Arithmetik ist problemlos. Die Subtraktion reduziert sich, nach vorangehender Komplementierung, auf eine Addition. Das iterative scaling ist, je nach dem Vorzeichen, leicht verschieden, aber so noch sehr einfach.
- Vor der Multiplikation werden die Operanden RS und IS in Absolutwerte mit Vorzeichen verwandelt. Das entspricht etwa dem Aufwand für eine Addition. Die Gewichte RW und IW sind schon in Absolutwertdarstellung gespeichert. Die reellen Produkte werden ins Zweierkomplement rückverwandelt und mit Hilfe einer Ablaufsteuerung und der parallelen S-Arithmetik derart kombiniert, dass ein komplexes Produkt im Zweierkomplement entsteht.
- Die Konzeption der Ablaufsteuerung sowie die Auswahl der Schaltungen für Addierwerk, Komplementwandler und Multiplizierwerk sollen demnächst untersucht werden. Es sind hierbei keine grossen Schwierigkeiten zu erwarten. Arbeitsunterlage wird hauptsächlich (23) sein.

b) Eingangsfehler (vgl. (17))

Wie schon aus Abschnitt 2.2. hervorgeht ist mit korrektem Abtasten kein Informationsverlust verbunden. Erst die Quantisierung, die mit jeder A/D-Konversion einhergeht, bringt Fehler. Sie sind mit den Fehlern verwandt, die, der beschränkten Wortlänge zufolge, in der Arithmetik entstehen. Weil aber in der Arithmetik zusätzliche Effekte auftreten, die vom Algorithmus abhängen, sei die Diskussion der Eingangsquantisierung vorangestellt.

Wir betrachten das ideale Zeitsignal $X(f)$ und das durch die Quantisierungssprünge veränderte Zeitsignal $X_q(f)$, beide im Frequenzbereich (nach kontinuierlicher Fouriertransformation). Die Differenz beider ergibt das Störsignal.

$$Q(f) = X(f) - X_q(f) \quad (39)$$

welches als breitbandiges Rauschen aufzufassen ist. Es kann gezeigt werden, dass der mittlere quadratische Fehler

$$\overline{(X(f) - X_q(f))^2} = \overline{Q^2(f)} = P_q(f) \quad (40)$$

mit dem Quantisierungsschritt q durch

$$P_q(f) \approx q^2 / 12 \quad (41)$$

verknüpft ist. Für diesen gilt andererseits

$$q = 1/2^{b-1}, \quad (42)$$

wo b die Wortlänge inkl. Vorzeichen bedeutet. In Dezibel ist dieser Fehler deshalb

$$10 \cdot \lg P_q(f) \approx -6b - 4, \quad (43)$$

Die 0 dB-Grenze entspricht der vollen Aussteuerung vom Betrage 1.

Der PDP-12-Computer besitzt einen 10-bit A/D-Konverter. Wir werden, wie oben erwähnt, vorläufig diesen Konverter benützen. Nach (43) werden wir also über einen Dynamikbereich von ungefähr 60 dB verfügen können. Für biogene Signale ist das mehr als genug!

c) Rechenfehler (vgl. (20) und (17))

Zur Diskussion des bei einem Festkomma-FFT-Prozessor zu erwartenden Rechenfehlers müssen drei Wortlängen auseinandergehalten werden:

- Die Datenwortlänge b_D
- Die Wortlänge der Gewichtungsfaktoren b_W
- Die Wortlänge der Zwischenresultate b_T

Die Wortlängen verstehen sich inklusive Vorzeichenbit. Ausserdem ist festzuhalten, dass wir uns einer iterativen Scalingmethode bedienen (engl. automatic array scaling = AAS), die sich, verglichen mit einmaliger Skalierung, besonders günstig auf die Genauigkeit der fixed-point-Prozedur auswirkt.

Betrachten wir zunächst den FFT-Algorithmus ohne Skalierung. Die Grundoperation desselben wird in der Literatur "butterfly" genannt, dessen Zusammensetzung in unserem Falle

$$\begin{aligned} X_{m+1}(i) &= X_m(i) + X_m(j) \\ X_{m+1}(j) &= (X_m(i) - X_m(j)) W \end{aligned} \tag{44}$$

ist. Bei Addition und Subtraktion müssen die Resultate nicht gekürzt werden, deshalb stellen sie keine zusätzlichen Rauschquellen dar. Anders die Multiplikation, bei welcher das genaue Resultat, wie eingangs erwähnt wurde, länger ist als die Länge der Operanden. Die Verkürzung auf die Wortlänge $b=b_T=b_W=b_D$ bedeutet eine erneute Quantisierung, stellt eine erneute unkorrelierte Rauschquelle dar. Zur komplexen Multiplikation tragen 4 reelle Multiplikationen bei, deren jede eine spektrale Rauschdichte von

$$P_q(f) \approx \frac{2^{-2(b-1)}}{12} \tag{45}$$

darstellt (vgl. Gleichung (41)). Die Rauschvarianz für die komplexe

Multiplikation beträgt demgemäss

$$\sigma_B^2 = 4 \cdot \frac{2^{-2(b-1)}}{12} \quad (46)$$

Aus der Formel der diskreten Fouriertransformation

$$A(n) = \sum_{j=0}^{N-1} X(j) W_N^{-nj}, \quad W_N = \exp(2\pi i/N) \quad (47)$$

ist direkt ersichtlich, dass N erartige Rauschquellen auf jede einzelne Spektrallinie projizieren. Das ist bei FFT nicht anders, immer vorausgesetzt, dass keine Zwischenskalierungen vorgenommen werden. Die Rauschvarianz eines komplexen Ausgangselementes beträgt infolgedessen

$$\sigma_E^2 = N \sigma_B^2 = N \frac{2^{-2(b-1)}}{3} \quad (48)$$

* Komplizierter sind die Verhältnisse bei iterativer Skalierung (AAS), worunter also die arithmetische Verschiebung der Datenwörter $X_m(i)$ und $X_m(j)$ um eine Stelle nach rechts zu verstehen ist. Diese Massnahme verhindert overflow in der anschliessenden Addition bzw. Subtraktion. Um das zu zeigen, setzen wir voraus, dass für die Eingangsvektoren gilt $|X(j)| \leq 1$, und zwar für alle Elemente $X(j)$. Nach der Skalierung ist folglich $|X'(j)| \leq 1/2$. Summe und Differenz kann die Beträge höchstens verdoppeln, $|S(j)| \leq 1$. Komplexe Multiplikation mit einem Einheitsvektor (vgl. Fig. 1) ändert diese Betragseigenschaft nicht, $|S(j) \cdot e^{i\phi}| = |S(j)| \cdot |e^{i\phi}| \leq 1$. Folglich wird bei der ersten Iteration der Bruchzahlenbereich nirgendwo überschritten, ja es gilt sogar strenger $|X_1(j)| \leq 1$. Das wiederholt sich also für alle Iterationsebenen und gilt mithin für das Resultat. Wichtig ist die Voraussetzung

$$|X(j)| \leq 1 \quad (49).$$

besonders für den Fall, wo nicht bloss die Realteile gefüllt werden,

wo z.B. zwei reelle Segmente zu einem komplexen vereinigt werden. Treten zufällig zwei Partner der Grösse Eins zusammen, $X(j) = 1+i$, dann wird der Betrag $|X(j)| = \sqrt{2} > 1$. Die strengere Voraussetzung (49) muss in diesen Fällen also sorgfältig berücksichtigt werden.

Zum Rechenfehler bei iterativer Skalierung können die folgenden Ueberlegungen gemacht werden. Es ist plausibel, dass das Rauschen (46), welches durch die Multiplikation entsteht, durch die nachfolgende Skalierung gedämpft wird. Andererseits stellt die Skalierung selber eine zusätzliche Rauschquelle dar, weil das letzte bit abgeworfen wird. Trotzdem entsteht, verglichen mit (48), ein viel günstigeres Resultat. Oppenheim (20) gibt als Rauschvarianz aus Multiplikation und Skalierung

$$\sigma_{B'}^2 = \frac{5}{6} 2^{-2(b-1)} \quad (50)$$

an, was etwas höher als (46) ist. Die fortgesetzte Abschwächung dieser Varianzen bewirkt am Ausgang für grosse N die, verglichen mit (48), viel kleinere Rauschvarianz

$$\sigma_E^2 = 2 \sigma_{B'}^2 = \frac{5}{3} 2^{-2(b-1)} \quad (51)$$

Eine im Intervall $(-a, a)$ gleichmässig verteilte Zufallsvariable Z besitzt die Varianz $\sigma_Z^2 = \frac{1}{3} a^2$. Auf (51) übertragen heisst das, dass am Ausgang ein Fehlerintervall $(-\sqrt{5} \cdot 2^{-(b-1)}, +\sqrt{5} \cdot 2^{-(b-1)})$ zu erwarten ist. Folglich dürfte sich der Fehler in den letzten zwei, höchstens drei bits auswirken. Wie ich im 1. Kapitel zeige, hat unsere Simulation dies bestätigt.

Die praktischen Konsequenzen derartiger Ueberlegungen sind bei Glisson et.al. (17) ausführlich beschrieben. Diese Gruppe misst den mittleren quadratischen Fehler mit einer Testanordnung Fig. 26.

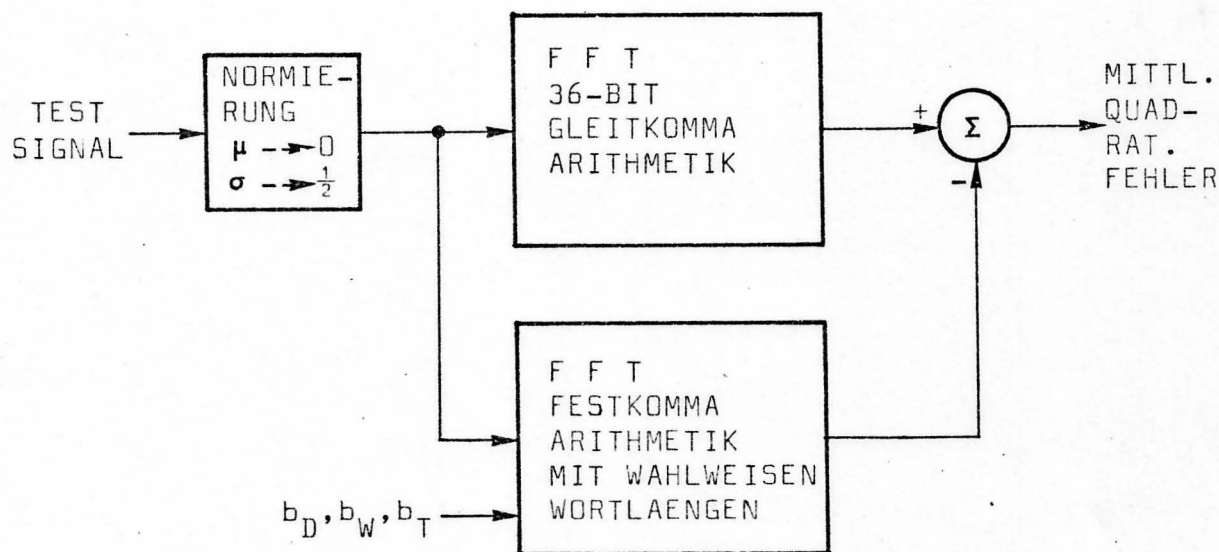


Fig. 26 Testanordnung zur Messung des mittleren quadratischen Fehlers bei Festkommaarithmetik.

Der Fehler wird ermittelt aus der Differenz einer quasiidealen schnellen Fouriertransformation und einem Festkomma-AAS-FFT, bei welchem die drei Wortlängen b_D , b_W , b_T gegenseitig variiert wurden. In etlichen Graphen können die Resultate abgelesen werden; damit wird es möglich, den Prozessor zu optimieren. In Fig. 26 wird am Eingang ein Testsignal mit der Standartabweichung $\sigma = 1/2$ verwendet.

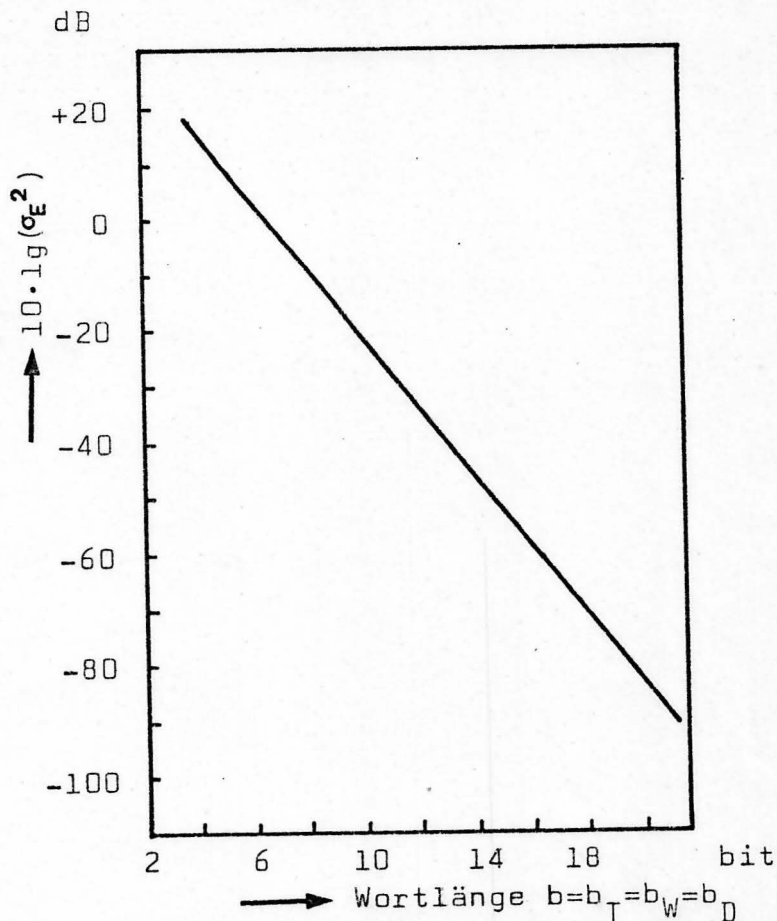


Fig. 27 Mittlerer quadratischer Fehler in Dezibel gegen Wortlänge

Zunächst treffen wir auf die Graphik Fig. 27, wo der Fehler in Dezibel gegen die Einheitswortlänge $b=b_T=b_W=b_D$ aufgetragen ist. Die Kurve stimmt zwar in der Steigung, nicht aber in der Lage mit (51) überein. Dieser Unterschied hängt womöglich damit zusammen, dass Oppenheim bei der Skalierung rundet, Glisson aber nicht. Es ist nicht nötig, ja mit Bezug auf Geschwindigkeit und Hardwareaufwand keineswegs optimal, $b_T=b_W=b_D$ zu wählen.

Zur Optimierung verwenden wir als erstes $b_D = 10$ bit. Soviel liefert uns der A/D-Konverter. Ausserdem zeigt Glisson, dass es nichts einbringt, b_W grösser als b_D zu machen. Schliesslich bringt Fig. 28 den gewünschten Zusammenhang zwischen b_T und dem mittleren quadratischen Fehler, unter der Bedingung $b_D=b_W = 10$ bit.

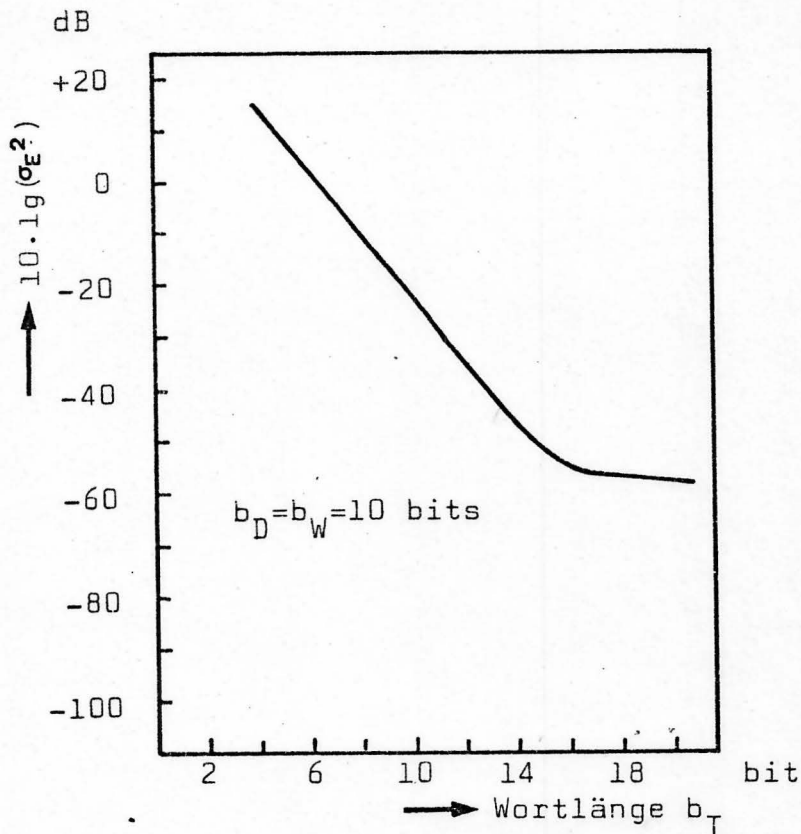


Fig. 28 Mittlerer quadratischer Fehler in Dezibel gegen Wortlänge b_T

Eine 8-bit-Zahl entspricht einer Genauigkeit von ca. $1/2$ %, was erfahrungsgemäss für biogene Signale völlig ausreicht. Der Quantisierungsschritt einer b -bit-Bruchzahl ist $q=1/2^{b-1}$, und der mittlere quadratische Fehler, der durch diesen Quantisierungsschritt entsteht, ist in Dezibel

$$10 \cdot \lg(q^2/12) = -6b - 4 \quad (52)$$

Für $b=8$ beträgt er 50 dB. Gemäss Fig. 28 bringt die Wortlänge $b_T=14$ bit die gewünschte Genauigkeit.

Es bleibt nun allerdings fraglich, ob nicht bereits eine arithmetische Wortlänge $b_T=12$ bit unsere Genauigkeitsansprüche erfüllen könnte, wenn die Skalierung mit Rundung eingebaut würde. Aufgrund

meiner Simulationserfahrungen bin ich der Ansicht, dass 12 bit ausreicht. Dieser Punkt muss aber, vielleicht am besten mit Hilfe einer der Fig. 26 entsprechenden Testanordnung, noch abgeklärt werden.

d) Folgerungen

- Es gelten die Merkpunkte am Schluss von Abschnitt a).
- Die Wortlänge der Eingangssequenzen b_D und der Gewichtsfaktoren b_W beträgt je 10 bit.
- Die Wortlänge der Zwischenresultate b_T beträgt wahrscheinlich 12, höchstens aber 14 bit. Damit werden die ersten 8 bit genau. Der Rest kann vor dem Auslesen abgedeckt werden. Diese Wortlänge bestimmt die "Breite" der Ein- und Ausgangsregister, sowie die Länge aller Zwischenregister in der Arithmetik. Insbesondere wird das Resultat der Multiplikation auf diese Länge gekürzt.
- Die Skalierung unter Rundung durchzuführen, ist möglicherweise vorteilhaft.
- Die komplexen Eingangswerte $X(j)$ müssen der Bedingung (49) $|X(j)| \leq 1$ gehorchen. Nur so ist man sicher, dass im Zuge der Transformation der Bruchzahlenbereich nirgendwo gesprengt wird.

3. KONZEPT EINES EEG-PROZESSORS

Im Verlaufe unserer Umfrage (15) in medizinischen Forschungsstätten haben wir feststellen können, dass einem auf die spezifischen Bedürfnisse zugeschnittenen Echtzeit-Spektralanalysator von verschiedenen Seiten Interesse entgegengebracht wurde. In Zürich allein gibt es sechs Kliniken oder Institute, die alle mit kleineren Prozessrechnern ausgerüstet sind. Unser Projekt könnte - laut einem Gutachten von Herrn Prof. Angst - "ohne Zweifel gerade diesen Institutionen ... einen wesentlichen Ausbau der Datenverarbeitung ermöglichen". Wir konnten aber feststellen, dass die Ansprüche der verschiedenen Laboratorien an einen On-Line-Prozessor ziemlich voneinander abweichen, so dass es kaum möglich und sinnvoll wäre, schon jetzt allen potentiellen Benützern planerisch entgegenzukommen. Es führt rascher zum Ziel, uns zunächst nicht vom Prinzip der "Vollständigkeit", sondern von dem der "Vollkommenheit" leiten zu lassen, und in enger Verbindung mit dem analytisch fortgeschrittenen Institut (Kinderspital, EEG-Labor) eine dort brauchbare Maschine zu entwickeln. Wenn von Anfang an darauf geachtet wird, dem System Ausbau- und Anpassungsfähigkeit zu erhalten, dann ist es verhältnismässig leicht, den Umfang des Pflichtenheftes nachträglich zu vergrössern. Die Forderung "Ausbaufähigkeit" freilich beeinflusst die Entwicklung von Grund auf. Insbesondere werden wir den eigentlichen Fouriertransformator möglichst leistungsfähig konzipieren. Dennoch bleibt eine der wichtigsten Prämissen die, jede Kosteninflation zu vermeiden, und dem beschränkten Budget medizinischer Laboratorien Rechnung zu tragen.

Infolgedessen gilt es, ein Optimum zwischender Ausbau- und Anpassungsfähigkeit einerseits und der Preisgünstigkeit andererseits anzustreben.

3.1. Grundgedanken

Vom schnellen Fouriertransformator an und für sich bis zum mehrkanaligen Realtime-Prozessor gibt es mehr zu entscheiden und zu planen, als man im vornherein anzunehmen geneigt ist. Man denke z.B. an die A/D-Konversion, Zwischenspeicherung, Segmentierung, Ueberlappung, Gewichtung, Transferierung ins Eingangsregister im Zeitbereich, und im Frequenzbereich an die Mittelung der Spektren, Berechnung des Periodogramms, des Leistungsspektrums, eventueller Kreuzspektren, Kohärenzfunktionen, Peakstatistik und Parameterextraktion. Hinzu kommt die Ablaufsteuerung der drei Betriebsphasen des FFT-Prozessors selber, die Steuerung der digitalen Frequenzverformung nach Oppenheim, etc.

Diese Aufgaben sind so vielfältig und zahlreich, dass man nicht umhin kann, vom Gedanken des Selbstbaus abzurücken und sich zu fragen, ob nicht ein Kleincomputer all dies übernehmen könnte. Kleincomputer sind teuer; man schreckt zurück, schaut sich um und stösst auf die Microprozessoren. Bei aller Unvoreingenommenheit muss man aber feststellen, dass Microprozessoren mühsam zu programmieren und etwas langsam sind, einen mageren Befehlsschatz haben und ausserdem meist mit zu kleiner Wortlänge angeboten werden. Es ist nicht auszuschliessen, dass jenseits vom Prototyp dereinst Microcomputer unseren Bioprozessor überwachen könnten. Ihre Verwendung im jetzigen Aufbaustadium jedoch müsste uns zu sehr einschränken.

Von Herrn Dr. Dumermuth erhielt ich den Hinweis, dass die Firma Digital Equipment gegen Ende 1974 einen neuen äusserst preisgünstigen Minicomputer PDP-8/A aus der erfolgreichen PDP-8-Familie auf den Markt bringt. Er kann im Sinne des OEM-Agreements auf Einzelkarten bezogen werden und kostet dann minimal 572 Dollar; das ist die Preislage der Microprozessoren! Der PDP-8/A verfügt

über den vollen PDP-8-Befehlsschatz, RAM, ROM und PROM-Memories von 1 bis zu 32 K bytes, ein einzigartiges Interface-System namens OMNIBUS und 1,5 μ sec Zykluszeit. Die nachstehende Spezifikationsliste enthält hierüber noch einige zusätzliche Angaben.

PDP-8/A PRODUCT SPECIFICATIONS

Word Length:	12 bit	Instruction Execution	Add	3.0 μ s
Cycle Time:	1.5 μ s		AC—Mem.	3.0 μ s
Hardware Registers:	2 (AC and MQ)		Zero AC	1.5 μ s
Auto-Index Registers:	8 (Loc 10-17) Operating Times		Input DATA	1.5 μ s
Memory:	RAM 1K, 2K, 4K 2.3 μ s	Options:	Two option configurations are available on hex boards.	
	ROM 1K, 2K, 4K 1.5 μ s	DKC8-AA (I/O Option Board)	KM8-A (Extended Option Board)	
	PROM 1K 3.4 μ s	Front panel control	Power Fail/Auto Restart	
Memory Expansion:	Up to 32K (see Power Consumption Chart)	Serial line unit	Memory Extension	
Input/Output:	Programmable and interrupt-driven I/O. Direct memory access via DATA BREAK for high-speed data transfers (667,000 words/sec).	Parallel I/O	Bootstrap Loader	
Addressing Capability:	1 instruction may address 256 locations directly/4096 indirectly.	Real-time clock		
Instruction Set:	Same powerful instructions as the PDP-8/E.	Physical Size:	CPU on one hex board— 15½ inches x 8½ inches	
Software:	Complete compatibility with the PDP-8 Family software to include OS/8, CAPS-8, RTS-8.	Operating Environment:	Memory on one quad board— 8½ inches x 10½ inches	
			Box 10 inches x 10½ inches x 19 inches	
		Instruction Execution Time: (Assumes 1.5 μ s memory times)	Ambient Temperature 5-50°C Relative Humidity 8-90% (non-condensing)	

Dieser Minicomputer würde uns in die Lage versetzen, ohne Kosteninflation ein verhältnismässig autonomes, vielseitiges, leistungs- und ausbaufähiges EEG-Analyse-System zu entwickeln. Im Gegensatz zu einer Vollintegration der Hardware ins bestehende PDP-12-System am Kinderspital, hätten wir dann die Möglichkeit, ohne viel Mehrarbeit weitere Benützerkreise anzusprechen. Von den sechs medizinischen Forschungsstätten in Zürich besitzen deren vier PDP-Computer, mit welchen der PDP-8/A kompatibel ist. Diesem käme mithin nicht bloss die Aufgabe zu, die spezielle Hardware des EEG-Prozessors zu überwachen, sondern darüberhinaus wäre er auch das

geeignete Kontaktor zu den Prozesscomputern in den Laboratorien. Ohne diese Anlagen allzusehr zu belasten, könnte man so über die gesamte Peripherie (Teletype, Bildschirme, Band- und Plattenspeicher, A/D-Konverter, Plotter) verfügen, sobald das relativ bescheidene Problem des Datentransfers zum Hauptcomputer gelöst ist. Im Blick auf eine eventuelle spätere Kommerzialisierung muss noch betont werden, dass der PDP-8/A mit allen 60 PDP-8-Optionen und Peripheriegeräten via OMNIBUS direkt verbindbar ist. Wohl kaum ein anderes Produkt vereinigt auf sich alle diese Vorteile und Wahlfreiheiten, so dass ich die hier skizzierte "Einbettung" mit allem Nachdruck vertreten möchte.

In nachstehender Figur 28 ist das Grundkonzept graphisch veranschaulicht. Die Darstellung enthält die vorläufige, für den Prototyp geltende Anordnung.

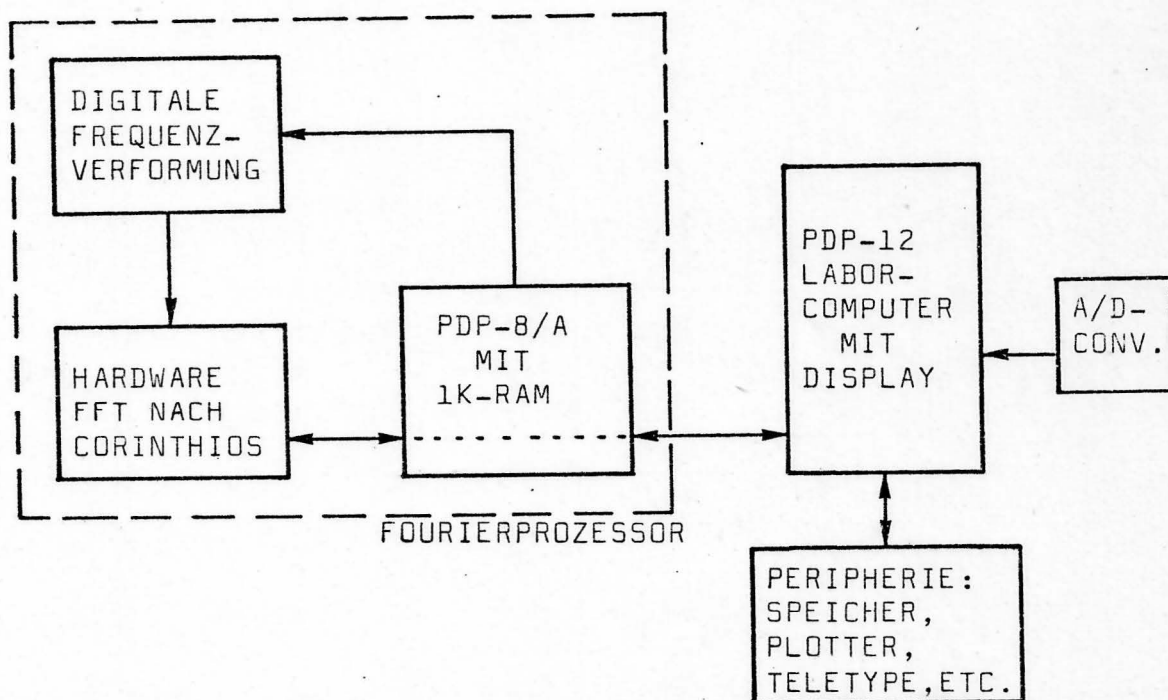


Fig. 28

Gesamtarchitektur des EEG-Analyse-Systems

Datenerfassung und A/D-Konversion leistet der PDP-12 in Verbindung mit dem leistungsfähigen DECpack-Disk-System.

Im PDP-12 werden auch die sich überlappenden Datensegmente gebildet. Ueber einen Interfacekanal mit ausreichender Transferrate laufen die Datenvektoren in den Fourierprozessor. Ob sie zuerst ins PDP-8/A-RAM gelesen werden oder direkt in die Schieberegister des FFT-Prozessors einlaufen, ist noch nicht abgeklärt. Im Corinthios-Prozessor oder jedenfalls mit dessen Multiplizierwerk werden die Segmente seitlich abgedämpft (windowing); die Gewichtungsfaktoren stecken in einem speziellen ROM-Speicher. Anschliessend wird fourier-transformiert. Die Summierung der rohen Spektren, sowie eine all-fällige Linearkombination derselben zur Entmischung eines komplex-kombinierten Eingangs (siehe Anhang A, Seite 159) sollte im PDP-8/A geschehen. Dasselbst, evtl. mit Hilfe des FFT-Multiplizierwerks, erfolgt schlussendlich die Berechnung des glatten Periodogramms. Alle prozessorinternen Abläufe dirigiert der PDP-8/A, insbesondere auch den wahlweisen Umweg über die digitale Frequenzverformung. Das Varianzspektrum einer beliebigen Anzahl Segmente, oder allenfalls ein Kreuzspektrum, läuft in den PDP-12 zurück und wird dort gespeichert oder ausgegeben.

Es ist ohne weiteres erkennbar, dass im Echtzeitbetrieb, zumal bei grosser Ueberlappung und geringer Akkumulation der Einzelspektren (Transientendetektion!), von den Uebertragungskanälen hohe Durchflussraten gefordert werden müssen. Nehmen wir, zur Abschätzung derselben, einmal folgendes an:

Abtastfrequenz	128 Hz
Wortlänge	12 bit
Anzahl Kanäle	10
Ueberlappung	80 %

Damit erhalten wir eine Transferrate vom PDP-12 in den Fourierprozessor von $128 \cdot 12 \cdot 10 \cdot 5 = 76'800$ bits per Sekunde. Da ein Strom transformierter Daten wieder zurück geschleust wird und ausserdem Zeit für Checks und (bei zu geringer Bufferung) für Berechnungen gebraucht wird, ist eine Transferrate von 1 Million bits je Sekunde kein Lu-

xus.. Im nächsten Abschnitt diskutiere ich deshalb die 3 Varianten, welche Digital Equipment für den I/O-Transfer vorsieht, unter diesem Gesichtspunkt.

3.2. Die drei Methoden des Datenaustausches (vgl. (7), (8) und (5))

Zum PDP-8/A-Computer gibt es erst spärliche Informationen. Ich stütze mich im folgenden auf Unterlagen über den PDP-8/E-Computer, welche aber für die ganze PDP-8-Familie, repräsentativ sind.

a) "Programmed Data Transfer"

Der programmierte Datentransfer mit Hilfe eines Satzes sog. IOT-Instruktionen ist das einfachste, gebräuchlichste Mittel zur Datenübertragung zwischen einem externen Gerät und dem Computer. Fig. 29 a) erklärt den Aufbau einer IOT-Instruktion. Fig. 29 b) dient zur Illustration der nachfolgenden Erläuterungen.

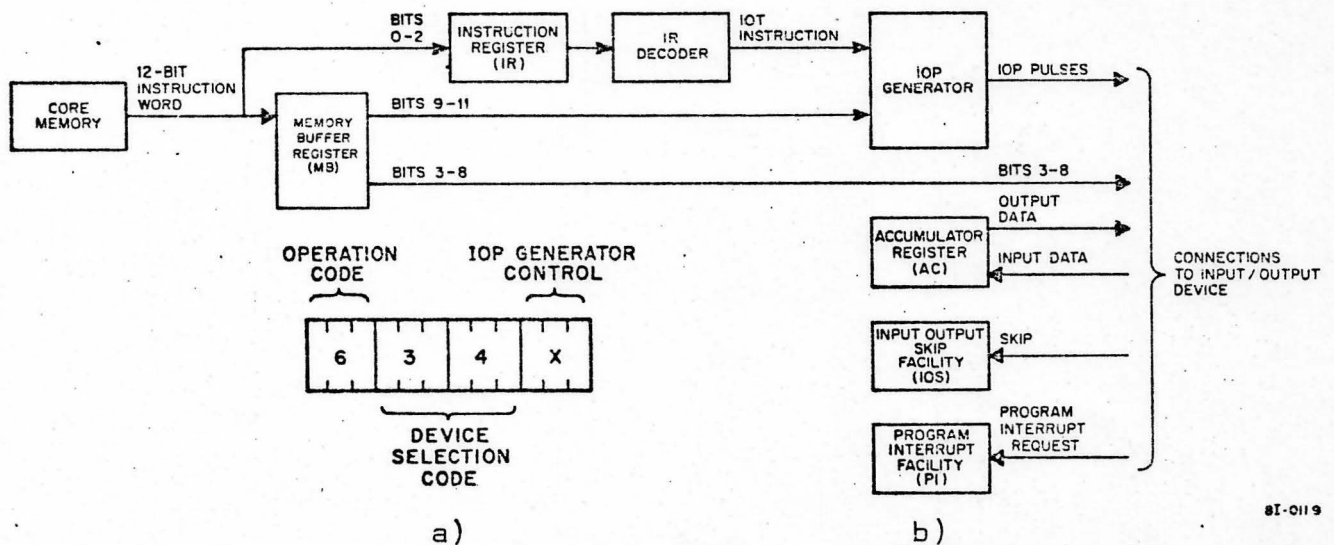


Fig. 29 a) Kodierung der IOT-Instruktionen

b) Blockschema des programmierten Datentransfers

Ein programmierter Datentransfer beginnt, wenn der Computer anhand der ersten drei IOT-bits (0-2) im Instruktions-Register erkennt, dass es sich um einen IOT-Befehl handelt. Der Computer sendet hierauf ein Kontrollsignal zu jeder peripheren Einheit und veranlasst diese, bits 3-8 zu decodieren. Durch diese 6 bits wird eine bestimmte Einheit angewählt, für welche die IOT-Instruktion gilt. Bits 9-11 enthalten die codierte Operationsspezifikation, welche im IOP-Generator eine Sequenz von 1-4 Impulsen auslöst, die zum I/O-Interface des Gerätes laufen. Dort bestimmen diese Impulse je nach Konstruktion des Interfaces, was geschehen soll. Da diese Impulse seriell auslaufen, hängt die Zeit, welche eine IOT-Instruktion benötigt, von der Anzahl der Impulse ab:

<u>IOT-Instruktion</u>	<u>Anzahl IOPs</u>	<u>Zeit in μsec</u>
0	1	1,2
1	2	2,6
2	2	2,6
3	3	3,6
4	2	2,6
5	3	3,6
6	3	3,6
7	4	4,6

Beispielsweise können so 12 bits in 2,6 μ sec aus dem Geräte-Register in den Akkumulator transferiert werden. Diese Zahl darf aber nicht bedenkenlos auf eine Serie von Transaktionen übertragen werden. Denn der Akkumulatorinhalt muss jedesmal in den Kernspeicher gelesen werden, bevor neue Daten einlaufen dürfen. Andererseits ist das periphere Gerät oft aus mechanischen Gründen träge (z.B. Teletype), so dass nach einem Transfer zyklisch getestet werden muss, ob der Inhalt des I/O-Geräte-Registers schon erneuert worden ist. Beim Teletype z.B. muss durchschnittlich 250000 mal abgefragt werden, bevor sich der Status verändert. Die theoretische

Transferrate von 380000 bytes/sec reduziert sich so enorm.

Es ist aber für unsere Anwendung denkbar, dass wir die theoretische Rate viel besser ausnützen können, da wir z.B. einen Schieberegister-Inhalt via AC in den Kernspeicher befördern wollen. Hierzu muss natürlich ein I/O-Interface speziell konstruiert werden, was aber, worauf ich unten eingehe, bequem durchzuführen ist. Für einen Schieberegister-Transfer darf infolgedessen etwa mit 100000 bytes/sec gerechnet werden.

b) "Program Interrupt Transfer"

Ein Computer, der mit peripheren Einheiten in Verbindung steht, ist besser ausgenützt, wenn das Programm die I/O-Operation initialisiert und darauf mit dem Programmablauf fortfährt. In diesem Betriebszustand (interrupt-system on) wird in jedem Arbeitszyklus beiläufig geprüft, ob ein I/O-flag anzeigt, dass die graphische Einheit für ein I/O-Transfer bereit ist (interrupt request signal). Dieses Signal unterbricht den Programmablauf und schiebt eine Subroutine ein, die bestimmt, welches Gerät den interrupt verlangt hat, und die anschliessend den Datentransfer durchführt. In diesem Uebergang spielen die Speicherplätze 0000 und 0001 von page 0 eine wichtige Rolle. Nach Abschluss des Datentransfers, der im wesentlichen den Operationen gemäss a) entspricht, fährt der Computer an der unterbrochenen Stelle mit dem Hauptprogramm fort.

Es ist ohne weiteres einzusehen, dass, verglichen mit a) mit dieser Methode Daten nicht schneller zum und vom Computer übertragen werden können. Trotzdem wird die z.B. im on-line-Betrieb zur Verfügung stehende Zeit viel besser ausgenützt als mit der Methode a). Das Hauptprogramm läuft mit Ausnahme von Transferperioden ständig. Daten können - sobald sie zur Verfügung stehen - jederzeit übertragen werden. Zwischen verschiedenen Datenquellen können Prioritäten einge-

führt werden, etc. Alle diese Vorteile sind für unseren Fourierprozessor möglicherweise willkommen, so dass dieser Interface-methode besondere Beachtung geschenkt werden muss.

c) "Data Break Transfer"

Datentransfer unter Programmkontrolle läuft immer über den Akkumulator. Falls die Daten vom oder zum Kern- (bzw. RAM-) Speicher übertragen werden müssen, ist der Umweg über den Akkumulator nachteilig. Ausserdem muss der Akkumulatorinhalt vor dem Transfer gespeichert und nachträglich wieder eingelesen werden. Für extrem schnellen Datenaustausch sind diese Sekundärmanipulationen nachteilig.

Demgegenüber werden im data break Modus die Daten, ohne jede Programmkontrolle, direkt in den Speicher ein- bzw. ausgelesen. Data break ist besonders vorteilhaft im Verkehr mit extrem schnellen peripheren Geräten, wie Platten-, Trommel- und schnelle Bandspeicher, wo lange Datenblöcke verschoben werden müssen. Es ist wahrscheinlich, dass dieser Modus, obwohl hardwaremässig aufwendig, für die Verbindung zwischen den Schieberegistern des FFT-Prozessors und dem PDP-8/A-RAM-Speicher ideal ist. Möglicherweise muss er auch für die Verbindung zwischen PDP-8/A und PDP-12 in Erwägung gezogen werden. Die gegenüber Programm-Transfer kompliziertere Verschaltung der Dialogpartner wird sich hier aber besonders nachteilig auswirken, da wir, durch Separierung des EEG-Analysators vom Laborcomputer, ja eben diese Verbindung vereinfachen möchten.

Von den beiden Versionen "single-cycle" und "three-cycle data break" beschreibe ich nur die erste, da diese die schnellere ist

und für Spezialkonstruktionen empfohlen wird. Fig. 30 zeigt ein vereinfachtes data break - Blockschema; der logische Ablauf geht aus Fig. 31 hervor. Für ein single-cycle data break ist charakteristisch, dass sich die beiden Register "current adress (CA)" und "word count (WC)" im Interface befinden. Der Ablauf zerfällt in drei Phasen.

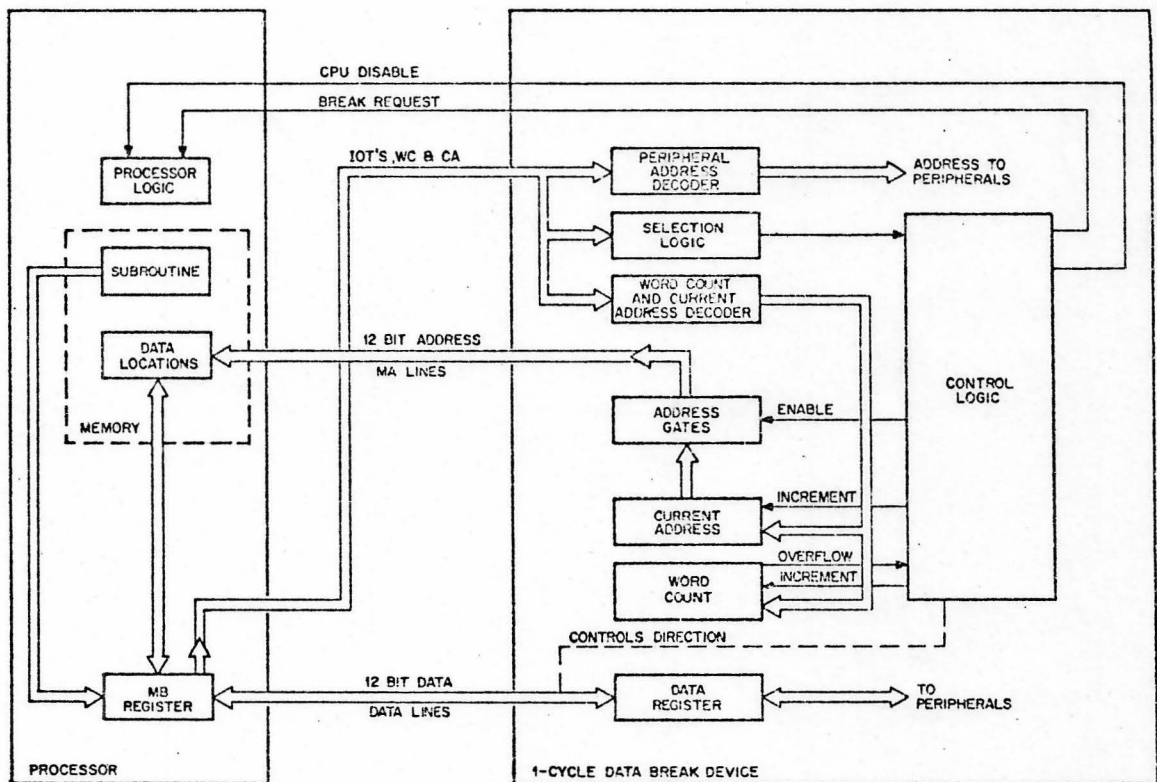


Fig. 30

Vereinfachtes Single-Cycle Data Break Blockschema

Während der ersten Phase "initial set-up" vollzieht das laufende Programm IOT-Instruktionen, welche das WC-Register mit dem 2er-Komplement der Länge des zu transferierenden Blocks füllen. Ausserdem füllen sie das CA-Register mit der Memory-Startadresse, bestimmen die Richtung des Transfers, etc. Die letzte dieser Instruktionen schaltet die Kontrollogik ein.

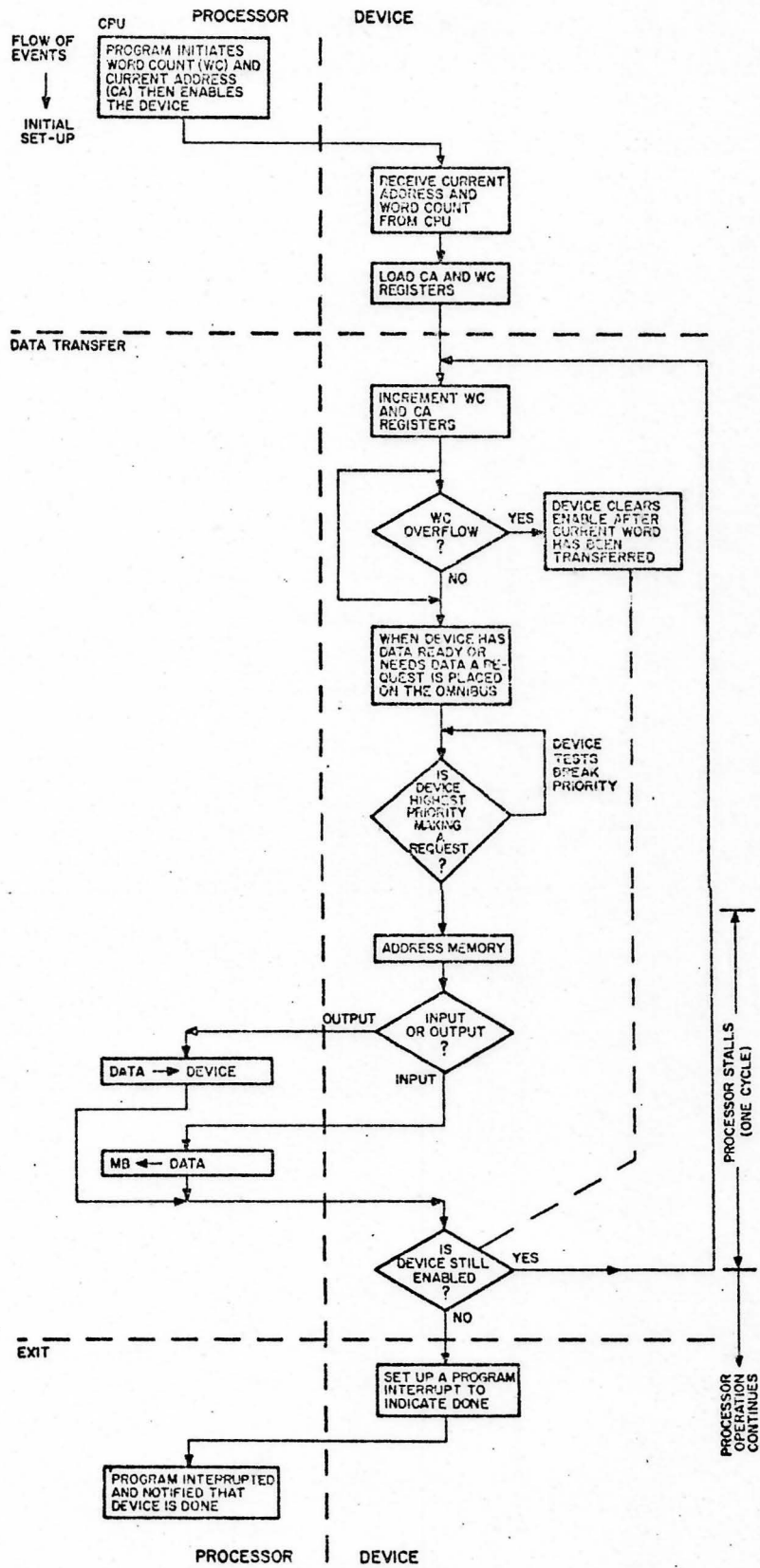


Fig. 31

Single-Cycle Data Break Flussdiagramm

Sobald das periphere Gerät das erste Datenwort ins "data register" schleust (input) bzw. zur Datenaufnahme bereit ist (output), erscheint ein Signal "break request" im OMNIBUS. Erst dann unterbricht der Computer den Programmablauf (AC- und MQ-Register-Inhalte bleiben an Ort), schaltet um in den "direct memory access" - Zustand (DMA), transferiert ein Datenwort, schaltet zurück und fährt mit dem normalen Programmablauf fort, bis das periphere Gerät erneut bereit ist. Im Programmablauf wird so je Datenwort ein Zyklus für die Transaktion "gestohlen". Im günstigsten Fall (trägheitsloser I/O-Partner) ist für die Uebertragung des ganzen Blocks der Computer ununterbrochen im DMA-Zustand. Normalerweise aber ist dies nicht der Fall, und der Computer vollzieht in den Wartezeiten zwischen den Transfers von Einzelworten normale Programmschritte.

Wenn der ganze Block durchgelaufen ist (WC hat overflow), beginnt die dritte Phase ("exit phase") der data break-Operation. Wie Fig. 31 zeigt, wird ein interrupt erzeugt, worauf der Computer mit IOT-Instruktionen testet, ob z.B. Transferfehler vorgekommen sind. Damit ist der I/O-Prozess abgeschlossen.

Je länger der Datenblock ist, welcher im data break-Modus übertragen wird, desto unbedeutender wird der Zeitverlust durch den vorangehenden und abschliessenden IOT-Austausch. Bestenfalls können 4096 aufeinanderfolgende bytes mit einem einzigen kleinen Satz Steuerinstruktionen transferiert werden. Der eigentliche Transfer eines 12 bit-Wortes beansprucht einen Maschinenzklus von 1,5 μ sec. Somit können maximal 667000 Wörter / sec resp. 8 Millionen bits/sec übertragen werden. Im PDP-12 ist diese Rate mit 6,5 Millionen bits / sec angegeben.

3.3. Gesamtplan

Die obigen Erörterungen des Zeitbedarfs und des Charakters von I/O-Operationen ergeben, dass die Separierung des Fourierprozessors vom jeweiligen Laborcomputer nicht an Interface-Problemen scheitern kann. Mit Bezug auf die Transferrate allein, scheinen alle drei Modi für den Verkehr zwischen Laborcomputer und Prozessor geeignet zu sein. Der programmierte interrupt ist vielleicht der günstigste Kompromiss. Damit können Prioritäten gesetzt werden, das laufende Programm wird wenig beeinflusst, und dennoch ist der Hardwareaufwand bescheiden im Vergleich zum data break transfer. Die Kommunikation via Akkumulator ist im Zusammenhang mit dem A/D-Konverter vielleicht vorteilhaft, da man sich die Zwischenspeicherung im PDP-12 Kernspeicher evtl. ersparen kann.

Ein roher planerischer Entwurf des Fourierprozessors, der, unter Verwendung eines PDP-8/A-Minicomputers als Steuerorgan, eine selbständige und anpassungsfähige Einheit werden soll, findet der Leser in Fig. 32. Der OMNIBUS-Datenkanal verbindet alle Unter-einheiten - mit Ausnahme des verdrahteten Fouriertransformators. Dieser findet zusammen mit der digitalen Frequenzverformung kaum im PDP-8/A-Standardchassis Platz. DEC offeriert aber ein reichhaltiges Programm von kompatiblen mechanischen und elektronischen Einheiten zum Selbstbau logischer Systeme (vgl. (7) und (9)). Die Konstruktion eines Prototyps wird sehr vereinfacht, wenn diese vorgefertigten Teile benützt werden. Falls sich zu einem spätern Zeitpunkt bewährte Routinen zur Spektralanalyse herauskristalisieren sollten, ist das ROM-Memory angezeigt. Bufferoperationen im engeren Zusammenhang mit Frequenzverformung und FFT werden wohl mit Vorteil von dynamischen Schieberegistern im verdrahteten Zusatzteil übernommen.

Es folgt die Preisabschätzung der Einbettungselektronik (PDP-8/A-System ohne FFT und Frequenzverformung) in Minimalkonfiguration:

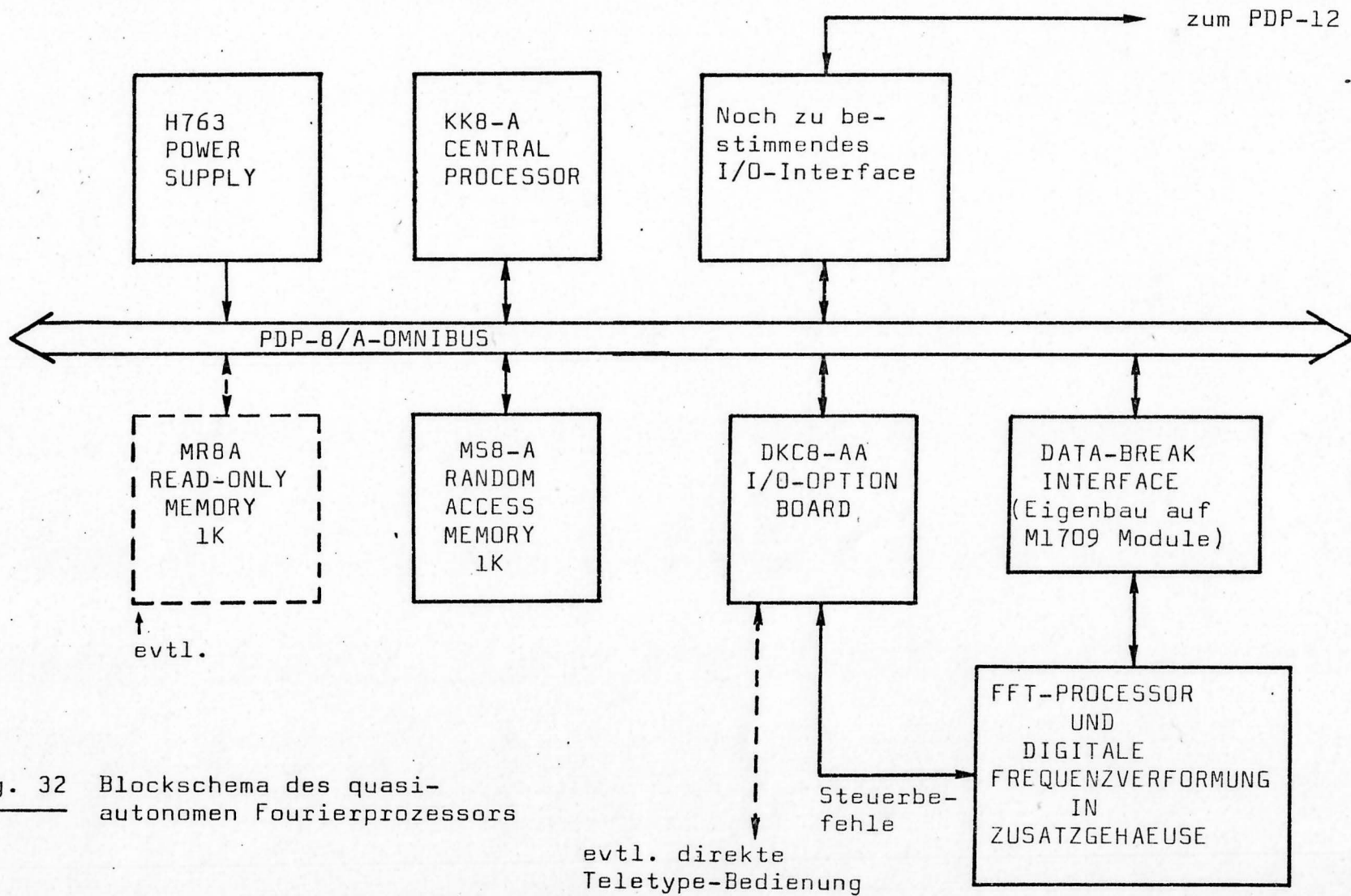


Fig. 32 Blockschema des quasi-autonomen Fourierprozessors

PDP-8/A: Central Processor, 1k RAM,
Chassis mit OMNIBUS und
Netzgerät, Operator's- und
Programmer's-Console ca. Fr. 7'200.--

DKCB/AA: I/O-Option Board
enthaltend TTY-Interface,
Parallel I/O-Interface,
Real-Time Clock, Programmer's
Console Control ca. Fr. 2'100.--

I/O-Interface zum PDP-12
evtl. Kombination von M 1703
und M 1705 zusammen ca. Fr. 675.--

Data Break-Interface Eigenbau
auf M 1709 OMNIBUS Interface
Foundation Module ca. Fr. 600.--
Fr. 10'575.--
=====

Dieser Preis ist äusserst günstig! Ein Firmenbesuch bei DEC-Zürich hat ausserdem ergeben, dass der Hochschule evtl. Rabatte gewährt werden könnten. Der 100-Stück OEM-Preis dürfte sich etwa um Fr. 5'000.-- bewegen.

Das in Fig. 32 dargestellte System könnte sukzessive zu einem völlig selbständigen, anpassungsfähigen Spektralanalyse-Prozessor für biologische Signalanalyse erweitert werden. Der PDP-8/A ist mit über 60 Optionen und peripheren Geräten direkt kompatibel. Ueber 600 Software-Programme sind erhältlich. Diese Horizonte verheissen ein Gerät, das einem vielseitigen Benützerkreise dienen könnte.

4. DIGITALE FREQUENZVERFORMUNG

Unser Vorsatz, zur EEG-Spektralanalyse und Merkmalsverdichtung einen leistungsfähigen und vielseitigen Spezialprozessor zu entwickeln, führt zwangsläufig zum Problem der Feinauflösung im Spektralbereich. Im fouriertransformierten Elektroenzephalogramm gibt es, wie im Spektrum der Sprache, Bereiche grosser und geringer Bedeutung für die Entschlüsselung der im Signal enthaltenen spezifischen Botschaft. Schon Berger, der Geburtshelfer der klinischen Elektroenzephalographie, erkannte die geheimnisvolle Korrespondenz zwischen Aufmerksamkeit (Vigilanz) und Alphawellen (1). Definitionsgemäss ist der Alphanrhythmus auf das verhältnismässig schmale Fenster von 8 bis 13 Hz beschränkt. In der EEG-Grundaktivität wurden ausserdem die Bänder β , α , δ zur Benennung der Signalaktivität um 20, 6 resp. 3 Hz eingeführt. α und δ -Wellen kennzeichnen das Schlaf-EEG, sind aber auch von klinisch-pathologischem Interesse. Eher zu transienten Signalbestandteilen müssen die σ -Wellen (14 Hz) gezählt werden, die in den sog. Schlafspindeln auftreten.

Global, d.h. über das ganze EEG-Fenster von 0 bis 50 Hz beurteilt, nimmt das informative Gewicht der Spektrallinien bei gleichbleibender Auflösung mit steigender Frequenz ab. Da die Berechnung einer Spektrallinie mit einem bestimmten Aufwand verbunden ist, wäre es sinnreich, ein Verfahren anzuwenden, das die Liniendichte zugunsten der niederfrequenten Bereiche mit wachsender Frequenz reduziert; eine Vorrichtung also, welche die Frequenzachse geeignet nichtlinear verformt.

Genau ein solches Verfahren wurde neuerdings von A. Oppenheim (18, 19) angegeben. Er hat es mit "digital frequency warping" bezeichnet, was wir zu deutsch digitale Frequenzverformung (DFV) nennen wollen. Dieses Verfahren formt eine Signalfolge derart um, dass die Fouriertransformierten der umgeformten und der ursprünglichen Folgen durch eine nichtlineare Verzerrung der Frequenzachse zusammenhängen. Eine Fourieranalyse des umgeformten Signals mit gleichmässiger Auflösung entspricht dann einer Analyse des ursprünglichen Signals mit einer ungleichmässigen Auflösung.

Da die beiden Quellen bei Oppenheim didaktisch eher ungünstig abgefasst sind (es treten in der Darstellung Lücken auf, die schwierig zu verifizieren sind), und da eine Diplomarbeit auch studienhalber durchgeführt wird, möchte ich bei meiner Darstellung versuchen, die bei Oppenheim verbliebenen Lücken zu überbrücken.

Folgende Grafik ist geeignet, in den Problemerkreis zu führen und gibt anfängliche Definitionen:

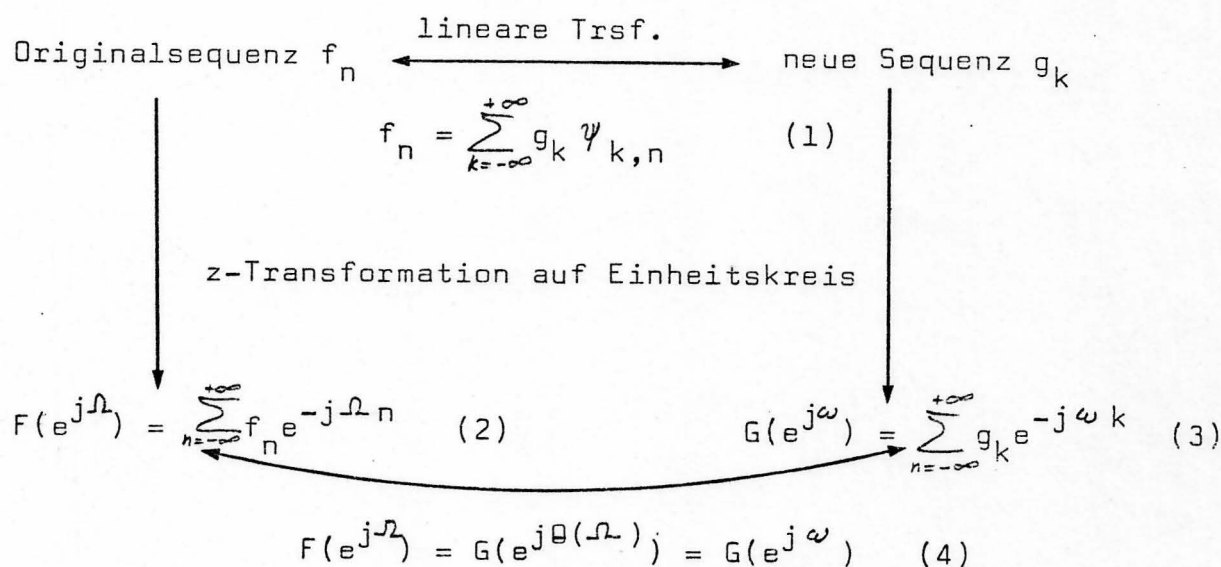


Fig. 1

(1) ist zunächst noch nicht bestimmt. Es wird von f_n und g_k lediglich verlangt, dass sie linear auseinander hervorgehen. Die z-Transformierten² der beiden Sequenzen f_n und g_k sollen ausserdem identisch sein, wenn für die Argumente auf dem Einheitskreis folgende Relation gilt

$$\omega = \theta(\Omega) \quad (4)$$

Es stellt sich nun die Aufgabe, diese Verzerrung der Frequenzachse zu berechnen.

²

Die z-Trsf. auf dem Einheitskreis darf eigentlich nur dann mit der Fouriertransformierten gleichgesetzt werden, wenn die diskrete Sequenz f_n mit $f(t) = \sum_{n=-\infty}^{+\infty} f_n \delta(t-n)$ eine kontinuierliche Zeitfunktion darstellt. Zu $f(t)$ gehört dann die FT $F(\Omega) = \sum_{n=-\infty}^{+\infty} f_n \exp(-j\Omega n)$.

Was auf dem Einheitskreis im speziellen gilt, dass nämlich die beiden z-Transformierten identisch sind für eine zunächst unbekannte Variablensubstitution, kann auf die ganze z-Ebene erweitert werden. Unter der Abbildung $\hat{z} = m(z)$ ist $F(z) = G(m(z)) = G(\hat{z})$. Für diese Abbildung m fordern wir mithin, dass sie den Einheitskreis in der z-Ebene in denjenigen der \hat{z} -Ebene überführt: Für bestimmte Punkte desselben, die durch die Winkelgeschwindigkeiten $\hat{\Omega}$ bzw. Ω bestimmt sind, können wir schreiben

$$e^{j\hat{\Omega}} = m(e^{j\Omega}) = e^{j\theta(\Omega)}, \quad \hat{\Omega} = \theta(\Omega) \quad (5)$$

Für die linearen Entwicklungskoeffizienten $\psi_{k,n}$ hat die z-Transformierte

$$\Psi_k(z) = \sum_{n=-\infty}^{+\infty} \psi_{k,n} z^{-n} \quad (6)$$

die Eigenschaft, dass

$$\Psi_k(z) = (\Psi_1(z))^k \quad (7)$$

was bei () begründet ist. Die wichtige Relation (7) wird hier als gegeben aufgefasst. Ausserdem ist dort dargelegt, weshalb die Beziehung

$$m(z) = (\Psi_1(z))^{-1} \quad (8)$$

vorausgesetzt werden darf. (7) und (8) folgen aus den Prämissen in Fig. 1, insbesondere aus der Tatsache, dass das Spektrum von g_k eine verformte Variante desjenigen von f_n ist (Gleichung (4)). Mit den Gleichungen (5), (7) und (8) ergibt sich

$$\Psi_k(e^{j\Omega}) = e^{-jk\theta(\Omega)} \quad (9)$$

Die Fouriertransformation² $\Psi_k^*(-\Omega) = \Psi_k(e^{j\Omega})$ der Folge $\psi_{k,n}$ der Entwicklungskoeffizienten hat Allpass-Charakteristik, denn sie verändert sich mit Ω bloss hinsichtlich der Phase. Ihr Betrag ist gemäss (9) immer gleich Eins. Dies ist eine erste wichtige

Bedingung für $\Psi_k(z)$, welches, einmal bekannt, die Abbildungsvorschrift (1) zwischen den Sequenzen festlegt.

Fernerhin wird gefordert, dass $m(z)$ rational ist und den Einheitskreis von z überführt in den Einheitskreis von \hat{z} . In der komplexen Analysis kennt man die Klasse der Möbiustransformationen oder Kreisverwandtschaften, welche genau diesen Forderungen entsprechen (22). Insbesondere die Untergruppe der hyperbolischen Bewegungen

$$m(z) = \eta \frac{z - a}{a^*z - 1}, \quad 0 \leq |a| < 1, \quad |\eta| = 1 \quad (10)$$

bildet Einheitskreise, sowie deren Inneres und Aeusseres jeweils auf sich ab. Mit der Wahl von $\eta = -1$ und einer geringfügigen Umformung gelangt Oppenheim zur analytischen Darstellung eines Allpass erster Ordnung

$$\hat{z} = m(z) = \frac{1 - az^{-1}}{z^{-1} - a^*}, \quad (11)$$

welcher das Intervall $-\pi < \Omega \leq \pi$ auf $-\pi < \omega \leq \pi$ abbildet, a.n. Fixpunkte in $e^{\pm j}$ besitzt. Diese letzte Eigenschaft macht die Abbildung 1-1-deutig, sodass also keine Punkte auf dem \hat{z} -Einheitskreis existieren, denen entweder keine oder mehrere Urbilder zugeordnet sind.

Die z -Transformierten der Sequenzen $\{\psi_{k,n}\}$ in der Entwicklung (1) sind demgemäss

$$\Psi_k(z) = \left(\frac{z^{-1} - a^*}{1 - az^{-1}} \right)^k \quad (12)$$

Das entspricht einem Allpass k-ter Ordnung mit k Polen bei $z=a$ und k Nullstellen bei $z = 1/a^*$. Dadurch ist die lineare Beziehung zwischen f_n und g_k völlig bestimmt. Aus (9) und (12) und unter Einschränkung auf reelles a folgt

$$\hat{\Omega} = \theta(\Omega) = \arctan \left[\frac{(1 - a^2) \sin \Omega}{(1 + a^2) \cos \Omega - 2a} \right] \quad (13)$$

Beweis:
$$e^{-j\theta(\Omega)} = \frac{e^{-j\Omega} - a^*}{1 - ae^{-j\Omega}}$$

Subst: $\cos \theta(\Omega) = \xi$, $\sin \theta(\Omega) = \eta$

$\cos \Omega = x$, $\sin \Omega = y$

$$\begin{aligned} \xi - j\eta &= \frac{x - jy - a^*}{1 - a(x - jy)} = \frac{(x - a^*) - jy}{(1 - ax) + jay} \\ &= \frac{((x - a^*) - jy)((1 - ax) - jay)}{(1 - ax)^2 + a^2 y^2} \quad (= N) \\ &= \frac{(x - a^*)(1 - ax) - ay^2}{N} - j \frac{y(1 - ax) + ay(x - a^*)}{N} \end{aligned}$$

$$\begin{aligned} \tan \theta(\Omega) &= \frac{\eta}{\xi} = \frac{y(1 - ax) + ay(x - a^*)}{(x - a^*)(1 - ax) - ay^2} \\ &= \frac{(1 - a^2) y}{(1 + a^2)x - 2a} = \frac{(1 - a^*a) y}{(1 + a^*a)x - a - a^*} \quad - 2 \operatorname{Re}\{a\} \end{aligned}$$

Schluss durch beidseitiges Anwenden von arctan.

Die graphische Darstellung des Zusammenhangs in (13) gibt Fig. 2 für verschiedene reelle Werte des Parameters a. Der Zusammenhang ist nichtlinear, und die Fouriertransformierte von g_k ist gleich der Fouriertransformierten von f_n berechnet auf einer nicht-linearen Frequenzachse:

$$F(e^{j\Omega}) = G(e^{j\theta(\Omega)})$$

Für $a > 0$ wird die Auflösung für niedrigere Frequenzen vergrößert, was in unserem Fall erwünscht ist.

Nach all diesen Vorbereitungen kann die Frage angepackt werden wie g_k konkret aus f_n gewonnen wird. Es gelte in Anlehnung an die Praxis von jetzt an die Einschränkung, dass $f_n = 0$ für $n < 0$ und

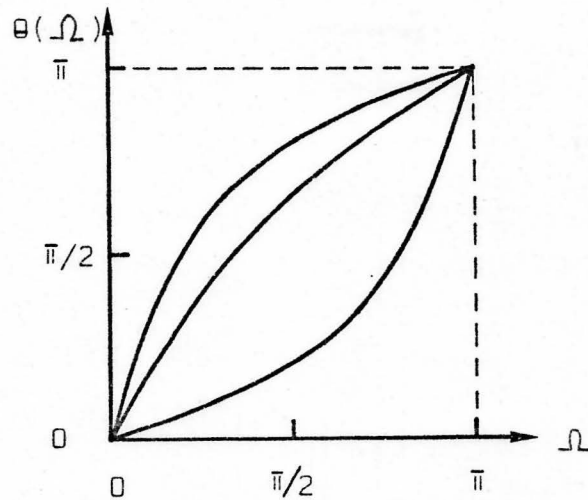


Fig. 2 Graph der Verformungsfunktion (13) für verschiedene reelle Werte von a.

$g_k = 0$ für $k < 0$. Ausgangspunkt ist die gewichtete Orthogonalität zwischen den Sequenzen $\{\psi_{k,n}\}$:

$$\sum_{n=0}^{\infty} n \psi_{r,n} \psi_{k,n} = \begin{cases} k & \text{falls } k = r \\ 0 & \text{falls } k \neq r \end{cases} \quad (14)$$

Die Umkehrformel zu (1) ist damit

$$g_k = \frac{1}{k} \sum_{n=0}^{\infty} n \psi_{k,n} f_n \quad \text{falls } k > 0$$

$$g_k = 0 \quad \text{falls } k < 0 \quad (15)$$

Beweis: Mit Hilfe von (1):

$$\begin{aligned} \sum_n n \psi_{k,n} \left\{ \sum_{k'} g_{k'} \psi_{k',n} \right\} &= \sum_{k'} g_{k'} \left\{ \sum_n n \psi_{k,n} \psi_{k',n} \right\} \\ &= \sum_{k'} g_{k'} k' \delta_{k,k'} = g_k k \end{aligned}$$

Die Entwicklungskoeffizienten $h_{\nu n} = (1/k)n \psi_{\nu n}$ in (15) können

$$Z(nf_n) = -z \frac{d}{dz} Z(f_n) \quad (16)$$

Die gesamte Systemfunktion wird demgemäss

$$H_k(z) = \frac{1}{k} Z(n \psi_{k,n}) = \frac{1}{k} (-z) \frac{d}{dz} \Psi_k(z) \quad (17)$$

und unter Verwendung von (12)

$$H_k(z) = \frac{(1 - |a|^2) z^{-1}}{(1 - az^{-1})^2} \left[\frac{z^{-1} - a^*}{1 - az^{-1}} \right]^{k-1} \quad k=1,2,\dots \quad (18)$$

$g_0 = \sum_{n=0}^{\infty} h_{0,n} f_n$ kann aus (15) nicht ermittelt werden, es fehlt aus diesem Grunde auch die zugehörige Systemfunktion $H_0(z)$.

Aus einem von Oppenheim nicht angegebenen Grunde ist aber

$$\psi_{k,0} = (-a)^k, \quad k = 0,1,2,\dots \quad (19)$$

insbesondere wird $\psi_{0,0} = 1$. Aus (1) erhalten wir infolgedessen

$$g_0 = f_0 - \sum_{k=1}^{\infty} g_k (-a)^k \quad (20)$$

und schreiben unter Benutzung von (15)

$$g_0 = f_0 - \sum_{n=0}^{\infty} f_n \sum_{k=1}^{\infty} \frac{1}{k} (-a)^k \psi_{k,n}, \quad (21)$$

was mit der Substitution

$$v_n \equiv \sum_{k=1}^{\infty} \frac{1}{k} (-a)^k \psi_{k,n} \quad (22)$$

einfacher wird:

$$g_0 = f_0 - \sum_{n=1}^{\infty} f_n n v_n = \sum_{n=0}^{\infty} f_n (\delta_n - n v_n) \quad (23)$$

δ_n ist ein Einheitsimpuls, d.h. $\delta_n = 1$ für $n=0$ und $\delta_n = 0$ für $n \neq 0$.

Wir haben mit (23) die bisher noch unbekannte Einheitsimpulsfolge

$h_{0,n} = (\delta_n - n v_n)$ erhalten. Gesucht ist deren z-Transformierte.

Zunächst suchen wir sie für $n v_n$:

$$\begin{aligned}
 \sum_{n=0}^{\infty} n v_n z^{-n} &\stackrel{(16)}{=} -z \frac{d}{dz} \sum_{n=0}^{\infty} v_n z^{-n} \\
 &= -z \frac{d}{dz} \sum_{n=0}^{\infty} \sum_{k=1}^{\infty} \frac{1}{k} (-a)^k \psi_{k,n} z^{-n} \\
 &= -z \frac{d}{dz} \sum_{k=1}^{\infty} \frac{1}{k} (-a)^k \sum_{n=0}^{\infty} \psi_{k,n} z^{-n} \\
 &\stackrel{(12)}{=} -z \frac{d}{dz} \sum_{k=1}^{\infty} \frac{1}{k} (-a)^k \left(\frac{z^{-1} - a^*}{1 - a z^{-1}} \right)^k \\
 &= -z \sum_{k=1}^{\infty} \frac{1}{k} (-a)^k k \left(\frac{z^{-1} - a^*}{1 - a z^{-1}} \right)^{k-1} \cdot \left(\frac{-(z^{-1} - a^*)(a z^{-2}) - z^{-2}(1 - a z^{-1})}{(1 - a z^{-1})^2} \right) \\
 &= -z \sum_{l=0}^{\infty} (-a) \left(\frac{z^{-1} - a^*}{1 - a z^{-1}} \right)^l (-a)^l \cdot \frac{+ a z^{-3} - a a^* z^{-2} - z^{-2} - a z^{-3}}{(1 - a z^{-1})^2} \\
 &= \left\{ \sum_{l=0}^{\infty} \left(\frac{-a z^{-1} + a a^*}{1 - a z^{-1}} \right)^l \right\} \frac{(-a z^{-1})(1 - a a^*)}{(1 - a z^{-1})^2} \\
 &\quad \parallel \leftarrow \text{geom. Reihe} \\
 &\quad \frac{1}{1 - \left(\frac{-a z^{-1} + a a^*}{1 - a z^{-1}} \right)} \quad \text{falls } \left| \frac{-a z^{-1} + a a^*}{1 - a z^{-1}} \right| < 1 \\
 &\quad \parallel \\
 &\quad \frac{1 - a z^{-1}}{1 - a z^{-1} + a z^{-1} - a a^*} \\
 &= - \frac{(1 - a z^{-1}) \cdot a z^{-1} (1 - a a^*)}{(1 - a a^*) (1 - a z^{-1})^2} \\
 &= - \frac{a z^{-1}}{1 - a z^{-1}} = Z(n v_n). \tag{24}
 \end{aligned}$$

Die z-Trsf. von $h_{0,n} = (d_n - n v_n)$ wird demnach

$$\begin{aligned}
 H_0(z) &= \sum_{n=0}^{\infty} (d_n - n v_n) z^{-n} \\
 &= \sum_{n=0}^{\infty} d_n z^{-n} - \sum_{n=0}^{\infty} n v_n z^{-n} \\
 &= 1 + \frac{a z^{-1}}{1 - a z^{-1}}
 \end{aligned}$$

$$H_0(z) = \frac{1}{1 - a z^{-1}} \tag{25}$$

Zusammenfassend kann dieses lineare schiebungsinvariante System wie folgt beschrieben werden:

$$H_k(z) = \begin{cases} \frac{(1 - |a|^2)z^{-1}}{(1 - az^{-1})^2} \left[\frac{z^{-1} - a^*}{1 - az^{-1}} \right]^{k-1} & \text{falls } k > 0 \\ \frac{1}{1 - az^{-1}} & \text{falls } k = 0 \end{cases} \quad (26)$$

Auffallend ist, dass die Systemfunktion ab $k=1$ kaskadisch wird, d.h. die Vergrößerung von k um einen Schritt zieht die Multiplikation von $H_k(z)$ mit dem festen Faktor $(z^{-1}-a^*)/(1-az^{-1})$ nach sich. Diese Kaskadenstruktur wird einen iterativen Funktionsablauf im Rechner ermöglichen.

Wie sind die Funktionen (26) zu interpretieren? g_k entsteht durch Linearkombination der f_n mit den Einheitsimpulsantworten $h_{k,n}$ als Gewichte. $h_{k,n}$ wird dabei als Sequenz in n mit Parameter k aufgefasst. Zu diesen Sequenzen gehören via z -Transformationen die Systemfunktionen $H_k(z)$ mit demselben Parameter. Nur diese sind bis jetzt explizite gegeben. Aus ihnen könnte über die inverse z -Transformation (Cauchy-Integral) $h_{k,n}$ aber berechnet werden; sie charakterisieren das digitale System also vollständig. Die Kaskade ist in Fig. 3 aufgezeichnet.

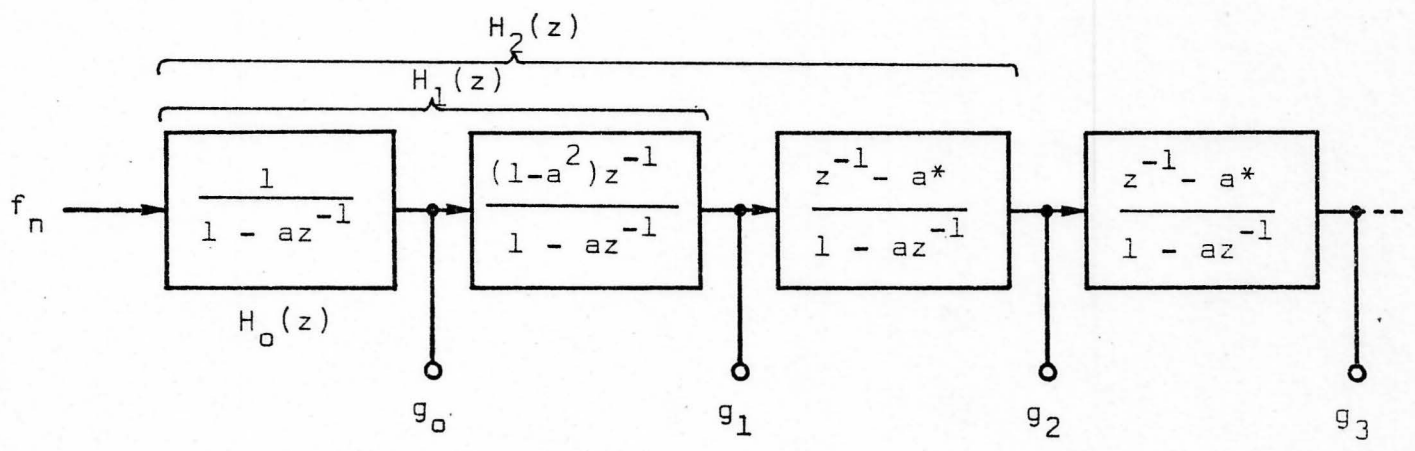


Fig. 3 Allpass-Netzwerk zur digitalen Frequenzverformung. Die Ausgangswerte g_k stehen an, nachdem alle Eingangswerte f_n in absteigender Reihenfolge verarbeitet sind.

$H_0(z)$ ist die Systemfunktion eines Netzwerks erster Ordnung zur Stossantwort $h_{0,n}$, welche g_0 erzeugt. g_0 steht fertig gerechnet an, wenn die ganze Sequenz f_n verarbeitet ist. Die Stützwerte werden in absteigender Reihenfolge eingelesen.

Dasselbe gilt auch für $H_1(z)$, nur dass auf dem Weg zu g_1 die Zwischenresultate $\tilde{g}_{0,k}$ von g_0 mitverwendet werden können, dass die Maschinerie von $H_0(z)$ als Teil des Systems $H_1(z)$ also nicht mehr eigens ablaufen muss. Die Erweiterung auf $H_k(z)$ ist nun gut ersichtlich.

Oppenheim macht einen Vorschlag für die Verwirklichung des Gesamtsystems Fig. 3, wie er in Fig. 4 gezeigt ist.

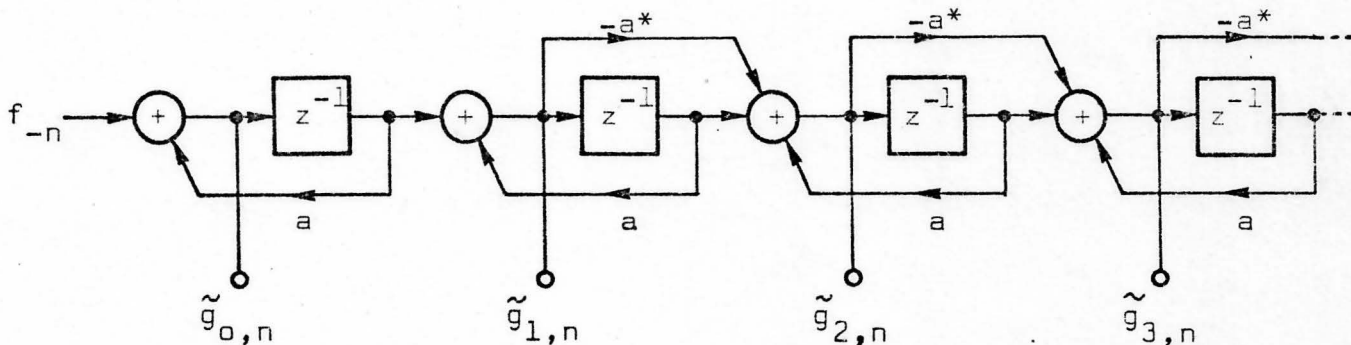


Fig. 4 Eine mögliche Schaltungsanordnung für digitale Frequenzverformung mit Verzögerungsgliedern, Multiplizier- und Addierwerken. (Man beachte: $g_k = g_{k,0}$)

Die Äquivalenz von Fig. 4 mit den Systemfunktionen (26) soll jetzt geprüft werden. Betrachten wir erstens die Erzeugung von g_0 . Da die einzelnen Stufen der Kaskade völlig rückwirkungsfrei sind, ist für g_0 nur ein beschränktes Teilsystem verantwortlich. Dieses ist in Fig. 5 aufgezeichnet

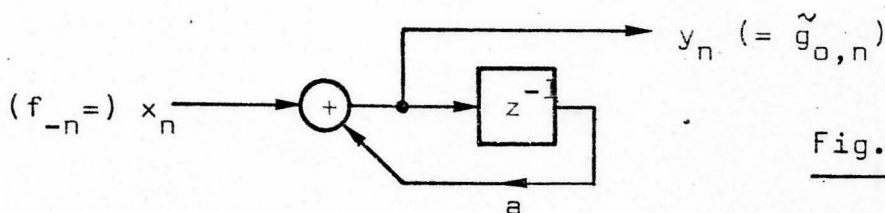


Fig. 5

Die Arbeitsweise kann mit Hilfe der Differenzengleichung

$$y_n = ay_{n-1} + x_n \quad (27)$$

dargestellt werden. Beidseitige z-Transformation mit der Anfangsbedingung $y_{-1} = 0$ liefert

$$\begin{aligned} \sum_{n=0}^{\infty} y_n z^{-n} &= az^{-1} \sum_{n=0}^{\infty} y_{n-1} z^{-(n-1)} + \sum_{n=0}^{\infty} x_n z^{-n} \\ Y(z) &= az^{-1} (y_{-1} z + \sum_{m=0}^{\infty} y_m z^{-m}) + X(z) \\ &= az^{-1} Y(z) + X(z) \\ &= \frac{1}{(1 - az^{-1})} X(z) = H_0(z) X(z) \end{aligned}$$

Man vergleiche mit (26)! Die zweite Kaskadenstufe ist in Fig. 6 gezeigt; sie unterscheidet sich von Fig. 5 nur durch ein zusätzliches Verzögerungsglied am Eingang.

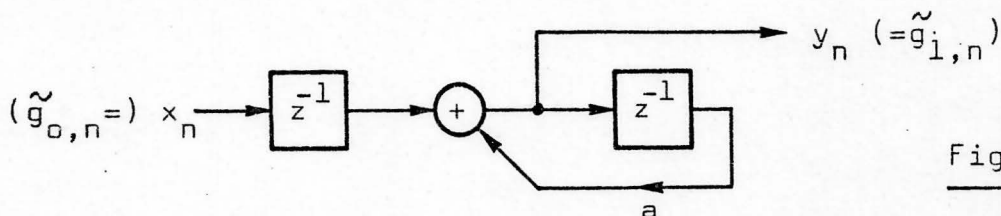


Fig. 6

Differenzengleichung zur zweiten Stufe:

$$y_n = ay_{n-1} + x_{n-1} \quad (28)$$

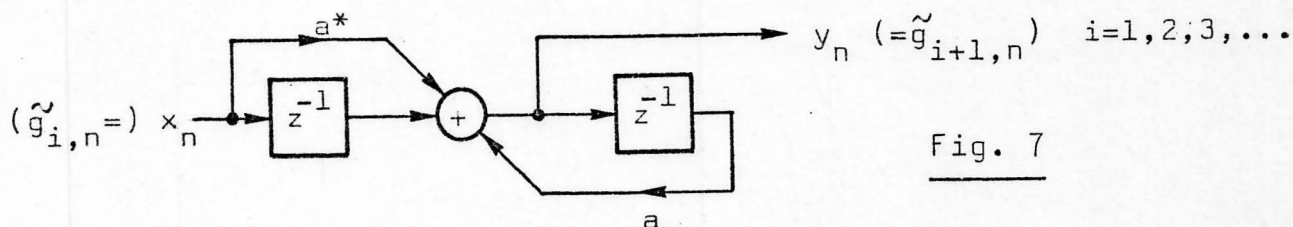
z-Transformation mit Anfangsbedingung $y_{-1} = x_{-1} = 0$:

$$\begin{aligned} Y(z) &= az^{-1} Y(z) + z^{-1} X(z) \\ &= \frac{1}{(1 - az^{-1})} X(z) \stackrel{?}{=} H_1(z) X(z) \end{aligned}$$

Hier liegt ein Widerspruch zu (26) vor, was möglicherweise einen Fehler von Oppenheim im Netzwerk Fig. 4 anzeigt. Dieser Schönheitsfehler muss vor einer allfälligen Realisierung korrigiert

werden, z.B. durch einen zusätzlichen Term $-|a|^2 x_{n-1}$ in (28).

Schliesslich verifizieren wir noch die dritte Kaskadenstufe, die sich in der Folge ja nur noch wiederholt (Fig. 7).



Differenzengleichung:

$$y_n = ay_{n-1} + x_{n-1} - a^*x_n$$

z-Transformation mit Anfangsbedingung $y_{-1} = x_{-1} = 0$:

$$\begin{aligned} Y(z) &= az^{-1} Y(z) + z^{-1} X(z) - a^* \dot{X}(z) \\ &= \frac{z^{-1} - a^*}{(1 - az^{-1})} X(z) \end{aligned}$$

Damit wäre das Fundament für das Verständnis einer speziellen Hardwarekonfiguration gelegt.

4.1. Plan eines Hardware-Systems für digitale Frequenzverformung

Unter vollkommener Ausnützung der iterativen Möglichkeiten des Systems in Fig. 4 macht Oppenheim einen Vorschlag zu einer verdrahteten Darstellung des Algorithmus. Die Iterationsfolgen lauten zusammengefasst folgendermassen:

$$\begin{aligned} \tilde{g}_{0,n} &= a\tilde{g}_{0,n-1} + f_{-n} \\ \tilde{g}_{1,n} &= a\tilde{g}_{1,n-1} + \tilde{g}_{0,n-1} \\ &\vdots \\ \tilde{g}_{k,n} &= a\tilde{g}_{k,n-1} - a^*\tilde{g}_{k-1,n} + \tilde{g}_{k-1,n-1}, \quad k = 2, 3, \dots \\ &\vdots \end{aligned} \tag{30}$$

Der negative Index bei f_{-n} bedeutet, dass die Folge mit dem höchstindizierten Glied voraus eingelesen werden muss, das in der Praxis an endlicher Stelle, sagen wir bei f_N ist. Mit f_N am Eingang beginnt ein erster "Makrozyklus", während dem alle Schritte (= "Mikrozyklen", k läuft) in (30) ausgeführt werden. In der Praxis seien es M Schritte bzw. Folgeglieder $\tilde{g}_{k,n}$. Dann wird der nächste Wert f_{N-1} eingeschleust und wiederum in der Spanne eines Makrozyklus M Mikrozyklen durchgeführt, etc. Man beachte, dass jeweils für die ersten beiden Mikrozyklen gewisse Modifikationen am Einheitsschritt vorgenommen werden müssen und sich erst ab $k=2,3,4,\dots$ nichts mehr ändert. So werden alle Mikrozyklen durchgespielt, n sukzessive reduziert, bis auch für $n=0$ alle M Mikrozyklen erledigt sind. Unmittelbar leuchtet ein, dass die Rechenzeit proportional zu $M \cdot N$ ist.

Das Blockschaema Fig. 8 ist nunmehr leicht zu begreifen.

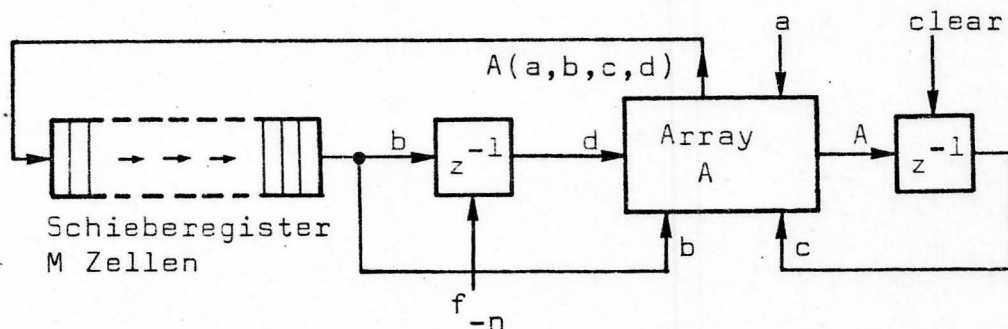


Fig. 8 Blockschaema eines möglichen DFV-Rechners

Das Rechenarray A ermittelt aus vier Variablen den Funktionswert

$$A(a,b,c;d) = ab - a*c + d \tag{31}$$

Die Variablen für die ersten beiden Mikrozyklen sind

$$\begin{aligned} \tilde{g}_{0,n} &= A(a, \tilde{g}_{0,n-1}, 0, f_{-n}) \\ \tilde{g}_{1,n} &= A(a, \tilde{g}_{1,n-1}, 0, \tilde{g}_{0,n-1}) \end{aligned} ,$$

für die folgenden

$$g_{k,n} = A(a, g_{k,n-1}, g_{k-1,n}, g_{k-1,n-1}) \quad , \quad k=2,3,\dots,M.$$

Der Inhalt des Schieberegisters wird pro Mikrozyklus um einen Schritt nach rechts verschoben; es hat demnach die Länge M.

Noch ein Wort zum Parameter a. Für eine einfache Frequenzverformung gemäss Fig. 2 ist er reell. Dann kommt im ganzen Rechenablauf keine Vermischung von Real- und Imaginärteilen zustande. Die Grundoperation reduziert sich auf eine reelle Multiplikation

$$A(a,b,c,d) = a(b - c) + d \quad (32)$$

und der Prozessor kann für reelle Sequenzen ausgelegt werden. Es wird für unsere Zwecke trotzdem vorteilhaft sein, alles komplex zu machen. Ein komplexes Multiplizierwerk ist vom FFT-Prozessor her ohnehin vorhanden. Der DFV-Prozessor wird dem FFT vorgeschaltet und ist punkto Rechenzeit wesentlich ungünstiger als FFT. Komplexe Verarbeitung bringt doppelte Durchflussrate. Der Hauptvorteil aber wurde noch gar nicht erwähnt: nämlich die Möglichkeit, mit einem geeigneten komplexen a in der Umgebung einer beliebigen Frequenz Ω_0 eine Feinauflösung im Spektrum zu erzielen. Diese zusätzliche Eigenschaft ist für den EEGisten hochwillkommen, da z.B. im Alphapeak, wie Dumer-muth nachgewiesen hat (11), hochsignifikante Informationen stecken, mit deren Hilfe u.a. auch die genetische Grundlage des EEGs nachgewiesen werden kann.

Die theoretischen Untersuchungen zu dieser interessanten Perspektive der lokalen Feinauflösung, sowie die Simulation des DFV-Prozessors auf einem Minicomputer werden im Anschluss an die Diplomarbeit durchgeführt. Ganz ähnliche Möglichkeiten, die Erzeugung eines Spektrums hoher und gleichmässiger Auflösung über ein schmales Frequenzband, eröffnet die Chirp-z-Transformation. Auch sie soll baldmöglichst in bezug auf ihre Bedeutung für unser Projekt überprüft werden. Gegen Abschluss dieser Arbeit ist ein weiterer Artikel von Oppenheim über DFV erschienen, in welchem die Quantisierungsfehler eingehend untersucht werden (2).

5. LITERATURVERZEICHNIS

- 1) Berger, H. Ueber das Elektrenkephalogramm des Menschen, I. Arch.Psychiat.Nervenkr., 1929, 87: 527 - 570.
- 2) Braccini, C., and Oppenheim, A.V. Unequal bandwidth spectral analysis using digital frequency warping, IEEE Trans.Acoust.Speech and Signal Process., 1974, ASSP-22, 236 - 244.
- 3) Cooley, J.W., Lewis, P.A.M., and Welch, P.D. The fast Fourier transform algorithm and its applications. IBM Res. Paper RC-1743, Febr. 1967, 157 p.
- 4) Corinthios, M.J. A time-series analyzer. Proc.Symp.Comput. Processing in Commun., 1969, 19: 47 - 61. MRI Symposia Ser. New York: Polytechnic Press.
- 5) DEC: PDP-12 System reference manual, Digital Equipment Corp., 1970.
- 6) DEC: Laboratory computer handbook 1971, Digital Equipment Corp., 1970, 298 p.
- 7) DEC: PDP-8/E small computer handbook, Digital Equipment Corp., 1973, PDP-8 handbook series.
- 8) DEC: Introduction to programming, Digital Equipment Corp., 1973, PDP-8 handbook series.
- 9) DEC: Logichandbook 1973-74, Digital Equipment Corp., 1973, 520 p.
- 10) Dumermuth, G. Numerical spectral analysis of the electroencephalogramm, Handbook of EEG clin. Neurophysiol., 1973, 5A: 33-60.
- 11) Dumermuth, G. EEG and powerspectra in twins, Helv.pädr.Acta, 1969,
- 12) Fricker, B. "Carry-save" Multiplizierwerke, (Interne Mitteilung), 1972, 13 p., (siehe Anhang C).
- 13) Fricker, B. Ein DFT-Prozessor zur mehrkanaligen EEG-Spektralanalyse in Echtzeit ohne Benützung des FFT-Algorithmus, (Interne Mitteilung), 1973, 9p., (siehe Anhang B).
- 14) Fricker, B. Ein FFT-Prozessor, (Interne Mitteilung), 1973, 28 p., (siehe Anhang A).

- 15) Fricker, B. Ergebnisse einer Umfrage in neurobiologischen Laboratorien der Region Zürich, Aktenvermerk, 1973, 54 p.
- 16) Fricker, B. EEG-Spektralanalysator, detailliertes Forschungsprojekt 1974/75, Aktenvermerk, 1974, 18 p.
- 17) Glisson, T.H., Black, Ch.I., and Sage, A.P. The digital computation of discrete spectra using the Fast Fourier Transform, IEEE Trans.Audio Electroacoust., 1970, AU-18: 271 - 287.
- 18) Oppenheim, A.V., and Johnson, D.H. Computation of spectra with unequal resolution using the Fast Fourier Transform, Proc.IEEE, 1971, 59: 299 - 301.
- 19) Oppenheim, A.V., and Johnson, D.H. Discrete representation of signals, Proc.IEEE, 1972, 60: 681 - 691.
- 20) Oppenheim, A.V., and Weinstein, C.J. Effects of finite register length in digital filtering and the Fast Fourier Transform, Proc.IEEE, 1972, 60: 957 - 976.
- 21) Pease, M.C. An adaptation of the Fast Fourier Transform for parallel processing, J.Ass.Comput.Mach., 1968, 15: 252 - 264.
- 22) Peschl, E. Funktionentheorie I, Bibl. Institut, Mannheim, 1967, HTB 131/131a, Kap. I.
- 23) Shah, A. Binäre Arithmetik, Kap. IX eines Buches über digitale Systeme, (in Vorbereitung).
- 24) Speiser, A.P. Digitale Rechenanlagen, Springer-Verlag, Berlin, 1965, 454 p.

ANHANG A: EIN FFT-PROZESSOR

Inhaltsübersicht

- 0. Einleitung
- 1. Der FFT-Algorithmus
 - 1.1. Grundidee
 - 1.2. Eine klassische Darstellung
 - 1.3. Eine Matrix-Darstellung
- 2. Der FFT-Prozessor
 - 2.1. Elektronische Nachbildung des Algorithmus
 - 2.2. Verarbeitung reeller Zeitreihen
 - 2.3. Vergleich zur DFT-Alternative
- 3. Literaturverzeichnis

"It is my great hope that the engineer, the scientific descendants of Wiener and Kolmogorow, will become skilled in the recognition and prediction of the non-linearities of their sick fellow humans and join hands coevally in true biomedical engineering with their physician colleagues in the advance of the healing sciences." ¹

O. EINLEITUNG

Auf dem Weg zur Synthese eines Biosignalprozessors gibt diese Arbeit die Zusammenfassung meines bisherigen Studiums der schnellen Fouriertransformation². Im vorangehenden Aufsatz habe ich gezeigt, dass die Leistungsfähigkeit eines sequentiellen DFT-Prozessors grundsätzlich ausreicht, um eine vielkanalige EEG-Analyse in Echtzeit durchzuführen. Die wachsende Bedeutung der schnellen Fouriertransformation auf dem breiten Feld der statistischen Signalanalyse erheischt jedoch eine genaue Prüfung ihres Wertes für unser Anliegen. Dazu bedarf es zunächst einer geschlossenen Darstellung des FFT-Algorithmus in einer Form, welche den schaltungs-technischen Entwürfen möglichst isomorph ist. PEASE³ hat einen Matrix-Formalismus entwickelt, der dieser Forderung entspricht. Die formale Eleganz seiner Darstellungsweise hat prompt zu einer Maschinenstruktur geführt, deren Symmetrie und Einfachheit besticht und die sich für unsere Zwecke ausgezeichnet eignet⁴. Man kann sagen, dass der Formalismus von PEASE die heutige MOS-Technologie geradezu antizipiert.

¹John Hanley, M.D., Department of Psychiatry and Space Biology Laboratory, Brain Research Institute UCLA.

²engl. Fast Fourier Transform = FFT, Discrete Fourier Transform = DFT

³Pease, M.C. An adaptation of the fast Fourier transform for parallel processing. J. Ass. Comput. Mach., 1968, 15: 252 - 264.

BERGLAND⁵ gibt vier Klassen möglicher Hardware-Ausführungen des FFT-Algorithmus. Er unterscheidet den sequentiellen Prozessor, den Kaskadenprozessor, den Parallel-Iterativ-Prozessor und den Array-Analyzer. Da wir eine möglichst preisgünstige und einfache Realisierung anstreben, scheiden die drei letzten Klassen aus. Es bleibt der sequentielle Prozessor, dessen Verarbeitungskapazität auf jeden Fall ausreichen wird, da uns ja bereits ein sequentieller DFT-Prozessor zufriedenstellen könnte. Von BERGLAND erfahren wir, dass bis 1970 etwa ein Dutzend verschiedene sequentielle Rechner gebaut wurden. Die typische Struktur der festverdrahteten unter diesen Prozessoren findet man bei SHIVELY⁶ und bei KLAHN et al.⁷. Trotz der "in place computation"⁸ sind die Speicherkosten hoch, da man auf direkten Zugang zu jedem Speicherplatz angewiesen ist. Als Folge der "in place computation" müssen zudem die Schlussresultate in einem separaten Durchlauf entmischt werden⁹.

Beim heutigen Stand der Dinge müssen diese sequentiellen Maschinen als veraltet bezeichnet werden. Es ist - unter Verwendung von MOS-Schieberegistern - möglich, einfacher und preisgünstiger zu bauen. Der in dieser Arbeit vorgestellte Prozessor überrascht in mancher Hinsicht. Er ist einerseits fast ebenso einfach, wie ein DFT-Prozessor; andererseits kann seine Leistung mit den klassischen sequentiellen Maschinen durchaus verglichen werden.

⁴Corinthios, M.J. A time-series analyzer. Proc. Symp. Comput. Processing in Commun., 1969, 19: 47 - 61, MRI Symposia Ser. New York: Polytechnic Press.

⁵Bergland, G.D. Fast Fourier transform hardware implementations. I. An overview. II. A survey. IEEE Trans. Audio Electroacoust., 1969, AU-17: 104 - 119.

⁶Shively, R.R. A digital processor to generate spectra in real time. IEEE Trans. Comput., 1968, C-17: 485 - 491.

⁷Klahn, R., Shively, R.R., Gomez, E. and Gilmartin, M.J. The time-saver: FFT hardware. Electronics, June 1968: 92 - 97.

⁸Für Zwischen- und Schlussresultate ist kein zusätzlicher Speicher nötig, da einmal bearbeitete Datenpaare nicht mehr gebraucht werden und fortlaufend überschrieben werden können. Dies ist ein Merkmal von FFT und steht im Gegensatz zu den Verhältnissen bei DFT.

1. DER FFT - ALGORITHMUS

1.1. Grundidee¹⁰

Sei $X(j)$, $j = 0, 1, 2, \dots, N-1$ eine Folge von N komplexen Zahlen. Dann ist die diskrete¹¹ Fouriertransformation gegeben durch

$$A(n) = \frac{1}{N} \sum_{j=0}^{N-1} X(j) \exp(-2\pi i n j / N) \quad (1)$$

wobei $i = (-1)^{\frac{1}{2}}$ ist. Mit der Abkürzung $W_N = \exp(2\pi i / N)$, der N -ten Einheitswurzel, erhält man

$$A(n) = \frac{1}{N} \sum_{j=0}^{N-1} X(j) W_N^{-nj} \quad (2)$$

Als inverse diskrete Fouriertransformation folgt daraus

$$X(j) = \sum_{n=0}^{N-1} A(n) W_N^{nj} \quad (3)$$

Dass (2) und (3) tatsächlich ein Transformationspaar darstellt, kann durch Substitution unter Berücksichtigung der Orthogonalitätsrelation

$$\sum_{j=0}^{N-1} W_N^{nj} W_N^{-mj} = \begin{cases} N, & \text{falls } n = m \pmod{N} \\ 0, & \text{andernfalls} \end{cases} \quad (4)$$

leicht gezeigt werden.

Dieser Sachverhalt wird abgekürzt durch die Schreibweise

$$X(j) \longleftrightarrow A(n) \quad (5)$$

⁹Permutation durch "bit reversing". Bei den binären Adressen werden MSB und LSB vertauscht. Dann wird in aufsteigender Reihenfolge ausgelesen.

¹⁰Die Darstellung in diesem Abschnitt stützt sich im wesentlichen auf die umfangreiche und genaue Arbeit von Cooley, J.W., Lewis, P.A.M. and Welch, P.D. The fast Fourier transform algorithm and its applications. IBM Res. Paper RC-1743, Febr. 1967, 157 p.

Der Vektor $X(j)$ kann beispielsweise eine Folge von Tastwerten einer komplexen Zeitfunktion darstellen. Dann beschreibt der Vektor $A(n)$ die Amplituden und Phasen der zugehörigen Frequenzwerte. Dies ist bei COOLEY¹² im Detail gezeigt.

Die diskrete Fouriertransformation erfordert N^2 komplexe Operationen, wie aus (2) oder (3) zu entnehmen ist. Eine Operation setzt sich zusammen aus einer komplexen Multiplikation und einer komplexen Addition. In welcher Idee liegt nun der Schlüssel zu der enormen Rechenersparnis der schnellen Fouriertransformation?

Wir betrachten ein komplexes Datenpaket¹³ $X(j)$, $j = 0, 1, 2, \dots, 2N-1$. Es besteht aus $2N$ indizierten Punkten. Wir zerlegen es in die Folge der gerade und ungerade indizierten Punkte und dürfen schreiben

$$X(2j) = \sum_{n=0}^{N-1} A_1(n) W_N^{jn}, \quad j = 0, 1, \dots, N-1 \quad (6)$$

und

$$X(2j+1) = \sum_{n=0}^{N-1} A_2(n) W_N^{jn}, \quad j = 0, 1, \dots, N-1. \quad (7)$$

Die Fourierreihe aller $2N$ Punkte wird gegeben durch

$$X(j) = \sum_{n=0}^{2N-1} A(n) W_{2N}^{jn}, \quad j = 0, 1, \dots, 2N-1. \quad (8)$$

Es wird sich zeigen, dass es möglich ist, aus den Koeffizienten $A_1(n)$ und $A_2(n)$ die Koeffizienten $A(n)$ und $A(N+n)$ zu berechnen, und zwar mit einer einzigen komplexen Multiplikation. N komplexe Multiplikationen liefern dann die ganze $2N$ -Reihe, ein Uebergang, der bei DFT $(2N)^2 - 2N^2 = 2N^2$ komplexe Multiplikationen kosten würde. In dieser Ersparnis liegt der enorme Vorteil der schnellen Fouriertransformation.

¹¹ Wird auch endliche Fouriertransformation genannt.

¹² l.c., p. 30 - 32 und p. 35 - 42.

¹³ engl. batch

Berücksichtigt man die Beziehung $W_{2N}^2 = W_N$, dann kann man (8) zerlegen in

$$X(2j) = \sum_{n=0}^{2N-1} A(n) W_N^{jn}, \quad j = 0, 1, \dots, N-1 \quad (9)$$

und

$$X(2j+1) = \sum_{n=0}^{2N-1} A(n) W_N^{jn} W_{2N}^n, \quad j = 0, 1, \dots, N-1. \quad (10)$$

Wenn wir die Terme mit $n \geq N$ separieren und benutzen $W_N^N = 1$ und $W_{2N}^N = -1$, erhalten wir

$$\sum_{n=N}^{2N-1} A(n) W_N^{jn} = \sum_{n=0}^{N-1} A(N+n) W_N^{jn} \quad (11)$$

und

$$\sum_{n=N}^{2N-1} A(n) W_N^{jn} W_{2N}^n = - \sum_{n=0}^{N-1} A(N+n) W_N^{jn} W_{2N}^n. \quad (12)$$

(11) substituiert in (9) und (12) in (10) und Koeffizientenvergleich mit (6) bzw. (7) liefert das Gleichungspaar

$$A_1(n) = A(n) + A(N+n), \quad (13)$$

$$A_2(n) = (A(n) - A(N+n)) \cdot W_{2N}^n. \quad (14)$$

Nach $A(n)$ bzw. $A(N+n)$ aufgelöst, wird daraus

$$A(n) = \frac{1}{2} (A_1(n) + A_2(n) W_{2N}^{-n}) \quad (15)$$

$$A(N+n) = \frac{1}{2} (A_1(n) - A_2(n) W_{2N}^{-n}) \quad (16)$$

$$n = 0, 1, 2, \dots, N-1.$$

In Worten: Die Koeffizienten $A(n)$ für die erste Hälfte des Frequenzbereichs in der $2N$ -Punkteserie mit dem Tastintervall $\frac{1}{2} \Delta t$ sind die Mittelwerte der Koeffizienten der zwei N -Punkteserien mit den geraden und ungeraden Indices. Die Multiplikation mit W_{2N}^{-n} bedeutet eine Verschiebung der Punkte mit ungeraden Indices im Zeitbereich um $\frac{1}{2} \Delta t$ nach links. Der neue Satz von Frequenzen, $n = N, N+1, \dots, 2N-1$, enthält genau die Differenzen der Tastwerte mit geraden und ungeraden Indices. Sind diese alle Null, so kommen keine neuen Frequenzen hinzu. Dies trifft zu, falls das Abtasttheorem¹⁴ schon für Tastintervalle Δt

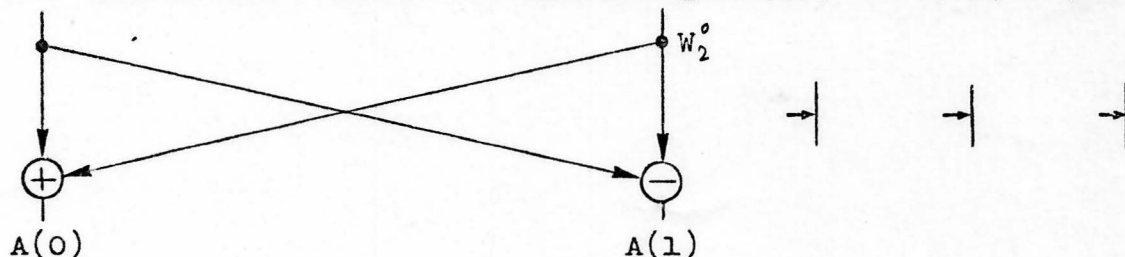
¹⁴Vgl. Bendat, J.S. and Piersol, A.G. Measurement and analysis of random data. John Wiley, Inc, New York, 1966, 390 p.

erfüllt ist. Dieses Kriterium stellt ferner einen sehr nützlichen Genauigkeitstest dar¹⁵.

Aus den Gleichungen (15) und (16) gewinnt man den FFT-Algorithmus durch folgende Ueberlegungen. Ich wähle zur Veranschaulichung ein Datenpaket von 8 Punkten $X(j)$, $j = 0,1,\dots,7$, und setze $X(0) = A_1(0)$ und $X(4) = A_2(0)$.

$X(0)$	$X(1)$	$X(2)$	$X(3)$	$X(4)$	$X(5)$	$X(6)$	$X(7)$
$A_1(0)$				$A_2(0)$			

Das entspricht bis auf einen Normierungsfaktor der Fouriertransformation (2) eines einzigen Wertes, also für $N = 1$. $A_1(0)$ und $A_2(0)$ sind die Amplituden der Frequenz Null, d.h. DC-Pegel. Auf dieses Paar werden die Gleichungen (15) und (16) angewandt.



Die Fortsetzung der Operation auf die Paare (1,5), (2,6), (3,7) erzeugt die Reihe

$A(0) \quad A(0) \quad A(0) \quad A(0) \quad A(1) \quad A(1) \quad A(1) \quad A(1)$.

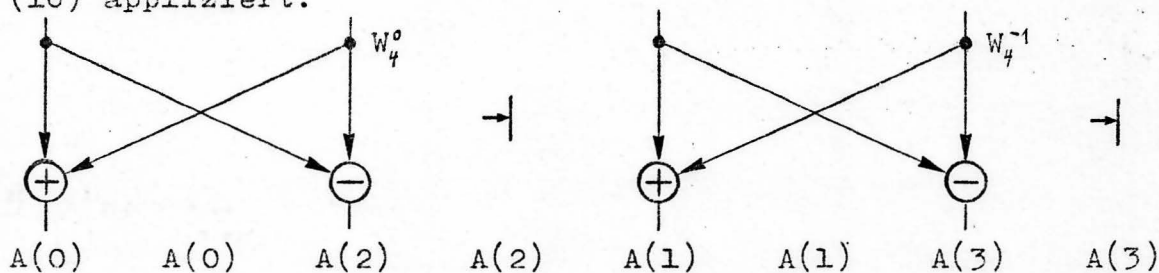
Die Werte der vier je gleich dargestellten Grössen unterscheiden sich natürlich. Man kann das als vier unabhängige Rechenschritte ansehen. Jeder dieser Schritte erzeugt aus zwei $N(=1)$ - Datenpaketen der Frequenz Null ein $2N$ -Datenpaket der Frequenzen Null und $N(=1)$. Die Reihe wird indiziert.

$A_1(0) \quad A_1(0) \quad A_2(0) \quad A_2(0) \quad A_1(1) \quad A_1(1) \quad A_2(1) \quad A_2(1)$

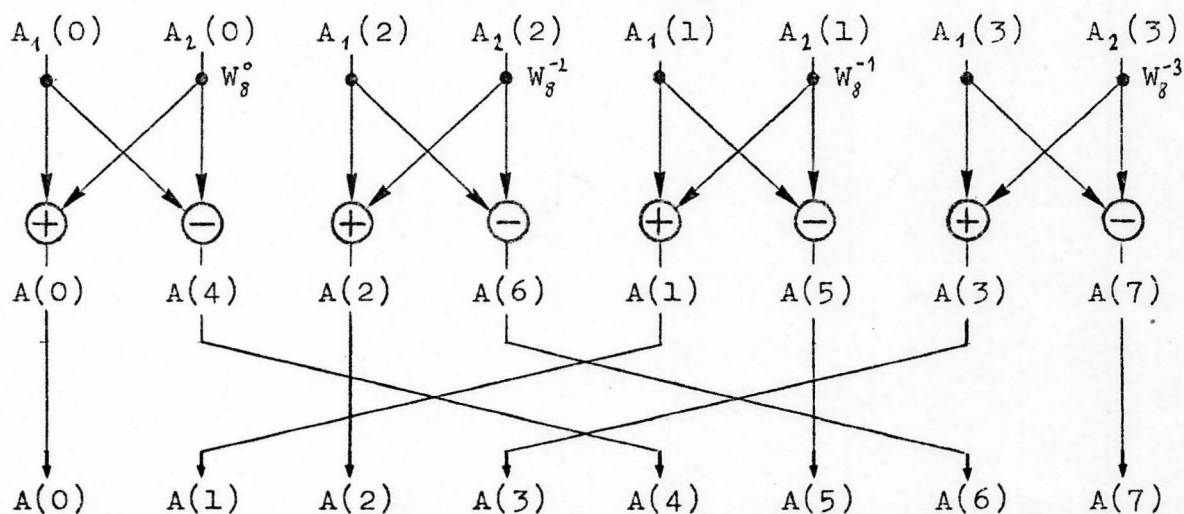
Es ist demnach $N = 2$ zu setzen, da $n = 0,1$.

¹⁵Vgl. Cooley, l.c., p. 29 f.

Für $n = 0$ und $n = 1$ werden erneut die Operationen (15) und (16) appliziert.



Indizierung und $N = 4$ gesetzt, liefert



Durch eine abschliessende Permutation werden die Koeffizienten geordnet. Am Schluss ist $N = 8$, denn n geht von 0 bis 7.

Die Ueberlegungen gelten ganz allgemein für $N = 2^m$ ($m = 1, 2, 3, \dots$). Dieser Algorithmus erscheint in der Literatur in verschiedenen Modifikationen^{16,17,18}, die aber keine neuen Gesichtspunkte bringen.

Wir interessieren uns abschliessend für die Zeiteinsparung, die von FFT in Vergleich zu DFT geleistet wird. Die allgemeinen Verhältnisse können von obigem Beispiel leicht abstrahiert werden. Für jede Iterationsebene werden $\frac{N}{2}$ ($=4$) komplexe Multiplikationen, Additionen und Subtraktionen gebraucht, oder kurz

¹⁶G-AE Subcommittee on Measurement Concepts, What is the fast Fourier transform? IEEE Trans. Audio Electroacoust., 1967, AU-15: 45 - 55; also Proc. IEEE, 1967, 55: 1664 - 1674.

¹⁷Gold, B. and Rader, C.M. Digital processing of signals, Mc Graw-Hill, Inc., New York, 1969, Chapter 6.

¹⁸Bertram, S. On the derivation of the fast Fourier transform. IEEE Trans. Audio Electroacoust., 1970, AU-18: p. 55 - 58.

$\frac{N}{2}$ Operationen. Nach $^2\log N (=3)$ Iterationsebenen ist man am Ziel. Insgesamt werden also $\frac{N}{2}^2\log N (=12)$ Operationen gebraucht im Vergleich zu $N^2 (=64)$ bei DFT. Die Verhältnisse gegenüber DFT werden demnach um einen Faktor

$$G(N) = N^2 / \left(\frac{N}{2}^2 \log N\right) = 2N / ^2\log N$$

verbessert.

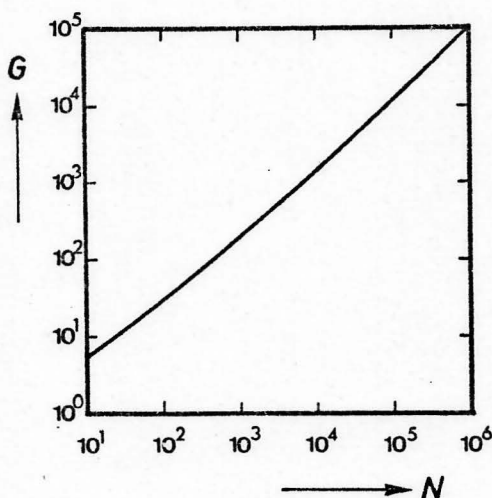


Fig. 1

$G(N)$ ist in Fig. 1 graphisch dargestellt. Der Gewinn wird bei grossen Datenmengen spektakulär, sodass viele Projekte überhaupt erst dank FFT verwirklicht werden können. Man darf dann nicht mehr von einem bloss quantitativen Fortschritt sprechen.

1.2. Eine klassische Darstellung

Im vorangehenden Abschnitt wurde zugunsten der Anschauung auf eine geschlossene Herleitung des FFT-Algorithmus verzichtet. Dies soll hier nachgeholt werden.

Auch bei der schnellen Fouriertransformation führen viele "Wege nach Rom". BERGLAND¹⁹ schreibt: "The number of variations of the FFT algorithm appears to be directly proportional to the number of people using it." - Ich gebe hier eine Herleitung von COOLEY²⁰.

¹⁹ Bergland, G.D. A guided tour of the fast Fourier transform. IEEE Spectrum, 1969, 6: 41 - 52. Dort wird auf zwanzig Arbeiten über FFT-Algorithmen hingewiesen.

²⁰ l.c., p.19 f.

Er beginnt mit der endlichen Fourierreihe

$$X(j) = \sum_{n=0}^{N-1} A(n) W_N^{nj} \quad (1)$$

wobei $N = 2^M$ und $W_N = \exp(2\pi i/N)$ sein soll.

Es ist gleichgültig, von welcher Transformationsrichtung man ausgeht. Es ist sogar Geschmackssache, wie man die Fourierreihe definiert. Auch hier ist die Literatur nicht einheitlich. Die Ansätze unterscheiden sich hinsichtlich des Normierungsfaktors und des Vorzeichens im Exponenten. Die Form (1) ist aber sehr übersichtlich.

Die Indices werden als Binärzahlen dargestellt.

$$j = j_{M-1} 2^{M-1} + \dots + j_1 \cdot 2 + j_0, \quad j_L = 0 \text{ oder } 1,$$

$$n = n_{M-1} 2^{M-1} + \dots + n_1 \cdot 2 + n_0, \quad n_L = 0 \text{ oder } 1.$$

$X(j)$ ist eine Funktion von M Argumenten j_{M-1}, \dots, j_1, j_0 . Ebenso ist $A(n) = A(n_{M-1}, \dots, n_1, n_0)$. Mit dieser Notation muss die Fourierreihe (1) folgendermassen geschrieben werden.

$$X(j_{M-1}, \dots, j_1, j_0) = \sum_{n_0=0}^1 \sum_{n_1=0}^1 \dots \sum_{n_{M-1}=0}^1 \left\{ A(n_{M-1}, \dots, n_1, n_0) \cdot W_N^{j(n_{M-1} 2^{M-1} + \dots + n_1 \cdot 2 + n_0)} \right\} \quad (2)$$

Mit $W_N^{2^M} = W_N^N = 1$ wird

$$W_N^{j \cdot 2^{M-L}} = W_N^{(j_{L-1} \cdot 2^{L-1} + \dots + j_1 \cdot 2 + j_0) \cdot 2^{M-L}}, \quad (3)$$

da Terme im Exponenten, die Multipla von $2^M = N$ sind, einfach fallengelassen werden können.

Jetzt werden die Summen (2) iterativ aufgebaut. Man summiert zunächst über n_{M-1} und schreibt unter Berücksichtigung von (3)

$$A_1(j_0, n_{M-2}, \dots, n_1, n_0) = \sum_{n_{M-1}=0}^1 A(n_{M-1}, \dots, n_1, n_0) W_N^{j_0 \cdot n_{M-1} \cdot 2^{M-1}} \quad (4)$$

Diese erste Iteration liefert ein Datenfeld A_1 , das von den Parametern $j_0, n_{M-2}, \dots, n_1, n_0$ abhängt, das also die Dimension N besitzt. Bei der folgenden Iteration über n_{M-2} werden die Koeffizienten A_1 verwendet.

$$A_2(j_0, j_1, n_{M-3}, \dots, n_1, n_0) = \sum_{n_{M-1}=0}^1 A_1(j_0, n_{M-2}, \dots, n_1, n_0) \cdot W_N^{(j_1 \cdot 2 + j_0) \cdot n_{M-2} \cdot 2^{M-2}} \quad (5)$$

Es entsteht ein Datenfeld A_2 derselben Dimension. Die L -te Iteration lautet

$$\boxed{A_L(j_0, \dots, j_{L-2}, j_{L-1}, n_{M-L}, \dots, n_0) = \sum_{n_{M-L}=0}^1 A_{L-1}(j_0, \dots, j_{L-2}, n_{M-L}, n_{M-L-1}, \dots, n_0) \cdot W_N^{(j_{L-1} \cdot 2^{L-1} + \dots + j_0) \cdot n_{M-L} \cdot 2^{M-L}} \quad (6)}$$

Zum Schluss entsteht ein Feld $A_M(j_0, \dots, j_{M-1})$, das in permutierter Form die Koeffizienten $X(j)$ enthält.

Es ist $X(j_{M-1}, \dots, j_0) = A_M(j_0, \dots, j_{M-1})$, also ein einfacher Zusammenhang. Die Koeffizienten A_M müssen "bit-reversed" herausgelesen werden.

Man beachte, dass die Parameter j_0, \dots, n_0 der Koeffizienten A_L deren Speicheradressen darstellen. Da ein bestimmter Koeffizient A_{L-1} bloss einmal gebraucht wird, darf er durch das Resultat A_L überschrieben werden. Durch die Indizierung ist dieser Vorgang festgelegt. Man spricht von "in place computation"; damit wird der Aufwand an Speicherplatz auf die Hälfte reduziert. Neben der Zeitersparnis ist das der wichtigste Vorteil der schnellen Fouriertransformation.

BERGLAND²¹ gibt eine Veranschaulichung des Algorithmus (6) für $N = 8$, was wegen der unübersichtlichen Indizierung nicht

²¹A guided tour, l.c., p.42 f.

ganz überflüssig ist.

Die Darstellung (6) der schnellen Fouriertransformation ist für Softwareprogrammierung recht interessant, da sie die Speicheradressierung eindeutig festlegt. Sie ist für die Entwicklung eines festverdrahteten Prozessors aber bedeutend weniger geeignet, als die im nächsten Abschnitt entwickelte Operator-Schreibweise.

1.3 Eine Matrix - Darstellung

Der Matrix-Formalismus wurde erstmals von PEASE²² auf den Cooley-Tuckey-Algorithmus angewandt. PEASE zeigt, dass drei Operatoren genügen, um den Prozess durchzuführen. Ein Operator **S** ersetzt äquidistante Paare von Datenpunkten durch ihre Summe und ihre Differenz²³. Der zweite Operator **M** multipliziert die "untere" Hälfte des Datenvektors mit den komplexen Gewichten. Der dritte Operator **P** leistet eine bestimmte Permutation und entmischt die Koeffizienten fortwährend. Die Operatoren sind NxN-Matrizen.

Wir folgen der Darstellung von CORINTHIOS²⁴, einer direkten Weiterentwicklung des Formalismus von PEASE für sequentielle Maschinen²⁵. Wiederum soll von der endlichen Fourierreihe ausgegangen werden.

$$X(j) = \sum_{n=0}^{N-1} A(n) W_N^{nj}, \quad j = 0, 1, \dots, N-1. \quad (1)$$

Die Konventionen bleiben unverändert. Es ist gleichgültig,

²² l.c.

²³ Ich habe die Operatoren durch DIN-Buchstaben dargestellt.

²⁴ l.c.

²⁵ Die Anwendung des Formalismus von PEASE auf Parallel-Prozessoren gibt der Autor selber in Pease, M.C. Organization of large scale Fourier processors. J. Ass. Comput. Mach., 1969, 16: 474 - 482.

ob man (1) als Hin- oder Rücktransformation auffasst.

Wir bezeichnen die Vektoren mit

$$\vec{x} \equiv \begin{bmatrix} X(0) \\ X(1) \\ X(2) \\ \vdots \\ \vdots \\ X(N-1) \end{bmatrix}, \quad \vec{a} \equiv \begin{bmatrix} A(0) \\ A(1) \\ A(2) \\ \vdots \\ \vdots \\ A(N-1) \end{bmatrix},$$

und definieren die Transformationsmatrix T_N durch ihre komplexen Elemente

$$(T_N)_{nj} = W_N^{nj} = \exp(2\pi i nj/N).$$

Beide Indices laufen von 0 bis N-1; es handelt sich also um eine quadratische Matrix der Dimension $N = 2^M$.

Weiter definieren wir eine Permutationsmatrix P_k durch

$$P_k \cdot \begin{bmatrix} X_0 \\ X_1 \\ \vdots \\ \vdots \\ X_{k/2-1} \\ X_{k/2} \\ \vdots \\ \vdots \\ X_{k-1} \end{bmatrix} \equiv \begin{bmatrix} X_0 \\ X_{k/2} \\ X_1 \\ X_{k/2+1} \\ \vdots \\ \vdots \\ \vdots \\ X_{k/2-1} \\ X_{k-1} \end{bmatrix}, \quad k \text{ sei gerade.}$$

Damit ist ein inverser Operator P_k^{-1} festgelegt mit der Eigenschaft, gerade und ungerade indizierte Elemente zu separieren.

$$P_k^{-1} \cdot \begin{bmatrix} X_0 \\ X_1 \\ X_2 \\ \vdots \\ \vdots \\ \vdots \\ \vdots \\ X_{k-1} \end{bmatrix} \equiv \begin{bmatrix} X_0 \\ X_2 \\ X_4 \\ \vdots \\ \vdots \\ X_{k-2} \\ X_1 \\ X_3 \\ X_5 \\ \vdots \\ \vdots \\ X_{k-1} \end{bmatrix}$$

Diese Zerlegung wird (M-1)mal wiederholt, dann ist

$$T_{N/2^{M-1}} = T_2 = \begin{bmatrix} 1 & 1 \\ 1 & -1 \end{bmatrix}.$$

Unter Verwendung des Kronecker-Produkts²⁶ kann die Zerlegung von T_N^I sehr elegant dargestellt werden.

Das Kronecker-Produkt für Matrizen ist wie folgt definiert. Es seien zwei quadratische Matrizen

$$A = \begin{bmatrix} a_{11} & a_{12} & \cdot & \cdot & a_{1n} \\ a_{21} & a_{22} & \cdot & \cdot & a_{2n} \\ \cdot & \cdot & \cdot & \cdot & \cdot \\ \cdot & \cdot & \cdot & \cdot & \cdot \\ a_{n1} & a_{n2} & \cdot & \cdot & a_{nn} \end{bmatrix}, \quad B = \begin{bmatrix} b_{11} & b_{12} & \cdot & \cdot & b_{1m} \\ b_{21} & b_{22} & \cdot & \cdot & b_{2m} \\ \cdot & \cdot & \cdot & \cdot & \cdot \\ \cdot & \cdot & \cdot & \cdot & \cdot \\ b_{m1} & b_{m2} & \cdot & \cdot & b_{mm} \end{bmatrix}$$

der Dimensionen n und m gegeben. Die Matrix $C = A \times B$ heisst Kronecker-Produkt von A und B, falls für ihre Elemente gilt

$$(C)_{ji, lk} = a_{ik} \cdot b_{jl}.$$

Das Paar (ij) spielt die Rolle des ersten, (lk) die Rolle des zweiten Index von C, wobei

$$\begin{aligned} i \text{ und } k &= 1, 2, \dots, n, \\ j \text{ und } l &= 1, 2, \dots, m. \end{aligned}$$

An einem Beispiel wird die einfache Bedeutung dieses Produktes sofort klar.

$$A = \begin{bmatrix} a_{11} & a_{12} \\ a_{21} & a_{22} \end{bmatrix}, \quad B = \begin{bmatrix} b_{11} & b_{12} \\ b_{21} & b_{22} \end{bmatrix},$$

$$C = \begin{bmatrix} a_{11} \cdot b_{11} & a_{12} \cdot b_{11} & a_{11} \cdot b_{12} & a_{12} \cdot b_{12} \\ a_{21} \cdot b_{11} & a_{22} \cdot b_{11} & a_{21} \cdot b_{12} & a_{22} \cdot b_{12} \\ a_{11} \cdot b_{21} & a_{12} \cdot b_{21} & a_{11} \cdot b_{22} & a_{12} \cdot b_{22} \\ a_{21} \cdot b_{21} & a_{22} \cdot b_{21} & a_{21} \cdot b_{22} & a_{22} \cdot b_{22} \end{bmatrix} = \begin{bmatrix} c_{11,11} & c_{11,12} & c_{11,21} & c_{11,22} \\ c_{12,11} & c_{12,12} & c_{12,21} & c_{12,22} \\ c_{21,11} & c_{21,12} & c_{21,21} & c_{21,22} \\ c_{22,11} & c_{22,12} & c_{22,21} & c_{22,22} \end{bmatrix}$$

Die Dimension von C ist demnach n.m.

²⁶Vgl. Pease, M.C. Methods of Matrix Algebra. Academic Press, New York, 1965, Ch. XIV.

Das Kronecker-Produkt von Matrizen erscheint in der Literatur auch unter dem Namen direktes Produkt.

Für $N = 8$ gibt das die bekannten drei Iterationen. Fortgesetzte Substitution mit Anfang bei (7) liefert die geschlossene Darstellung

$$T_N = P_{N/2} [\{ P_{N/2} [\{ \dots P_{N/k} [\{ \dots [\{ P_4 (T_2 \times I_2) D_4 (I_2 \times T_2) \} \times I_2] \dots \dots \} \times I_2] D_{N/k} (I_{N/2k} \times T_2) \dots \} \times I_2] D_{N/2} (I_{N/4} \times T_2) \} \times I_2] D_N (I_{N/2} \times T_2) . \quad (10)$$

In dieser Form ist das Ziel noch nicht ganz erreicht. Für Kronecker-Produkte gibt es keine einfache Hardware-Uebersetzung. Wenn es gelingt, die Kronecker-Produkte in gewöhnliche Matrix-Produkte umzuwandeln, sieht die Sache anders aus. Das ist in der Tat möglich.

Für eine beliebige Matrix $A_{k/2}$ gilt die Beziehung

$$P_k (A_{k/2} \times I_2) P_k^{-1} = I_2 \times A_{k/2} \quad (11)$$

beziehungsweise

$$P_k (A_{k/2} \times I_2) = (I_2 \times A_{k/2}) P_k . \quad (12)$$

Die Faktoren $P_{N/k}$ können damit in (10) nach rechts gezogen werden.

$$T_N = [I_2 \times \{ [I_2 \times \{ \dots [I_2 \times \{ \dots [I_2 \times \{ (I_2 \times T_2) P_4 D_4 (I_2 \times T_2) \}] \dots \dots \} \times I_2] D_{N/k} (I_{N/2k} \times T_2) \dots \} \times I_2] D_{N/2} (I_{N/4} \times T_2) \}] P_N D_N (I_{N/2} \times T_2) . \quad (13)$$

(M-2)-mal

Es ist allgemein²⁷

$$I \times (A B C \dots) = (I \times A) (I \times B) (I \times C) \dots$$

und

$$I_2 \times (I_2 \times (I_2 \times \dots (I_2 \times A) \dots)) = I_{2^k} \times A .$$

k-mal

²⁷ Vgl. Pease, l.c.

²⁸ Bei P_i' ist i ein Laufindex und nicht die Dimension. Dasselbe gilt für M_i' . Die Dimensionen dieser Matrizen sind N .

Damit folgt

$$\begin{aligned}
 T_N = & (I_{N/2} \times T_2) (I_{N/4} \times P_4) (I_{N/4} \times D_4) (I_{N/2} \times T_2) \dots \\
 & \dots (I_k \times P_{N/k}) (I_k \times D_{N/k}) (I_{N/2} \times T_2) \dots \\
 & \dots (I_2 \times P_{N/2}) (I_2 \times D_{N/2}) (I_{N/2} \times T_2) P_N D_N (I_{N/2} \times T_2) .
 \end{aligned} \tag{14}$$

Wir definieren die Matrizen

$$S \equiv I_{N/2} \times T_2 ,$$

$$P'_i \equiv I_{2^{i-1}} \times P_{N/2^{i-1}} \quad 28$$

und

$$M_i \equiv I_{2^{i-1}} \times D_{N/2^{i-1}} .$$

Man beachte, dass $P'_M = M'_M = I_N$ ist ($N = 2^M$) .

Für die Gleichung (14) können wir schlussendlich schreiben

$$T_N = S \cdot P'_{M-1} \cdot M_{M-1} \cdot S \cdot \dots \cdot P'_2 \cdot M_2 \cdot S \cdot P'_1 \cdot M_1 \cdot S \tag{15}$$

In abgekürzter Schreibweise ist das

$$\boxed{ T_N = \prod_{i=M}^1 (P'_i M_i S) } . \tag{16}$$

Wir haben damit eine Faktorisierung der Transformationsmatrix T_N gefunden, die äusserst einfach in eine sequentielle Hardware-Struktur übersetzt werden kann. Das ist im nächsten Abschnitt dargestellt. Der Permutationsoperator P'_i wird bei jeder Iteration verändert. Durch diese Anpassung erreicht man eine kontinuierliche Entmischung der Vektorpunkte. CORINTHIOS²⁹ gibt noch eine zweite Faktorisierung an, die mit einem festen Permutationsoperator auskommt. Dafür muss nach der Transformation separat entmischt werden. Wir wollen diese Möglichkeit aber nicht weiter verfolgen, da sie für uns weniger interessant ist.

2. DER FFT - PROZESSOR

2.1. Elektronische Nachbildung des Algorithmus

Die Ergebnisse von Abschnitt 1.3. können wie folgt zusammengefasst werden.

Von der diskreten Fourierreihe

$$X(j) = \sum_{n=0}^{N-1} W_N^{nj} \cdot A(n) , \quad j = 0, 1, \dots, N-1, \quad (1)$$

in Summenschreibweise ausgehend, findet man nach geeigneten Definitionen deren Matrixschreibweise

$$\vec{x} = T_N \cdot \vec{a} \quad (2)$$

Die Transformationsmatrix T_N kann - und das ist wesentlich - faktorisiert werden,

$$T_N = \prod_{i=M}^1 (P_i' M_i S) , \quad N = 2^M , \quad (3)$$

was eine iterative Durchführung der Transformation (2) ermöglicht. Die Iteration zerfällt in M Schritte, die ihrerseits aus drei Operatoren bestehen.

Der erste, der Summe/Differenz-Operator S , verändert sich nicht. Der zweite, der Multiplikations- oder Gewichtsoperator M_i , wird nach jedem Zyklus auf einfache Weise abgeändert. Dasselbe geschieht mit dem Permutationsoperator P_i' .

Ein Beispiel für $N = 8$ soll den Algorithmus veranschaulichen. Auf Grund der in 1.3. aufgestellten Definitionen finden wir

$$\begin{aligned} \vec{x} &= T_8 \cdot \vec{a} \\ &= S P_2' M_2 S P_1' M_1 S \cdot \vec{a} \end{aligned}$$

Über den punktierten Pfad> läuft der Datenvektor \vec{a} ins Eingangsregister. Gleichzeitig läuft der vorgängige Resultatvektor \vec{x} über> aus dem Ausgangsregister zur Weiterverarbeitung in den Laborcomputer. Wir wollen diesen ersten Betriebszustand mit Transferphase bezeichnen.

Als nächstes werden die gestrichelten Wege aktiviert. Die komplexen bytes am Ausgang und Mittelabgriff des Eingangsregisters werden zunächst dem Summen/Differenz-Operator S unterworfen. Parallel-Addierwerke sorgen für einen raschen Durchlauf. Der Normierungsfaktor $\frac{1}{2}$ würde ebenfalls hier appliziert. Der linke Ast läuft über ein Parallel-Multiplizierwerk, das die komplexe Gewichtung mit Einheitswurzeln bewerkstelligt. Beide Aeste münden im Ausgangsregister. Nach $N/2$ Takten stehen im Eingangsregister lauter Nullen, im Ausgangsregister der Vektor \vec{a}_1 der ersten Iterationsfolge.

Jetzt wird auf den ausgestrichenen Pfad geschaltet. Eine N -fache Clockpulsserie schiebt das Paket durch das Permutationsgatter P'_i , das von einer Kontrolllogik, wie ich sie in Fig. 3 vorschlage, beherrscht wird. Der Vektor läuft geordnet im Eingangsregister ein und steht für den nächsten Zyklus bereit.

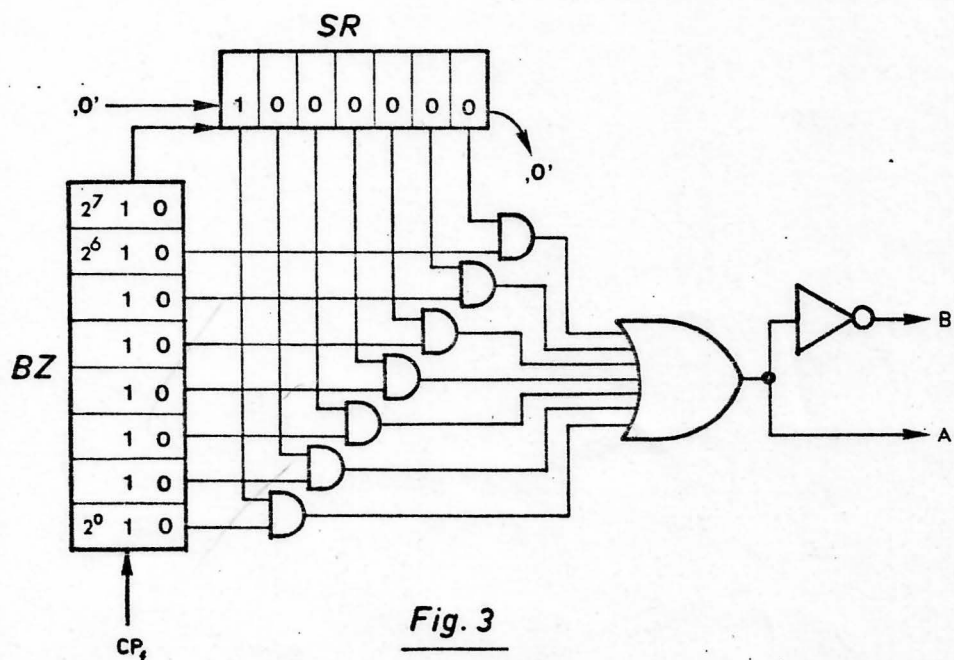


Fig. 3

Wir unterscheiden also drei Betriebszustände; die Transferphase, (.....▶), die Processphase (-----▶) und die Feedbackphase (————▶). Die drei Phasen haben möglicherweise ihre je eigenen Clocks, CP_t, CP_p, CP_f , die auf die Arbeitsgeschwindigkeit der aktivierten Bezirke abgestimmt sind.

Die Steuerlogik der Permutationsgatter (Fig. 3) wird demnach von CP_f dirigiert. Ein Binärzähler BZ untersetzt die einlaufenden N Pulse³⁰. Im Schieberegister SR indiziert die Stellung der Marke 1 die Zyklusnummer. Die Marke 1 springt, wenn eine Permutation abgeschlossen ist. Bei der ersten Permutation schalten die Tore A und B nach jedem Clock CP_f um; bei der zweiten nach jedem zweiten CP_f ; bei der dritten nach jedem vierten CP_f ; etc. Man versichere sich anhand des Beispiels für $N = 8$, dass die Permutationen so geleistet werden.

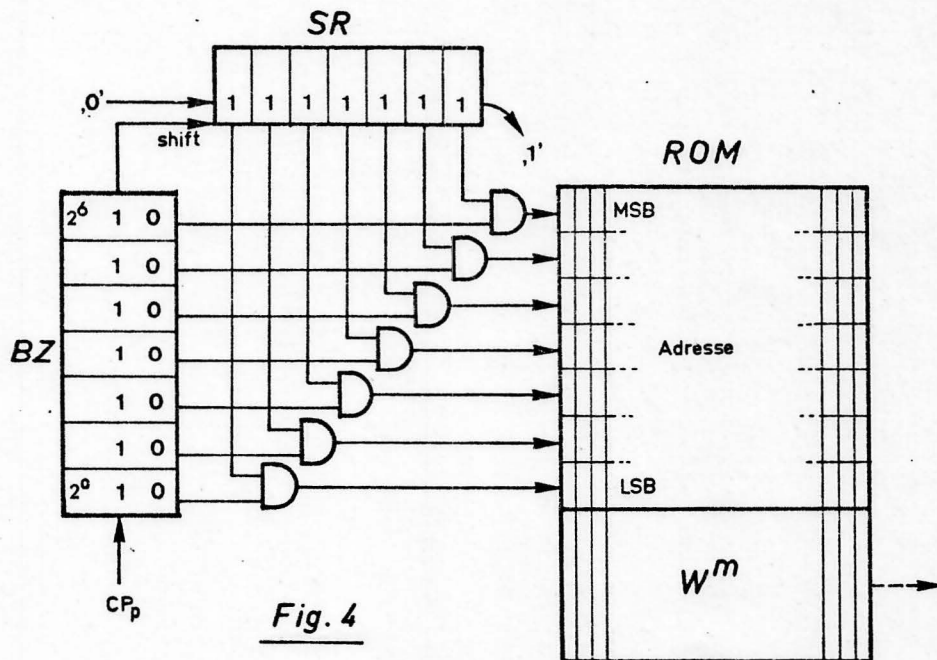


Fig. 4

³⁰Die Figuren entsprechen unserer Vergleichsgrundlage $N = 256$.

Die ROM-Adressierung entscheidet über die korrekte Gewichtung. Sie ist in Fig. 4 dargestellt. Das Prinzip wird unverändert übernommen, nur genügen hier $N/2$ Clocks zur Erzeugung eines Overflows aus dem Binärzähler BZ. Das Schieberegister SR ist anfangs mit einer Serie Einern gefüllt. Alle AND's sind dann geöffnet. Die Adresse entspricht der Position des Binärzählers.

Im zweiten Zyklus werden alle Gewichte mit geradem Exponenten erzeugt; im dritten Durchlauf stehen Gewichte mit Exponenten aus der 4-er Reihe an; etc.

Für M Processzyklen werden $M.N/2$ Processclocks der Frequenz f_p gebraucht. M Feedbackzyklen benötigen $M.N$ Feedbackclocks der Frequenz f_f . Es kommen überdies N Transferimpulse der Frequenz f_t hinzu.

Setzen wir $f_f = f_t = 5$ MHz und $f_p = 1$ MHz, dann wird die Transformationszeit in μsec

$$\begin{aligned} t(N) &= M.(N/2).(1/f_p) + (M+1).N.(1/f_f) \\ &= 8.128.1 + (8+1).256.0,2 = 1485 \mu\text{s} \end{aligned}$$

Eine Fouriertransformation von $N = 256$ komplexen Punkten braucht $1,5$ msec. Um besser vergleichen zu können, berechnet man in der Gleichung $t(N) = k \cdot N^2 \log N$ den Proportionalitätsfaktor k in μsec . Er beträgt mit obenstehenden Annahmen approximativ $0,7 \mu\text{sec}$. Ein Blick auf die Vergleichstabelle von BERGLAND³¹ zeigt, dass wir ausgezeichnet liegen! Unser Prozessor ist so schnell wie die besten (und teuersten) der dort vorgestellten Maschinen. Ein Blick auf den brandneuen HEWLETT-PACKARD 5470A Fast Fourier Processor, der als extrem schnelle Maschine angepriesen wird, ist geradezu aufreizend. Sein k beträgt $1,5 \mu\text{sec}$.

³¹ FFT implementations, l.c., p.114 f.

2.2. Verarbeitung reeller Zeitreihen

Der in Fig. 2 skizzierte FFT-Prozessor arbeitet aus Symmetriegründen durchwegs im komplexen Zahlenbereich. Er transformiert einen komplexen Vektor \vec{a} auf einen komplexen Vektor \vec{x} , oder umgekehrt. Andererseits ist jede physikalische Grösse zunächst reell; das gilt auch für elektrische Potentialschwankungen der Schädeldecke, die uns hier besonders interessieren. Darin besteht aber keineswegs ein Widerspruch, wie ich im folgenden zu zeigen versuche.

Zunächst ist festzuhalten, dass uns die komplexe Arbeitsweise des Prozessors hochwillkommen ist. Wir werden es in der statistischen Signalanalyse nur in Spezialfällen mit reellen Eingangsvektoren zu tun haben. Denn die Anwendung der diskreten Fouriertransformation erschöpft sich längst nicht in der Ueberführung reeller Zeitreihen in den Frequenzbereich. Die Fouriertransformation ist ein Gefährt zu beliebigen statistischen Höhenflügen und findet auch ausserhalb der Signalverarbeitung mannigfaltige Anwendung. In der Mehrzahl dieser Fälle ist die komplexe Arbeitsweise eine *Conditio sine qua non*. Aus diesem Grunde ist eine Spezialisierung der Maschine auf reellen Eingang, wie sie zum Beispiel BERGLAND³² vorschlägt, nicht empfehlenswert.

COOLEY³³ zeigt hingegen einen einfachen Zusatzalgorithmus, der unsere Maschine im Falle reeller Eingangswerte vor der Qualifikation Speicherverschwendung bewahrt. Das Eingangsregister wird nicht bloss mit einem reellen Datenvektor der Dimension N gefüllt, sondern mit deren zwei $X_1(j)$ und $X_2(j)$. $X_1(j)$ wird in die reellen, $X_2(j)$ in die imaginären byte-Positionen geschoben.

³²Bergland, G.D. A fast Fourier transform algorithm for real-valued series. Commun. ACM, 1968, 11: 703 - 710.

³³ l.c., p.27 ff.

$$\begin{aligned} \text{Es ist} \quad X_1(j) &\longleftrightarrow A_1(n) \\ X_2(j) &\longleftrightarrow A_2(n) \quad , \end{aligned}$$

und wir erhalten $X(j) \longleftrightarrow A(n)$, wobei

$$\begin{aligned} X(j) &= X_1(j) + iX_2(j) \\ \text{und} \quad A(n) &= A_1(n) + iA_2(n) \quad . \end{aligned} \quad (1)$$

Wir möchten aus dem Resultat $A(n)$ die Partialvektoren $A_1(n)$ und $A_2(n)$ zurückgewinnen, die als Fouriertransformierte der Eingangswerte $X_1(j)$ und $X_2(j)$ anzusehen sind.

Da $X_1(j)$ und $X_2(j)$ reell sind, erfüllen sie die Symmetrieeigenschaften

$$\begin{aligned} A_1(n) &= \tilde{A}_1(N-n) \\ A_2(n) &= \tilde{A}_2(N-n) \quad .^{34} \end{aligned} \quad (2)$$

Daraus folgt bereits, dass es genügt, $A_1(n)$ und $A_2(n)$ für $n = 0, 1, 2, \dots, \frac{N}{2}-1$ zu kennen. Wir ersetzen in (1) n durch $N-n$, nehmen von beiden Seiten das konjugiert Komplexe und erhalten mit der Eigenschaft (2)

$$\tilde{A}(N-n) = \tilde{A}_1(N-n) - i\tilde{A}_2(N-n) = A_1(n) - iA_2(n) \quad . \quad (3)$$

(1) und (3) kann man auflösen nach

$$\boxed{\begin{aligned} A_1(n) &= \frac{1}{2} [A(n) + \tilde{A}(N-n)] \\ A_2(n) &= \frac{1}{2i} [A(n) - \tilde{A}(N-n)] \end{aligned}} \quad (4)$$

$$(n = 0, 1, 2, \dots, \frac{N}{2} - 1) \quad .$$

(4) kann im Anschluss an die Fouriertransformation entweder im Laborcomputer berechnet werden, falls der Processor als Interface gebaut wird, oder, falls er eine selbständige Einheit darstellt, durch einen vierten Betriebszustand unter Verwendung

³⁴ \tilde{A} bedeutet das konjugiert Komplexe von A .

der Addierwerke **S**. Allerdings müsste, wie aus (4) hervorgeht, die Schieberichtung einer Registerhälfte gewechselt werden, was die Verwendung dynamischer Schieberegister ausschliesst. Die Hardwarefrage muss aber ohnehin noch genauer abgeklärt werden.

Der Prozessor transformiert also entweder N komplexe Punkte, oder aber zweimal N reelle Punkte in einem Iterationsverfahren. Es ist als Drittes aber auch möglich, eine reelle Punkteserie der Länge $2N$ zu verarbeiten. Als Resultat erscheint dann eine komplexe Folge der Länge N . Den nötigen Zusatzalgorithmus findet man bei COOLEY³⁵. Eine Maschine, die für $N = 256$ Punkte gebaut ist, könnte 512 Punkte verarbeiten. Diese Wahlmöglichkeiten sind allenfalls recht interessant und vorteilhaft.

2.3. Vergleich zur DFT - Alternative

Um den Kreis zu schliessen, der von diesen Blättern umspannt wird, möchte ich abschliessend den DFT- und den FFT-Prozessor einander gegenüberstellen.

Ein Blick auf die Blockschemata zeigt, dass für die beiden Maschinen etwa derselbe schaltungstechnische Aufwand getrieben werden muss; dies ist wohl das überraschendste Ergebnis. Auch der DFT-Prozessor könnte eingangsseitig komplex organisiert werden, worauf wir angesichts des erweiterten Anwendungsbereichs wohl kaum verzichten würden.

Der DFT-Prozessor leistet eine Konversion von 256 Punkten in 32 msec. Der FFT-Prozessor braucht dafür 1,5 msec, ist also gut zwanzigmal schneller. Entsprechend erweitert sich mit FFT die EEG-Kanalzahl um einen Faktor zwanzig.

³⁵ l.c., p.30 ff.

Mit FFT würde der Dimension elektrotopologischer Studien prozessorseitig keine Grenzen gesetzt. Oder die zeitliche Ueberlappung der Datenpakete könnte sehr weit getrieben werden, was möglicherweise interessant wäre. Oder drittens, der Prozessor stünde während der on-line Analyse für statistische Weiterverarbeitung höherer Ordnung zur Verfügung. Varianzspektra, Bispektra, Bicoherenz in Echtzeit³⁶, Kreuzspektra und Kohärenz zwischen sämtlichen Paaren einer quadratischen Elektrodenmatrix der Dimension 7 in Echtzeit, das sind Streiflichter auf ferne Horizonte, denen der FFT-Prozessor als Herz der Anlage gewachsen wäre. Mit DFT können solche Ziele nicht angestrebt werden. Man muss sich abermals vor Augen führen, dass die Neurophysiologie mit voller Kraft auf jene Horizonte u.a. zusteuert und eine leistungsfähige Elektronik braucht. Knapp zu kalkulieren, scheint mir hier ungünstig. Und diese Auffassung verstärkt sich, wenn noch andere Anwendungsgebiete erwogen werden. Das EEG ist noch nicht das schnellste Biosignal. Das Myogramm ist 100mal schneller und liegt seinerseits im unteren Audiobereich. On-line Klang-, Geräusch- und Sprachanalysen eröffnen ein ganz grosses Anwendungsgebiet für schnelle Fourierprozessoren, das seine Aktualität noch längst nicht eingebüsst hat, obwohl Orgelklänge schon in den Dreissigerjahren spektrometriert wurden. Pattern recognition, von Modellen des visuellen Systems über optische Leser bis zu morphologischen Vergleichen in Archäologie und Paläographie, begründet einen anderen Forschungskreis, in dessen Zentrum die zweidimensionale Fouriertransformation steht mit besonders hohem Datenanfall.

Die Reihe liesse sich verlängern. Es ist nicht meine Absicht, dies hier zu tun. Auch muss einer Entscheidung zwischen den Alternativen die Diskussion unter den Beteiligten vorangehen. Ich hoffe, dass sie auf der Grundlage meiner beiden Berichte fruchtbar geführt werden kann.

³⁶Vgl. Dumermuth, G., Huber, P.J., Kleiner, B. and Gasser, Th. Analyses of the interrelations between frequency bands of the EEG by means of the bispectrum. Electroenceph. clin. Neurophysiol., 1971, 31: 137 - 148.

3. Literaturverzeichnis

- Bendat, J.S. and Piersol, A.G. Measurement and analysis of random data. John Wiley, Inc., New York, 1966, 390 p.
- Bergland, G.D. A fast Fourier transform algorithm for real-valued series. Commun. ACM, 1968, 11: 703 - 710.
- Bergland, G.D. A guided tour of the fast Fourier transform. IEEE Spectrum, 1969, 6: 41 - 52.
- Bergland, G.D. Fast Fourier transform hardware implementations. I. An overview. II. A survey. IEEE Trans. Audio Electroacoust., 1969, AU-17: 104 - 119.
- Bertram, S. On the derivation of the fast Fourier transform. IEEE Trans. Audio Electroacoust., 1970, AU-18: 55 - 58.
- Cooley, J.W., Lewis, P.A.M. and Welch, P.D. The fast Fourier transform algorithm and its applications. IBM Res. Paper RC-1743, Febr. 1967, 157 p.
- Corinthios, M.J. A time-series analyzer. Proc. Symp. Comput. Processing in Commun., 1969, 19: 47 - 61. MRI Symposia Ser. New York: Polytechnic Press.
- Dumermuth, G., Huber, P.J., Kleiner, B. and Gasser, Th. Analyses of the interrelations between frequency bands of the EEG by means of the bispectrum. Electroenceph. clin. Neurophysiol., 1971, 31: 137 - 148.
- G-AE Subcommittee on Measurement Concepts. What is the fast Fourier transform? IEEE Trans. Audio Electroacoust., 1967, AU-15: 45 - 55; also Proc. IEEE, 1967, 55: 1664 - 1674.
- Gold, B. and Rader, C.M. Digital processing of signals, McGraw-Hill, Inc., New York, 1969, Chapter 6.
- Hanley, J. Practice and problems of biological signal processing. Proc. 2nd Symp. on nonlinear Estimation Theory San Diego, 1971, 2: 403 - 413.
- Klahn, R., Shively, R.R., Gomez, E. and Gilmartin, M.J. The time-saver: FFT hardware. Electronics, June, 1968, p. 92 - 97.
- Pease, M.C. Methods of Matrix Algebra. Academic Press, New York, 1965, Ch. XIV.
- Pease, M.C. An adaptation of the fast Fourier transform for parallel processing, J. Ass. Comput. Mach., 1968, 15: 252 - 264.

Pease, M.C. Organization of large scale Fourier processors.
J. Ass. Comput. Mach., 1969, 16: 474 - 482.

Shively, R.R. A digital processor to generate spectra in real
time. IEEE Trans. Comput., 1968, C-17: 485 - 491.

ANHANG B: EIN DFT-PROZESSOR

Ein DFT-Prozessor
zur mehrkanaligen EEG-Spektralanalyse
in Echtzeit
ohne Benützung des FFT-Algorithmus.

Inhaltsübersicht

0. Einleitung
1. Das EEG-Signal
2. Der Prozessor

0. Einleitung

Die Wiederentdeckung der schnellen Fouriertransformation (FFT) durch Cooley und Tuckey im Jahre 1965¹ hat eine Flut von Publikationen ausgelöst, die sich mit den Modifikationen und Anwendungen dieses Algorithmus befassen. Im Februar 1969 wurden bereits 100 Arbeiten gezählt². Diese Zahl wird sich inzwischen vervielfacht haben. FFT ist zu einem Schlagwort mit geradezu numinosem Akzent geworden. In dieser Tatsache spiegelt sich ein Zeitgeist, der irgendwo "the Age of Electronic Analysis and Synthesis" genannt wurde.

Parallel dazu führte der Hardware-seitige Fortschritt zu quantitativen Verbesserungen um Größenordnungen. Die MSI- und LSI-Technologie ermöglichte die RAM- und ROM-Speicher in der heute vorliegenden multizellulären Form. Noch vor wenigen Jahren undenkbare MOS-Schieberegister mit über tausend Bits und Clockfrequenzen von mehreren Megahertz werden zu spektakulären Preisen angeboten. In den Lagern der Halbleiterproduzenten liegt ein Schatz potentieller Anwendungsmöglichkeiten verborgen, an dem bislang nur geritzt wurde.

Auf die Fragestellungen, welche die Neurophysiologie oder im allgemeinen die Physiologie in diesem Zusammenhang aufgeben, wird seitens der Technik noch immer zuwenig geachtet, oder die Konvergenz wird von allerlei Sprachschranken gestoppt. Die Trächtigkeit dieses Bodens kann aber nicht genügend hoch veranschlagt werden, wie überhaupt die Bedeutung der Wissenschaften im Umkreis der Hirnforschung. Man muss sich

¹Cooley, J.W. and Tuckey, J.W. An algorithm for the machine calculation of complex Fourier series. Math. Computation, 1965, 19: 297 - 301.

²Singleton, R.C. A short bibliography on the fast Fourier transform. IEEE Trans. Audio and Electroacoustics, 1969, 17: 166 - 169.

vergegenwärtigen, dass man in jüngster Zeit beginnt, sich dem uralten Rätsel der Hirnvorgänge mit empirisch-quantitativen Methoden zu nähern. Schon vor 100 Jahren versuchten Helmholtz und seine Schüler von diesem Ansatz auszugehen, allerdings war die Zeit noch nicht reif und der Erfolg entsprechend gering. Inzwischen haben Naturwissenschaft und Technik eine völlig neue Situation geschaffen. So wie die Physik um die Jahrhundertwende dem Problem der Materie, so steht heute die Phalanx sämtlicher Disziplinen der Sphinx des Geistes gegenüber. Auch Techniker sind aufgerufen mitzutun und ihre Methoden bereitzuhalten. -

Ein festverdrahteter Prozessor zur diskreten Fouriertransformation (DFT) bildet das Kernstück eines Systems für simultane Vielkanal-EEG-Spektralanalyse in Echtzeit³. Da in der Literatur der letzten Jahre die gewöhnliche diskrete Fouriertransformation fast nie zur Sprache kommt, konzentrierte ich mich zunächst auf die Möglichkeit, den Prozessor im Sinne von FFT zu organisieren. Gegen Ende der letzten Semesterferien habe ich hierzu zwei Pläne aufgestellt. Die Wiederaufnahme des Fadens in den laufenden Semesterferien führte auf eine Publikation, die ohne Benützung des FFT-Algorithmus einen Echtzeit-Analysator für Sprachsignale beschreibt⁴. Der vorliegende Bericht gilt der Frage, ob die gewöhnliche DFT-Struktur unter Verwendung von MOS-Schieberegistern und MOS-Festwertspeichern als Zentraleinheit des EEG-Analysators dienen könnte. Die nächste Arbeit wird einen Vergleich zu der entsprechenden FFT-Variante beinhalten. Späteres soll sich auf die Ein- und Ausgabeprobleme, die A/D-Wandlung, den Multiplexbetrieb und die Organisation des EEG-Analysators

³Die Anregung zu diesem Projekt stammt von Dr. G. Dumermuth, Privatdozent für Kinderheilkunde und Elektroencephalographie an der Universitäts-Kinderklinik Zürich.

⁴Bially, T. Audio frequency spectrum analysis using MOS memory elements. IEEE Trans. Audio and Electroacoustics, 1970, 18: 201 - 203.

Herr M. Maurer, Assistent am Institut für Technische Physik ETH, hat mich auf diese Arbeit und Möglichkeit hingewiesen.

als Ganzes⁵ beziehen.

1. Das EEG - Signal

Es kann sich nicht darum handeln, in diesem Abschnitt auf die statistischen Eigenschaften oder gar auf die biologische Bedeutung des Elektroencephalogramms einzugehen. Ich möchte lediglich zusammenfassen, welche Kenngrößen sich auf die Organisation des Prozessors auswirken und in welcher Art sie das tun. Die Angaben stützen sich auf ein mit Dr. Dumer-muth ausgearbeitetes Pflichtenblatt, verschiedene schriftliche Quellen und eigene Ueberlegungen und sind als vorläufige Richtlinien gedacht.

Die in der EEG-Kurve aufgezeichnete Potentialschwankung an der Schädeloberfläche kann als Zufallsvariable aufgefasst werden. Bei nicht zu langen Datenstücken⁶ und bestimmten physiologischen Bedingungen ist das Signal stationär. Es besteht aus zahlreichen unkorrelierten Frequenzkomponenten, deren Teilvarianzen sich zur Gesamtintensität linear superponieren. Die Darstellung dieser Teilvarianzen als Funktion der Frequenz ergibt das Varianzspektrum. Bisher war das Interesse der Fachwelt fast ausschliesslich auf die Frequenzgebiete zwischen 0 und 30 Hz gerichtet. Die berühmten α -, β -, θ - und δ -Rhythmen finden sich alle in diesem Intervall. Auch phasische Abläufe sind kaum schneller. Die Untersuchung höherer Frequenzgebiete ist zudem erschwert durch die Aktivität der Kopfmuskulatur. Das Myogramm hat ein besonders breites Spektralfenster, das sich von ca. 20 bis über 1000 Hz erstreckt.

⁵ Inklusive Fragen wie Anti-aliasing-Filter, "leakage" und "picked-fence"-Effekt und deren Bewältigung durch geeignete Fenster ("windowing").

⁶ einige Sekunden

⁷ Im Hinblick auf FFT wählt man diese Zahlen am besten aus der Reihe 2^m .

Berufen wir uns auf das klassische Frequenzfenster zwischen 0 und 30 Hz und rechnen mit einem Anti-aliasing-Filter, das oberhalb etwa 40 Hz scharf abschneidet, dann scheint eine Samplingfrequenz $f_s = 128$ Hz vernünftig zu sein⁷.

Die Nyquistfrequenz liegt also bei $f_N = 64$ Hz. Eine abgetastete frequenzbandbegrenzte Zeitfunktion $f(nT)$ wird durch DFT in eine komplexe Frequenzfunktion $F(k\Omega)$ umgewandelt⁸.

Ist $f(nT)$ reell und schreibt man $\text{Re}\{F(k\Omega)\} = R(k\Omega)$, $-\text{Im}\{F(k\Omega)\} = I(k\Omega)$, so ist $R(k\Omega)$ eine gerade, $I(k\Omega)$ eine ungerade Funktion mit Bezug auf die Nyquistfrequenz.

Um das Spektrum zu erhalten, benützen wir die Spektrallinien unterhalb f_N . Die Spektrallinien oberhalb von f_N bringen keine neuen Informationen und können weggelassen werden. In dieser Weise werden N Tastwerte $f(nT)$ in $N/2$ Cosinus-Koeffizienten $R(k\Omega)$ und $N/2$ Sinus-Koeffizienten $I(k\Omega)$ transformiert.

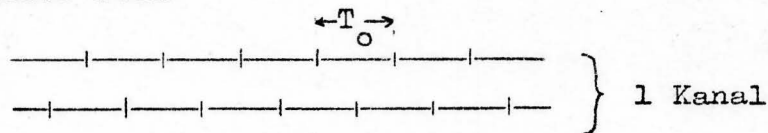
Aus Gründen der Stationarität ist es vernünftig, eine Tastperiode $T_0 = (N-1)T = 2$ sec anzusetzen. Die Frequenzauflösung ist $1/T_0 = 0,5$ Hz. Ein solches Paket umfasst also $N = 256$ Punkte. Diese Zahl bestimmt die Länge der Schieberegister und der Speicher. Es können so beliebig viele Tastperioden zwecks Mittelung akkumuliert werden. Auch an eine Schachtelung der Tastfenster lässt sich denken. Die Frequenzauflösung bleibt bei all diesen Manipulationen erhalten.

Wie ich unten zeigen werde, verarbeitet der vorliegende DFT-Prozessor 256 Punkte in 32 msec. Pro Sekunde braucht er also 16 msec für einen Kanal. Also können 62 Kanäle simultan verarbeitet werden! Auch bei einer Schachtelung in

⁸Näheres im Buch:

Gold, B. and Rader, C.M. Digital Processing of Signals. McGraw-Hill, Inc., New York, 1969, 269p.

folgender Form



verbleibt eine Verarbeitungskapazität von 31 Kanälen. Das gibt immer noch eine anständige Matrix für topologische Korrelationsanalysen.

Jeder EEG-Fachmann weiss, dass es mit dem Auflösungsvermögen seines Polygraphen nicht sehr gut steht. Er braucht schon eine besonders geschickte Assistentin, um in die Gegend des Tintenstrichs hinunterzukommen, dessen Dicke bei ca. 0,4 % des gesamten Exkursionsbereiches liegt. Dieselbe Auflösung erreicht man mit einer 8-bit-Dualzahl. Zusammen mit dem Vorzeichenbit erweist sich eine 8-bit-Dualzahl⁹ als passende Darstellung von EEG-Tastwerten. Genauer zu sein ergibt keinen Sinn und verteuert den Prozessor sofort. Die anschließende Beschreibung stützt sich auf diese Zahldarstellung.

2. Der Prozessor

Die diskrete Fouriertransformation von N Stützstellen ist mit $\Omega = \frac{2\pi}{NT}$ gegeben durch

$$\begin{aligned} F(k\Omega) &= \sum_{n=0}^{N-1} f(nT) e^{-j\Omega Tnk} \\ &= \sum_{n=0}^{N-1} f(nT) \cos \frac{2\pi nk}{N} - i \sum_{n=0}^{N-1} f(nT) \sin \frac{2\pi nk}{N} \\ &= R(k\Omega) - I(k\Omega), \end{aligned}$$

Bially¹⁰ gibt in seiner Arbeit drei verschiedene Strukturen

⁹Definition: 8 bit = 1 byte

¹⁰l.c., p.202 und 203. Diese Strukturen sind bei ihm dargestellt in den Figuren 1, 2 und 5.

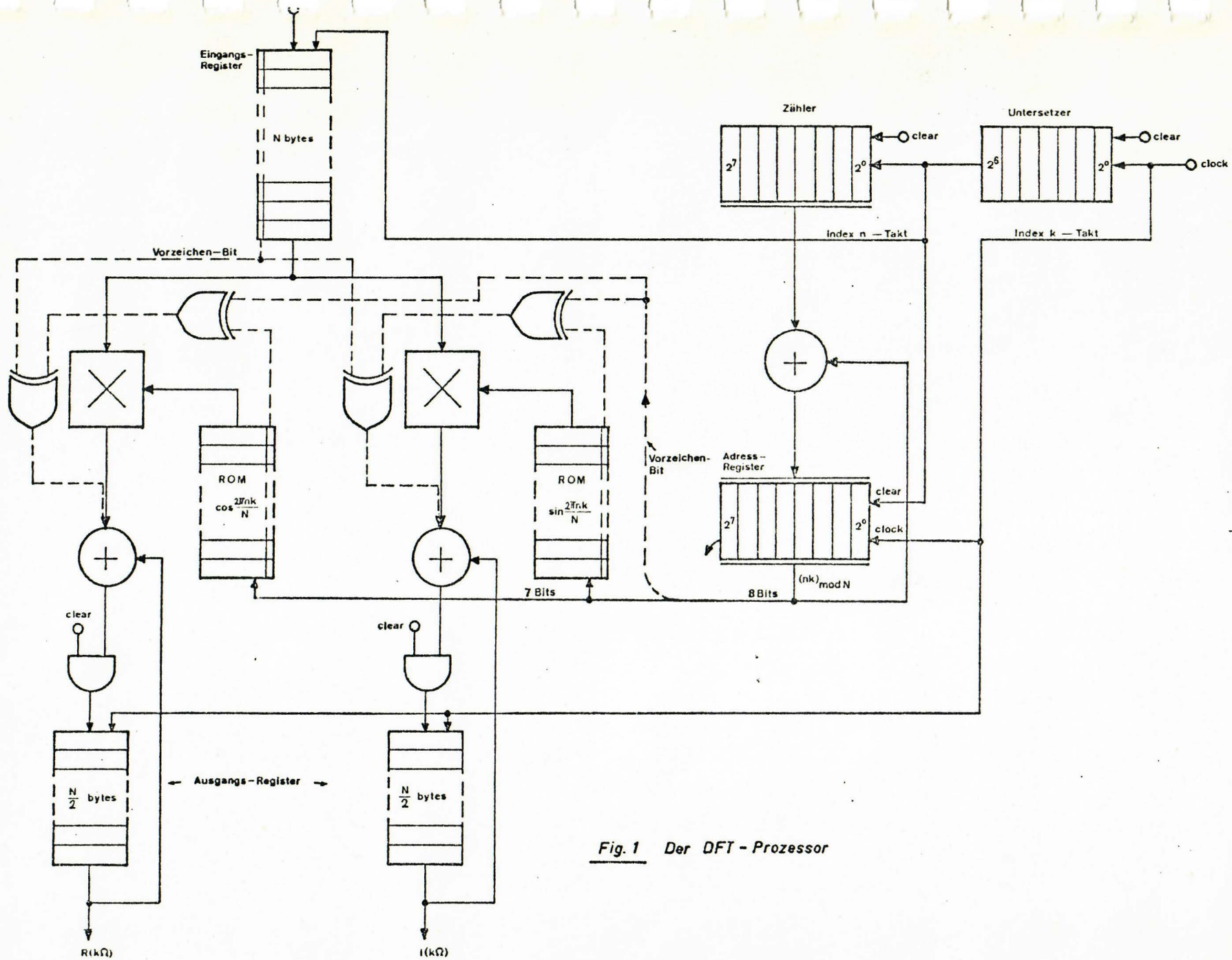


Fig. 1 Der DFT - Prozessor

an, welche diese Transformation durchführen können. Sie werden zunehmend schneller aber auch zunehmend komplizierter. Mir scheint die Anordnung, welche bei Bially in Fig. 2 angedeutet ist, für unsere Zwecke die richtige zu sein. Sie besticht durch eine schöne Symmetrie und einen einfachen Signalfluss, und sie hat den Vorteil, genau zu sein. In der schnellsten Version wird nämlich eine ROM-Organisation verwendet, welche aus Symmetriegründen nicht die exakten Sinus- und Cosinuswerte enthält. Der Fehler, der dadurch entstehen würde, könnte sich bei $N = 256$ unangenehm auswirken. Zudem benötigt diese Variante ein sehr kompliziertes, undurchsichtiges Selektionsnetzwerk, wodurch der Vorteil grösserer Schnelligkeit teilweise zunichte gemacht würde.

Ich habe die für unsere Zwecke passende Struktur in Fig. 1 aufgezeichnet. Sie wird von zwei Taktfolgen durchpulst, welche dem Fortschreiten der Indices k und n entsprechen. Der Index k wird durch den 1 MHz-Clock repräsentiert. Im ersten Durchlauf des Untersetzers, also nach 128 k -Takten, ist das linke Ausgangsregister $R(k, \Omega)$ gefüllt mit den Werten

$$\begin{aligned} & f(0.T) \cdot \cos\left(\frac{2\pi}{N} \cdot 0.127\right) \\ & \quad \cdot \\ & \quad \cdot \\ & \quad \cdot \\ & f(0.T) \cdot \cos\left(\frac{2\pi}{N} \cdot 0.2\right) \\ & f(0.T) \cdot \cos\left(\frac{2\pi}{N} \cdot 0.1\right) \\ & f(0.T) \cdot \cos\left(\frac{2\pi}{N} \cdot 0.0\right), \end{aligned}$$

also mit lauter Werten $f(0)$.

Beim 128sten Puls springt der Zähler von 0000000 auf 0000001, und das Adress-Register beginnt in Einerschritten zu wandern. Am Eingangsregister steht jetzt der nächste Stützwert $f(1)$ an. Nach einer weiteren Untersetzperiode enthält das linke Ausgangsregister folgendes:

$$\begin{aligned} & f(0) + f(1 \cdot T) \cdot \cos\left(\frac{2\pi}{N} \cdot 1 \cdot 127\right) \\ & \vdots \\ & f(0) + f(1 \cdot T) \cdot \cos\left(\frac{2\pi}{N} \cdot 1 \cdot 2\right) \\ & f(0) + f(1 \cdot T) \cdot \cos\left(\frac{2\pi}{N} \cdot 1 \cdot 1\right) \\ & f(0) + f(1 \cdot T) \cdot \cos\left(\frac{2\pi}{N} \cdot 1 \cdot 0\right) \end{aligned}$$

Wie das weitergeht liegt auf der Hand. Der Stand des Zählers bestimmt die Schrittweite des Adressregisters, das nach jeder Untersetzperiode gelöscht wird. Am Schluss, das heisst nach $128 \cdot 256 = 32768$ Clock-Impulsen¹¹ ist die Berechnung der Fourierkoeffizienten fertig. Im linken Ausgangsregister steht

$$\begin{aligned} \sum_{h=0}^{N-1} f(hT) \cdot \cos\left(\frac{2\pi}{N} h \cdot 127\right) &= R((N-1)T) \\ & \vdots \\ \sum_{h=0}^{N-1} f(hT) \cdot \cos\left(\frac{2\pi}{N} h \cdot 2\right) &= R(2 \cdot T) \\ \sum_{h=0}^{N-1} f(hT) \cdot \cos\left(\frac{2\pi}{N} h \cdot 1\right) &= R(1 \cdot T) \\ \sum_{h=0}^{N-1} f(hT) \cdot \cos\left(\frac{2\pi}{N} h \cdot 0\right) &= R(0 \cdot T) \end{aligned}$$

Im rechten Ausgangsregister steht das Entsprechende mit Sinusfunktionen. Das Vorzeichen dieser Serie kann falls nötig während des Auslesens gekehrt werden. Die DFT-Rücktransformation unterscheidet sich an diesem Punkt von der Hintransformation.

¹¹ Bei einer Clock-Frequenz $f_c = 1$ MHz ergeben sich so die oben erwähnten 32 msec für die Verarbeitung eines Datenpakets.

In den ROM-Speichern stehen nur $N/2$ Werte. Das entspricht der halben Periode der Winkelfunktionen. Die Adressierung erfordert demnach 7 bits. Das achte bit wird als Vorzeichen-bit betrachtet und mit den Vorzeichen der ROM-Koeffizienten und der Tastwerte $f(nT)$ entsprechend verknüpft. Die Multiplikation wird - wie ersichtlich - mit den Absolutwerten durchgeführt. Die bytes stehen überall parallel an. Auch die Multiplizierwerke können rein kombinatorisch ausgelegt werden¹². Man darf für ein Multiplizierwerk mit ungefähr $m \cdot n = 7 \cdot 7 = 49$ AND-Gates und ebensovielen Volladdierern rechnen. Dieser Aufwand ist durchaus zu vertreten. Rechenzeit und logischer Ablauf der Multiplikation werden so sehr problemlos. Das Vorzeichen wird erst bei den Addierwerken hinzugenommen.

Die Einbettung dieses Prozessors in die Gesamtstruktur des EEG-Analysators werde ich erst nach dem Vergleich mit der FFT-Alternative beschreiben. Man sieht aber schon jetzt, dass dabei keine unüberwindlichen Schwierigkeiten auftauchen werden. Auch die Kostenfrage werde ich später genau untersuchen. Die Halbleiterpreise für die in Fig. 1 angegebene Schaltung dürften gegenwärtig in der Gegend von Fr. 1000 liegen.

¹²Vergleiche Shah, A. Binäre Arithmetik, (Kap. IX aus dem Buch über digitale Schaltungstechnik, zur Zeit im Druck.)

ANHANG C: "CARRY-SAVE" MULTIPLIZIERWERKE

Bericht zur Realisierung
eines Serie-Parallel-Multiplizierwerkes
als Vorbereitung der Synthese
eines schnellen Fouriertransformators.

Inhaltsübersicht

1. Einleitung
2. Varianten von "carry-save" Multiplizierwerken
3. Konstruktion eines (16,16)-bit Parallel-Serie-Multiplizierwerks

1. Einleitung

Digitale Multiplizierwerke können in drei strukturell verschiedene Klassen eingeteilt werden:

- serielle Multiplizierwerke
- Parallel-Serie-Multiplizierwerke
- parallele Multiplizierwerke.

Sie unterscheiden sich in zwei wichtigen Kriterien, der Rechenzeit und der Anzahl benötigter Grundelemente (GE). Diese beiden Kriterien verhalten sich zueinander reziprok.

Wir vergleichen im folgenden drei typische Vertreter obiger Klassen bezüglich Rechenzeit und Materialaufwand. Dabei seien zwei 16-Bit Operanden ($m = n = 16$) vorausgesetzt.

Das serielle Multiplizierwerk¹ ist im Aufbau einfach, benötigt aber eine grosse Rechenzeit. Die Anzahl Grundelemente ist²

$n + 3$ Flip-Flop (FF)
1 Volladdierer (VA)
1 AND-Gate (AND).

Mit $n = 16$ also 21 GE.

Die Rechenzeit beträgt

$$t_{\text{tot}} = (m + n)(n + 1)(t_s + t_{\text{FF}} + t_{\text{pdAND}}).$$

Typische Zeiten sind $t_c = t_s = t_{\text{FF}} = 40\text{ns}$, $t_{\text{pdAND}} = 20\text{ns}$.

Damit wird $t_{\text{tot}} = 54,4 \mu\text{s}$.

¹Vergleiche A. SHAH: Binäre Arithmetik.

²Eingangs- und Ausgangsregister nicht gezählt.

Das Parallel-Serie-Multiplizierwerk wird unten genauer besprochen. Zum Vergleich können die Zahlen

$$61 \text{ GE, } t_{\text{tot}} = (n + m)(t_{\text{FF}} + t_{\text{s}}) = 2,5 \text{ } \mu\text{s}$$

herangezogen werden.

Parallel-Multiplizierwerke erfordern einen sehr grossen Materialaufwand. Dafür bieten sie die Vorteile einer nichtsequentiellen Logik³. Es handelt sich um rein kombinatorische Schaltungen, aus VA und Gattern bestehend. Die zweidimensional periodische Struktur begünstigt die Herstellung in LSI-Technik, sodass der Nachteil eines grossen Materialaufwands weniger ins Gewicht fällt. Für (16,16) Bit werden rund 500 GE benötigt. Die Rechenzeit ist etwa

$$t_{\text{tot}} = (n - 1)t_{\text{c}} + (n - 1)t_{\text{s}} = 1,2 \text{ } \mu\text{s}.$$

Noch schneller rechnen sog. Baumstrukturen, bei allerdings exzessivem Materialaufwand.

Diese Uebersicht zeigt die relativ günstige Platzierung der Serie-Parallel-Multiplizierwerke in dem recht breiten Spektrum möglicher Realisierungen.

³Keine Uhrimpulse, keine Steuerlogik, keine FF.

2. Varianten von "carry-save" Multiplizierwerken

Es werden vier Varianten diskutiert, denen wir die Nummern 1, 1', 2, 2' gegeben haben.

Der "carry-save" Akkumulator bietet im Vergleich zum gewöhnlichen Akkumulator eine Zeitersparnis um etwa einen Faktor 8, bei nur geringem Mehraufwand. Die vier Varianten sind daher alle "carry-saving".

1) Paralleler Ausgang, einfache VA. Nach Einlesen des Multiplikators werden durch einen Steuerimpuls Z die anstehenden Ueberträge im "ripple-carry" Modus addiert. Die Schaltung geht aus Fig. 1 hervor.

Material⁴:

$$\left. \begin{array}{l} \text{Tore:} \quad n + (2n - 2) = 44 \\ \text{FF:} \quad (n - 1) \cdot 2 + m = 46 \\ \text{VA:} \quad n - 1 = 15 \end{array} \right\} 105 \text{ GE}$$

Rechenzeit⁵:

$$t_{\text{FF}} = t_s = t_c = 20 \text{ ns}, \quad t_{\text{pdGate}} = 10 \text{ ns.}$$

$$t_{\text{tot}} = m(t_{\text{FF}} + t_s + 2t_{\text{pd}}) + (n - 2)(t_c + 2t_{\text{pd}}) + t_s = 1,54 \text{ } \mu\text{s}$$

1') Einfache VA, serieller Ausgang, d.h. die Verrechnung der Schlussüberträge erfolgt sequentiell, es werden also $m + n$ Uhrimpulse benötigt. Der serielle Ausgang wird auf ein 32-Bit Register gegeben. Besonders schön an dieser Variante ist die Homogenität des Operationsablaufs.

⁴ Im folgenden ohne Eingangsregister und Steuerlogik, hingegen mit Ausgangsregister.

⁵ Maximalzeit unter Verwendung der schnellen TTL-Serie 74HN von Texas Instruments.

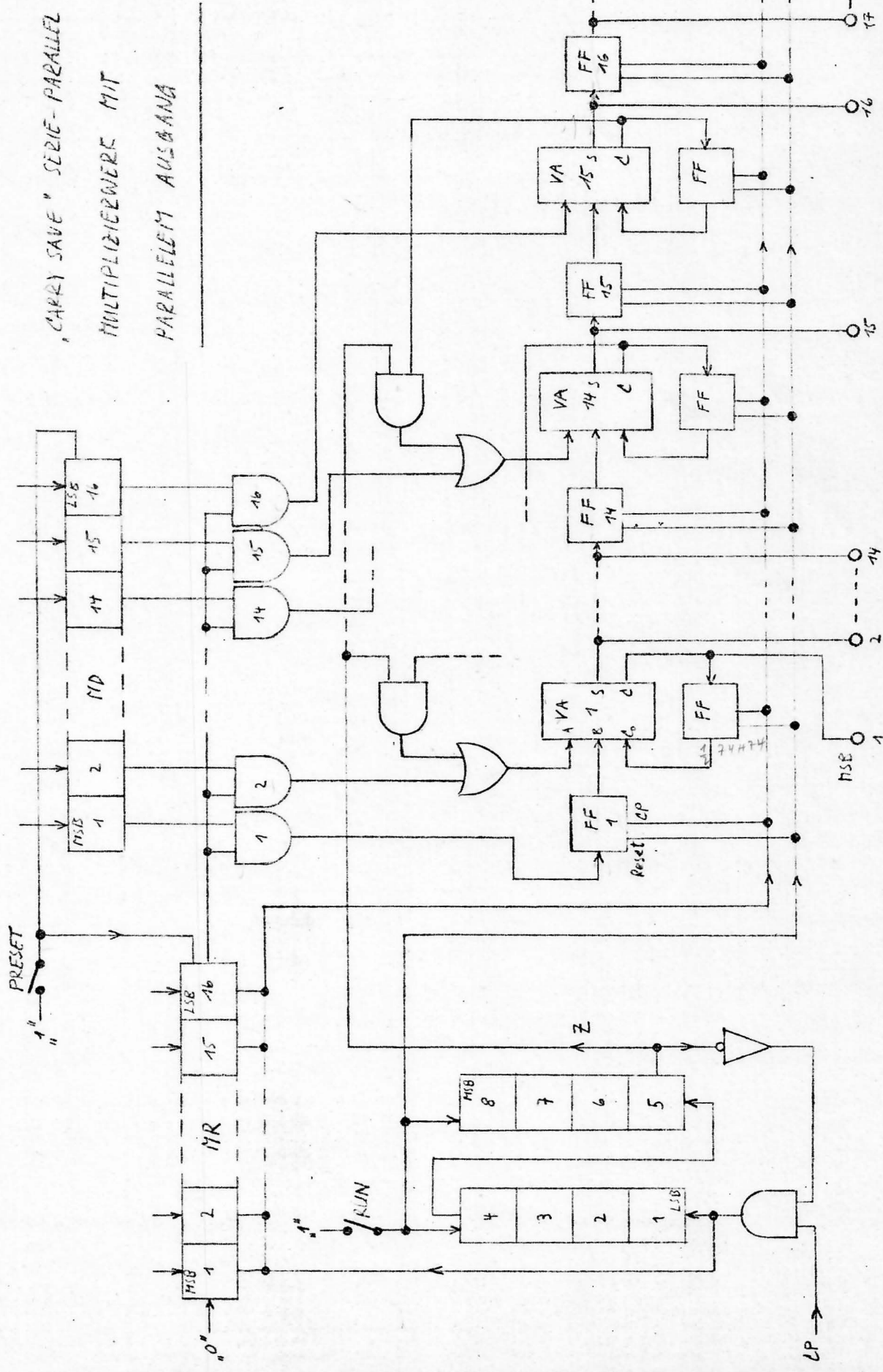


Fig. 1

10.8.72 EF

Material:

Tore: $n = 16$
FF: $(n-1) \cdot 2 + m + n = 62$
VA: $n - 1 = 15$

} 93 GE

Zeit:

$$t_{\text{tot}} = (n + m)(t_{\text{FF}} + t_{\text{s}} + t_{\text{pd}}) = 1,60 \text{ } \mu\text{s}$$

2) Wie in Fig. 2 gezeigt, ist das Merkmal dieser und der folgenden Variante die Verwendung von (5,3)-Parallelzählern, beispielsweise SN 7483-N von Texas Instruments. Auffallend ist die Kette zweier FF in der "carry-save" Schleife des Uebertrags. Dieser Uebertrag besitzt jetzt das Gewicht 100_2 , muss daher um zwei Clockperioden verzögert berücksichtigt werden, wogegen der Ausgang Σ_2 das Gewicht 10_2 besitzt, und wie der Uebertrag unter 1) behandelt wird.

Material:

Tore: $n = 16$
FF: $6 \cdot n/2 - 2 + 32 = 78$
(5,3)-VA: $n/2 = 8$

} 102 GE

Zeit:

$$t_{\text{FF}} = 20 \text{ ns}, t_{\text{pd}} = 10 \text{ ns}, t_{\text{s}} = t_{\text{c}} = 40 \text{ ns}$$

$$t_{\text{tot}} = (m + n)(t_{\text{s}} + t_{\text{FF}} + t_{\text{pd}}) = 2,24 \text{ } \mu\text{s}$$

2') Diese letzte Variante unterscheidet sich von 2) durch einen parallelen Ausgang. Die Berücksichtigung der Ueberträge nach Verarbeitung des Multiplikators kann hier allerdings nicht mehr rein kombinatorisch erfolgen, da die Ausgänge P (siehe Fig. 2) nicht direkt vom VA gespiesen werden.

"CARRY SAVE" SERIE-PARALLEL
MULTIPLIZIERWERK MIT
2 BIT FULL-ADDER UND
SPEZIELLEN ANFANGS-
PARALLELEN AUSGANG

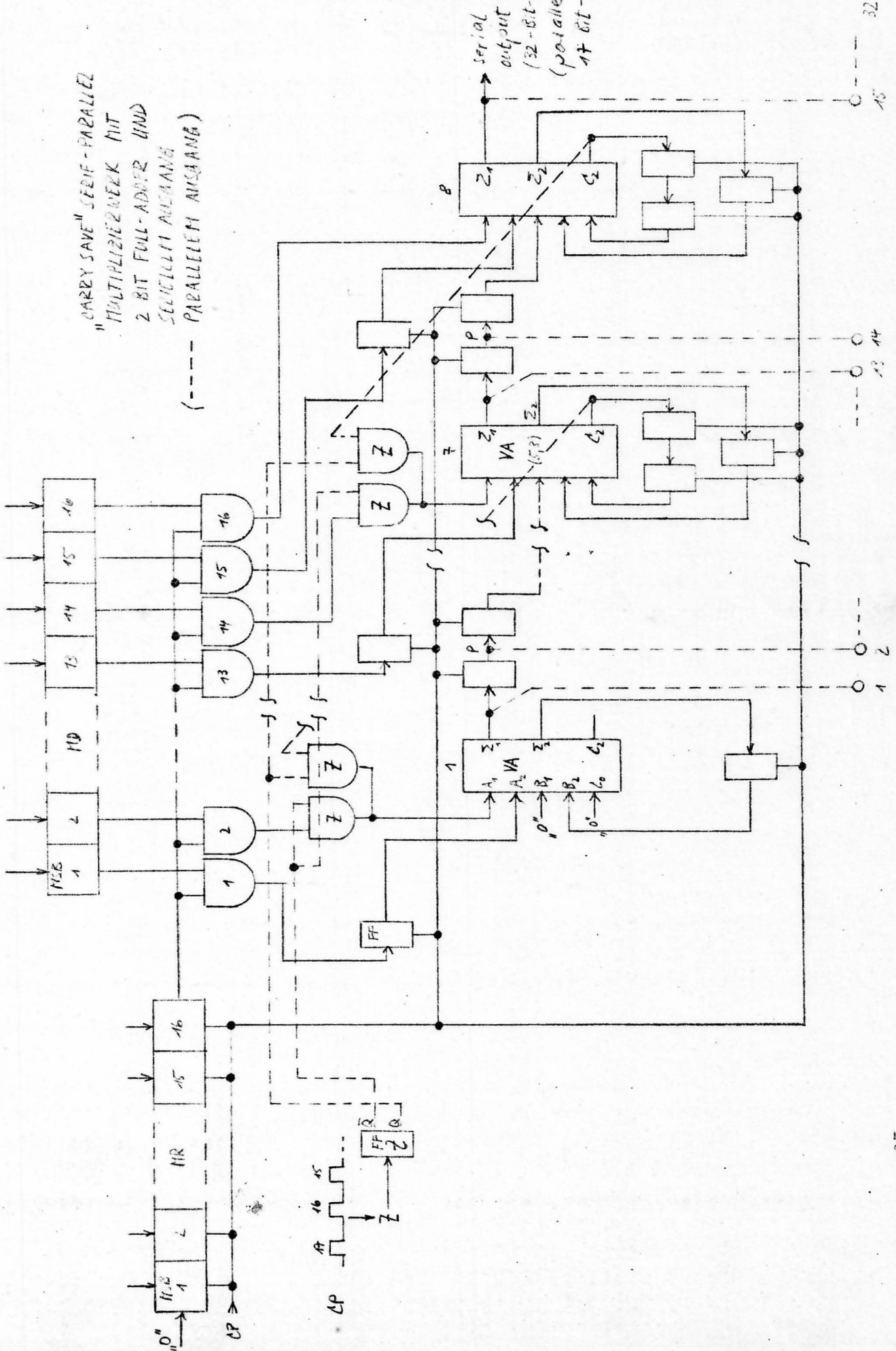


Fig. 2

14.8.72 BF

Die Information an den Punkten P muss mit den nachfolgenden Ueberträgen⁶ der Ausgänge Σ_2 kombiniert werden. Die Ueberträge⁷ C_2 müssen hingegen zur Information an den Ausgängen Σ_1 der vorhergehenden VA addiert werden. Beides erzielt man dadurch, dass man am Schluss de m-ten Uhrimpulses durch einen Steuerimpuls die Gatter Z auf die Ueberträge C_2 umschaltet und in dieser Position in passendem Zeitabstand einen weiteren Uhrimpuls hinzufügt, sodass P und Σ_2 am je nachfolgenden VA anstehen. Das Ausgangsregister besitzt deshalb 17 Bits.

Material:

$$\begin{array}{l} \text{Tore:} \quad (n/2 - 1) \cdot 2 + n = 30 \\ \text{FF:} \quad (n/2 - 1) \cdot 6 + 3 + (m + 1) = 62 \\ (5,3)\text{-VA: } n/2 = 8 \end{array} \quad \left. \vphantom{\begin{array}{l} \text{Tore:} \\ \text{FF:} \\ (5,3)\text{-VA:} \end{array}} \right\} 100 \text{ GE}$$

Zeit:

$$\begin{aligned} t_{\text{tot}} &= m(t_s + t_{\text{FF}} + 2t_{\text{pd}}) + n/2 \cdot (t_{\text{pd}} + t_c) + (t_{\text{FF}} + t_s) \\ &= 1,74 \mu\text{s} \end{aligned}$$

Aus diesen Kalkulationen geht die Variante 1') als beste hervor. Sie benötigt am wenigsten GE, besticht durch ihre klare Funktionsweise und liegt mit der Rechenzeit von 1,60 μs nur unbedeutend über derjenigen von 1). Ein weiterer Vorteil liegt darin, dass Rückstellimpulse für die FF des Akkumulators wegfallen, da dieser beim Auslesen des Resultats mit Nullen gespült wird. All dies bewog uns zur Wahl von 1') als Grundlage des Prototyps, der im folgenden beschrieben ist.

⁶ Diese Uebeträge haben das Gewicht 10_2 .

⁷ Mit Gewicht 100_2 .

3. Konstruktion eines (16,16)-Bit Parallel-Serie-Multiplizierwerks

Fig. 3 zeigt ein Detailschema, an dem der Funktionsablauf besser studiert werden kann, als am Gesamtschema Fig. 4. Oben sind die beiden Eingangsregister zu erkennen. Die Eingangsdaten, die auf einer Schalterbank bestimmt werden, gelangen in die Register, sobald die Taste PRESET betätigt wird. Die Taste RUN stellt den Binärzähler (aus zwei SN 7493) in Ausgangsposition. Dadurch wird das AND-Gatter geöffnet, über welches die Uhrimpulse eintreten. Diese setzen den Rechner in Betrieb, wie oben gezeigt. Gleichzeitig werden sie vom Binärzähler gezählt. Wenn 32 Impulse eingetreten sind, wird das Gatter geschlossen. Der Rechenprozess ist dann beendet, das Resultat steht im Ausgangsregister (vier SN 74164) an.

Im Gesamtschema Fig. 5 sind noch einige Punkte bemerkenswert. Multiplikator und Ausgang werden von kleineren Registertypen gebildet⁸. Unten rechts ist zu sehen, dass der Uhrimpuls nach dem Gatter (SN 7408) über den Umweg zweier Negatoren in die Schaltung läuft. Dies deshalb, weil das Ausgangsregister auf negative Flanken anspricht, die gleichzeitig oder eher etwas früher anstehen müssen, als die übrigen positiven Flanken der Uhrimpulse. Bei der Numerierung der ICs und der Verbindungspunkte ist die erste Ziffer immer die Nummer der Steckeinheit. Bei den ICs folgen Buchstaben nach, die den Platz auf der Steckeinheit bezeichnen. Bei den Verbindungspunkten folgen Buchstaben oder ein- bis zweistellige Zahlen. Sie sind die Kontaktbezeichnungen der jeweiligen Steckeinheit. Damit schon die erste Rechnung nach Einschalten des Werkes ein richtiges Resultat liefert, wurde die Clear-Leitung der FF dennoch angeschlossen. Die FF werden so beim ersten Einlesen auf Null

⁸ Aus Gründen der Lieferfrist, Lagerhaltung, etc.

DETAILSCHEMA
 "CARRY-SAVE" SERIE-
 PARALLEL MULTIPLIZIER-
 WERK MIT SERIELLEM
 AUSGANG.

BF 16.8.12

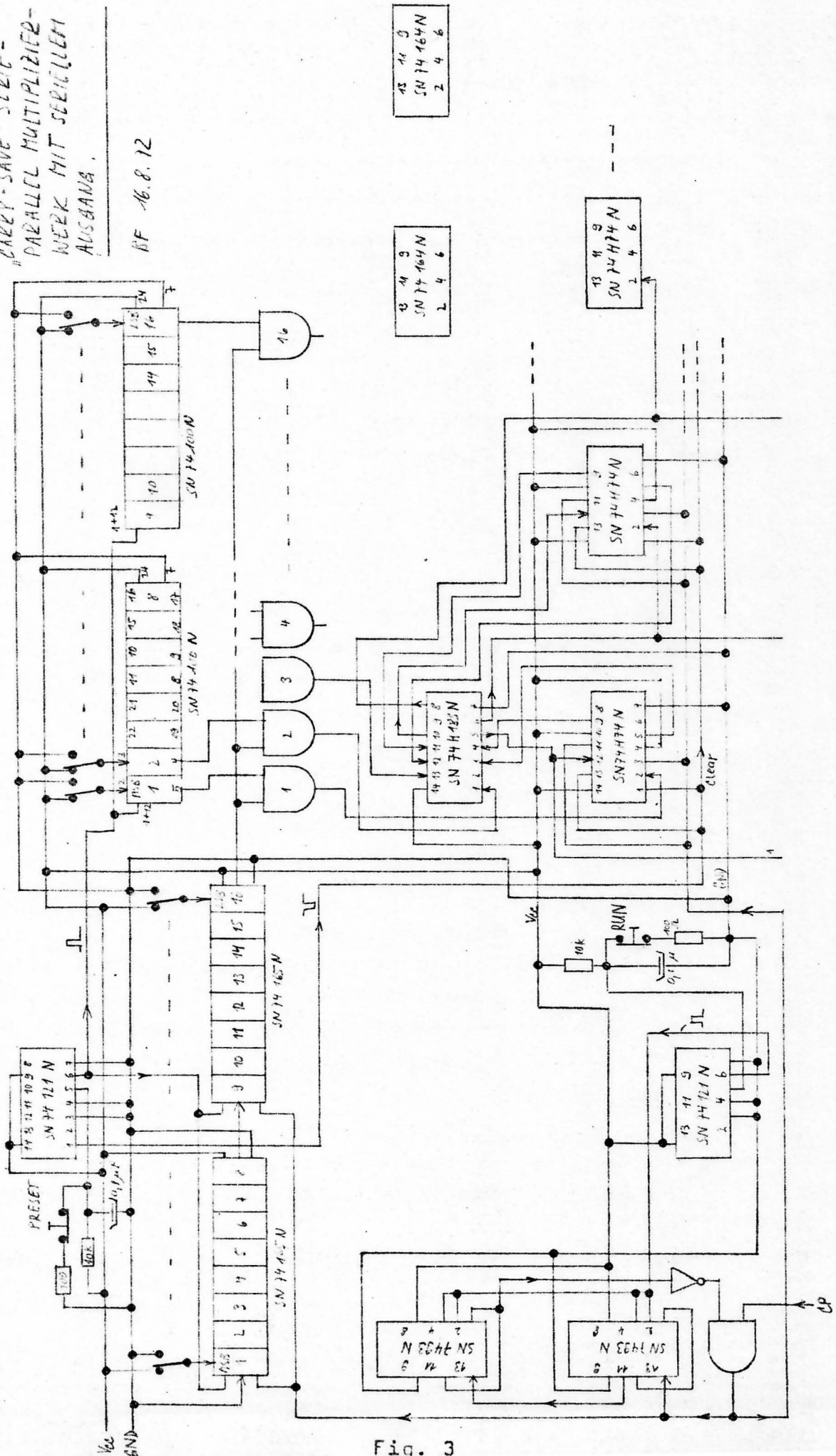
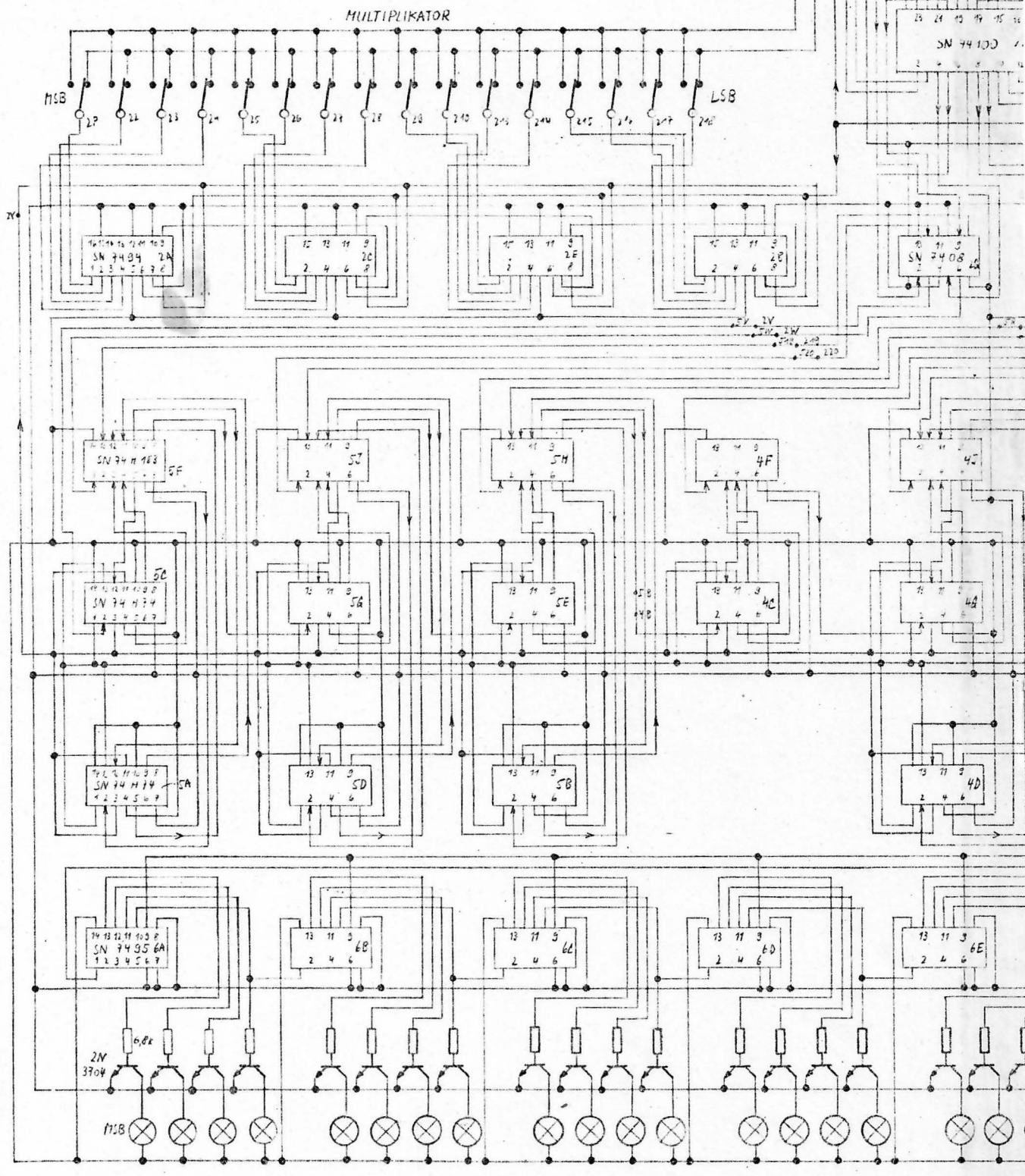
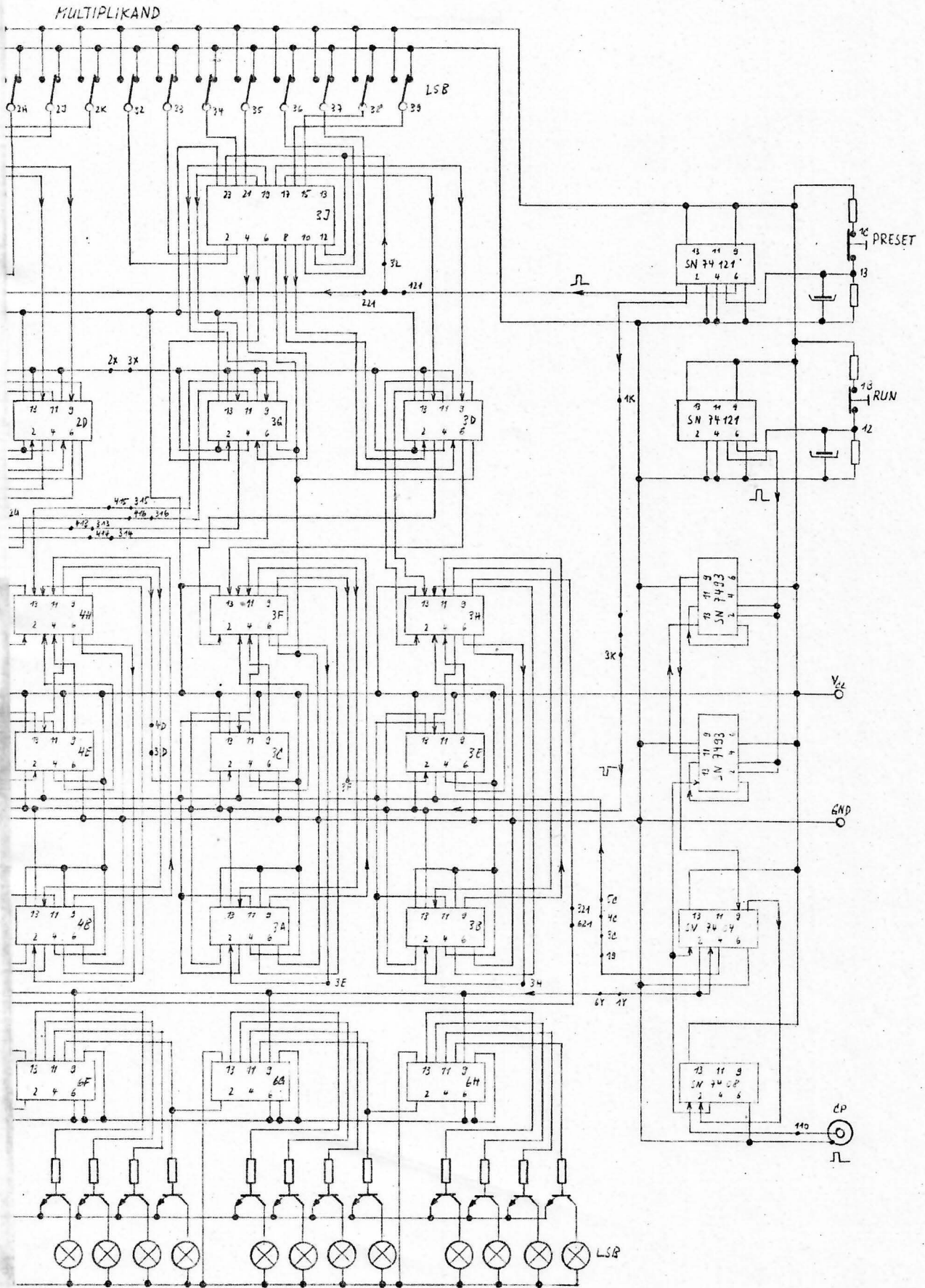


Fig. 3

"CARRY SAVE" SERIE-PARALLEL-MULTIPLIZIERWERK

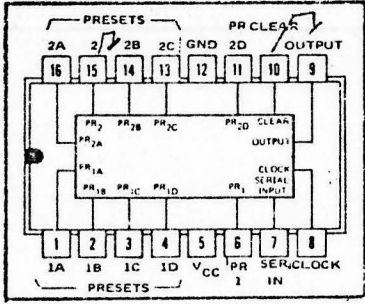
DETAILSCHEMA DER VARIANTE 1'



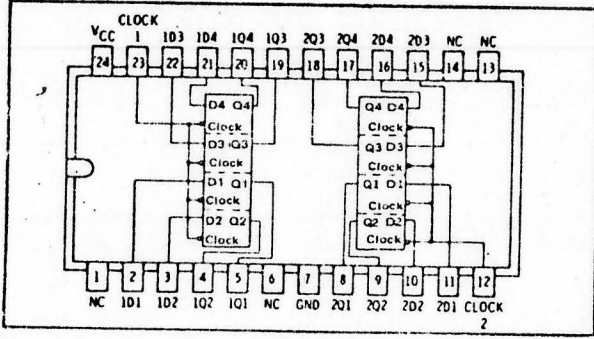


30.8.72 BF

SN 7494



SN 74100



SN 74121

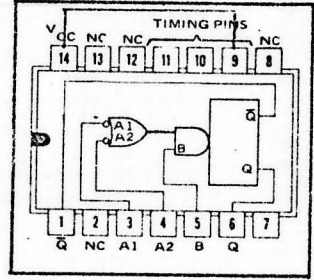
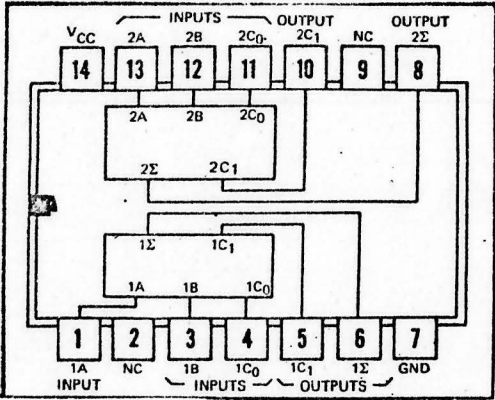
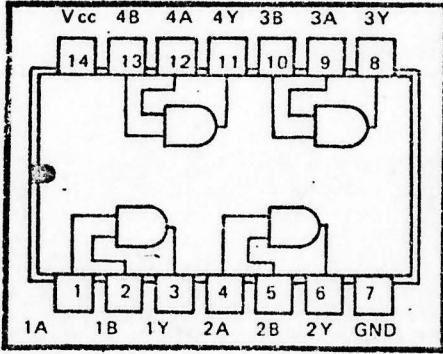


Fig. 5

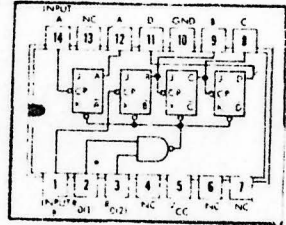
SN 74 H 183



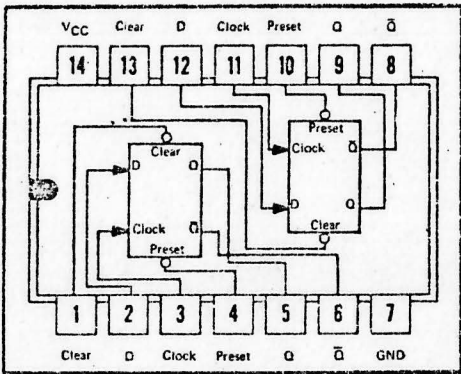
SN 7408



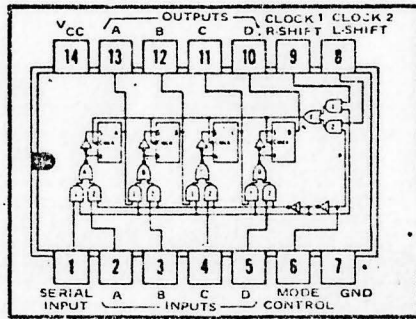
SN 7493



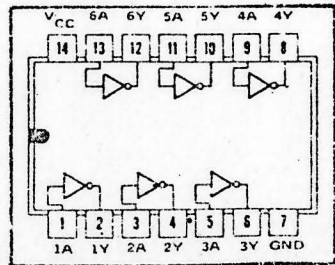
SN 74 H 74



SN 7495



SN 7404



gestellt. Verzichtet man auf diese Finesse, so müssen die Clear-Eingänge der FF SN 74H74 an V_{CC} geschaltet werden. Die Anzeige des Resultats erfolgt über Glühlampen. Da die Clockfrequenz der Multiplikatorregister auf 10 MHz beschränkt ist, kann die theoretische Rechengeschwindigkeit nicht verifiziert werden. Wir beabsichtigen, dies in weiteren Versuchen zu tun, sobald schnellere Register verfügbar werden. Auch kann der Rechner später zwanglos zu einem BCD-Binär-Konverter ergänzt werden, indem man anstelle des Multiplikanden ein 4-Zeilen ROM einfügt, das durch eine Steuerlogik kontrolliert wird.

Fig. 6 schliesslich enthält die Anschlussschemata aller ICs, die im Multiplizierwerk verwendet werden.

ANHANG D: DAS NEUE EEG-ANALYSESYSTEM DER WISSENSCHAFTLICHEN
DATENVERARBEITUNG GMBH, MUENCHEN

Vergleich eines industriellen
Produkts mit unserem Projekt.

Inhaltsübersicht

1. Einleitung
2. Beschreibung des WDV-Prozessors
3. Gegenüberstellung und Kritik

1. Einleitung

In diesem Bericht soll der neue INTIN-EEG-Prozessor von WDV unserem geplanten Analysesystem gegenübergestellt werden. Die WDV-Anlage ist unter allen marktgerechten EEG-Systemen dasjenige, welches unserer Zielsetzung am nächsten kommt. Abgesehen von Programmsystemen auf Grossrechenanlagen für medizinische Datenverarbeitung ist es auf die Durchschnittsanforderungen der EEG-Aerzte derart zugeschnitten, dass es, vorderhand ohne Konkurrenz, eine echte Marktlücke füllt. Die festverdrahteten Fourieranalysatoren, die besonders in jüngster Zeit zum Kauf angeboten werden, sind durchwegs Systeme, die nicht für medizinische Zwecke gebaut wurden. Sie haben einerseits Spezifikationen, die der Arzt nicht braucht (und deshalb auch nicht bezahlen möchte), andererseits fehlen solche, die für EEG-Analysen unumgänglich sind. Ausserdem sind alle diese Prozessoren auf Fourieranalyse und Korrelation beschränkt.

Es genügt deshalb, wenn wir WDV unseren Absichten gegenüberstellen. Dieser Bericht zeigt, dass unsere Zielsetzungen nur scheinbar mit WDV verwandt sind. Bei genauerem Hinsehen bestehen Unterschiede, die beide eigentlich kaum vergleichbar machen.

In folgender Tabelle seien die hauptsächlichsten Unterschiede zusammengefasst.

<u>Kriterium</u>	<u>WDV</u>	<u>Inst. für Techn. Physik</u>
zentrale Rechen- einheit	Interdata M70 Minicomputer	Hardware FFT mit speziellen Zusätzen
Rechenstrategie	abgeschlossene Soft- ware-Programmsysteme	Transformationsalgorithmen in Hardware, Steuerung und Nachverarbeitung mit Mikro- computer
Programmauswahl	8 Programme mit her- kömmlichen Algorithmen für Einzel- und Summer- potentiale	FFT als Kerntransformation, Frequenzlupe nach Openheim Ausbau auf zusätzliche Algo- rithmen für Transienten- analyse
Speicherung	teurer Kernspeicher	billige Schieberegister
Ausbau-und An- passfähigkeit	im Rahmen des M70 Minicomputers	hardwaremässig unbeschränkt
<u>Spektralanalyse</u>		
Zeitfenster	4 sec - Segmente anein- andergereiht ohne Mittelung des einzel- nen Segmentes	sukzessive starke Ueber- lappung von 4 sec-Segmenten und Mittelung
Abtastfrequenz	64 Hz	128 Hz
Frequenzachse	linear bis 30 Hz	linear bis 50 Hz und nicht- lineare Verformung
Phaseninformation	kein Zugriff	komplexe Transformation
Programmspezifi- kationen, Fehler- angaben, etc.	sehr mangelhaft (Fehlerangaben fehlen völlig)	genau bestimmt

2. Beschreibung des WDV-Prozessors

WDV bringt gegenwärtig ein Computersystem für EEG-Analyse auf den Markt, das die Anforderungen der forschenden Aerzte im klinischen Bereich (z.B. EEG und Psychopharmaka) befriedigen dürfte. Zur Zeit ist das System noch nicht voll funktionstüchtig. Im Endausbau jedoch verfügt der Benutzer über eine Anzahl bewährter Algorithmen zur einfachen und raschen Quantifizierung von Einzel- und Summenpotentialen.

Folgende Gesichtspunkte waren bei der Entwicklung des Prozessors begleitend:

1. Das Gerät soll on-line alle gängigen EEG-Analyseverfahren kontinuierlich auf mehreren Kanälen gleichzeitig anwenden können;
2. Es soll von ungelerntem Hilfspersonal benutzbar sein (z.B. Elimination von Artefakten),
3. Es soll flexibel und ausbaufähig sein, da mit fortschreitender Kenntnis der EEG-Genese sich auch die Analyseverfahren verändern werden.

Das Ergebnis dieser Bemühungen ist der INTIN-EEG-Prozessor, der aus einem Satz spezieller Programmsysteme besteht, die auf einem geeigneten Standard-Minicomputer (INTERDATA M70) mit der nötigen z.B. von WDV entwickelten Peripherie ablaufen.

Folgende acht Programmsysteme sind im Lieferumfang eingeschlossen:

1. Powerspektrum (Auto- und Kreuz-Spektrum)
2. Intervall-Amplituden-Analyse (Intervall-Histogramm, Amplituden-Intervall-Verteilung)
3. Averaging
4. Amplitudenhistogramm
5. Auto- und Kreuzkorrelation
6. Prä- und Poststimulushistogramm
7. Interspike-Intervall-Histogramm
8. Verbund-Intervall-Histogramm

An weiteren Programmen wird gearbeitet (z.B. Aktivität, Mobilität, Komplexität nach Hjorth und Mustererkennung).

Der Programmablauf wird durch vier Tasten gesteuert:

- START: Programm fortsetzen
- STOP: Programm anhalten
- CLEAR: zurück zur Anfangsstellung
- READ OUT: Ende Aufnahmeprogramm und Ausgabe

Für die Erstellung neuer Programmsysteme stehen Programmiersprachen (Fortran, Assembler) zur Verfügung. Die Minimalkonfiguration der Hardware besteht aus einem

- mikroprogrammierten Rechner INTERDATA M70 mit 16 K Kernspeichern
- Prozessinterface mit 16 Analog-Eingängen, 4 Analog-Ausgängen
- Teletype
- Speicherdisplay

P r e i s : ca. DM 130'000.--

Die Peripherie lässt sich wegen der modularen Struktur einfach erweitern.

Der zentrale Rechner INTERDATA M70 ist ein moderner Minicomputer mit Eigenschaften, die einen besonders raschen Programmablauf gewährleisten:

1. Mikroprogramme (16-Bit-ROM)
2. Sechzehn 16-Bit-Register (als Akkumulatoren, Indexregister, etc. verwendbar)
3. kurze Zykluszeit (< 1 Mikrosekunde)
4. direkte Adressierung im ganzen Kernspeicher (Speicher von 8192 - 65'536 Bytes)
5. flexibles I/O-System

Einen Einblick in die EEG-Software vermittelt z.B. eine kurze Beschreibung des Spektralanalyseprogramms, das in unserem Zusammenhang besonders interessant ist. Das Programm POSPEC nimmt eine Spektralanalyse von mehreren Kanälen (bis zu 8) EEG vor.

Es können Auto- und Kreuzspektren, sowie die dazugehörigen Kohärenzfunktionen in Echtzeit berechnet werden. Es wird die Fast-Fourier-Transformation nach Cooley und Tuckey verwendet. Die Dauer der Analyse ist in ganzen Vielfachen der Segmentlänge von 4 Sekunden wählbar, wobei die gewünschten Spektren von 0,25 - 30 Hz mit einer Auflösung von 0,25 Hz berechnet und aufsummiert werden. Die Abtastfrequenz beträgt 64 Hz. Die Resultate der Summationen werden auf dem Bildschirm laufend dargestellt.

Die Eingaben zur Steuerung des Programms erfolgen mit Hilfe zweier Dialoge über die Tastatur des Terminals:

- Dialog vom Wissenschaftler (Kanalnummer, Anzahl 4 sec-Segmente, Triggerung, Eichung, Rechteck-oder Hammingfenster)
- Dialog mit der Assistentin (Datum, Uhrzeit).

Die Ablaufsteuerung wird mittels vier Tasten vorgenommen. Ein Datensegment wird selbsttätig verworfen, wenn 10 % der Daten innerhalb des Segmentes die ADC-Grenze erreichen (Artefakte, Uebersteuerung). Die Spektren- und Kohärenzfunktionen werden zunächst auf einem Bildschirm dargestellt. Auch andere Ausgabeeinheiten (z.B. Plotter) sind wählbar. Ausserdem werden für fünf feste Frequenzbereiche (Gesamt, Delta, Theta, Alpha, Beta-Band) gewisse Parameter berechnet:

- die absolute Leistung je Band
- die dominante Frequenz je Band
- eine sogenannte Schärfe, mit der diese auftritt
- die 10 %, 50 %, 90 % - Grenzen der Leistung je Band
- die Schiefe des Spektrums.

3. Gegenüberstellung und Kritik

Der WDV-EEG-Prozessor ist unter allen marktgerechten EEG-Systemen wohl dasjenige, welches unserer Zielsetzung am nächsten kommt. Dabei bestehen aber Divergenzen, die beide eigentlich kaum vergleichbar machen.

WDV arbeiten mit reinen Software-Programmen auf einem Allzweck-Minicomputer. Eine möglichst hohe on-line Verarbeitungskapazität wurde offensichtlich angestrebt. Sie wird erreicht durch die oben aufgezählten Leistungsmerkmale des Zentralrechners und - im Spektralanalyseprogramm - durch weitgehende statistische Einschränkung, die in den Datenblättern kaum zum Ausdruck kommt. Die Idee der 4 sec-Segmente, die zeitlich aneinander gereiht und im Frequenzbereich gemittelt werden, entspricht - interessanterweise - grundsätzlich unserer Planungsabsicht. WDV verschweigt aber, dass ein Spektrum eines einzigen Segmentes statistisch keine Aussagekraft hat, falls nicht gemittelt wird (Auflösung, $\Delta f = 0,25$ Hz!).

Wegen des Leakage-Effekts ist das Rechteckfenster für so kurze Datensegmente nicht am Platz. Beim Hamming-Window geht aber Information verloren, falls keine Ueberlappung der Datenpakete vorgesehen ist. WDV reiht sie einfach aneinander; bei uns ist eine starke Ueberlappung vorgesehen, sodass man von einem "verschobenen Zeitfenster" sprechen kann. Dieses Vorgehen macht die Spektralanalyse möglicherweise auch für Transienten, jedenfalls aber für Instationarität sensibel.

64 Hz Abtastfrequenz von WDV ist ebenfalls eine rigorose Einschränkung. Wir planen 128 Hz, da EEG-Spektren bis etwa 50 Hz üblich sind und eine gute Anti-Aliasing-Filtrierung möglich sein soll.

Diese beiden Einschränkungen aufgehoben würden die erstaunliche on-line Kapazität von WDV zunicht machen. Unsere Lösung mit einem Hardware FFT hat eine so hohe Durchflussrate, dass selbst bei vielen EEG-Kanälen überhaupt keine Kompromisse nötig sind.

Bei WDV ist für Analyse und Zwischenspeicherung ein grosser und teurer Kernspeicher von Nöten (deshalb wurden am Burghölzli z.B. 24 k-Bytes gekauft). Wir verwenden preisgünstige dynamische Schieberegister für Puffer-Speicherung und Analyse, die nachfolgende Parameterberechnung könnte evtl. von einem Mikrocomputer bewältigt werden. Eine digitale Frequenzverformung fällt bei WDV vollends weg. Sie ist für den an Parameterextraktion interessierten EEG-Forscher aber wichtig, und beansprucht an Rechenzeit etwa dieselbe Grössenordnung wie FFT. Ihre hardwaremässige Darstellung ist (übrigens sehr elegant, vergleiche Openheim: Digital-Frequency-Warping) für unsere Zwecke unumgänglich.

WDV ist vorderhand sehr schlecht dokumentiert. Programmbeschreibungen existieren von 8 deren 2, die nichtssagend sind im Vergleich etwa zu Subroutinen-Beilagen des ETH Rechenzentrums. Rücktransformationen (evtl. logarithmisch zur Cepstrumgewinnung) sind nicht möglich. Es gibt überhaupt keinen Zugriff zur Phaseninformation. WDV ist gut und recht für Forscher, die sich nicht mit den Feinheiten der EEG-Analyse abgeben wollen, sondern altbekannte Algorithmen auf Routinenexperimenten anwenden.

Dies aber war und ist nicht unser Ziel. Wir wollen dem avancierten EEG-Analysten echt neue Methoden in die Hand geben, die ohne a priori Einschränkung in jeder Hinsicht ausbaufähig sind.